

INSTITUTUL POLITEHNIC  
DIN TIMIȘOARA  
SERIA D

PROIECTUL DE CERCETARE

DEZvoltarea CONVEINANTELEI DE CURENT  
A LAZERULUI IV - CURENT CONTINUU MONOFAZIC  
CONFORM CURENTEI CONTINUU SERIE

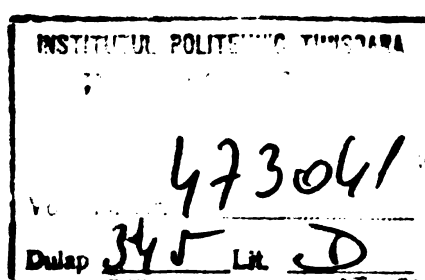
TEZA DE DEGRADARE

CONDUCATOR ȘTIINȚIFIC

prof.dr.ing. ROMA BONDIA

BIBLIOTECĂ CENTRALĂ  
UNIVERSITATEA "POLITEHNICA"  
TIMIȘOARA

- 1 2 3 4 -



## CUPRINS

<b>PREFATA</b>	1
<b>NOTATII SI ABREVIERI PRINCIPALE UTILIZATE</b>	3
<b>CAPITOLUL 1. INTRODUCERE</b>	5
<b>CAPITOLUL 2. CSAC SI STINTELE MOTOARELOR DE C.C.</b>	
SERIE IN TRACTIUNEA DE MEDIE PUTERE	11
<b>2.1. Terminologii. Clasificare CSAC. Scheme concrete</b>	11
<b>2.2. Modalităile principale de comandă ale CSAC în punte monofazată</b>	14
<b>2.3. Comutarea forțată în curent alternativ</b>	17
<b>2.4. Combinări ale schemelor CSAC în punte monofazate</b>	20
<b>2.5. CSAC rezultate din combinații ale unor tipuri diferite de convertoare elementare</b>	21
<b>2.6. Probleme ale rețelelor de c.a. de alimentare și conexe ale CSAC</b>	23
<b>2.6.1. Influențe ale CSAC asupra rețelelor de alimentare și conexe</b>	23
<b>2.6.2. Metode de ameliorare ale influențelor asupra rețelelor</b>	25
<b>2.6.2.1. Metode specifice sistemului CSAC-motor de c.c.</b>	25
<b>2.6.2.2. Metode specifice rețelelor de alimentare ale CSAC</b>	26
<b>2.7. Problematica motoarelor de c.c. serie alimentate de la CSAC</b>	29
<b>2.7.1. Funcționarea motorului de c.c. serie alimentat de CSAC</b>	29
<b>2.7.2. Metode pentru ameliorarea funcționării motoarelor de c.c. alimentate de la CSAC</b>	31
<b>2.7.3. Cerințe impuse mașinii de c.c. serie într-un sistem automat</b>	34
<b>2.7.4. Regimuri liniștită ale mașinii de c.c. serie</b>	35
<b>2.8. Concluzii. Stadiul actual de rezolvare a problemelor</b>	36
<b>CAPITOLUL 3. SISTEMUL CU CIRCUIT PUNCTUAR COMBINAT DE TIP S-VACO - SISTEM ASIMETRIC (S-VACO) - MOTOR DE C.C. - CONTINUU S-VACO</b>	38

<b>3.1. Introducere</b>	<b>38</b>
<b>3.2. Regimurile de funcționare ale sistemului CSAC în punte monofazată de tip SNA-motor de c.c. serie.</b>	<b>39</b>
<b>3.3. Scheme echivalente. Stabilirea ecuațiilor sistemului</b>	<b>45</b>
<b>3.4. Integrarea numerică a sistemelor de ecuații</b>	<b>52</b>
<b>3.5. Prezentarea și discuția rezultatelor calcuieror</b>	<b>58</b>
<b>CAPITOLUL 4. SISTEMUL CSAC IN PUNTE MONOFAZATA DE TIP SNA - MOTOR DE CURENT CONTINUU SERIE CU COMPENSAREA PUTERII REACTIVE IN RETEAUA DE TENSIUNE ALTERNATIVA</b>	<b>78</b>
<b>4.1. Introducere</b>	<b>78</b>
<b>4.2. Prezentarea sistemului analizat</b>	<b>79</b>
<b>4.3. Scheme echivalente. Stabilirea ecuațiilor sistemului</b>	<b>81</b>
<b>4.4. Integrarea numerică a sistemelor de ecuații</b>	<b>84</b>
<b>4.5. Prezentarea și discuția rezultatelor obținute în urma integrării numerice</b>	<b>87</b>
<b>CAPITOLUL 5. SISTEMUL CSAC IN PUNTE MONOFAZATA SEMICOMANDAT CU COMUTATIE FORTATA DE TIP SNSA - MOTOR DE CURENT CONTINUU SERIE</b>	<b>105</b>
<b>5.1. Introducere</b>	<b>105</b>
<b>5.2. Prezentarea sistemului analizat</b>	<b>105</b>
<b>5.3. Determinarea valorii optime a capacitatii de stingere</b>	<b>109</b>
<b>5.4. Scheme echivalente. Stabilirea sistemelor de ecuații</b>	<b>114</b>
<b>5.5. Integrarea numerică a sistemelor de ecuații diferențiale</b>	<b>118</b>
<b>5.6. Prezentarea și discuția rezultatelor obținute în urma integrării numerice</b>	<b>122</b>
<b>CAPITOLUL 6. COMPARAREA PERFORMANTELOR SISTEMELOR CSAC MONOFAZATE IN PUNTE - MOTOR DE C.C. SERIE. VERIFICARI EXPERIMENTALE</b>	<b>141</b>
<b>6.1. Performanțele sistemelor CSAC monofazate în punte-motor de c.c. serie</b>	<b>141</b>
<b>6.2. Verificări experimentale ale rezultatelor teoretice obținute</b>	<b>146</b>

<b>CAPITOLUL 7. REALIZARI INDUSTRIALE PRIVIND SISTEMELE DE TRACTIONE DE MEDIE PUTERE IN CU: ENERGIE ALTERNATIV</b>	159
<b>7.1. Introducere</b>	159
<b>7.2. Descrierea soluțiilor adoptate</b>	159
<b>7.3. Date tehnice și constructive ale echipamentului     și locomotivei</b>	165
<b>7.4. Concluzii generale ale testării în condiții     de exploatare a sistemului CSAC monofazat în     punte de tip SNA-motor de c.c. serie</b>	167
<b>CAPITOLUL 8. CONCLUZII</b>	169
<b>ANEXA NR.1. RELATII UTILIZATE LA PRELUCRAREA     REZULTATelor IN URMA INTEGRARII NUMERICE</b>	172
<b>ANEXA NR.2. SCHEMELE ELECTRICE ALE PRINCIPALELOR     SUBANSAMBLURI ELECTRONICE DE COMANDA     UTILIZATE LA REALIZAREA STANDULUI DE     PROBA SI A ECHIPAMENTULUI TIRISTORIZAT     PENTRU LOCOMOTIVA DE MINA LTA /</b>	174
<b>BIBLIOGRAFIE</b>	178

## PREFATA

Orientarea cercetării științifice actuale românești și implicit a celei desfășurate la Institutul Politehnic "Traian Vuia" din Timișoara constituie un răspuns la indicațiile și directivele prețioase trasate de Conducerea Superioară a Partidului Comunist Român și de Stat. Problemele abordate trebuie să satisfacă atât cerințele imediate impuse de industria în plină dezvoltare, prin punerea la dispoziție a unor soluții și metode noi de reducere a consumurilor energetice specifice, de perfecționare a proceselor de producție, cit și problemele de cercetare fundamentală.

Lucrarea de față intitulată "Sisteme de convertoare statice de curent alternativ - curent continuu monofazat - motor de curent continuu serie" se înscrie ca o contribuție la rezolvarea problemelor ce se pun în tracțiunea electrică în curent alternativ de tip minier, uzinal, urban, etc. Ea a fost elaborată în intervalele 1975-1976 -partea experimentală și realizările industriale aferente- și 1981-1983 -fundamentarea teoretică-, fiind rodul activității susținute a autorului în domeniul general de utilizare al convertoarelor statice în acționări electrice în general și în tracțiunea electrică în particular, favorizat de:

- îndrumarea competentă, permanentă și plină de înțelegere umană din partea conducerii cercetării, în special a dr.ing. Toma Dördea,
- posibilitatea de valorificare a cercetărilor întreprinse prin intermediul contractelor dintre I.P. "Traian Vuia" Timișoara și CCSITUM Satu-Mare, în cadrul cărora s-a bucurat de sprijinul moral al conducerii CCSITUM în persoana tov.dir.ing. Ziman Gheorghe și a colaboratorilor săi ing. Görbe Stefan și Bokor Ladislau,
- condițiile de desfășurare a activității de care a dispus în atmosfera colegială din cadrul Catedrei

**de Utilizări și Mașini Electrice a Facultății de  
Electrotehnica, în cadrul căreia s-a bucurat de sprijinul moral și profesional al tov.conf.dr.ing. Boldea Ion,**

- condițiile excepționale de lucru în cadrul colectivului de cercetare mixt I.P.T.V. Timișoara-CCSIT Electroputere Craiova-Dacia Service Timișoara, de la Stația Pilot de Convertoare Statice a Institutului Politehnic "Traian Vuia" Timișoara,**
- înțelegerea deplină a membrilor familiei și îndeosebi prin sprijinul moral și efectiv, materializat prin dactilografierea lucrării și elaborării unei părți a materialului grafic al prezentei lucrări, din partea soției, ing. Carmen Hauler.**

Tuturor celor menționați autorul le va rămâne profund recunoscător. Totodată el exprimă călduroase multumiri tov.tehn. Orosz Vasile pentru sprijinul acordat la partea experimentală și tov. Surdu Benon pentru executarea în bune condiții și unei părți a materialului grafic al lucrării.

## NOTATII SI BREVIERI PRINCIPALE UTILIZATE

- $\alpha$  - unghi de comandă
- $\alpha_1$  - unghi de amorsare
- $\alpha_2$  - unghi de blocare
- $\beta$  - unghi de conductie
- $\gamma$  - unghi de comutatie
- p - număr de pulsuri
- f - frecvența tensiunii alternative
- z =  $\omega t = 2\pi ft$
- R - rezistențe
- L - inductivități
- C - capacitate
- X - reactanțe
- i - curenți, valori momentane
- u - tensiuni, valori momentane
- m - cupluri, valori momentane
- p - puteri, valori momentane
- $u_i$  - t.e.m. induse, valori momentane
- indice "t" - parametrii transformator
- indice "s" - parametrii semiconductoare
- indice "d" - mărimi de curent continuu
- indice "e" - mărimi ale impedanței de curent alternativ
- indice "f" - mărimi filtrare
- indice "m" - mărimi mașină de c.c.
- indice "max" - valori maxime
- indice "med" - valori medii
- indice "sc" - mărimi de scurtcircuit
- indice "l" - fundamentală
- indice "y" - armănici
- fără indice suplimentar - valori efective (litere mari)
- $\Omega$  - viteză unghiulară
- P, S, Q, D - putere activă, aparentă, reactivă, deformantă
- $P_r$  - putere la artele mașinii electrice
- $M_0$  - cuprul de frecări
- $f_v$  - factor de virf
- $\delta$  - coeficient de instorsiune
- $\lambda$  - factor de putere global
- $\varphi$  - factor reactiv
- $\xi$  - factor deformant
- $\mu$  - continut de fundamentală

- $t_{pr}$  - timp de protecție
- $t_q$  - timp de revenire la tiristoare
- CS - convertor static
- CSAC - convertor static curent alternativ-curent continuu
- CSCC - convertor static curent continuu-curent continuu
- CSCA - convertor static curent continuu-curent alternativ
- CSP - convertor static de frecvență
- SNA - semicomandat cu comutație naturală, asimetric
- SNS - semicomandat cu comutație naturală, simetric
- SNFA - semicomandat cu comutație naturală și forțată, asimetric
- SNFS - semicomandat cu comutație naturală și forțată, simetric
- CN - complet comandat cu comutație naturală
- CNFA - complet comandat cu comutație naturală și forțată, asimetric
- CNFS - complet comandat cu comutație naturală și forțată, simetric
- CF - complet comandat cu comutație forțată

Obs. Semnificațiile notațiilor și abrevierilor  
diferite de cele de mai sus sunt specificate în text.

## CAPITOLUL 1

### INTRODUCERE

In actuala conjunctură energetica și socială se constată un revîrtement în tractiunea electrică pe șină, denumită în lucrare "de medie putere", care include domeniile urban, mineral, uzinal, etc. cu puteri instalate ce nu depășesc 500 kW și la tensiuni de alimentare de maxim 1 kV. Această extindere a sistemelor de transport mai sus menționate este dictată, în principal, pe de o parte, de reorientarea transportului de persoane în mediul urban și suburban de la cel individual la cel colectiv și pe de altă parte, de investițiile ridicate pe plan mondial și național în domeniul exploatarilor miniere.

In acest context, lucrarea de față abordează domeniul clasic al sistemelor de convertire a energiei destinate tractiunii de medie putere, dintr-un punct de vedere ce presupune alimentarea acestora prin intermediul firului de cale cu tensiune alternativă, în loc de tensiune continuă. Această situație restructurează radical sistemele de convertire clasice ale tractiunii de medie putere și conduce la avantaje importante sub aspectul simplității, reducerii consumului de energie și a creșterii fiabilității [72].

Pornind de la structura generală a sistemului de convertire a energiei (figura nr.1.1), lucrarea de față își propune ca obiectiv analiza regimului staționar, cu calculuri mărimilor electrice în diferite subansambluri (curenți, tensiuni, puteri, factor de putere global, conținut de armonici, răndament) și delimitarea regimurilor speciale de funcționare.

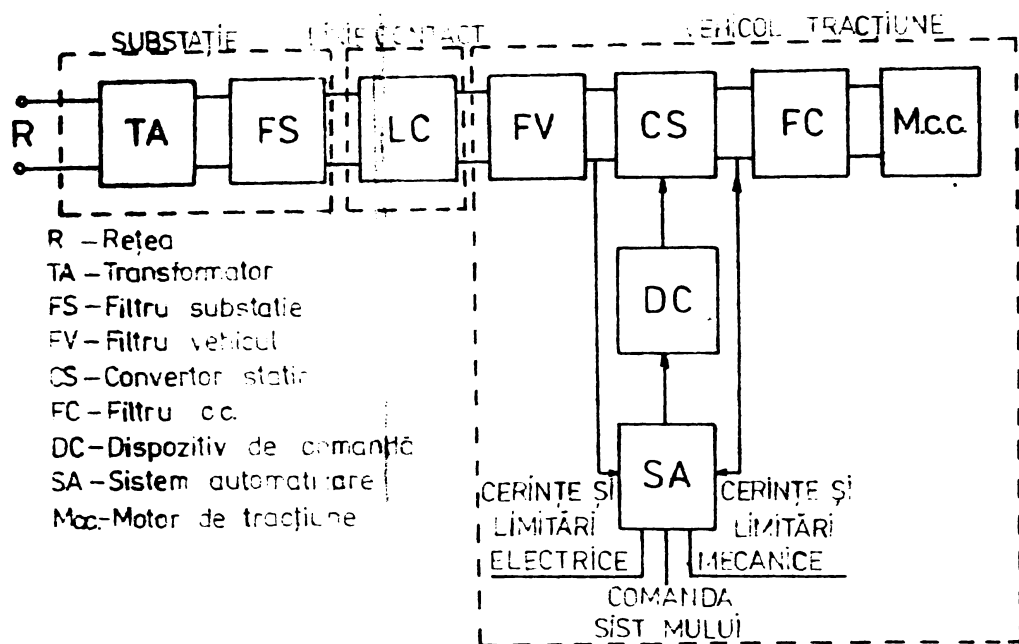
Analiza se va efectua pentru:

- diferite tipuri de convertoare statice și metode de comandă;
- parametrii variabili ai liniei de contact,
- filtre la bornele de alimentare ale convertorului și în circuitul de c.c. cu mărimi caracteristice variabile;
- mașina electrică de c.c. serie cu t.e.m. indusă și viteza unghiulară variabile în timp și cu considerarea saturăției ei.

Referitor la conținutul capitolelor tezei se fac următoarele precizări:

- Capitolul 2 cuprinde o sinteză a diverselor ti-

puri de convertoare statice curent alternativ-curent continuu destinate modificării turării mașinii de c.c. serie pentru tractiunea electrică de medie putere.



**Figura nr. 1.1.** Schema bloc a sistemului de convertire a energiei propus spre analiză

- Capitolul 3 abordează studiul sistemului convertor static c.a.-c.c. monofazat în punte semicomandat asymmetric-motor de curent continuu serie. Se precizează regimurile posibile de funcționare, se stabilesc sistemele de ecuații diferențiale specifice și metoda de rezolvare a acestora prin integrare numerică. Conform algoritmului de calcul de integrare a sistemelor de ecuații și de evaluare a performanțelor, la funcționarea cu putere constantă la arborele mașinii electrice, se prezintă și discută performanțele globale ale sistemului.

- Capitolul 4 cuprinde studiul sistemului din capitolul precedent în situația compensării puterii reactive consumate de la rețea prin filtre RC legate la bornele de alimentare ale convertorului. Prezența acestora aduce după sine apariția unor stări speciale de funcționare, analizate în lucrare și modificarea performanțelor sistemului. Ca și în capitolul precedent, acestea se determină prin integrarea numerică a sistemelor de ecuații diferențiale caracteristice fiecărei stări în parte.

- Capitolul 5 analizează sistemul convertor static c.a.-c.c. monofazat în punte semicomandat asimetric cu comutatie forțată-motor c.c. serie, evidențiind, în urma integrării numerice a sistemelor de ecuații diferențiale, influențele comutării forțate asupra mărimilor caracteristice sistemului.

- Capitolul 6 sintetizează și compara rezultatele teoretice obținute în capituloare 3,4 și 5; concluziile pot fi utilizate la elaborarea sistemelor concrete de convertire a energiei în tractiunea electrică de medie putere. De asemenea se prezintă standul de probă utilizat pentru studiul experimental al diferitelor sisteme mai sus precizate și rezultatele acestuia, comparativ cu cele teoretice.

- Capitolul 7 cuprinde descrierea unui sistem industrial de convertire a energiei, pentru tractiunea minieră și principalele rezultate și observații privind utilizarea în condiții concrete de exploatare ale acestuia.

- Capitolul 8 prezintă concluziile generale ale lucrării.

Pe lîngă cele 8 capituloare, teza mai conține și două anexe cu relațiile de calcul ce servesc la prelucrarea rezultatelor și schemele electrice ale diverselor dispozitive electronice utilizate în lucrare.

Principalele contribuții originale pe care lucrarea de față le aduce în ansamblu sunt următoarele:

- însăși ideea de creștere a fiabilității sistemelor de convertire în tractiunea de tip urban, minier și uzinel prin alimentarea acestora cu tensiune alternativă, care stă la baza elaborării întregi a lucrării, constituie obiectul unui brevet de învenție al autorului împreună cu un colectiv [7];
- utilizarea și perfecționarea metodei de integrare numerică directă a sistemelor de ecuații diferențiale specifice sistemelor analizate în capituloare 3,4 și 5 ale lucrării, metodă întâlnită sporadic și fără finalizare în literatura de specialitate.

In particular, pe capituloarele lucrării, contribuțiiile autorului sunt:

#### Capitolul 2 :

- prezentarea sistematică a sistemelor de convertire a energiei în tractiunea de medie putere în general și a tuturor problemelor legate de ansam-

blul convertor static curent alternativ-curent continuu-motor de curent continuu și anume:sin-teza convertoarelor statice cu comutație natura-lă și forțata utilizate,metodele specifice de co-mandă ale acestora,probleme ale comutației forța-te în curent alternativ,influențele funcționarii convertoarelor statice asupra rețelelor de ali-mentare,a celor conexe și a mașinii electrice de c.c. serie și metode de ameliorare a performan-țelor sistemelor convertor static-mașină electri-că de c.c.;

### Capitolul 3:

- analiza completă în regim staționar a sistemului CSAC monofazat în punte semicomandat asimetric (SNA)-motor de curent continuu serie prin consi-derarea tuturor regimurilor de funcționare ale sistemului (funcționare cu conducție neîntrerup-tă,cu conducție înnreruptă cu o comutație și ră-ră nici o comutație pe semiperioadă),a impeden-ței variabile în circuitul de tensiune alterna-tivă,a parametrilor ventilelor semiconductoare,a inductivității finite și variabile din circuitul de curent continuu;tensiunea e.m. indusă și vi-teza unghiulară a mașinii sunt considerate varia-bile în timp și mașina electrică saturabilă;
- elaborarea algoritmilor de integrare numerică a sistemelor de ecuații stabilite și de calcul a tuturor mărimilor caracteristice sistemului,inclu-siv a performanțelor energetice pentru regimul de funcționare cu putere constantă la arborele mașinii electrice;
- elaborarea în colaborare,a programului de calcul aferent,în limbaj FORTRAN;
- evaluarea sistematică,în urma rulării programului conceput,a performanțelor sistemului analizat, pentru diverse regimuri de funcționare și para-metrii variabili ai acestuia;

### Capitolul 4:

- analiza în regim staționar a sistemului CSAC mo-nofazat în punte de tip SNA-motor de c.c. serie,

compensat printr-un grup RC la bornele CSAC cu considerarea tuturor elementelor precizate la capitolul 3;

- menținerea, descrierea și stabilirea schemelor echivalente pentru comutăția forțată autonomă a semiconductoarelor din componenta CSAC;
- stabilirea algoritmilor de rezolvare a sistemelor de ecuații stabilite și de calcul a mărimilor caracteristice sistemului pentru regimul de funcționare cu viteză unghiulară constantă la arborele mașinii electrice;
- elaborarea, în colaborare, a programului de calcul aferent, în limbaj FORTRAN;
- evaluarea sistematică, în urma rulării programului de calcul conceput, a performanțelor sistemului analizat, pentru diverse regimuri de funcționare și parametrii variabili ai acestuia;

#### **Capitolul 5:**

- analiza completă, în regim staționar, a sistemului CSAC monofazat în punte semicomandat asimetric cu comutăție naturală și forțată (SNFA) de tip IC-motor de c.c. serie, cu considerarea tuturor elementelor precizate la capitolul 3;
- analiza simplificată a procesului de comutăție forțată în curent alternativ cu determinarea domeniului optim de alegere a capacitatii de stingeră prin elaborarea și utilizarea unui program de calcul adecvat în limbaj FORTRAN;
- stabilirea algoritmului de integrare a sistemelor de ecuații stabilite;
- elaborarea, în colaborare, a programului de calcul aferent, în limbaj FORTRAN;
- evaluarea performanțelor sistemului analizat pentru diverse regimuri de funcționare și parametrii variabili ai acestuia;

#### **Capitolul 6:**

- comparația sistemelor CSAC monofazate-motor de c.c. serie analizate, sub aspectul performanțelor lor, furnizindu-se astfel rezultate utile alegerii și proiectării sistemului adecvat pentru o utilă aplicație;

- concepția și realizarea unui stand cu simularea tuturor regimurilor de funcționare ale sistemului CSAC-motor de c.c. serie, pentru verificarea experimentării a rezultatelor teoretice (proiectarea și realizarea circuitelor de forță și comandă ale tipurilor de CSAC analizate);

**Capitolul 7:**

- elaborarea, proiectarea, realizarea și urmărirea în probă de anduranță a unui sistem industrial CSAC monofazat în punte-motor de c.c. serie în tractiunea minieră ce înglobează trei soluții originale atestate prin brevete de invenții ale autorului împreună cu un colectiv [81], [82], [83].

## CAPITOLUL 2

### CSAC DESTINATE ALIMENTARII MOTOARELOR DE C.C. SERIE IN TRACTIUNEA DE MEDIE PUTERE

[C7] , [C8] , [C15] , [10] , [12] , [54] , [37] , [44] ,  
[45] , [53] , [60] , [57] , [67] , [73] , [74] , [105] ,  
[108] , [131] , [133] , [123] , [139] , [145] , [141] ,  
[154] , [183] , [185] , [198]

In ultimii ani, odata cu perfe<sup>c</sup>tionarea semiconductoarelor de putere și cu sporirea exigen<sup>c</sup>ei față de performan<sup>c</sup>e CS în general, schemele clasice cu redresare cunoscute de zeci de ani, func<sup>c</sup>ionînd cu comută<sup>c</sup>ie naturală au fost extinse prin utilizarea dispozitivelor de stinger<sup>c</sup> forțată a semiconductoarelor, care asigură comută<sup>c</sup>ie în orice moment dorit, rezultându-se astfel în principal ameliorarea mărimilor caracteristice ale CSAC pe partea de curent alternativ. Îmbunătă<sup>c</sup>irea performan<sup>c</sup>elor CSAC este importantă mai ales în rețelele de alimentare cu impedan<sup>c</sup>e mari, în care datorită func<sup>c</sup>ionării nesatisfăcatoare a CSAC pot apărea pierderi mari de energie, căderi de tensiune, etc.

#### 2.1. Terminologii. Clasificarea CSAC.

##### Scheme concrete

După cum s-a precizat în capitolul precedent, CSAC destinate tractiunii de medie putere în curent alternativ trebuie să permită conectarea directă la o rețea monofazată. Ventilele semiconductoare utilizabile sunt dioda, tiristorul și tiristorul blocabil (tiristor clasic cu dispozitiv de stinger<sup>c</sup> forțată și lui sau tiristor cu posibilitatea comandării blocării prin părță). Tranzistorul de putere, utilizat din ce în ce mai mult în schemele de forță ale CS, îndeplinește în circuitul de putere aceeași func<sup>c</sup>ie ca și tiristorul blocabil.

In compoñen<sup>c</sup>a CSAC de tipul cerut există întotdeauna grupe formate din două ventile ce conduc curentul alternativ, cele posibile, realizate din combina<sup>c</sup>ii ale ventilelor semiconductoare amintite fiind redate în figura nr.2.1. În consecin<sup>c</sup>ă în serie a acestor grupe se obțin sche-

mele CSAC monofazate în punte prezentate în figura nr.2.2 , cu indicarea grupelor de ventile din a căror combinație au rezultat și formele de undă ale tensiunii redresate, cu neglijarea comutației, ce furnizează informații privind regimurile de funcționare și modalitățile de comandă corespunzătoare (vezi paragraful nr.2.2).

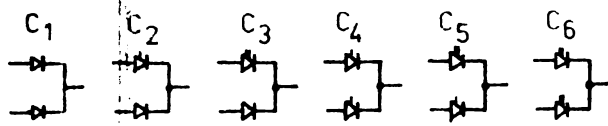


Figura nr.2.1. Grupe de ventile ale CSAC

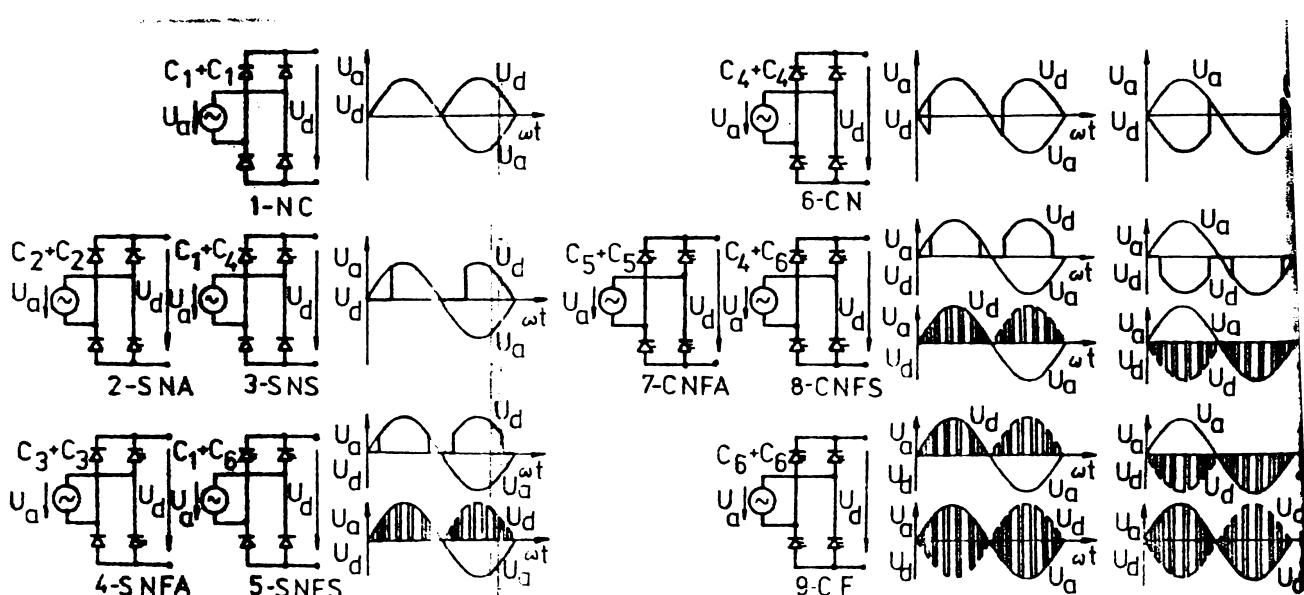


Figura nr.2.2. Scheme de CSAC monofazate în punte

Prin combinații a două grupe de comutăție de tip Cl se obține redresorul în punte necomandat (NC). Schemele semicomandate (2 și 5) pot fi realizate în varianta asymmetrică (2 și 4) sau simetrică (3 și 5), schemele 2 și 3 funcționând cu comutăție naturală, de la rețea (externă), iar 4 și 5 permitând și comutăția proprie (forțată). Din categoria schemelor în punte complet comandate se prezintă mai întii varianta clasică cu comutăție naturală (6), urmată de cele cu comutăție naturală și forțată (7 și 8), la care două tiristoare sunt realizate cu posibilități de stingere, după modul de disponere al acestora existând schema asymmetrică (7) și simetrică (8). În final, modul cel mai complex de realizare a unei punți monofazate este acela de utilizare de

tiristoare blocabile în toate cele patru ramuri ale punții (9). În figura nr.2.2 sunt trecute și notările prescurtate ale diferitelor variante de scheme folosite în continuare.

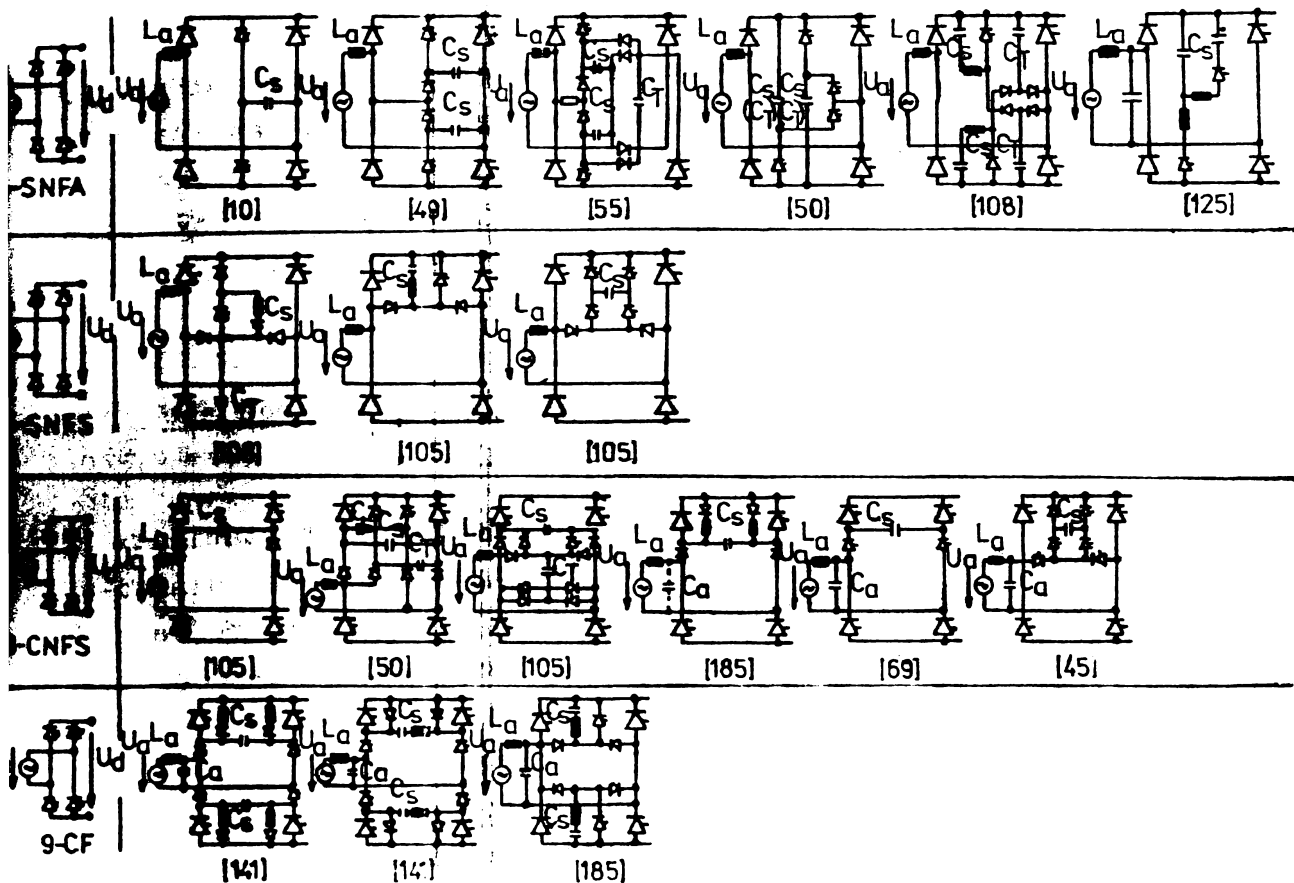


Figura nr.2.3. Scheme concrete ale CSAC monofazate în punte cu comutație naturală și forțată

Analizând formele de undă ale tensiunii redusește prezентate în figura nr.2.2 se observă ca variantele de la 1 la 5 pot funcționa numai în regim de redresor, pe cind cele de la 6 și 9 pot asigura și pe cel de invertor, fiind redate formele de undă și pentru această situație.

Schemele 4,5,7,8 și 9 asigură, la alimentarea de la o rețea neinductivă, conectări și blocări ale punților redresoare în orice moment dorit, ceea ce poate deveni avantajos pentru ameliorarea parametrilor de c.a. a CSAC (vezi paragraful nr.2.6).

Datorită multiplelor posibilități de realizare a comutației forțate, există o mare varietate de scheme concrete în punte monofazată. Este dificilă o prezentare sis-

tematică și datorită faptului că la unele din aceste scheme, pe lîngă condensatoarele clasice de stingere utilizate la comutația forțată în curent continuu sunt necesare și condensatoare tampon pentru preluarea energiei magnetice înmagazinate în transformator și linie, iar la comanda cu pulsuri, condensatcare de accelerare (vezi paragraful nr.2.3).

Principalele soluții concrete pentru realizarea schemelor principiale 4,5,8 și 9 din figura nr.2.2 sunt redate în figura nr.2.3 cu indicarea referinței bibliografice care conține analiza detaliata a fiecărei variante de schema.

## 2.2. Modalitățile principiale de comandă ale CSAC în punte monofazată

Performanțele unui CS în general sunt stabilite în măsura cea mai mare de modul de comandă al acestuia. Figura nr.2.4 conține formele de undă ale tensiunii redresate ale CSAC, cu neglijarea comutației, care ilustrează și modurile de comandă ale acestora.

Comanda cu unde intregi (1) și cea de fază (2) sunt specifice pentru CSAC cu comutație naturală de tip SNS, SNA și CN, prima fiind mai puțin utilizată din cauza componentelor continue în mărimele din rețeua de tensiune alternativă și calitatei proaste de reglare, a doua prezintând neajunsurile menționate în paragraful nr.2.6.

CSAC cu comutație naturală și forțată (SNFS, SNFA, CNFS și CNFA) sau numai forțată (CF) pot fi comandate după una din metodele prezentate în continuare (vezi și figura nr.2.4): Comanda de sector nesimetrică (3a) se obține prin modificarea concomitentă a unghiului de amorsare  $\alpha_1$  și cel de blocare  $\alpha_2$  variabile potențial între 0 și  $\pi$ , după o lege anumită, astfel încât se poate realizea și modificarea tensiunii continue și ameliorarea parametrilor de curent alternativ (vezi paragraful nr.2.6). [10], [12], [44], [210]. Un caz particular al acesteia îl constituie varianta de comandă (3b) unde unghiul de amorsare este menținut la valoarea 0 (zero) iar prin variația unghiului de blocare  $\alpha_2$  între 0 și  $\pi$  se modifică numai valoarea medie a tensiunii redresate, fără a se putea influența în rest performanțele CSAC. Comanda de sector simetrică (4a și 4b) presupune modificarea concomitentă a unghiurilor  $\alpha_1$  și  $\alpha_2$  de amorsare respectiv de blo-

care, simetric față de amplitudinea tensiunii alternative, în intervalul  $0 \rightarrow \pi/2$  și asigură pe lîngă modificarea tensiunii redresate și un defazaj nul al fundamentalei curentului alternativ față de tensiune. Cele două variante prezентate sunt identice sub aspectul performanțelor; din motive de dimensionare a circuitelor de forță este agreat modul de comandă 4a [37]. Comanda cu frecvență de pulsatie ridicată, constantă (5a, 5b) permite mărirea numărului de pulsuri pe semiperioadă a tensiunii redresate cu scopul de lașării spectrului de frecvență ai curentilor și tensiunilor spre frecvențe ridicate, convenabilă pentru dimensionarea filtrelor. Modificarea tensiunii continue redresate se poate face prin varierea duratei relative de conductie a CIAC

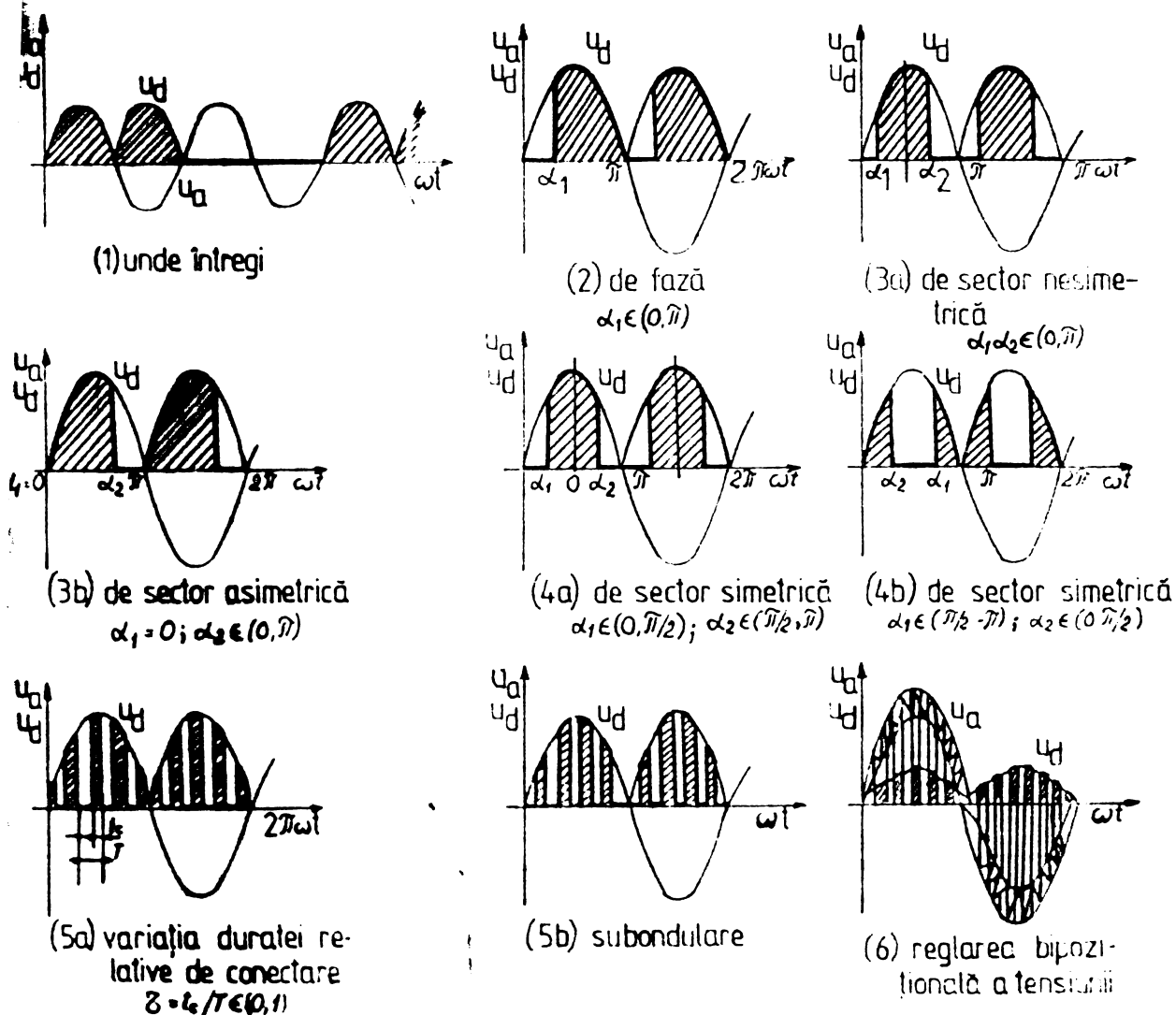


Figura nr.2.4. Modalități principiale de comandă ale CIAC monofazate în punte

(5a), sau prin modularea în durată pe semiperioadă a acesteia (subondulare) (5b) [36], [185]. În fine, comanda în buclă închisă a CSAC (6) se realizează prin impunerea curentului sau a tensiunii alternative (după condensatorul de accelerare) și reglarea bipozitională a acestora stabilindu-se astfel momentele de amorsare și blocare, frecvența de pulsărie fiind liberă [67]. Reglarea tensiunii este mai des folosită deoarece elimina rezonanțele de tensiune.

Asocierea modalităților de comandă prezentate mai sus diferitelor variante de scheme ale CSAC monofazate în puncte discutate în paragraful nr.2.1 este ilustrată sintetic în tabelul nr.2.1.

TIPUL SCHEMEI	NR. SCHEMA (fig.4)	MOD DE COMANDA			
		fără comandă	de fază	de sector	pulsată
Necomandat NC	1	X	—	—	—
Semicomandat cu comutație naturală SN	asimetric A	2	—	X	—
	simetric S	3	—	X	—
Semicomandat cu comutație naturală și forțată SNF	asimetric A	4	—	X	X
	simetric S	5	—	X	X
Complet comandat cu comutație naturală CN	6	—	X	—	—
Complet coman- dat cu comuta- ție naturală și forțată CNF	asimetric A	7	—	X	X
	simetric S	8	—	X	X
Complet comandat cu comutație forțată CF	9	—	X	X	X

Tabelul nr.2.1. Tipuri de CSAC și modurile de comandă ale lor

### 2.3. Comutăția forțată în curent alternativ la CSAC

Se prezintă în continuare principalele probleme ce apar la comutăția forțată în curent alternativ la CSAC, analizindu-se, în ordinea complexității lor, mai multe variante concrete de scheme SNFA (figura nr.2.2, schema 5), cel mai des utilizat tip de CSAC.

Figura nr.2.5 redă cea mai simplă schemă SNFA, cu un condensator de stingere  $C_s$  (schema 1C) și două tiristoare de stingere  $T_{s1}, T_{s2}$ , prin a căror amorsare se blochează alternant cele două tiristoare principale  $T_{p1}, T_{p2}$ . La punerea în funcție a convertorului, condensatorul de stinge trebuie să fie încărcat, ceea ce se realizează peste sar-

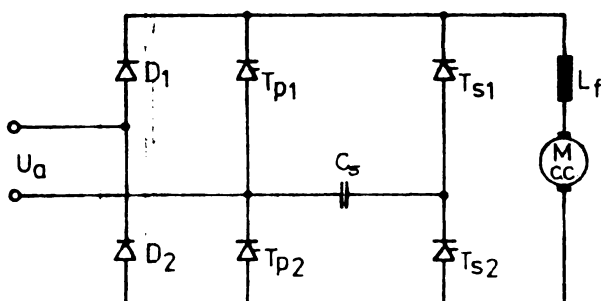


Figura nr.2.5. CSAC de tip SNFA, schema 1C

cină, prin amorsarea tiristoarelor de stingere, constituind un dezavantaj al schemei. El se dimensionează astfel încât să fie capabil să preia energia eliberată la blocarea tiristoarelor principale ( $1/2 Li^2$ ) fără ca tensiunea condensatorului să depășească valoarea de virf a tensiunii de alimentare de gol căci nu se dorește supradimensionarea în tensiune a elementelor semiconductoare. Cum tensiunea condensatorului se compune din valoarea momentană a tensiunii la care are loc stingerea și tensiunea de blocare (corespunzătoare energiei eliberate la blocare), este de la sine înțeles că o devansare a momentului blocarii (de la  $\pi/2$ ) poate fi realizată numai prin micșorarea curentului de sarcină. Datorită acestui fapt schema poate fi utilizată avantajos numai cu comanda de sector nesimetrică cu  $\alpha$  variabil, necesar modificării tensiunii referențe, iar

4730 41  
4730 045 D

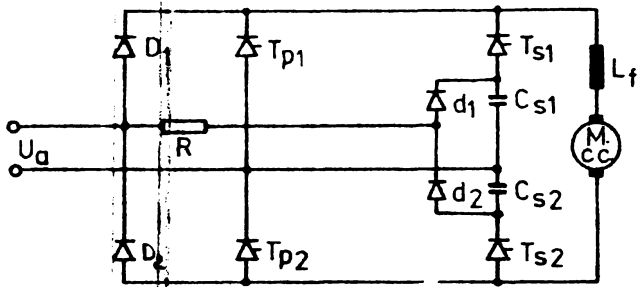


Figura nr.2.6. CSAC de tip SNFA,schema 2C

$\alpha_2$  constant. Bineînțeles că trebuie asigurat, ca orice stingeră, timpul de protecție al tiristoarelor blocate să fie mai mare decât timpul de revenire apreciabil al lor, deoarece este de dorit ca tiristoarele utilizate să fie lente.

Schema mai complexă de tip SNFA (figura nr.2.6), utilizând două condensatoare de stingere  $C_{s1}, C_{s2}$  (schema 2C), încărcate peste rezistența R și diodele  $d_1$  și  $d_2$  de la sursa de alimentare la valoarea de vîrf a tensiunii, elimină dezavantajul schemei 1C privind preîncărcarea condensatorului de stingere. Cum însă acestea vor trebui să preia, în mod identic ca la schema anterioară, energia eliberată la blocare, se ajunge la aceleași limitări ca la varianta anterioară, cu toate că la preluarea energiei participă ambele condensatoare de stingere. Schema poate fi utilizată rational numai cu comanda de sector nesimetrică cu unghiul de amorsare  $\alpha_1$ , variabil și cel de blocare  $\alpha_2$  constant.

Pentru a elimina neajunsurile prezентate mai sus și a nu avea limitări privind stabilirea unghiului de blocare  $\alpha_2$  se pornește de la ideea de a dimensiona condensatoarele de stingere  $C_{s1}, C_{s2}$  numai pentru asigurarea timpului de protecție al tiristoarelor principale. Energia eliberată la blocare va fi preluată de un condensator tampon  $C_g$  (figura nr.2.7), participând într-o măsură mai mică și condensatoarele de stingere. Schema 3C, cu formele de undă în timpul unui proces de comutație și schema echivalentă corespunzătoare redată în figura nr.2.7.b și c [10] permite funcționarea cu orice mod de comandă cu o amorsare și o blocare pe semiperioadă.

Comanda cu frecvență de pulsărie ridicată a CSAC conectate la rețele puternic inductive nu este posibilă

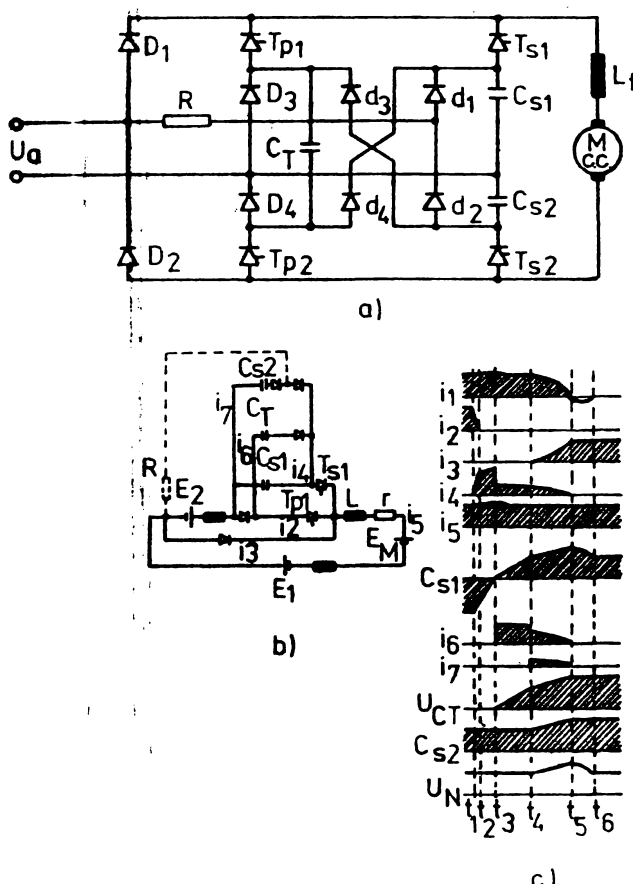


Figura nr.2.7. CSAC de tip SNFA,schema 3C

fără a se iau măsuri suplimentare [6/]. Se prevăd cu acest scop condensatoare de accelerare  $C_a$  (figura nr.2.8), care împreună cu inductivitatea  $L_e$  formează un circuit oscilant a cărui frecvență proprie, dacă nu se iau măsuri suplimentare, poate derajaja. Valoarea capacității  $C_a$  se poate stabili cu aproximății, suficientă pentru practică din îterependențele fundamentelelor mărimilor caracteristice, filtrul CSAC impunând condiția ca transferul de putere de la sursă la motorul de c.c. să se poată face fără consum de putere reactivă. Pentru a stabiliiza frecvența proprie a filtrului în domeniul cuprins între frecvența rețelei și cea de pulsărie a OSAC este necesară o inductivitate suplimentară  $L_s$ . Trebuie deasemenea evitată coincidența frecvenței proprii cu una din frecvențele armonicilor curentului alternativ care sunt date de relația:

$$f_y = f_p \pm (2n-1)f ; n=1;2;3;\dots \quad (2.1)$$

unde  $f_y$  este frecvența armonică de ordinul  $y$ ,  $f$  a rețe-

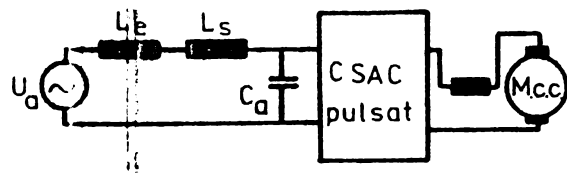


Figura nr.2.8. CSAC cu comandă pulsată la rețea inductivă

lei și  $f_p$  de pulsări.

Deci, problemele ce trebuie avute în vedere pe cît posibil, la concepția și funcționarea cu comutație forțată a CSAC sunt:

- asigurarea în întreg domeniul de comandă a tensiunii necesare pe condensatoarele de stingere;
- condensatoarele de stingere să fie dimensionate numai pentru timpul de protecție ai tiristorilor blocați; energia eliberată de blocare, înmagazinată în special în inductivitatea sursei trebuie să fie preluată de alte capacitați tampon ale schemei;
- supratensiuni limitate datorate proceselor de comutare forțată;
- același domeniu de reglaj ca și la comanda de fază;
- dimensionarea optimă a filtrelor pentru eliminarea rezonanțelor.

#### 2.4. Combinări ale schemei CSAC în puncte monofazată

Sunt posibile următoarele combinații principiale ale schemei CSAC în puncte, realizabile numai pe partea de curent continuu:

- legarea în paralel,
- legarea în antiparalel.

O modalitate de legare în paralel a două scheme de tip SNFS este ilustrată în figura nr.2.9.a. Ea necesită funcționarea la durate relative de conductie diferite ale celor două punți, nesimetriile de tensiune fiind preluate de inductivitatea [109]. Astfel de scheme utilizează în

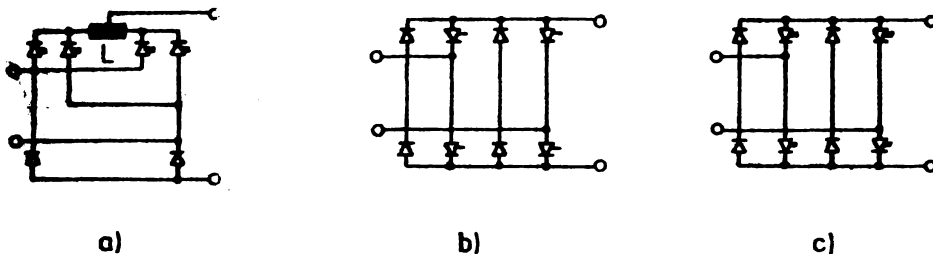


Figura nr.2.9. Combinări ale CSAC în punte monofazată a.) legarea în paralel, b.) și c.) legarea în antiparalel

general circuite de stingere comune pentru cele două punți.

Două situații de legare în antiparalel a două punți sunt redate în figura nr.2.9.b.) și c.), prima constând din legarea în antiparalel a unor CSAC de tip NC și CN [98] , a doua din conectarea unora de tip NC și CF [110] . Ultima soluție este utilizată prioritari la alimentarea GS c.c.-c.a. destinate motoarelor de curent alternativ, obținindu-se o independentă între parametrii de c.c. și cei din rețeaua de alimentare.

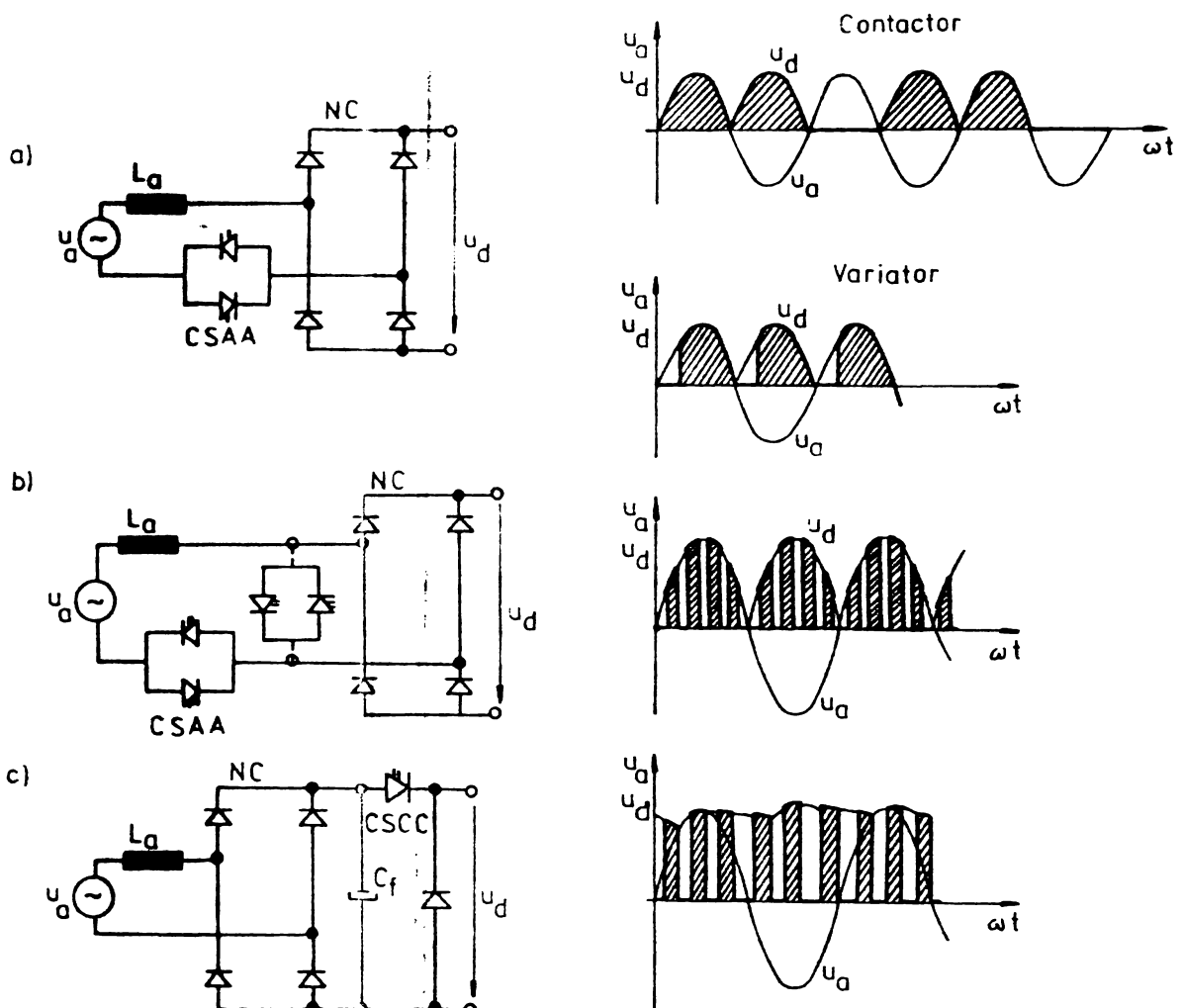
### 2.5. CSAC rezultate din combinații ale unor tipuri diferite de convertoare elementare

Se utilizează în mod curent scheme combinate cu redresare necomandate în punte (NC) și CS c.a.-c.a. (CSAA)-contactoare și variatoare de tensiune alternativă-sau CS c.c.-c.c. (CSCC).

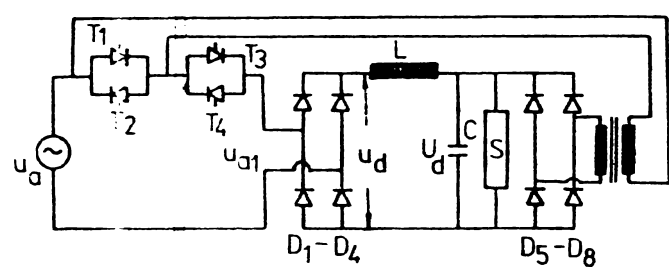
Prin conectarea unei grupări în antiparalel de tiristoare în circuitul de curent alternativ al unui redresor necomandat NC (figura nr.2.10.a.) se pot obține formele de undă prezentate alăturat pentru regimul de funcționare ca și contactor sau variator de tensiune alternativă a gru-pării.

CSAA poate fi realizat și cu comutăție forțată, conectat în serie sau paralel cu puntea NC (figura nr.2.10. b.), obținindu-se forme de undă similară celor de la CSAC analizate în paragraful nr.2.2.

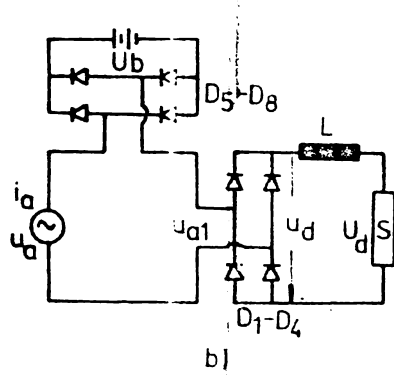
O altă soluție realizabilă din această categorie de scheme se obține prin utilizarea unui CSCC ce asigură modificarea tensiunii continue constante furnizate de o punte NC, sistemul necesită un bloc de filtrare al tensiunii continue după puntea NC (figura nr.2.10.c.).



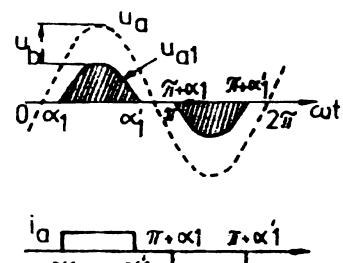
**Figura nr.2.10.** CSAC rezultate din combinații ale unor convertoare elementare diferite



a)



b)



c)

**Figura nr.2.11.** CSAC rezultat din combinația a două punți NC și CSAA

O soluție cu posibilități multiple de aplicație datată performanțelor, în special privitor la parametrii din rețeaua de tensiune alternativă, o reprezintă cea indicată în figura nr.2.11.a.) [130]. Principiul metodei, ilustrat în figura nr.2.11.b.) și c.), presupune modificarea tensiunii continue redresate  $u_d$  prin intermediul tensiunii de comandă  $U_b$ , ceea ce asigură un defazaj nul al curentului față de tensiunea alternativă, fără a fi necesar pentru aceasta comutătia forțată sau alte mijloace externe.

## 2.6. Probleme ale rețelelor de c.a. de alimentare și conexe ale CSAC

[C 15] , [20] , [21] , [26] , [19] , [37] , [44] , [49] , [68] , [70] , [106] , [112] , [125] , [132] , [159] , [153] , [158] , [194] , [201]

### 2.6.1. Influente ale CSAC asupra rețelelor de alimentare și conexe

In privința evaluării influențelor CSAC asupra rețelelor de alimentare și a celor conexe în literatura de specialitate există deosebiri de vederi. Acestea pornesc în esență de la dificultatea de calcul a mărimilor specifice unei rețele cu tensiuni și curenți nesinusoidali, de asociere a unor mărimi fizice măsurabile și de explicarea unor neconcordanțe ce apar în utilizarea acestora.

Majoritatea autorilor folosesc, chiar dacă se întâmpină unele dificultăți în interpretarea lor, mărimile specifice rețelelor cu tensiuni și curenți nesinusoidali definite de Budeanu [C1]; pentru a ușura utilizarea practică a acestora, la retele menționate cu tensiune sinusoidală și curenți nesinusoidali s-au incetătenit și legiferat prin DIN 40110/1966 mărimi simplificate utilizabile și măsurabile.

Funcționarea CSAC conectate la alimentarea cu tensiune alternativă se manifestă negativ asupra acestora prin [158] , [194] :

1. - Defazajul fundamentalui curentului față de tensiunea de alimentare  $\Psi_1$ , care cauzează apariția unui curent reactiv suplimentar ce conduce la mărire

curentului global; apar astfel căderi de tensiune suplimentare în rețeaua de alimentare, solicitări și încălziri suplimentare ale aparatelor electro-tehnice în general.

2. -Puterea deformantă ce apare datorită curentilor nesinusoidali și pantelor de curenti din procesele de comutare, conducind la prezența unor armonici impare în curentul rețelei; armonicii pare apar numai la comenzi nesimetrice pe alternanțe, în procese dinamice sau la defectiuni ale sistemului de comandă. Ca influențe, pe lângă cele precizate la punctul precedent, pot apărea în cazul de rată și perturbații în rețelele electrice înconjurătoare. Spectrul armonicilor, nu însă și mărimea lor, depinde în cea mai mare măsură de inductivitatea de filtrare din circuitul de curent continuu (figura nr.2.12) [19].

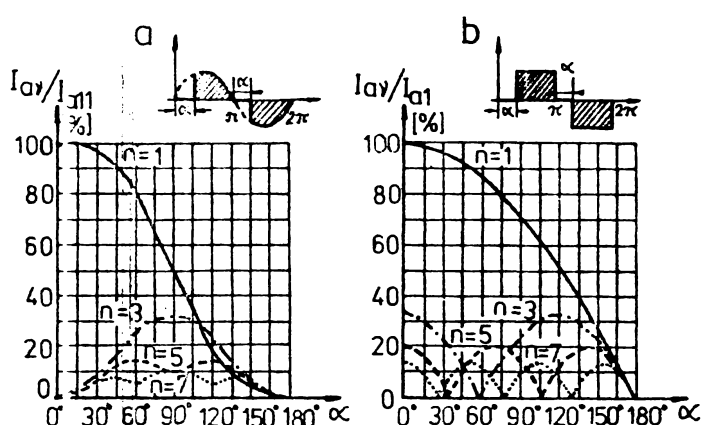


Figura nr.2.12. Spectrul armonicilor curentului alternativ la comanda de fază a CSAC în funcție de unghiul de comandă a.) fără filtrare în circuitul de c.c. b.) cu filtrare

3. -Rezonanțe de tensiune ce se pot manifesta la anumite configurații ale rețelelor de alimentare, datorită proceselor de comutare periodice. Ele se caracterizează prin supratensiuni apreciabile, de (2-4) ori tensiunea nominală, având domeniul de frecvență cuprins între (500-2000) Hz și conduc la suprasolicitarea sau distrugerea echipamentului electronic. [19].

Influențele asupra rețelelor înconjurătoare pot

fi de natură galvanică, capacitive sau inductivă. Dacă cele datorate cupajelor capacitive pot fi relativ ușor înălțurate, influențele de natură galvanică și inductivă ridică probleme deosebite.

CSAC trebuie să asigure, pe lîngă modificarea tensiunii continue și mărimi acceptabile în rețeaua de alimentare și în cele încunjurătoare; în sensul celor prezentate mai sus, CSAC cu comutăție naturală nu realizează decît primul deziderat, pentru cel de-al doilea fiind necesare măsuri externe. CSAC cu comutăție forțată pot face față ambelor cerințe esențiale.

#### 2.6.2. Metode de ameliorare ale influențelor asupra rețelelor

Se prezintă în continuare succint metodele de ameliorare ale influențelor asupra rețelelor de alimentare și conexe, insistîndu-se asupra acelora care se operează în sistem pentru îmbunătățirea mărimilor din rețeaua de alimentare în curent alternativ, fără a intra în detalii la cele referitoare la reducerea influențelor asupra rețelelor încunjurătoare.

Este de remarcat că metodele prezentate în continuare au efect simultan asupra lui  $\cos \varphi_1$  și a conținutului de armonici, motiv pentru care la aprecierea efectului se utilizează factorul de putere global  $\lambda$ .

##### 2.6.2.1. Metode specifice sistemului CSAC – motor c.c.

A.) Pentru ameliorarea lui  $\cos \varphi_1$  și a armonicielor se utilizează o serie de metode, după cum urmează:

- 1.-Dacă se preferă CSAC cu comutăție naturală, se recomandă utilizarea punții semicomandate asimetrice (schema 3, figura nr.2.2), ea avind comportarea cea mai bună din acest punct de vedere [C17], [132], [133].
2. -Optimizarea sistemului în ansamblu, actionîndu-se în special în sensul măririi raportului dintre inductivitatea de filtrare și cea din rețeaua de curent alternativ [12]; se pot obține creșteri ale lui  $\lambda$  cu (10-15)%, la scăderi ale curentului alternativ global de pîna la 20% (figura nr.2.13).
- 3.-Dispunerea condensatoarelor de compensare la borne-

le CSAC, metodă neagreată în tractiunea de mare putere datorită greutăților și gabaritelor mari. În tractiunea de medie putere însă, metoda poate deveni interesantă și aplicabilă. Pentru fiecare unghi  $\varphi_1$  deci și pentru fiecare unghi de comandă  $\alpha$  există o valoare optimă a capacității necesare pentru compensarea totală a puterii reactive  $Q_1$  corespunzătoare fundamentaliei. Factorul de putere global poate crește cu maximum 30% (figura nr.2.14) [10], [70], [76].

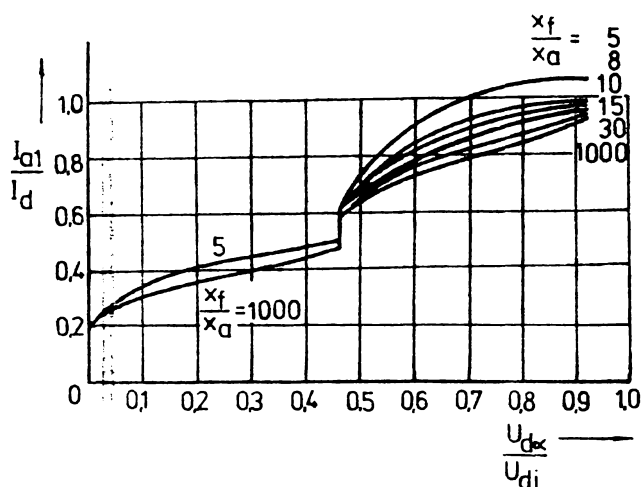


Figura nr.2.13. Variația fundamentaliei curentului alternativ  $I_{d1}$  funcție de tensiunea continuă pentru diferite valori ale raportului reactanță de filtrare  $X_f/X_a$  (reactanță sursei  $X_e$  (comandă secvențială a două punți în serie)

**4.-Utilizarea CSAC cu comutație forțată cu metode de comandă adecvate.** Pentru asigurarea unui defazaj  $\varphi_1$  nul, la neglijarea comutației, comanda de sector (vezi figura nr.2.4) trebuie să fie simetrică, ca atare nu mai există posibilitatea de a influența prin metode specifice convertoarelor armonicile de curent, unghiul de comandă  $\alpha$  fiind necesar pentru modificarea tensiunii continue [37]. În realitate, datorită procesului de comutație forțată, se lucrează întotdeauna cu o comandă de sector nesimetrică (vezi figura nr.2.4) unde prin  $\alpha_1$  și  $\alpha_2$  se modifică valoarea medie a tensiunii continue,  $\alpha_2$  fiind corectat printr-o buclă de reglare a lui  $\cos \varphi_1$  [44], [210]. Bineînțeles că din expresia puterii aparente va dispare termenul corespunzător puterii reactive a fundamentaliei

curentului, puterea deformantă ramâneind aceeași, deci factorul de putere global va prezenta o creștere în raport cu cel de la comanda de fază normală (figura nr. 2.15, curba 1 și 2). Se constată că la mărirea numărului de pulsuri pe semiperioadă, cu asigurarea simetriei față de amplitudinea tensiunii pentru reali-

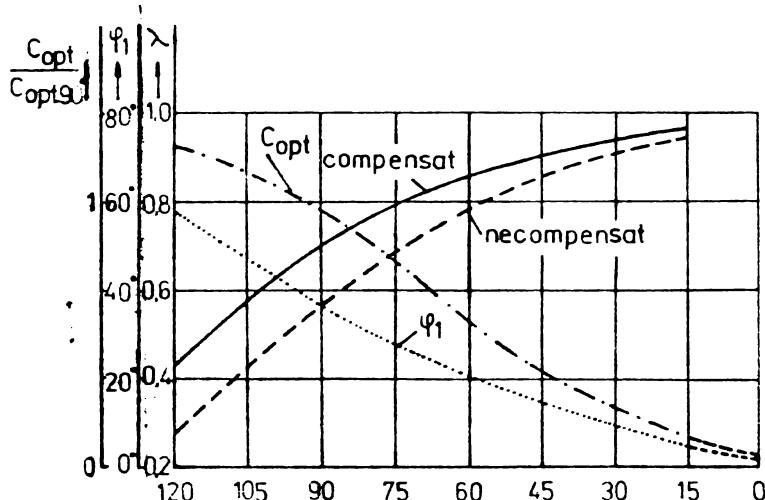
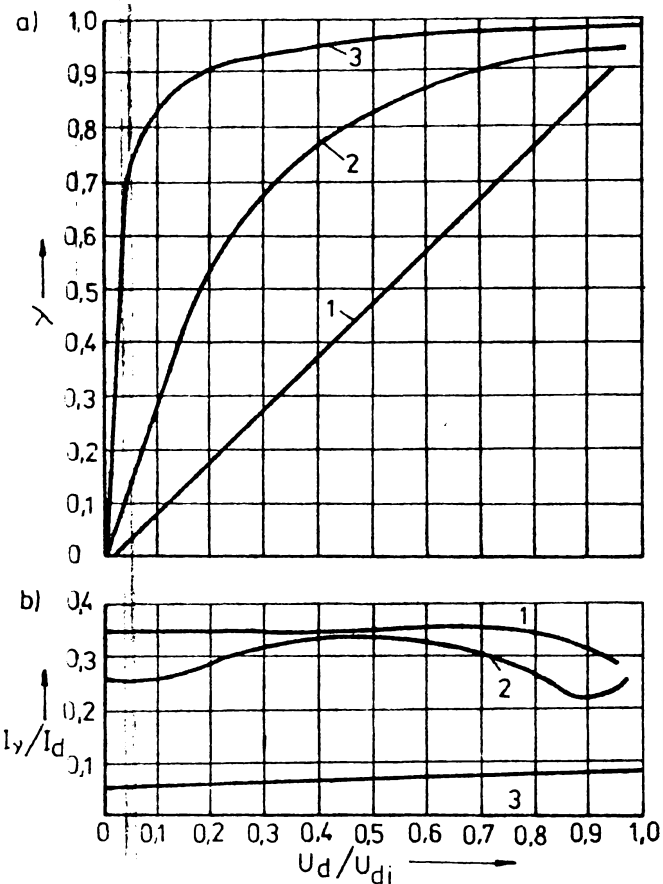


Figura n. 2.14. Variația factorului de putere global compensat și necompensat, al unghiului de defazaj al fundamentei curentului alternativ față de tensiune  $\phi_1$  și a capacitatății de compensare optime  $C_{opt}$  în funcție de unghiul de comandă  $\alpha$ .

zarea lui  $\phi_1 = 0$ , puterea deformantă nu se reduce. Chiar dacă prin repartiția corespunzătoare a pulsurilor se elimină anumite armonici, de exemplu armonica a 3-a [37], singurul efect este acela că spectrul de frecvență se va deplasa spre frecvențe mai ridicate. Vînd însă în vedere ca un asemenea CSAC cu pulsuri nu poate funcționa decît la o rețea ne-inductivă, filtrul ce se prevede la alimentarea convertorului cu scopul asigurării acestui deziderat poate fi ușor dimensionat pentru atenuarea armonnicilor ce frecvență ridicata, astfel încit sistemul filtru-convertor va prezenta un conținut de armonici al curentului alternativ mai redus, ca atare și un  $\lambda$  apreciabil mai mare (figura nr. 2.15, curba 3) [61].

B.) Pentru ameliorarea influenței asupra retelelor conexe, datorată armonicilor curentului alternativ,



**Figura nr.2.15.** Factor de putere total și raportul  $I_y/I_{dn}$  la același curent continuu nominal  $I_{dn}$ , funcție de tensiunea continuă relativă  $U_d/U_{di}$  - 1.) puncte CN; 2.) puncte CNFS cu comandă de sector; 3.) puncte CNFS pulsată

tehniciile vizează aproape în exclusivitate adaptarea unor filtre pasive sau active pentru frecvențele deranjante, dacă acestea mai apă după satisfacerea condițiilor prezente anterior. Este de remarcat că pentru oricare din situațiile concrete, tipuri de CSAC sau metode de comandă utilizate se pot asigura condițiile necesare unei bune funcționări a rețelelor conexe conform condițiilor prescrise de toate organele în drept [194].

#### 2.6.2.2. Metode specifice rețelelor de alimentare ale CSAC

A.) Pentru îmbunătățirea lui  $\cos \varphi_L$  și scăderea armonicilor se pot folosi baterii de condensatoare de compensare amplasate în substații de alimentare. Metoda nu este agreată deoarece ea are influență strict asupra rețelei

de alimentare, fără linia de contact. Se folosesc numai atunci cînd, împreună cu inductivități sint destinate unor filtre pasive pentru anumite armonici.

B.) Pentru prevenirea rezonanțelor de tensiune în sistem, periculoase pentru elementele semiconductoare de putere sint necesare [53], [19] :

- inductivitate redusă, deci putere de scurtcircuit mărită a rețelei la locul de alimentare,
- evitarea firelor de contact cu un capăt liber,
- amplasarea unor elemente perturbatoare în deplasarea undelor, de exemplu ramificații,
- consumatori suplimentari în rețea,
- amortizarea la capetele liniilor prin filtre RC.

## 2.7. Problematica motoarelor de c.c. serie alimentate de la CSAC

[C5], [9], [8], [27], [29], [39], [66], [117], [111],  
[148], [168], [151], [191]

### 2.7.1. Funcționarea motorului de c.c. alimentat de la CSAC

Tensiunea redresată furnizată de CSAC are un anumit conținut de armonici. Pentru convertorare cu comutație naturală cu "p" pulsuri vor apărea armonici de ordinul p, 2p, ..., amplitudinea lor depinzînd de unghiul de comandă și într-o măsură mai mică de unghiul de comutație. Valoarea momentană a tensiunii continue redresate  $u_d$  poate fi descompusă în serie Fourier:

$$u_d = U_{d\bar{i}} \cos \alpha - \sum_k U_{kp} \sqrt{2} \cos(kp\omega_1 t + \varphi_k) \quad (2.2)$$

unde  $U_{kp}$  este amplitudinea armonică de ordinul  $kp$ , iar  $U_{d\bar{i}}$  valoarea medie a tensiunii continue redresate ideale ( $\alpha = 0$ ). Pentru valoarea momentană a curentului redresat se poate scrie similar:

$$i_d = I_{dmed} + \sum_k I_{kp} \sqrt{2} \cos(kp\omega_1 t + \varphi_k) \quad (2.3)$$

unde  $I_{kp}$  este amplitudinea armonică de ordinul  $kp$ .

Deoarece frecvențele armonicilor de tensiune și curent sint relativ ridicate, turatia motorului nu le poate urmări datorită constanteilor de timp mecanice mari. Armoni-

cile de curent sint limitate numai de inductivitățile circuitului de c.c.

In general armonicile influențează comportarea în funcționare a motorului de c.c. din mai multe puncte de vedere și anume:

- conduc la creșterea valorii efective a curentului indușului, rezultind pierderi în cupru mai ridicate;
- produc pulsări ale cîmpului magnetic, conducind la pierderi suplimentare în fierul mașinii;
- și la încărcarea staționară variația curentului indușului mașinii  $di/dt \neq 0$ , ceea ce înseamnă o comutăție înrăutățită;
- "zgomot magnetic" mai ridicat al mașinii.

La existența armonicilor în curentul indușului, datorită curentilor de scurtcircuit induși în fierul masiv al polilor de comutație și în jugul inductorului, apare un defazaj între solenăția polilor de comutație și cea transversală a indușului (figura nr.2.16), ceea ce conduce la situația în care cîmpul polilor de comutație nu mai poate anihila cîmpul de reacție transversal al indușului în modul

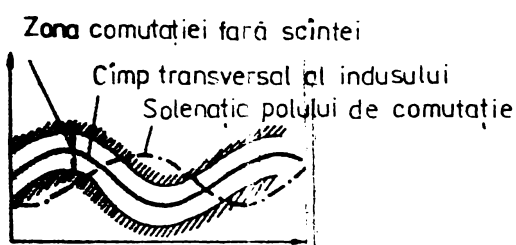


Figura nr.2.16. Solenăția transversală a indușului și cea a polilor de comutație în zona de comutație

dorit. Chiar la dimensionarea corectă a amplitudinii cîmpului de comutație, solenăția corespunzătoare poate fi situată, în anumite intervale în afara zonei de comutație fără scînteie. Din acest motiv polii de comutație și jugul inductorului la mașini alimentate de la CSAC se execută din tole.

Dacă amplitudinea armonicilor este mai mare decât valoarea medie a curentului continuu rezultă intervale în care curentul prin motor este nul, sistemul CSAC-motor de c.c. funcționează în regim de curent întrerupt. Acest regim apare, cum este de așteptat, la sarcini reduse (valoarea medie a curentului redusă) și la un conținut de armonici ridicat (unguiul de comandă  $\approx 90^\circ$ ). Atât caracteristicile mecanice cât și comportarea dinamică a sistemului se modifică în

acest regim, motiv pentru care el este în general evitat.

#### 2.7.2. Metode pentru ameliorarea funcționării motoarelor de c.c. alimentate de la CSAC

Metodele utilizate se împart în două categorii și anume cele care reduc armonicii în sine și cele care reduc influențele armonicilor asupra funcționării motoarelor.

Toate măsurile din prima categorie impun în principiu mărirea inductivității în circuitul de curent continuu, realizat cel mai simplu prin intercalarea unei inductivități suplimentare. Deci reducerea armonicilor nu este o problemă tehnică, ci una de compromis, trebuind să se găsească un optim între necesar, pe de o parte și gabarit, greutate, preț de cost pe de altă parte, avind ca urmare existența întotdeauna a unui anumit conținut de armonici. Deci măsurile din a doua categorie devin absolut necesare.

Următoarele trei direcții trebuie avute în vedere atunci când la un grad de ondulare al curentului dat, se doresc solicitări minime în mașină:

- neamortizarea completă a cîmpului de comutație;
- filtrarea completă a cîmpului inductor principal;
- compensare completă.

Luînd ca etalon cazul ideal, conform dezideratelor mai sus prezentate, figura nr.2.17 prezintă comparativ în ce măsură soluțiile practice se apropiie de aceasta. Ele se împart în două categorii.

Prima pornește de la mașina de c.c., mai precis de la cea de tensiune continuă. Soluțiile vizează îndepărțarea armonicilor de tensiune de la mașină prin dispunerea unei inductivități de filtrare; la limita mașina ar fi alimentată cu tensiune continuă și curent ondulat. În acest caz armonicile contribuie la cuplu. Din această categorie fac parte mașina de curent continuu și cea de curent ondulat, ultima denumire fiind folosită pentru mașini cu cîmpul principal netezit și cîmpul de comutație neamortizat.

A doua categorie de soluții pornește principial de la funcționarea cu alimentarea în curent alternativ a mașinii electrice cu colector, avind ca și principala caracteristică faptul că mașina electrică trebuie să preia armonicile de tensiune în totalitate. Cum în acest caz nu exis-

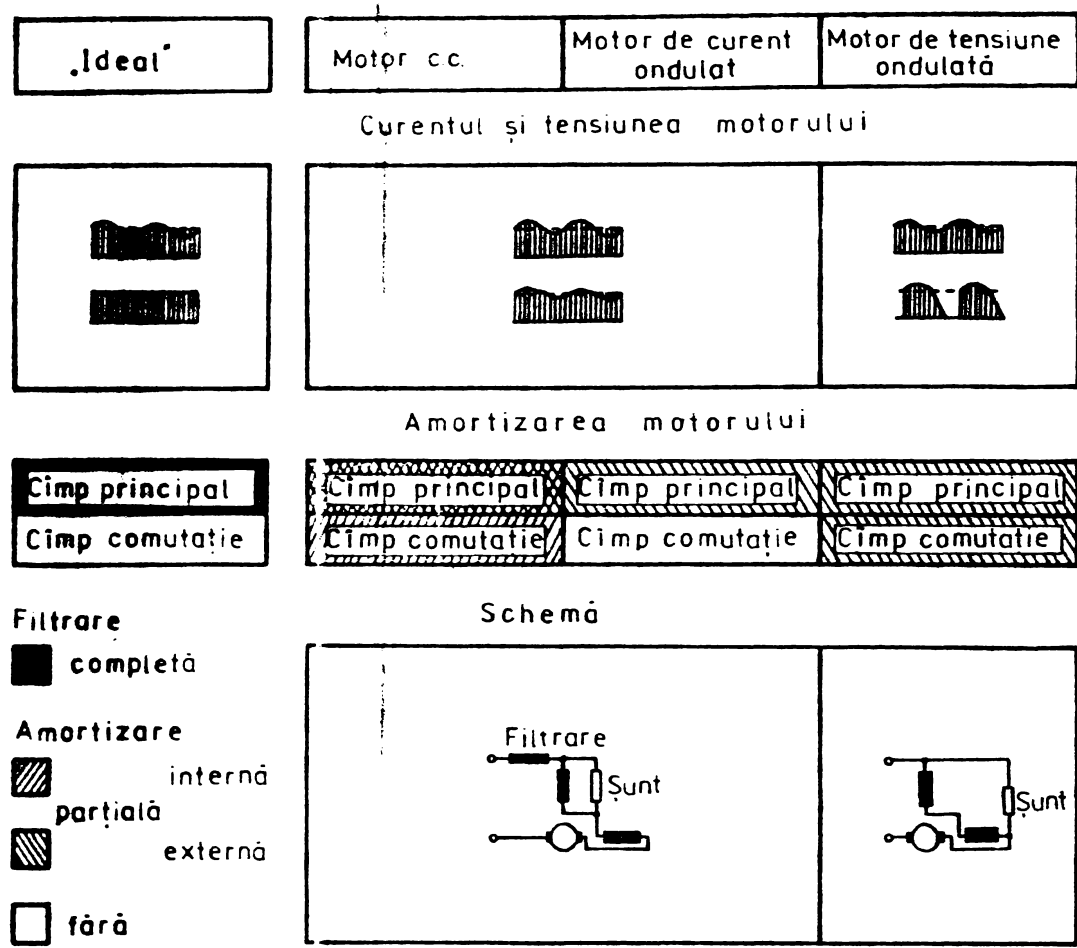


Figura nr.2.17. Tipuri constructive ale motoarelor de c.c. alimentate de la CSAC

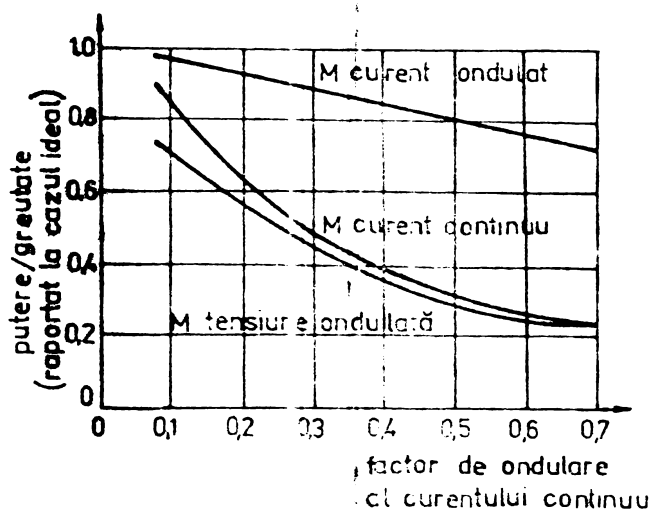


Figura nr.2.18.  
Variația puterii/greutate(raportată la cazul ideal)funcție de factorul de ondulare al curentului continuu la motoare alimentate de la CSAC

tă inductivitate de filtrare, mașina trebuie să fie dimensionată cu o inductivitate proprie egală cu cea necesara

pentru a asigura gradul de ondulare al curentului stabilit, contribuția principală aducind-o cea a inductorului. Această cerință este însă în directă contradicție cu situația ideală preconizată care presupune o nevoie completă a cuplului principal. Armonnicile contribuie în acest caz la cuplu.

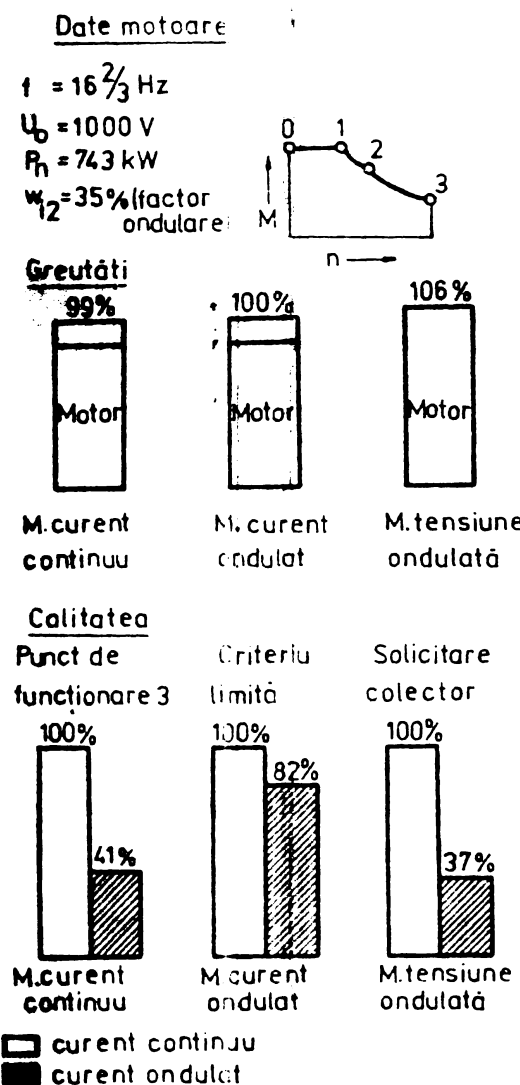


Figura nr.2.19.  
Comparația tipurilor de motoare de c.c.  
alimentate de la OSAC

Apare, ca și la mașina de curenț alternativ cu colector, o tensiune transformatorică ce nu poate fi compensată decât pentru un punct de funcționare. Mașinile sîn executate complet din tole și sînt denumite de tensiune ondulată.

Prezentînd în continuare succint performanțele tipurilor de mașini electrice amintite, se consideră că acestea au, la regimul de alimentare cu tensiune continuă, cupluri de pornire, cuplu nominal, turărie maximă, cuplui la turărie

maximă identice. Comparând raportul putere pe greutate al acestora, mașina de curenț ondulat are comportarea cea mai bună cu variația factorului de ondulare al curentului (figura nr.2.18).

Dacă greutățile celor trei tipuri de motoare diferă relativ puțin (figura nr.2.19), puterea capabilă a fi furnizată de ele face ca mașina de curenț ondulat să fie la ora actuală utilizată aproape în toate cazurile, atunci cind pentru modificarea turăției se folosesc CSAC. Datele comparative din figura nr.2.21 sunt evaluate pentru frecvența tensiunii de alimentare de  $16 \frac{2}{3}$  Hz; la 50 Hz situația este și mai avantajoasă pentru mașina de curenț ondulat.

Constructiv, motoarele de curenț ondulat moderne se realizează complet din tole, cu particularitățile constructive specifice mașinilor de curenț alternativ, în special, înfășurări plasate în crestături. Costul unor asemenea motoare nu este mai ridicat decât la construcția clasică a mașinii de c.c. (cu poli de comutație din tole), eroarea în aprecierea costului provine de la faptul că se compară în general mașini de c.c. clasice cu cele de curenț alternativ cu colector prețul mai ridicat al acestora din urmă fiind dictat în principal de numărul de poli al lor mai ridicat. Forma constructivă specifică mașinilor de curenț alternativ are în plus avantajul unui bilanț termic mai bun, deoarece este știut că transferul de căldură de la o înfășurare plasată în crestături este cu mai mult mai bun decât al uneia polare.

#### 2.7.3. Cerințe impuse mașinii de c.c. serie - intr-un sistem automat

Mașina de c.c. serie este folosită în sisteme automate de reglare a unor mărimi caracteristice ale ei numai în tractiune, locul ei preferat de utilizare.

Măsurile de ameliorare a funcționării mașinii de c.c. alimentată de la CSAC sunt indispensabile și pentru funcționarea ei într-un sistem automat de reglare. La acestea se mai adaugă următoarele cerințe:

- mașina de c.c. trebuie să prezinte intercondiționări interne cât mai reduse; reacția industului datorată nesimetriei așezării periielor, comutarea neliniară, fenomene de saturatie, etc., toate conduc la înrautățirea performanțelor

- dinamice și dependența și mai accentuată a parametrilor de punctul de funcționare;
- constantele mecanice ale mașinii trebuie să fie cît mai mici;
  - domeniul de modificare al turației mașinii fără ca ea să lucreze într-un sistem automat de reglare a turației trebuie să fie cît mai mare; printr-o construcție mecanică îngrijită și inclinarea creștăturilor indusului se poate asigura un mers continuu și la turații foarte joase; de asemenea în întreg domeniul de modificare a turației mașina trebuie să poată fi încarcată la cuplul nominal și ventilată corespunzător.
  - să existe în general posibilitatea de adaptare constructivă a unui tahogenerator.

Mașina de c.c. serie prezintă principial aceeași comportare dinamică ca și cea cu excitație separată. Parametrii hotărîtori pentru reglare sunt însă dependenti de punctul de funcționare al mașinii.

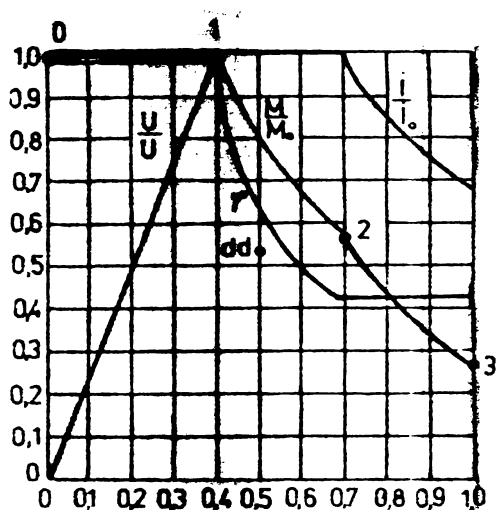
Dacă mașina de c.c. este utilizată într-un sistem automat de reglare a turației, atunci constantele de timp mecanice și electrice sunt compensate separat, prin bucle de reglare suprapuse (buclă de reglare a curentului și suprapus buclă de reglare a turației). Deoarece constanta de timp electrică a mașinii serie este redusă la o fracțiune din cea corespunzătoare mașinii cu excitație separată, la sisteme de reglare specifice primei, uneori se poate renunța la bucla de reglare a curentului. Chiar dacă se realizează sistemul automat de reglare complet la funcționarea în regimuri variate nu se poate asigura acordarea regula-toarelor decit pentru un punct de funcționare. Vor apărea astfel, la alte regimuri de lucru supraoscilații sau durate ale proceselor transitorii relativ mari, care nu sunt însă întotdeauna deranjante în tracțiune.

#### 2.7.4. Regimuri limită ale mașinii de c.c. serie

Calitatea unei mașini de c.c. serie este dictată în principal de durata de viață și de fiabilitatea acesteia, fiind stabilită de mărimea domeniului de funcționare și de solicitările termice admisibile.

**Figura nr.2.20.a.** prezintă domeniul de funcționare admisibil al unei mașini de c.c. serie, limitările fiind astfel stabilite:

- de la 0 la 2 prin curentul maxim,
- de la 1 la 3 prin tensiunea maximă,
- de la 2 la 3 prin dezexcitarea maximă permisă.



Domeniu 0-1  $M = \text{const.}$

Domeniu 1-2  $M \cdot n = \text{const.}$

Domeniu 2-3  $M \cdot n^2 = \text{const.}$

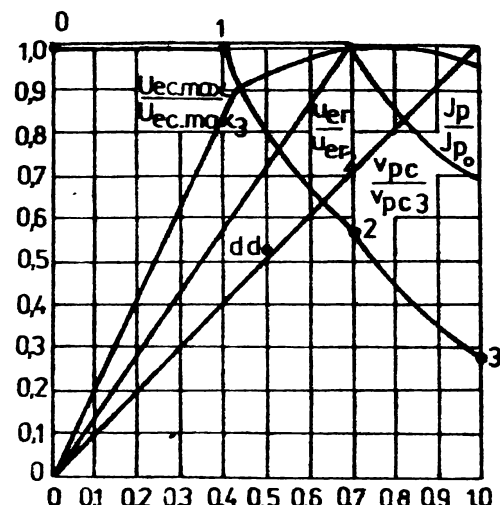
$M = \text{cuplul}$

$n = \text{turație}$

$U = \text{tensiune}$

$i = \text{curent}$

$\varphi = \text{grad de excitare}$



$J_p = \text{densitatea curentului sub perii}$

$V_{pc} = \text{viteză periferică colector}$

$U_{er}, U_{ec} = \text{componente ale t.c.m. induse în bobina care comută}$

**Figura nr.2.20.** Regimuri limită ale mașinii de c.c. serie

Pentru ca prezentarea să fie completă, figura nr. 2.20.b. redă mărimele caracteristice pentru solicitarea colectoarului în regim de alimentare cu tensiune continuă, care limitează de fapt domeniul admisibil de funcționare al mașinii.

#### 2.8. Concluzii. Stadiul actual de rezolvare al problemelor

Studiul diferențelor sistemelor CSAC - motor c.c. serie a fost apropiat mai mult sau mai puțin, după gradul de perfecțiune la care ele au fost aduse în aplicații. Pentru nici unul din tipurile de CSAC nu s-a efectuat o ana-

- 24 -

**liză completă în sensul celor prezentate în paragraful nr. 3.1.** Ca și la studiul altor tipuri de sisteme de conversie cu CS se poate afirma că experiența practică este cu mult mai avansată decât studiul teoretic aprofundat al acestora.

Studiul CSAC cu comutație naturală cu comandă de fază pentru alimentarea motoarelor de c.c. serie este cel mai avansat, în spătă cel referitor la puntea monofazată de tip SNA, cea mai des utilizată soluție. Lucrările [166], [C14] pot fi considerate a fi cele mai complete în această direcție. În [166] se efectuează calculul mărimilor de curent alternativ și continuu ținând cont de toate regimurile de funcționare. Nu se abordează problemele legate de ameliorarea parametrilor de c.a. și c.c., se neglijeză toate rezistențele, deci nu s-au putut efectua verificări experimentale concluzante. [C14] cuprinde calculul mărimilor de c.a. la compensarea puterii reactive prin condensatoare legate la bornele CSAC, fără a ține cont de toate regimurile de funcționare ale punții și fără a indica direcții și soluții de optimizare privind ameliorarea performanțelor ei. Studiul punții de tip CN nu a fost definitivat, având în vedere dezvoltarea impetuosă a CSAC cu comutație forțată.

Studiile teoretice referitoare la sistemele CSAC cu comutație forțată-motor c.c. serie, au urmat mai mult probleme legate de concepția de noi scheme, tipuri de comenzi, soluții practice de realizare ale acestora, dimensionarea simplificată a lor, rezultate experimentale privitor la aplicări, fără a se urmări problemele de sistem în toată complexitatea lor.

Nu s-au urmărit decât sporadic problemele de stabilitate ale sistemelor CSAC-motor c.c. serie.

Majoritatea studiilor au vizat în consens cu aplicațiile pînă în prezent, analiza unor punți multiple, legate în serie în rețeaua de tensiune alternativă, situație ce nu corespunde scopului prezentei lucrări.

## CAPITOLUL 3

### SISTEMUL CSAC IN PUNTE MONOFAZATA DE TIP SEMICOMANDAT ASIMETRIC (SNA) - MOTOR DE CURENT CONTINUU SERIE

#### 3.1. Introducere

Datorită utilizării pe scară largă în tractiunea electrică a redresoarelor în punte semicomandată asimetrică, sistemul CSAC-motor de c.c. serie a fost obiectul multor studii teoretice, continuind să fie abordat și în prezent, fără a exista însă o tratare unitară și completă a acesteia. Pentru regimul staționar un asemenea studiu presupune:

- considerarea tuturor regimurilor de funcționare posibile ale punții semicomandate (vezi paragraful nr.3.2);
- considerarea inductivității finite și a rezistenței din circuitul de curent continuu;
- considerarea inductivității și rezistenței din circuitul de curent alternativ;
- considerarea rezistenței și inductivității proprii a ventilelor semiconductoare;
- din punctul de vedere al mașinii electrice, luarea în considerare a tensiunii electromotoare induse, a vitezei unghiulare și a cuplului ca fiind mărimi variabile în timp, precum și considerarea saturăției mașinii;
- evaluarea performanțelor globale energetice ale sistemului.

Pentru cazul unei inductivități de filtrare infinite în [167] s-au dedus variațiile mărimilor de curent alternativ și continuu. În analizele teoretice din [130] și [136] se consideră inductivitatea de filtrare finită, se neglijeză însă inductivitatea din circuitul de curent alternativ. Pentru prima dată în [133] se stabilesc variațiile mărimilor electrice de intrare și ieșire ale convertorului la inductivitate finită atât în circuitul de curent alternativ cât și în cel de curent continuu, analizându-se însă numai regimul de curent continuu neîntrerupt. Se abordează studiul principalelor regimuri posibile de funcționare ale punții de tip SNA, cu induc-

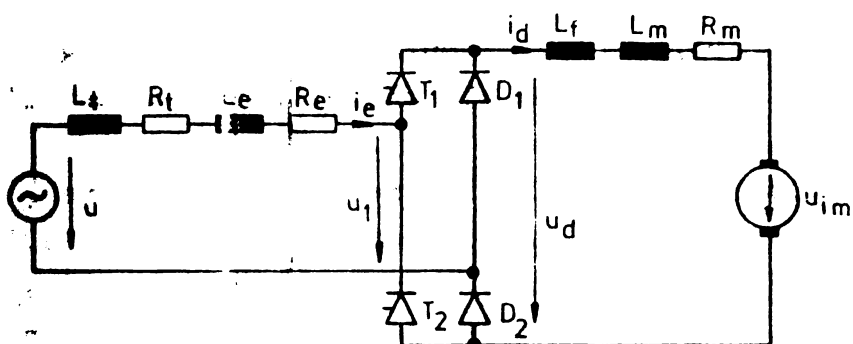
tivități finite în circuitele de c.a. și c.c. în [166], studiu care conține pentru prima dată evaluarea parametrilor energetici pe partea de curent alternativ. În [C14] se consideră și rezistențele din circuitul de c.a. și c.c., fără a se analiza însă toate regimurile de funcționare ale punții și fără deducerea performanțelor energetice globale ale sistemului.

Majoritatea studiilor (exceptând [130] și [C14]) iau în considerare mașina de curent continuu cu excitație separată, toate însă presupun t.e.m. indușă, viteza unghiulară și cuplul mașinii, în cazurile rare în care le calculează, constante în timp.

Referitor la metodele de studiu utilizate, majoritatea autorilor folosesc metode analitice, [31] și [C13] propun ca metodă simularea numerică a sistemului CSAC – motor de c.c., însă fără o finalizare a acesteia.

### 3.2. Regimurile de funcționare ale sistemului CSAC în punte monofazată de tip SNA – motor c.c. serie

Schema completă analizată este prezentată în figura nr.3.1., cu următoarele semnificații ale notațiilor:



**Figura nr.3.1. Sistemul CSAC în punte monofazată tip SNA – motor c.c. serie**

- $u$  - tensiunea alternativă de alimentare (t.e.m. îndisă în secundarul transformatorului de alimentare);
- $L_t, R_t$  - inductivitatea, respectiv rezistența sursei de alimentare (transformator);

- $L_e, R_e$  - inductivitatea, respectiv rezistența din rețeaua de tensiune alternativă;
- $u_1$  - tensiunea alternativă la bornele CSAC ;
- $i_e$  - curent alternativ;
- $T_1, T_2, D_1, D_2$  - tiristoarele , respectiv diodele CSAC;
- $u_d, i_d$  - tensiunea respectiv curentul din circuitul de curent continuu;
- $L_f$  - inductivitatea de filtrare;
- $L_m, R_m$  - inductivitatea dinamică, respectiv rezistența totală a motorului de c.c. serie;
- $u_{im}$  - minus t.e.m. indușă a mașinii de c.c.

Ipotezele simplificatoare ce s-au adoptat sunt următoarele :

- tensiunea "u" este sinusoidală:

$$u = U\sqrt{2} \sin \omega t = U\sqrt{2} \sin z \quad (3.1.)$$

- se neglijă inductivitățile proprii ale elementelor semiconductoare;
- valorile inductivităților și rezistențelor sunt constante în timp;
- comanda CSAC este simetrică.

In regim stationar sunt posibile următoarele moduri de funcționare a punții monofazate de tip SNA [167] :

- a.) regim de funcționare fără curent continuu întrerupt(două comutații pe semiperioadă) cu formele de undă ale mărimilor caracteristice date în figura nr.3.2.;
- b.) regim de funcționare cu curent întrerupt cu o comutare pe semiperioadă(figura nr.3.3.);
- c.) regim de funcționare cu curent întrerupt fără nici o comutare pe semiperioadă(figura nr.3.4).

a.) Regimul se caracterizează după denumire, prin faptul că valoarea curentului continuu " $i_d$ " nu devine egală cu zero pe o semiperioadă a tensiunii alternative de alimentare.La unghiul de comandă  $z_2 = \alpha$  tiristorul  $T_1$  intră în conductie (dacă valoarea momentană a tensiunii alternative este mai mare decât cea a tensiunii " $u_{im}$ "). Pe durata unghiului de comutare  $\delta_2 = z_3 - z_2$  curentul trece de pe ramura corespunzătoare diodelor de nul  $D_1, D_2$  pe tiristorul  $T_1$ , tensiunea continuă " $u_d$ " fiind nulă.Motorul de curent continuu va fi conec-

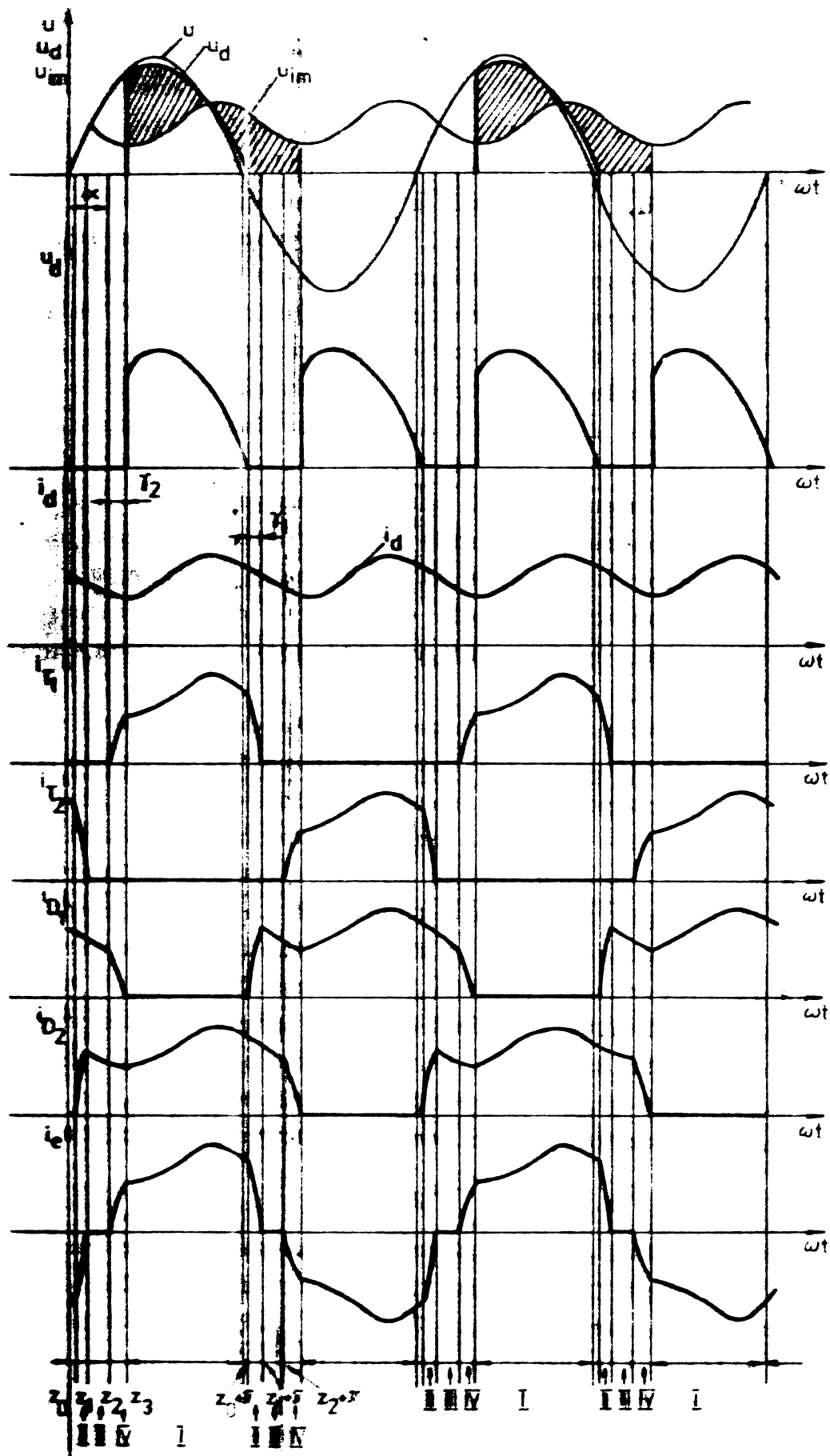


Figura nr. 3.2. Formele de undă pentru regimul de curent continuu nefintrerupt

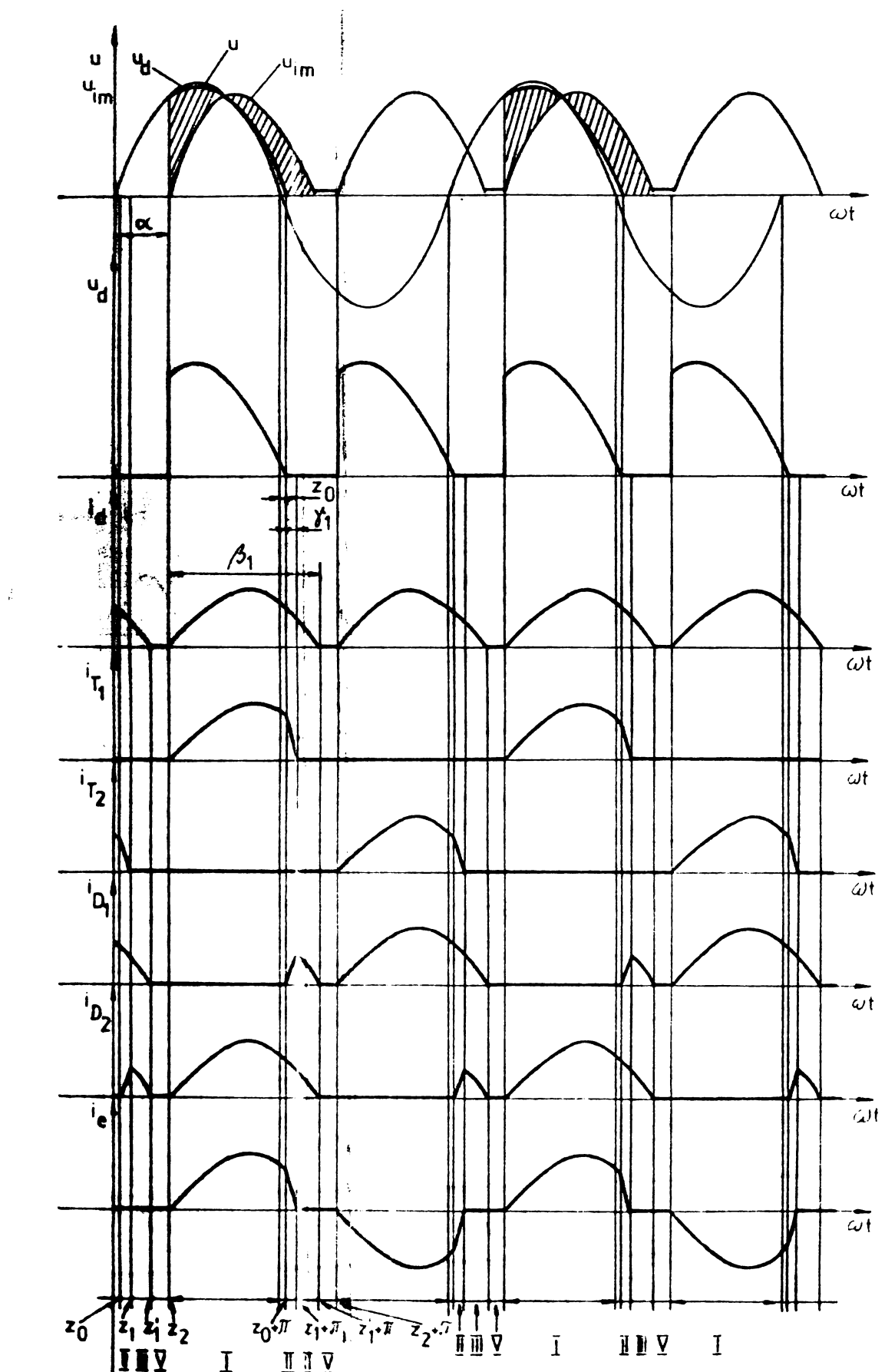
tat la sursa de alimentare prin  $T_1$  și  $D_2$  pe intervalul  $z_3 + z_0 + \tilde{\pi}$ , absorbind de la aceasta energie care parțial este înmagazinată în inductivități respectiv în masele în mișcare ale mașinii electrice, disipată în rezistențele circuitului și care este furnizată sub formă de energie mecanică mașinii de lucru. La momentul  $z_0 + \tilde{\pi}$  începe comutația de pe tiristorul  $T_1$  pe ranura de nul a CSAC, proces ce se desfășoară pe durata corespunzătoare unghiului de comutare  $\gamma_1$ . În acest interval tensiunea continuă de ieșire a CSAC este nulă, iar pentru rețeaua de alimentare avem un scurtcircuit la bornele de intrare ale convertorului, curentul " $i_e$ " scade la valoarea zero. Până la amorsarea tiristorului  $T_2$  (momentul  $z_2 + \tilde{\pi}$ ), curentul continuu " $i_d$ " va circula peste diodele de nul  $D_1, D_2$ , fiind menținut de energia înmagazinată în inductivități, care acoperă pierderile, suplimentează energia cinetică a elementelor în mișcare și furnizează energie mașinii de lucru. Nu se absoarbe energie din rețeaua de alimentare. Stările posibile ale sistemului au fost notate conform figurii nr.3.2 de la I la IV.

b.) Atunci cînd intervalul de conduction al diodelor de nul energie înmagazinată în inductivități este redusă, curentul continuu " $i_d$ " scade la valoarea zero (figura nr.3.3.), apărînd o pauză de curent (starea V), situația în care t.e.m. " $u_{im}$ " se menține la valoarea corespunzătoare remanenței. Energia ce trebuie furnizată la arborele motorului va fi în întregime acoperită de cea cinetică înmagazinată în masele în mișcare. La comanda tiristorului  $T_1$  ( $z_2 = \alpha$ ) nu va mai apărea intervalul de comutare al curentului de pe diodele de nul pe tiristor ( $\gamma_2 = 0$ ), existînd o singură comutare pe semiperioadă și anume cea de pe perechea  $T_1, D_2$  pe diodele de nul. Se definește în acest caz unghiul de conduction  $\beta_1$ :

$$\beta_1 = z_1' + \tilde{\pi} - z_2 \quad (3.2)$$

c.) Mai rar, dar teoretic posibil este regimul de curent întrerupt fără comutare (figura nr.3.4), la care dispar ambele zone de comutare  $\gamma_1$  și  $\gamma_2$ . În această situație conduc alternant perechile de ventile  $T_1, D_2$  respectiv  $T_2, D_1$ , curentul continuu " $i_d$ " scăzînd la valoarea zero la sfîrșitul domeniilor de conduction ale acestora, fără a avea loc comutării.

În rîecare din regimurile amintite apar stări simi-



**Figura nr. 3.3.** Formele de undă pentru regimul de curent întrerupt cu o comutare pe semiperioadă

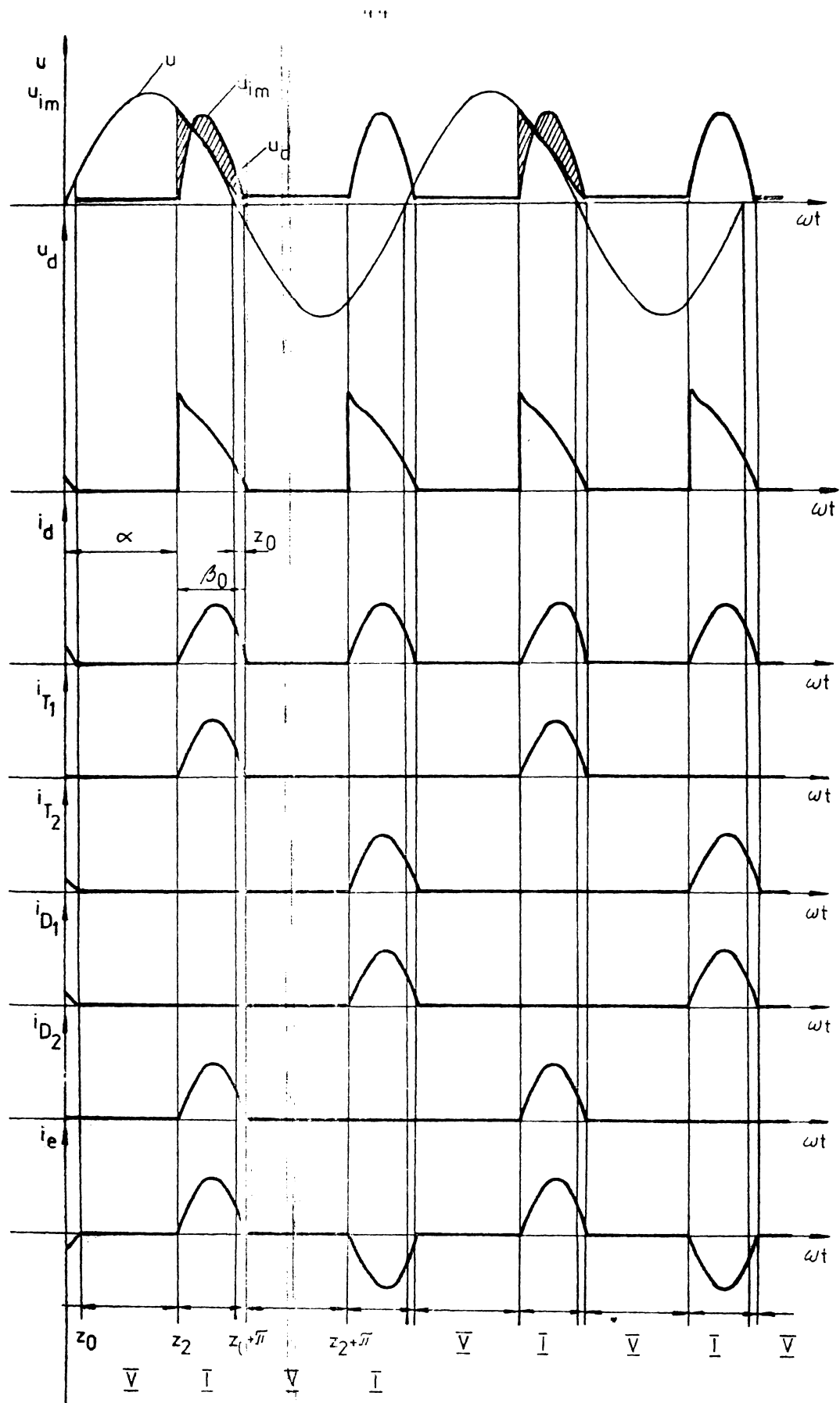


Figura nr. 2.4. Formele de undă pentru regimul de curent întrerupt fără nici o comutație pe semiperioadă

lare ale sistemului notate după cum urmează:

- starea I - conducție pereche tiristor-diodă,  
 $z \in (z_2, z_0)$ ;
- starea II - comutăție de pe perechea tiristor-di-  
odă pe diode,  $z \in (z_0, z_1)$ ;
- starea III - conducție perechea de diode,  
 $z \in (z_1, z_2)$ ;
- starea IV - comutăție de pe perechea de diode pe  
cea formată din tiristor-diodă,  $z \in (z_2, z_3)$ ;
- starea V - toate ventilele semiconductoare bloca-  
te,  $z \in (z_1, z_2)$  pentru regimul b.) și  $z \in (z_0, z_2)$  pen-  
tru c.).

Este de menționat că în forme de undă calitative redată punctul  $z_0$  a fost reprezentat după trecerea prin ze-  
ro a tensiunii alternative "u", fapt care corespunde unei im-  
pedanțe cu un pronunțat caracter inductiv pe partea de curent  
alternativ. În situația în care acest deziderat nu este înde-  
plinit,  $z_0$  se poate confunda cu trecerea prin zero a tensiunii  
"u" sau o poate chiar devansa.

De asemenea este de remarcat de la început că re-  
gimul de curent întrerupt are o importanță mai redusă la mo-  
toarele c.c. serie în comparație cu cele cu excitație deri-  
vație sau separată. La acestea din urmă există în orice mo-  
ment o t.e.m. indusă suficientă, care倾de să se opună cu-  
rentului continuu, descreșcindu-l rapid atunci cînd sursa de  
tensiune alternativă nu debitează peste mașina electrică;  
astfel la mașina de c.c. derivație apare regimul de curent  
întrerupt într-un domeniu larg de funcționare al acesteia.  
Spre deosebire de cele arătate mai sus, la mașina de c.c. se-  
rie, la turăție constantă și magnetism remanent neglijabil,  
" $u_{im}$ " este proporțională cu " $i_d$ ", astfel că odată cu scăderea  
lui " $i_d$ " va scădea și " $u_{im}$ ", în acest fel curentul continuu  
倾de să fie neîntrerupt, regimul de curent întrerupt apărind  
numai la sarcini reduse și turății mari ale mașinii.

### 3.3. Scheme echivalente. Stabilirea ecuațiilor sistemului

Stările de funcționare stabilite în paragra-  
fui precedent li sunt asociat schemele electrice echivalen-  
te corespunzătoare, prezentate în figura nr.3.5. Pentru a

ține cont de influența parametrilor semiconductoarelor și-a considerat oportună introducerea în circuitul de curent continuu a rezistenței  $R_s$  a două ventile. Pentru stările I și III situația este conformă cu realitatea, iar pentru II și IV oferă o bună aproximare, ținând cont de modul de variație al curentilor în aceste situații.

Utilizând notațiile precizate în paragraful 3.2 se pot scrie ecuațiile de mai jos:

- starea I - conductie pereche tiristor-diodă,

$z \in (z_3, z_e + \tilde{m})$ , iar la conductie întreruptă  $z \in (z_2, z_0 + \tilde{m})$

$$\begin{cases} u - (L_e + L_t) \frac{di_e}{dt} - (R_e + R_t) i_e = u_{im} + (L_m + L_f) \frac{di_d}{dt} + (R_m + 2R_s) i_d \\ i_d = i_e \\ u_d = u_{im} + (L_m + L_f) \frac{di_d}{dt} + (R_m + 2R_s) i_d \end{cases} \quad (3.3)$$

- starea II - comutare de pe perechea tiristor-diodesă pe diode,  $z \in (z_0, z_1)$ :

$$\begin{cases} u - (L_e + L_t) \frac{di_e}{dt} - (R_e + R_t) i_e = 0 \\ u_{im} + (L_m + L_f) \frac{di_d}{dt} + (R_m + 2R_s) i_d = 0 \\ u_d = 0 \end{cases} \quad (3.4)$$

- starea III - conductie diode,  $z \in (z_1, z_2)$ :

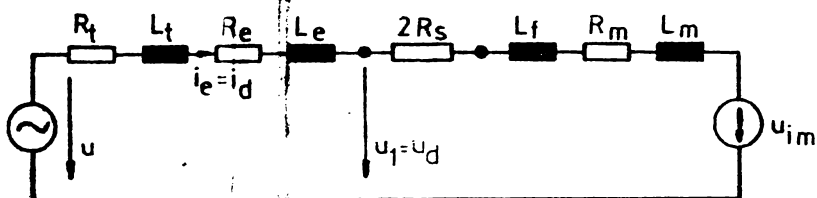
$$\begin{cases} u_{im} + (L_m + L_f) \frac{di_d}{dt} + (R_m + 2R_s) i_d = 0 \\ i_e = 0 \\ u_d = 0 \end{cases} \quad (3.5)$$

- starea IV - comutare de pe diode pe perechea tiristor-diodesă,  $z \in (z_2, z_3)$ :

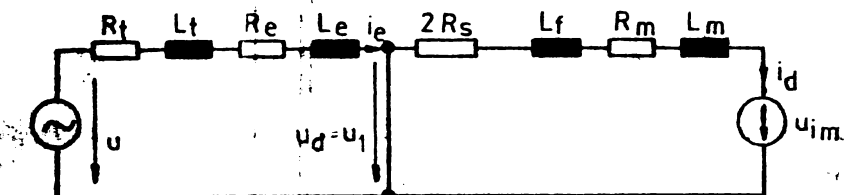
$$\begin{cases} u - (L_e + L_t) \frac{di_e}{dt} - (R_e + R_t) i_e = 0 \\ u_{im} + (L_m + L_f) \frac{di_d}{dt} + (R_m + 2R_s) i_d = 0 \\ u_d = 0 \end{cases} \quad (3.6)$$

- starea V - toate ventilele semiconductoare blocate,  $z \in (z_1', z_2')$  pentru regimul b.);  $z \in (z_0', z_2')$  pentru c.):

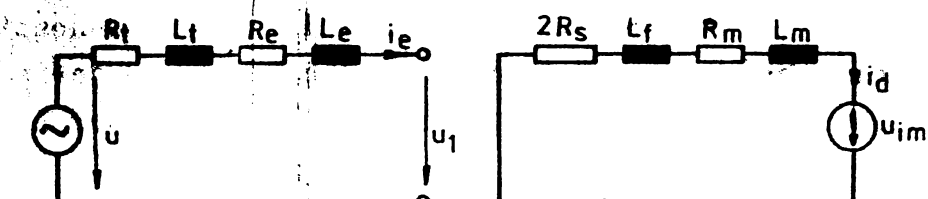
### I. Punte in conductie



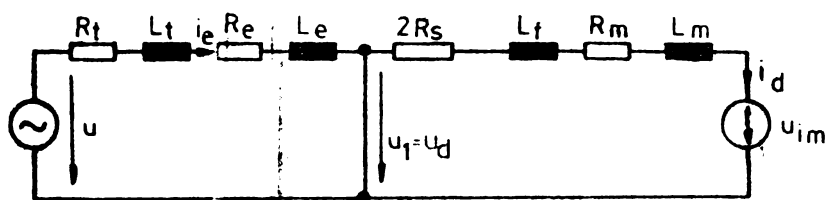
### II. Comutatie de pe tiristoare pe diode



### III. Conductia diodelor



### IV. Comutatie de pe diode pe tiristoare



### V. Punte blocata, $i_e = 0, i_d = 0$

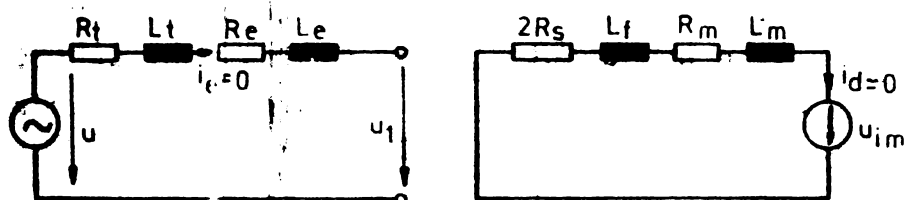


Figura nr. 3.5. Schemele electrice ale sistemului

$$\begin{cases} i_e = 0 \\ i_d = 0 \\ u_d = 0 \end{cases} \quad (3.7)$$

Piind date tensiunea de alimentare "u", parametrii si sistemului (rezistențe, inductivități) și t.e.m. indușă "u<sub>im</sub>" a mașinii, necunoscute vor fi curentul alternativ "i<sub>e</sub>", cel continuu "i<sub>d</sub>" și tensiunea continuă "u<sub>d</sub>".

Fiecare din sistemele de mai sus se completează cu ecuațiile corespunzătoare mărimilor mecanice ale mașinii de c.c.:

$$\begin{cases} m - m_r - m_o = J \frac{d\omega_r}{dt} \\ m = \frac{u_{im} i_d}{\omega_m} \end{cases} \quad (3.8)$$

care introduc ca necunoscute cuplui electromagnetic "m" și viteza unghiulară " $\omega_m$ ".

T.e.m. indușă a mașinii de c.c. serie este proporțională cu valoarea fluxului (deci și a curentului) și a vitezei unghiulare (în valori medii):

$$U_{im} = k \phi \Omega_m = k_1 I_d \Omega_m = f(I_d, \Omega_m) \quad (3.9)$$

unde  $k$  și  $k_1$  sunt constante ale mașinii [C13]. Cunoscindu-se caracteristica de mers în gol a mașinii de c.c. serie la viteza unghiulară nominală (figura nr.3.6), va fi posibilă de-

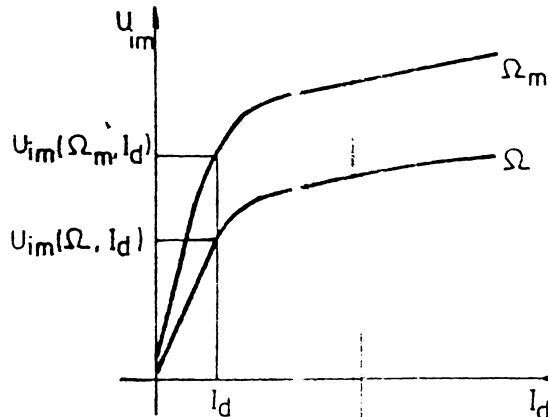


Figura nr.3.6 . Caracteristica  $U_{im}=f(\Omega_m, I_d)$  a mașinii de c.c.

terminarea t.e.m. induse la viteza unghiulară nominală  $U_{im}(\Omega_m, I_d)$  la un curent  $I_d$  dat. Tinând cont de (3.9), la un  $I_d$  dat se va putea evalua și valoarea t.e.m. induse la o altă viteza unghiulară  $\Omega_m$ ,  $U_{im}(\Omega_m, I_d)$ :

$$U_{im}(\Omega_m, I_d) = \frac{\Omega_m}{\Omega_{mn}} U_{im}(\Omega_{mn}, I_d) \quad (3.10)$$

Deci la ecuațiile de mai sus se adaugă o relație de forma:

$$u_{im} = u_{im}(i_d, \omega_m) \quad (3.11)$$

ce va permite calculul valorii momentane a t.e.m. induse la " $i_d$ " și " $\omega_m$ " date, cunoscindu-se caracteristica de mers în gol a mașinii de c.c. la viteza unghiulară nominală.

Din combinarea sistemelor (3.3.) - (3.7) completeate cu (3.8) și (3.11) se pot scrie sistemele de ecuații specifice fiecărui regim de funcționare al punții prezentate

în paragraful precedent bineînțeles acestea trebuie să fie completeate cu condițiile limită care realizează trecerea de la un sistem la altul.

Exemplificarea acestui lucru se va face pentru regimul de curent neîntrerupt, deoarece din modul în care s-a procedat la rezolvarea sistemelor de ecuații se vor putea identifica și rezolva și celelalte situații specifice funcțiilor sistemului (vezi paragraful nr.3.4).

Pentru generalizarea rezultatelor obținute s-au raportat mărimele ce intervin în ecuații după cum urmează:

- tensiunile - la tensiunea nominală a motorului de c.c. serie  $U_{mn}$ ;
- curentii - la curentul de scurtcircuit al motorului:

$$I_{msc} = U_{mn} / R_m \quad (3.12)$$

- puterile - la puterea de scurtcircuit a mașinii electrice:

$$P_{msc} = U_{mn}^2 / R_m \quad (3.13)$$

- viteza unghiulară - la viteza unghiulară nominală  $\Omega_{mn}$ ;

- cuplurile - la  $P_{msc} / \Omega_{mn}$ .

Pentru ușurarea scrierii și interpretării rezultatelor obținute în urma rezolvării sistemelor, în loc de timpul "t" se va folosi ca variabilă independentă:

$$z = \omega t = 2\pi f t \quad (3.14)$$

unde "f" este frecvența rețelei de tensiune alternativă de alimentare.

Se fac următoarele notări:

$$X_e = \omega L_e; X_t = \omega L_t; X_f = \omega L_f; X_m = \omega L_m \quad (3.15)$$

$$A_e = (X_e + X_t) / R_m; A_f = X_f / R_m; A_m = X_m / R_m \quad (3.16)$$

$$B_e = (R_e + R_t) / R_m; B_s = 2R_s / R_m \quad (3.17)$$

$$T_m = \Omega_{mn}^2 \omega J / P_{msc} \quad (3.18)$$

Se va introduce în relații valoarea medie a puterii mecanice la arborele mașinii electrice " $P_r$ ", iar cuplui corespunzător

frecările se consideră constant.

Cu cele precizate mai sus se vor scrie sistemele de ecuații în mărime raportate pentru regimul de curent neîntrerupt, începînd cu unghiul de comandă  $z_2 = \alpha$  (figura nr. 3.7). Prin indicele (') se vor diferenția mărurile raportate.

Pentru intervalul  $z \in (z_2, z_3)$  - comutație de pe diode pe perechea tiristor-diodă ce urmează la conductie:

$$\left\{ \begin{array}{l} u' = U\sqrt{2} \sin z \\ u' - A_e \frac{di'_e}{dz} - B_e i'_e = 0 \\ u'_{im} + (A_m + A_f) \frac{di'_d}{dz} + (1+B_s) i'_d = 0 \\ u'_d = 0 \\ m' = \frac{p'_r}{\omega'_m} - M'_o = \tau_m \frac{d\omega'_m}{dz} \\ m' = \frac{u'_{im} i'_d}{\omega'_m} \\ u'_{im} = u'_{im}(i'_d, \omega'_m) \end{array} \right. \quad (3.19)$$

cu condiția inițială :

$$i'_e(z_2) = 0 \quad (3.20)$$

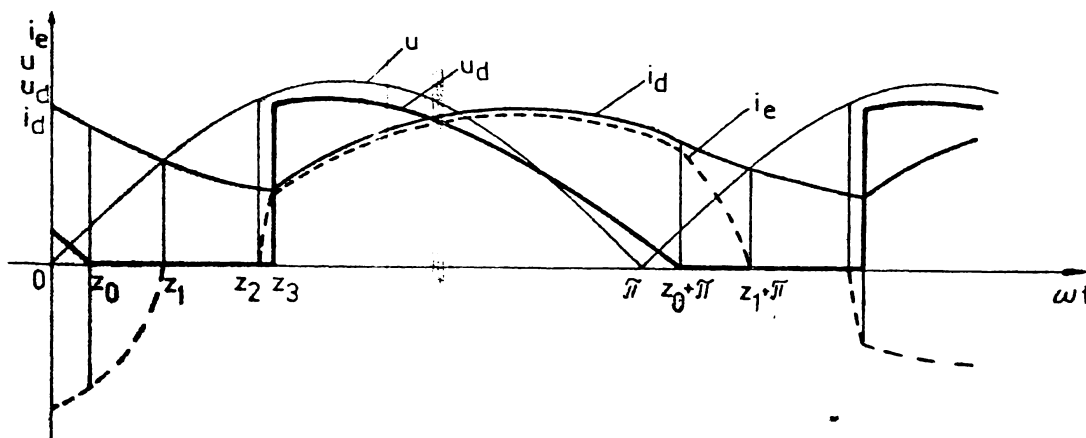


Figura nr.3.7. Explicațivă la scrierea sistemelor de ecuații

și condiția de determinare a lui  $z_3$  :

$$i'_e(z_3) = i'_d(z_3) \quad (3.21)$$

Pentru intervalul  $z \in (z_3, z_0 + \tilde{\tau})$  - punte în conductie:

$$\left\{ \begin{array}{l} u' = U' \sqrt{2} \sin z \\ u' = A_e \frac{di'_e}{dz} - i'_e i'_e = u'_{im} + (A_m + A_f) \frac{di'_d}{dz} + (1+B_s) i'_e \\ i'_d = i'_e \\ u'_d = u'_{im} + (A_m + A_f) \frac{di'_d}{dz} + (1+B_s) i'_e \\ m' = \frac{P'_r}{\omega'_m} - M'_o = T_m \frac{d\omega'_m}{dz} \\ m' = \frac{u'_{im} i'_d}{m} \\ u'_{im} = u'_{im}(i'_d, \omega'_m) \end{array} \right. \quad (3.22)$$

cu condiția de determinare a lui  $z_0$ :

$$u'_d(z_0) = 0 \quad (3.23)$$

Pentru intervalul  $z \in (z_0 + \tilde{\tau}, z_1 + \tilde{\tau})$  - comutație de pe perechea tiristor diodă pe diode-avem:

$$\left\{ \begin{array}{l} u' = U' \sqrt{2} \sin z \\ u' = A_e \frac{di'_e}{dz} - i'_e i'_e = 0 \\ u'_{im} + (A_m + A_f) \frac{di'_d}{dz} + (1+B_s) i'_d = 0 \\ u'_d = 0 \\ m' = \frac{P'_r}{\omega'_m} - M'_o = T_m \frac{d\omega'_m}{dz} \\ m' = \frac{u'_{im} i'_d}{m} \\ u'_{im} = u'_{im}(i'_d, \omega'_m) \end{array} \right. \quad (3.24)$$

cu condiția de determinare a lui  $z_1$ :

$$i'_e(z_1 + \tilde{\tau}) = 0 \quad (3.25)$$

Să în final, pentru intervalul  $z \in (z_1 + \tilde{\tau}, z_2 + \tilde{\tau})$  - diodă

dе în conductie - se poate scrie:

$$\left\{ \begin{array}{l} u' = U' \sqrt{2} \sin z \\ i'_e = 0 \\ u'_{im} + (A_m + A_f) \frac{dz_d}{dz} + (1 + B_s) i'_d = 0 \\ u'_d = 0 \\ m' - \frac{P'_r}{\omega'_m} - M'_o = T'_m \frac{d\omega'_m}{dz} \\ m' = \frac{u'_{im} i'_d}{\omega'_m} \\ u'_{im} = u'_{im}(i'_d, \omega'_m) \end{array} \right. \quad (3.26)$$

și

$$i'_d(z_2) = i'_d(z_2 + \tilde{\pi}) \quad (3.27)$$

Principiile, sistemele prezentate permit, la  $u', P'_r$ ,  $z_2 = \alpha$  date, bineînțeleș cu cunoașterea constantelor și marimilor caracteristice mașinii electrice, determinarea necunoscutelor  $i'_e, i'_d, u'_{im}, u'_d, m', \omega'_m, z_3, z_o$  și  $z_1$ . La trecerea de la un sistem la altul, necunoscutele ce nu au fost precizate prin relații explicite iau valorile finale ale intervalului precedent.

Este suficientă rezolvarea sistemelor pentru o semiperioadă  $(z_2, z_2 + \tilde{\pi})$ , deoarece:

$$\begin{aligned} i'_d(z + \tilde{\pi}) &= i'_d(z) ; i'_e(z + \tilde{\pi}) = -i'_e(z) \\ u'_d(z + \tilde{\pi}) &= u'_d(z) ; m'(z + \tilde{\pi}) = m'(z) \\ u'_{im}(z + \tilde{\pi}) &= u'_{im}(z) ; \omega'_m(z + \tilde{\pi}) = \omega'_m(z) \end{aligned} \quad (3.28)$$

#### 3.4. Integrarea numerică a sistemelor de ecuații

Ca metodă de rezolvare a sistemelor de ecuații prezentate s-a ales integrarea numerică a acestora. Era posibilă pentru cazul de față și rezolvarea analitică a acestora, având însă cazurile viitoare ce vor trebui

analizate, s-a considerat utilă abordarea de la început pe căle numerică a problemei. Sistemele (3.19) și (3.24) conțin trei ecuații diferențiale de ordinul întâi, iar (3.22) și (3.26) două, restul ecuațiilor fiind algebrice. Ca metodă de integrare s-a ales metoda Runge-Kutta de ordinul patru modificată Gili.

Figura nr.3.8 conține schema logică principală urmărită într-un ciclu de integrarea numerică a sistemelor de ecuații. După cum este cunoscut, metoda Runge-Kutta de integrare a sistemelor de ecuații diferențiale de ordinul întâi presupune calculul valorilor funcțiilor într-un punct cu ajutorul valorilor într-un punct anterior. Ca atare problema cea mai dificilă este aceea de a furniza metodei valorile inițiale necesare pentru începerea integrării. Ar fi posibilă începerea integrării cu valori inițiale nule ale funcțiilor, numărul de cicluri necesare pentru atingerea soluțiilor staționare ar mări timpul de integrare necesar. Din acest motiv s-au calculat valorile inițiale aproximative ale funcțiilor în situația ideală ce presupune următoarele:

- variații ale mărimilor de curent alternativ sinusoidale, iar cele de curent continuu constante în timp;
- neglijarea pierдерilor mașinii de c.c. serie.

Trecerea de la un sistem de ecuații la altul se realizează prin testarea condițiilor exprimate prin relațiile (3.21), (3.23) și (3.25). În fiecare din punctele de integrare valoarea t.e.m. inducă  $u'_{im}$  se calculează funcție de  $i'_d$  și  $\omega'_m$  în modul prezentat în paragraful anterior. La capătul unui ciclu de integrare pe o semiperioadă a tensiunii alternative se obțin valoriile necunoscutelelor  $i'_e, i'_d, u'_{im}, u'_d, \omega'_m$  și  $\omega'_m$  în punctul  $z_2 + \tilde{\pi}$ , care având în vedere faptul că valourile în  $z_2$  au fost aproximative nu vor coincide cu acestea, deci nu s-a atins încă regimul staționar.

Încadrarea algoritmului de integrare al sistemelor de ecuații în programul general de calcul este ilustrată în figura nr.3.9.

În funcție de diferența  $i'_d(z_1) - i'_d(z_2 + \tilde{\pi})$  se calculează noua valoare  $i'_d(z_2)$  cu care se procedează la un nou ciclu de integrare, și.m.d., pînă cînd se ajunge în regim sta-

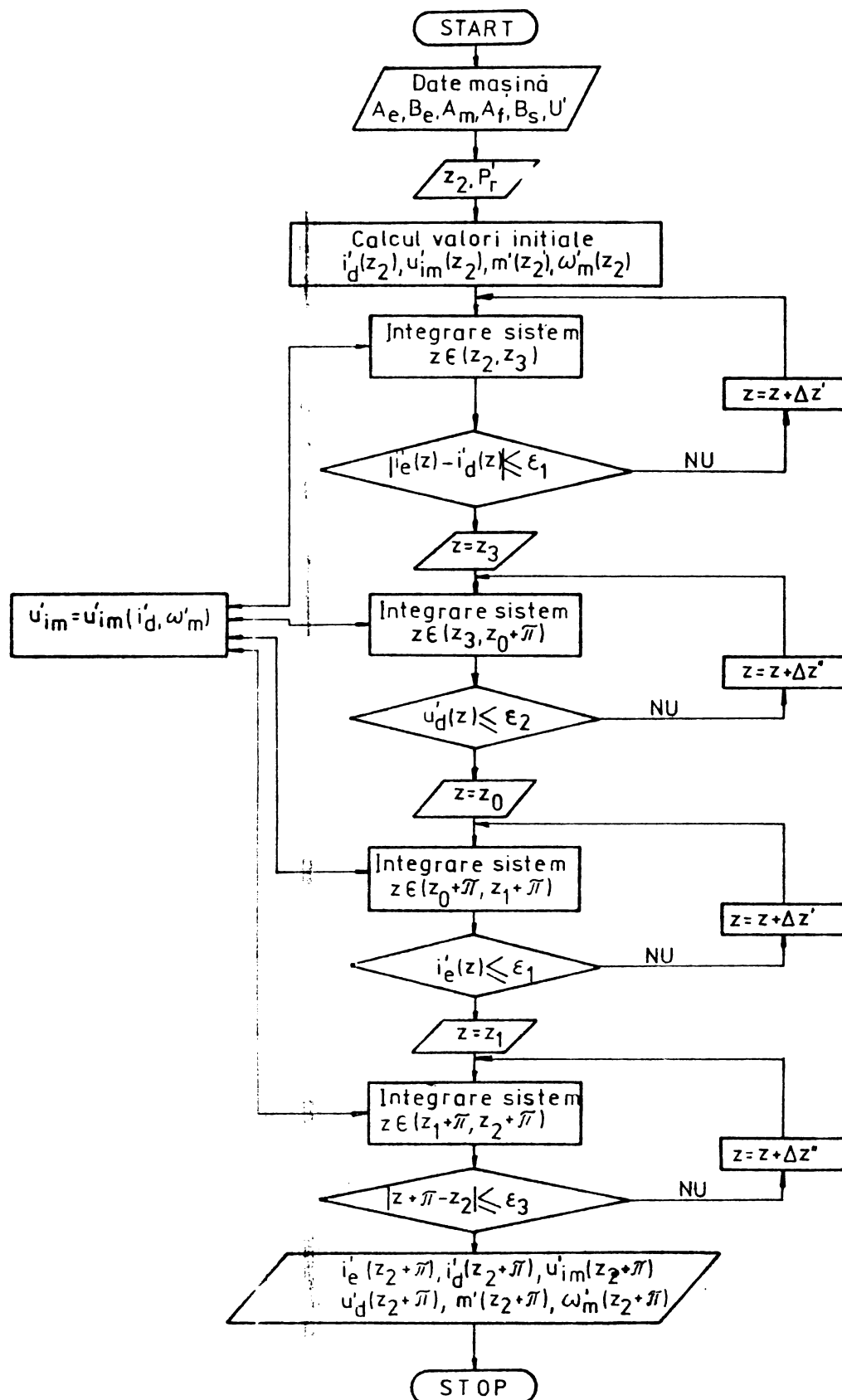


Figura nr. 3.8. Schema logică a algoritmului de integrare al sistemelor de ecuații

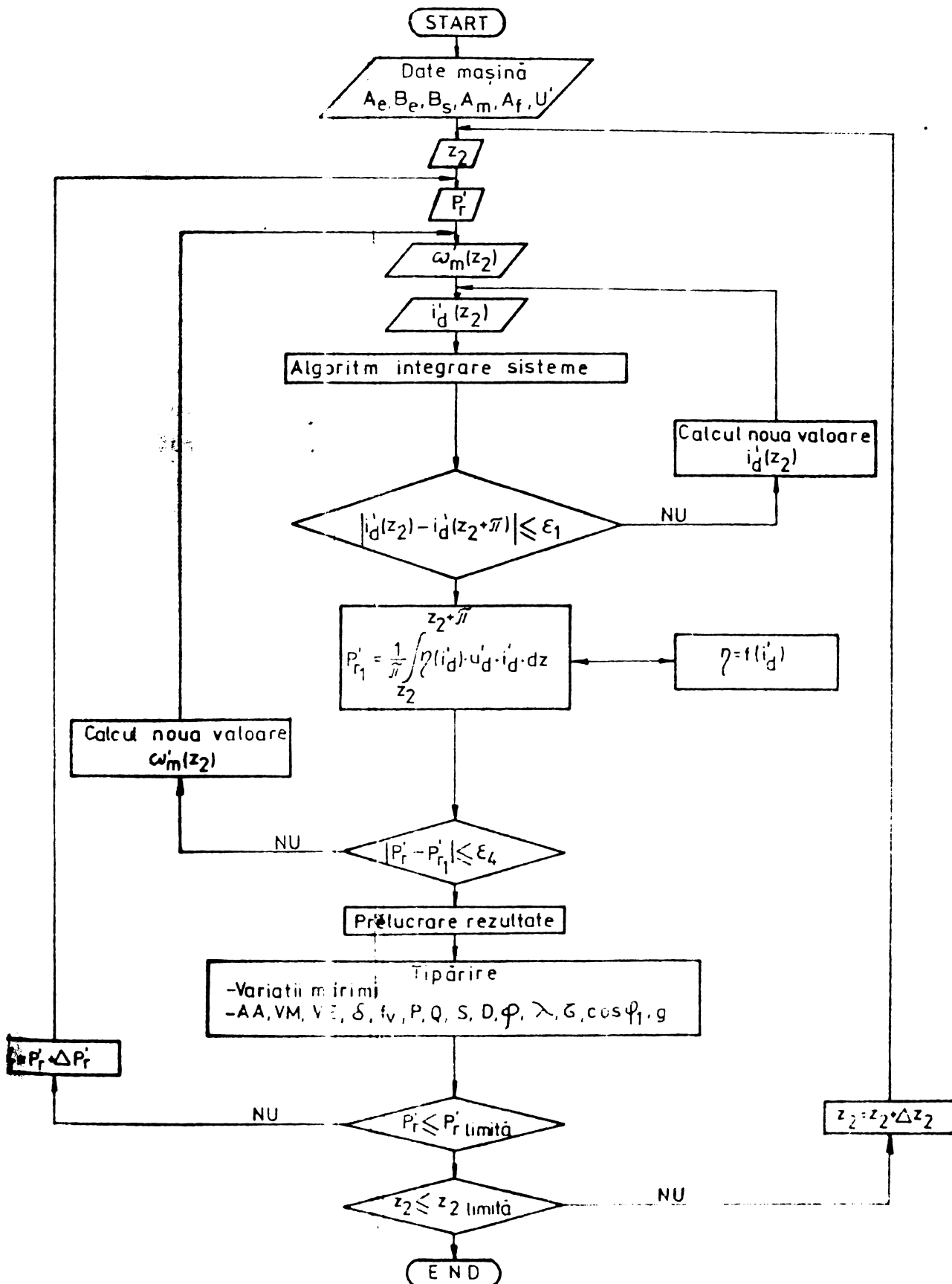


Figura nr. 3.9. Schema logică generală de calcul a regimului cu putere constantă la arborele mașinii electrice

ționar cu  $i_d'$ . În situația în care pentru datele de calcul valoarea lui  $i_d'$  devine nulă înainte de  $z_2 + \bar{m}$  se reia integrarea cu  $i_d'(z_2) = 0$ , direct în regimul staționar corespunzător unui din regimurile de curent întrerupt prezentate anterior.

Se procedează la un al doilea ciclu de iteratii, suprapus peste primul, avind ca variabilă în acest caz pe  $\omega_m'$ , atunci cînd valoarea calculată a puterii la arborele mașinii  $P_{rl}'$  diferă de cea impusă, pînă cînd regimul staționar al lui  $i_d'$  corespunde și din acest punct de vedere. Pentru calculul puterii la arborele mașinii electrice se face uz de curba randamentului acesteia, randamentul fiind evaluat pentru fiecare valoare a lui  $i_d'$ . Dacă se constată că pentru o valoare a puterii la arbore ar rezulta viteza unghiulară nulă, mașina nu este capabilă să funcționeze în mișcare puterea cerută, se calculează o viteza unghiulară minimă astfel stabilă ca în valoare momentană, aceasta să nu scadă sub zero, puterea recalculată fiind cea mai mare putere pe care o poate furniza mașina electrică în condițiile date.

Odată integrarea terminată, se obțin variațiile necunoscutei  $i_e', i_d', u_m, \omega_m', u_d', m'$  pe o semiperioadă, la care se pot adăuga fără dificultăți deosebite următoarele mărimi utile pentru analiza sistemului:

- cădereea de tensiune pe impedanță pe partea de curent alternativ:

$$u_e' = A_e \frac{di_e'}{dz} + B_e i_e' \quad (3.29)$$

- tensiunea la bornele convertorului  $u_l'$ :

$$u_l' = u_e' - A_e \frac{di_e'}{dz} - B_e i_e' \quad (3.30)$$

- tensiunea la bornele motorului  $u_{dm}'$ :

$$u_{dm}' = u_{im}' + A_m \frac{di_d'}{dz} + i_d' \quad (3.31)$$

- tensiunea la bornele inductivității de filtrare  $u_f'$ :

$$u_f' = A_f \frac{di_d'}{dz} \quad (3.32)$$

- puterea absorbită de la sursa de alimentare  $p'$ :

$$p' = u_e' i_e' \quad (3.33)$$

- puterea absorbită de CSAC  $p'_1$  :

$$p'_1 = u'_1 i'_1 \quad (3.34)$$

- puterea pe partea de curent continuu  $p'_d$  :

$$p'_d = u'_d i'_d \quad (3.35)$$

- puterea electromagnetică a mașinii de c.c.  $p'_m$  :

$$p'_m = u'_m i'_m \quad (3.36)$$

- puterea absorbită de mașina electrică  $p'_{dm}$ :

$$p'_{dm} = u'_{dm} i'_d \quad (3.37)$$

- puterea absorbită de inductivitatea de filtrare

$p'_f$  :

$$p'_f = u'_f i'_d \quad (3.38)$$

Prelucrarea rezultatelor urmărește efectuarea analizei armonice (AA), calculul valorilor medii (VM) și efective (VE), a coeficientului de distorsiune ( $\delta$ ) și a factorului de vîrf ( $f_v$ ) pentru toate variabilele. Se evaluează de asemenea în diferite puncte ale sistemului de convertire parametrii energetici și anume : puterea activă (P), aparentă (S), reactivă (Q), deformată (D), factorul de putere global ( $\lambda$ ),  $\cos \varphi_1$ , factorul reactiv ( $\varphi$ ), factorul deformant ( $\xi$ ), conținutul de fundamentală (g) și randamentul sistemului, al liniei și convertorului. Relațiile utilizate sunt prezentate în anexa nr.1.

Mersul calculului și al prelucrării rezultatelor se reia pentru alte valori ale lui  $P'_r$  și apoi ale lui  $z_2 = \alpha$ .

In concordanță cu cele expuse mai sus, s-a conceput un program de calcul în limbaj FORTRAN.

Timpul de calcul necesar pentru un punct de funcționare (o pereche de valori  $\alpha, P'_r$ ) variază între 2 și 5 minute (caz extrem 10 minute) în funcție de numărul de iterații necesare pentru stabilizarea valorilor lui  $i'_d$  și  $P'_r$ .

### 3.5. Prezentarea și discuția rezultatelor calculelor

Programul conceput conform celor precizate în paragraful anterior a fost rulat pe un calculator FELIX C256. S-au stabilit trei perechi de valori  $X_e/R_m$  și  $R_e/R_m$  și anume:

$$\begin{aligned} X_e/R_m &= 1,58 ; R_e/R_m = 0,79 \\ X_e/R_m &= 0,74 ; R_e/R_m = 0,37 \\ X_e/R_m &= 0,0141; R_e/R_m = 0,00363. \end{aligned} \quad (3.37)$$

Pentru fiecare din aceste perechi de valori s-a rulat programul cu  $\alpha = 30^\circ; 60^\circ; 90^\circ; 120^\circ; 150^\circ$ , pentru fiecare  $\alpha$  alegindu-se un număr de 4-8 valori ale puterii la arboarele mașinii  $P_r/P_{NSC}$ , pentru toate aceste cazuri considerindu-se  $X_f/R_m = 0$  (în circuitul de curent continuu filtrarea fiind asigurată numai de  $X_m$ ).

Pentru perechea de valori  $X_e/R_m = 0,74$ ;  $R_e/R_m = 0,37$  și unghiul de comandă  $\alpha = 90^\circ$  s-au reluat calculele la două valori ale lui  $X_f/R_m$ :

$$X_f/R_m = 33,3 ; X_f/R_m = 100 \quad (3.38)$$

care corespund dublării, respectiv măririi de patru ori a inductivității din circuitul de curent continuu. Calculele s-au efectuat pentru un motor de c.c. serie de tracțiune de tip SSTN 20 kW/55C V de fabricație IMEB.

Variatiile în timp ale principalelor mărimi sunt redate în figurile nr. 3.10 (regim de curent întrerupt); nr. 3.11 (regim de curent neîntrerupt fără filtrare) și nr. 3.12 (regim de curent neîntrerupt cu filtrare). În regim de curent întrerupt toate mărimile electrice, cu excepția tensiunii e.m. induse " $u_{im}$ ", au intervale în care sunt nule de asemenea și cuplul electromagnetic "m" al mașinii. Lipsesc perioada de comutație " $\delta_2$ ". Viteza unghiulară a mașinii este practic constantă chiar și în acest regim.

Figura nr. 3.11 conține variațiile mărimilor pentru un regim apropiat de cel nominal de funcționare al mașinii de c.c. Se observă deformarea puternică a tensiunii alternative " $u_1$ " de la intrarea convertorului și valorile momentane apreciabil mai mici, ale tensiunii continue " $u_d$ " față de " $u$ ". Intervalele de comutație sunt mari, în spate "δ<sub>1</sub>";

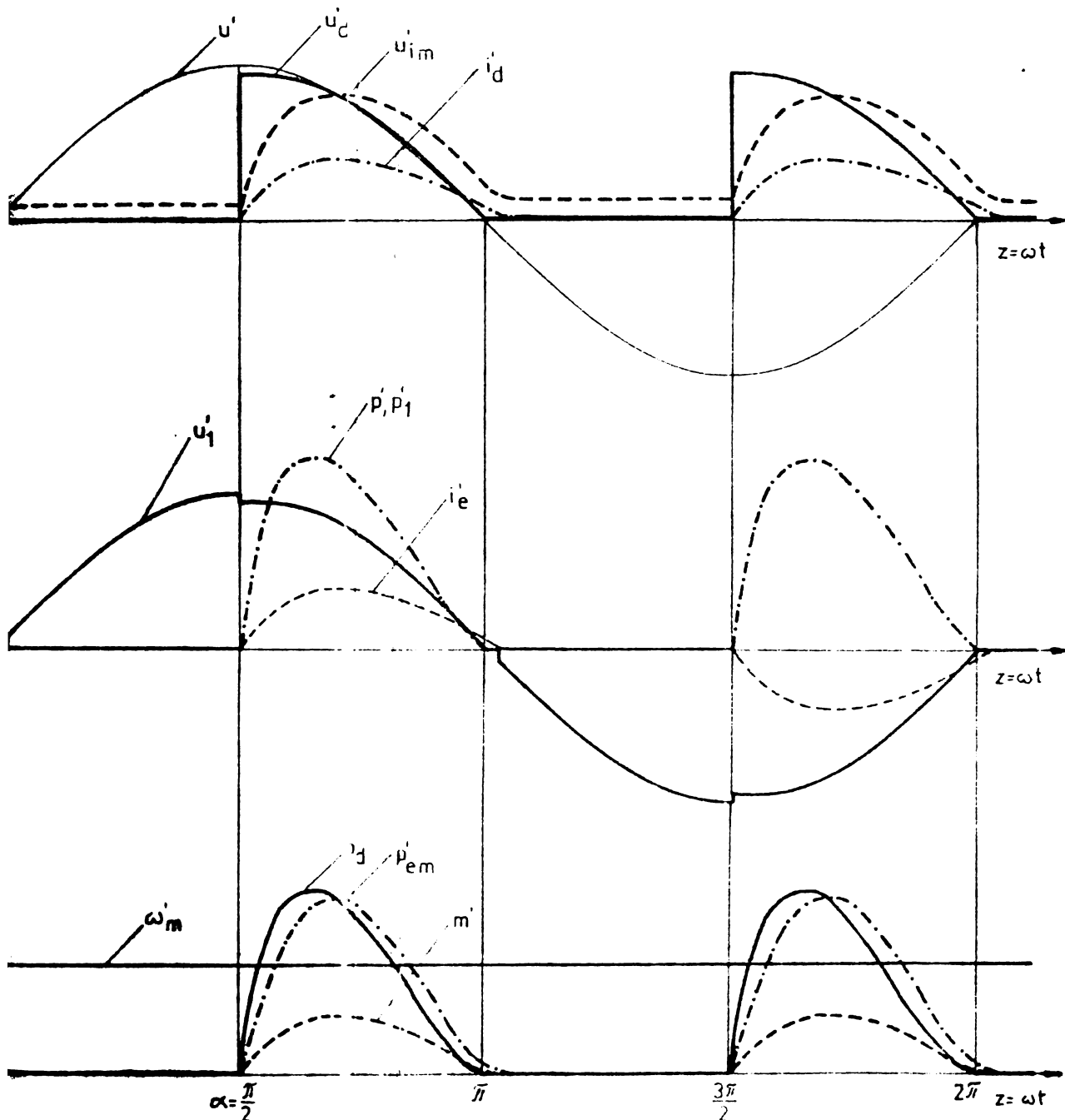


Figura nr. 3.10. Variații funcție de  $z=\omega t$ , ale mărimilor calculate pentru  $\alpha=90^\circ$ ,  $X_m/R_m=1,58$ ;  $R_r/R_m=0,79$ ;  $X_r/R_m=0$ ;  $P_r/P_{msc}=0,8037$

tot în acest interval de comutare se pune în evidență, prin variația lui "p" și recuperării energiei înmagazinate în inducțivitatea din circuitul de curent alternativ. Cuplul mașinii "m" nu este constant nici în acest regim. La creșterea

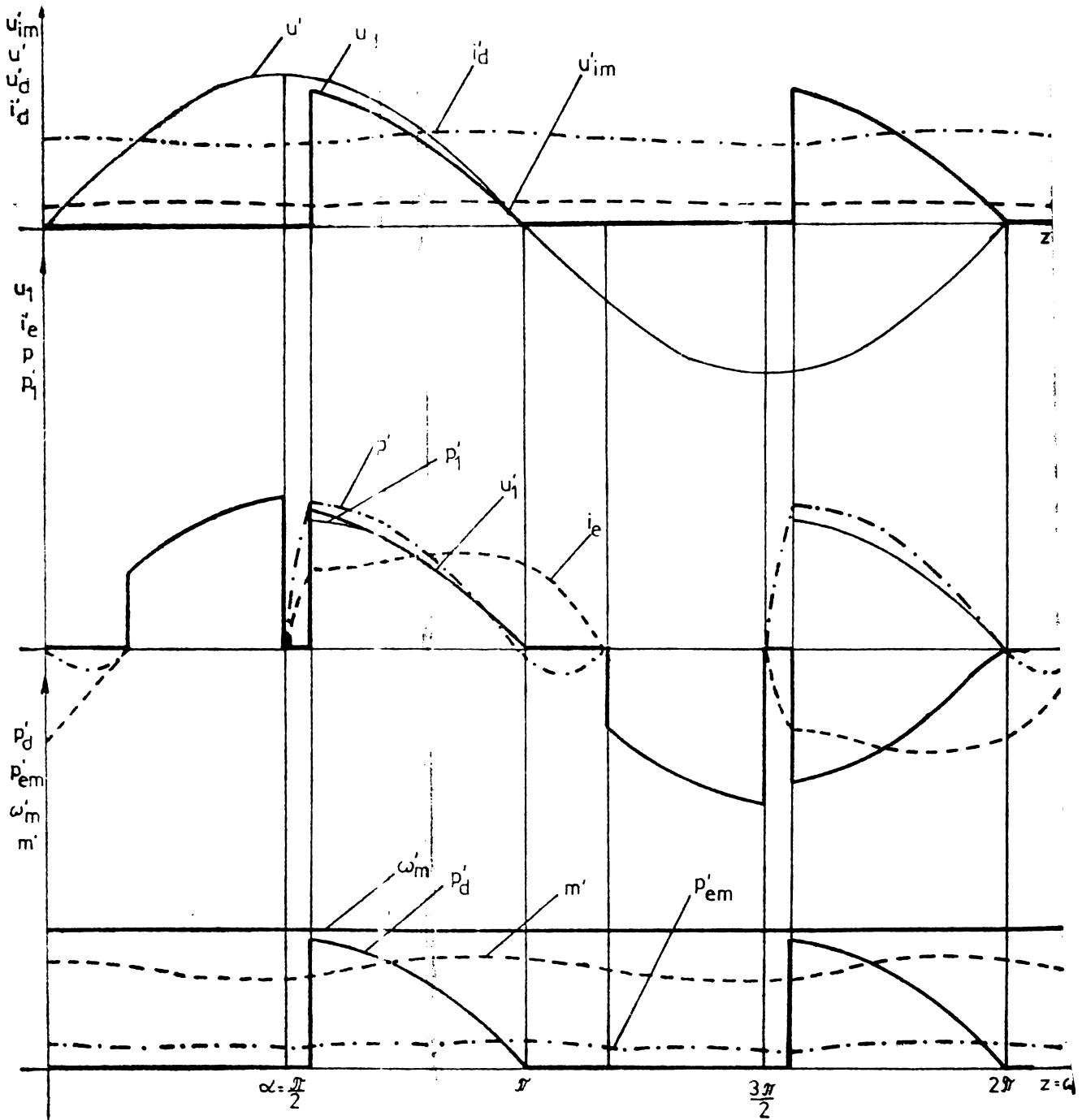


Figura nr.3.11. Variatii functie de  $z=wt$  ale mărimilor calculate pentru  $\alpha=90^\circ$ ;

$$X_e/R_m = 1,58; R_e/R_m = 0,79; X_f/R_m = 0; \\ P_r/P_{msc} = 0,05.$$

inductivității de filtrare din circuitul de curent continuu (figura nr.3.12) se îmbunătățește forma curentului continuu "i\_d", cuplul "m" al mașinii devine deasemenea aproape constant

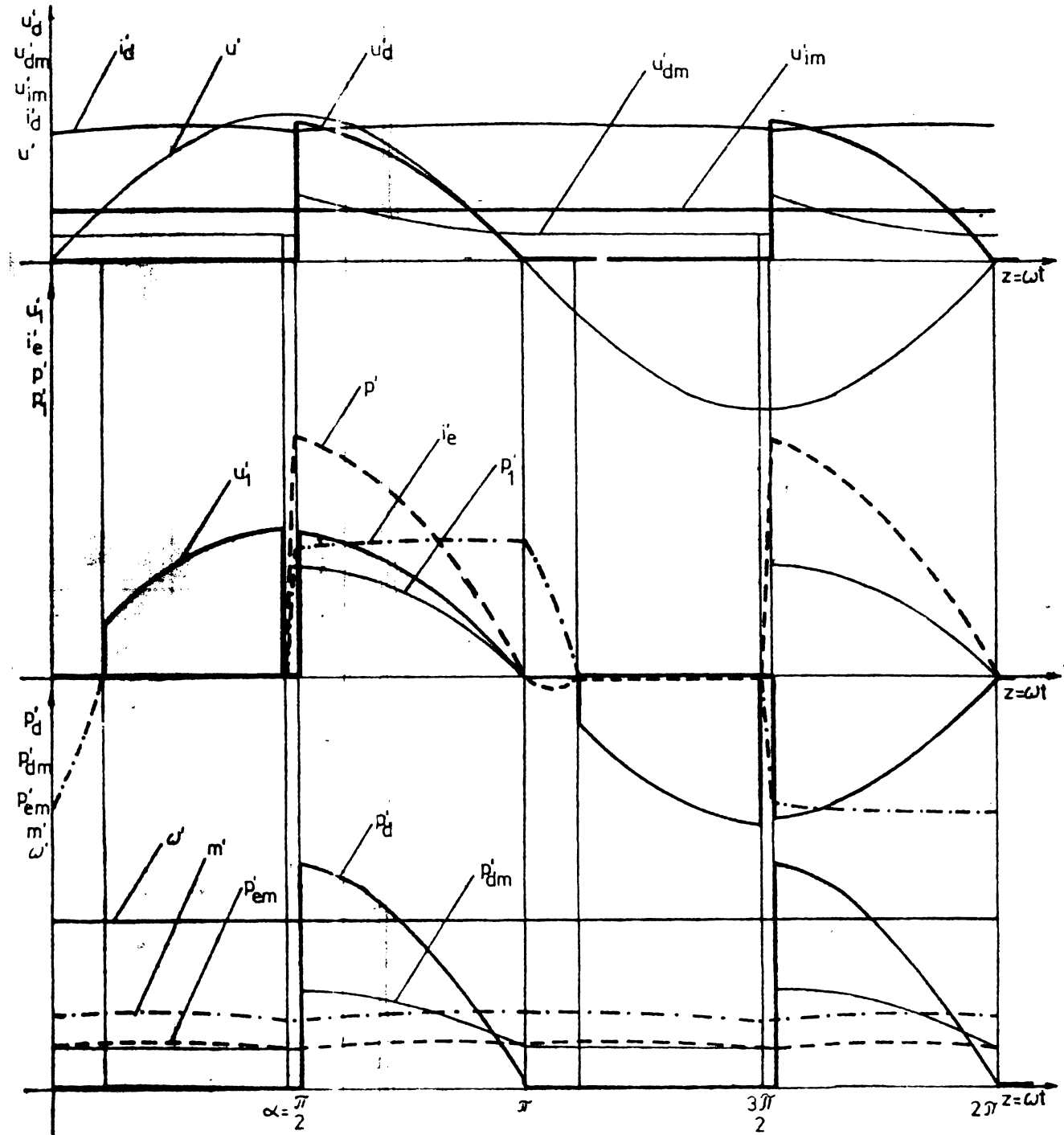


Figura nr.3.12. Variatii functie de  $z=\omega t$ , ale  
maramilor calculate pentru  
 $\alpha=90^\circ; X_e/R_m=0,74; R_e/R_m=0,37;$   
 $X_f/R_m=100; P_r/P_{msc}=0,0214$

Caracteristicile mecanice ale motorului de curent  
continuu serie la alimentarea de la un convertor c.a.-c.c.  
de tip SNA sunt redate in figura nr.3.13 pentru diferite  
unghieri de comanda si pentru perechile de valori  $X_e/R_m$  si  
 $R_e/R_m$  conform (3.37).

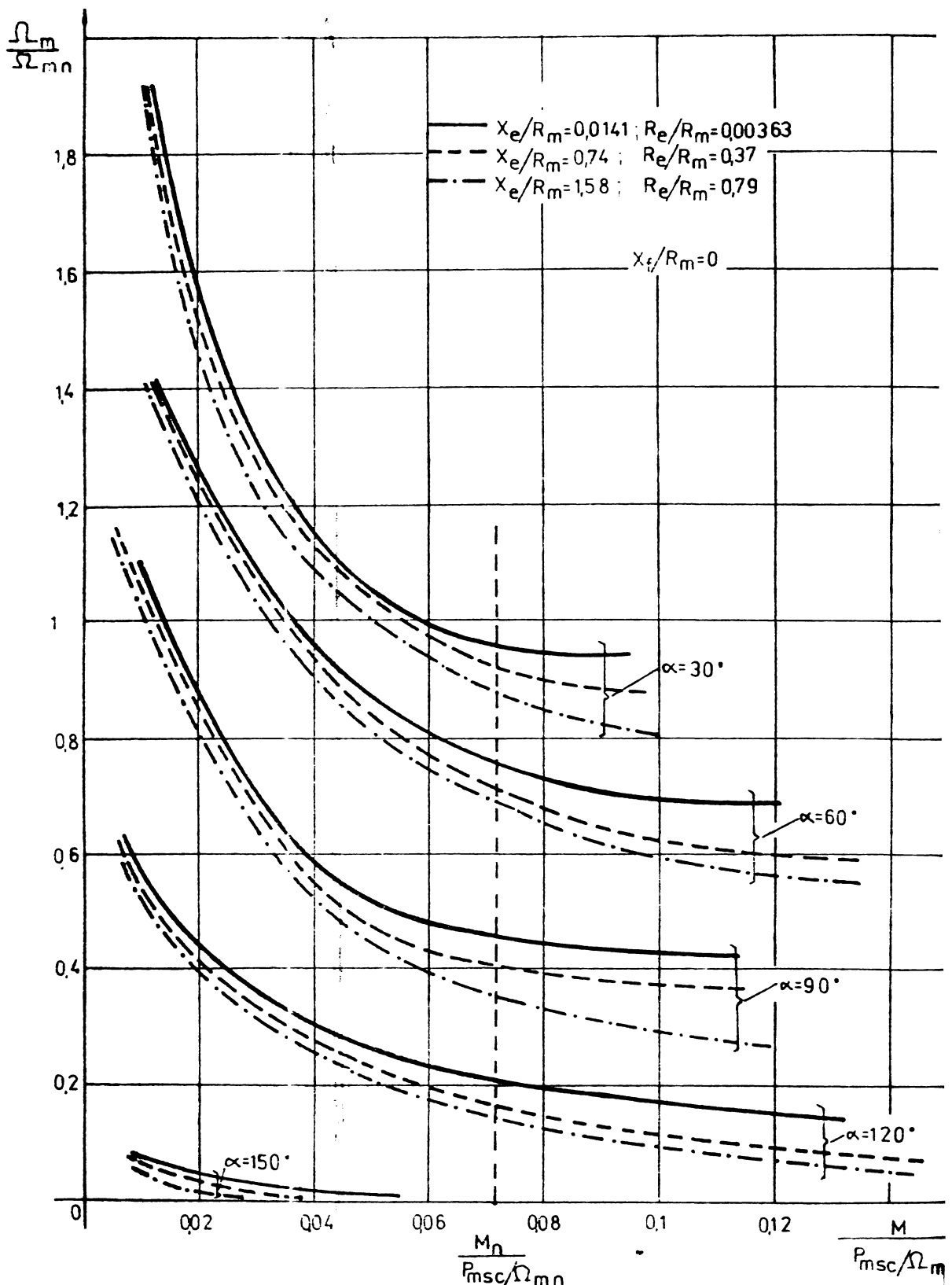


Figura nr. 3.113. Caracteristicile mecanice ale motorului de c.c. serie pentru diferite unghiuri de comandă  $\alpha$  și  $X_e/R_m, R_e/R_m$  variabili

Prezența rezistenței și inductivității din circuitul de c.a. se face resimțită mai ales în zona cuplurilor mari, putind duce la variații ale vitezei unghiulare a mașinii de 15-20%. Nu s-au remarcat variații sensibile ale acestor caracteristici cu inductivitatea de filtrare din circuitul de c.c.

Privitor la extinderea zonei de funcționare la curent continuu întrerupt, figura nr.3.14 este edificatoare. În jurul turăției nominale a mașinii electrice regimul de curent întrerupt apare la aproximativ 10% din puterea nominală la arbore, zonă în care mașina serie nu funcționează

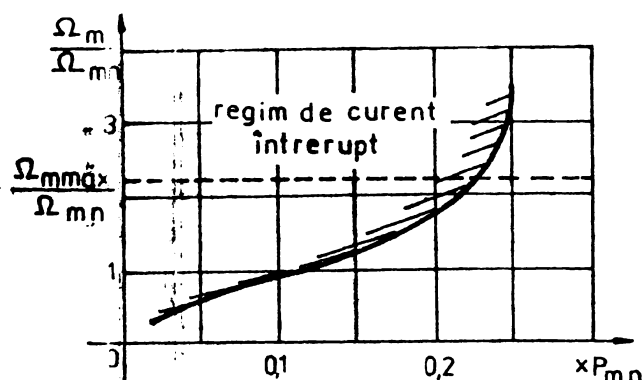


Figura nr.3.14. Limita regimului de curent întrerupt în sistemul de axe  $\Omega_m, P_m/P_{mn}$

în mod obișnuit. Nu sunt abateri mari ale curbei limită prezentate cu modificarea parametrilor de curent alternativ conform (3.37).

Caracteristicile externe ale convertorului:

$U_{d\alpha}/U_{dimax} = f(I_{dned}, I_{msc})$ , unde  $U_{dimax} = \frac{2\sqrt{2}}{\pi} U$  este tensiunea continuă ideală maximă ce o poate furniza convertorul, sunt redate în figura nr.3.15. Cum este firesc, panta caracteristicilor crește cu creșterea impedanței sursei de c.a., căderea maximă a tensiunii fiind aproximativ 10% la curentul nominal al mașinii electrice pentru impedanță maximă pe partea de c.a. luată în considerare. S-au trecut (hașurat) zonele corespunzătoare regimului de curent întrerupt, cu extindere sensibil identică pentru cele trei cazuri prezente. Nu s-a remarcat schimbarea pantei caracteristicilor în zona de curent întrerupt semnalată în literatură în cazul analizelor efectuate cu mașina de c.c. cu excitare separată. Caracteristicile s-au completat cu informații referitoare la mașina electrică și anume curbele de putere nominală și curba de viteză unghiulară nulă. La impedanță m-

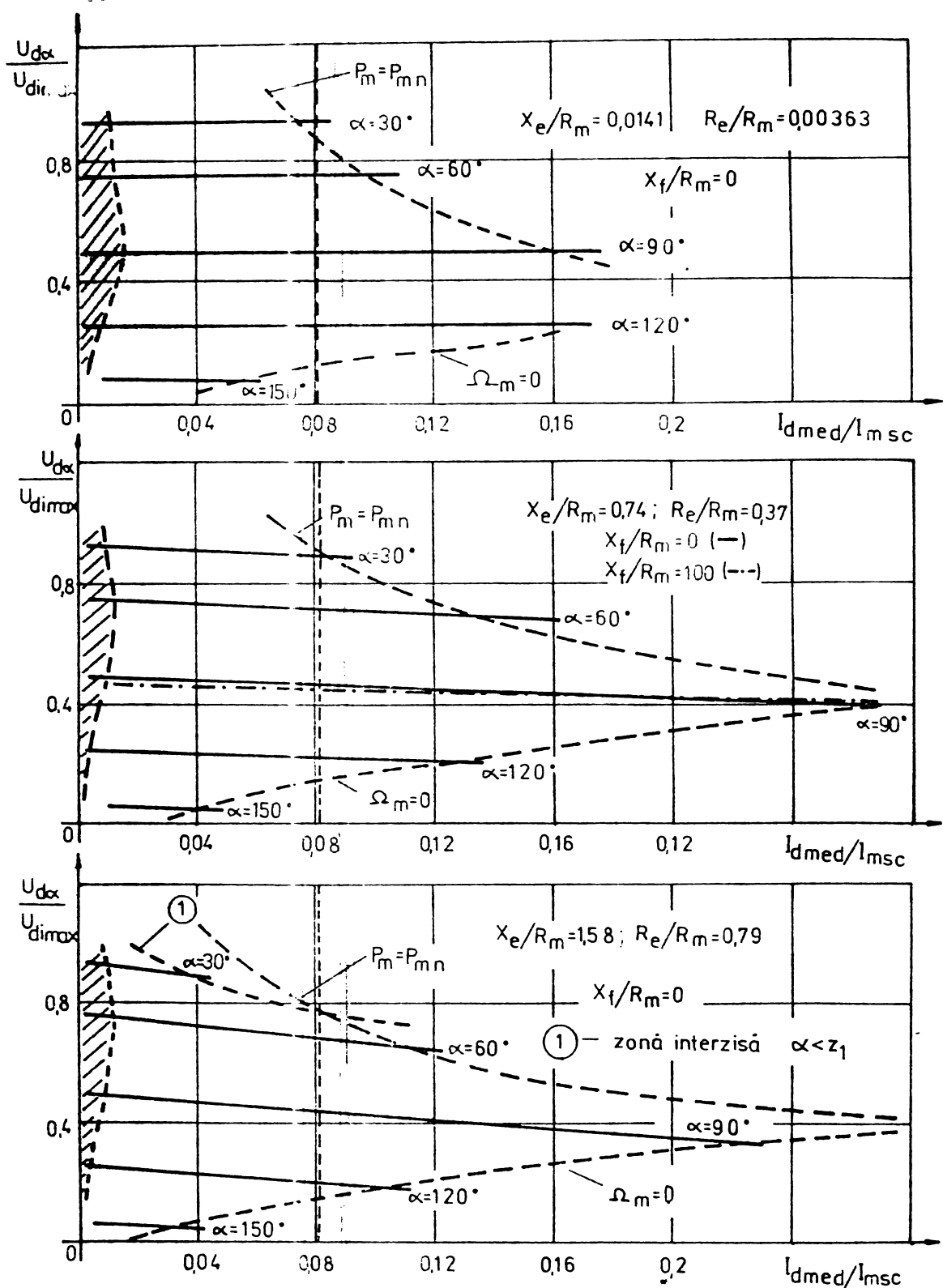


Figura nr. 3.15. Caracteristicile externe ale CSAC în punte monofazată de tip SNA.

re în circuitul de curent alternativ s-a evidențiat limitarea zonei de funcționare a convertorului prin micșorarea unghiului de comandă sub durata intervalului de comutație "γ<sub>1</sub>". La inductivitatea de filtrare mărită în circuitul de c.c., caracteristicile devin mai rigide (vezi cazul  $X_e/R_m = 0,74$ ;  $R_e/R_m = 0,37$ ,  $α = 90^\circ$ ).

Unghiurile de comutație "γ<sub>1</sub>" și "γ<sub>2</sub>" (figura nr. 3.16) depind de valoarea medie a curentului continuu, de unghiul de comandă și de inductivitatea și rezistența din circuitul de curent continuu. Din lipsă de spațiu, s-au re-

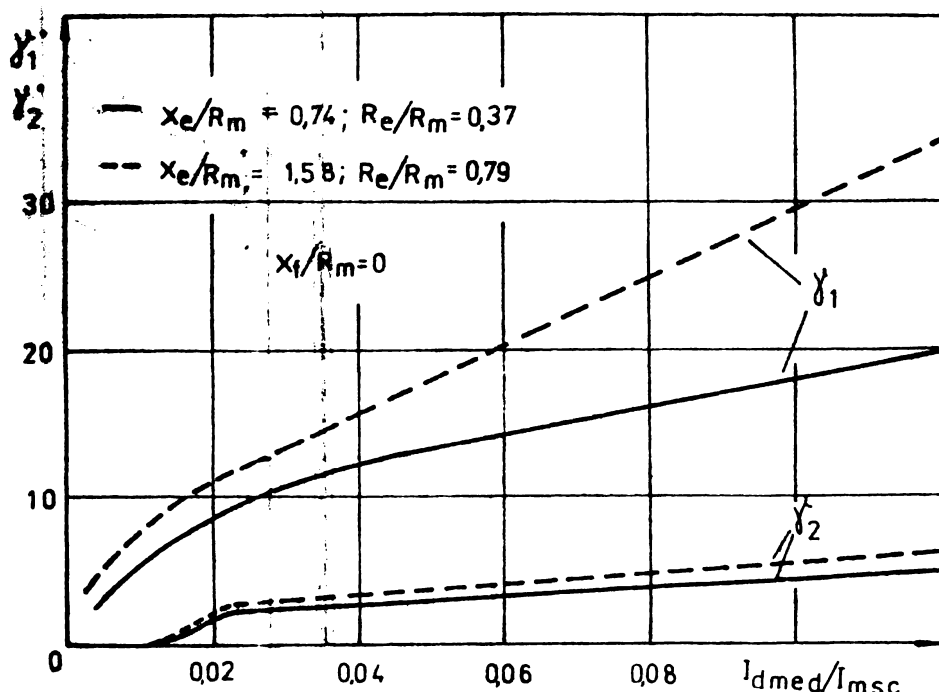


Figura nr. 3.16. Dependența dintre unghiurile de comutație γ<sub>1</sub>, γ<sub>2</sub> și  $I_{dmed}/I_{msc}$  pentru  $α = 90^\circ$ .

presentat variațiile acestora numai pentru  $α = 90^\circ$  la două valori ale perechilor de mărimi  $X_e/R_m$  și  $R_e/R_m$ .

Dependențele valorii efective a curentului alternativ funcție de valoarea medie a curentului continuu (figura nr. 3.17) permit evaluări cantitative ale curentului alternativ. Natura semicomandată a CSAC este pusă în evidență de scăderea pantei caracteristicilor odată cu creșterea unghiului de comandă α.

De importanță pentru performanțele mașinii de c.c. alimentate de la CSAC sunt caracteristicile curentului continuu debitat de acesta. Variația valorii efective a curentului continuu funcție de valoarea medie (figura nr. 3.18)

nu depinde, cum este și normal, de parametrii de curent alternativ. O creștere excesivă a valorii efective a curentului continuu apare la unghiuri de comandă în jur de  $90^\circ$ , la sarcini reduse, în zona regimului de curent întrerupt. La valoarea nominală a curentului însă, chiar și fără inductivitate de filtrare suplimentară, valoarea efectivă a curentului este

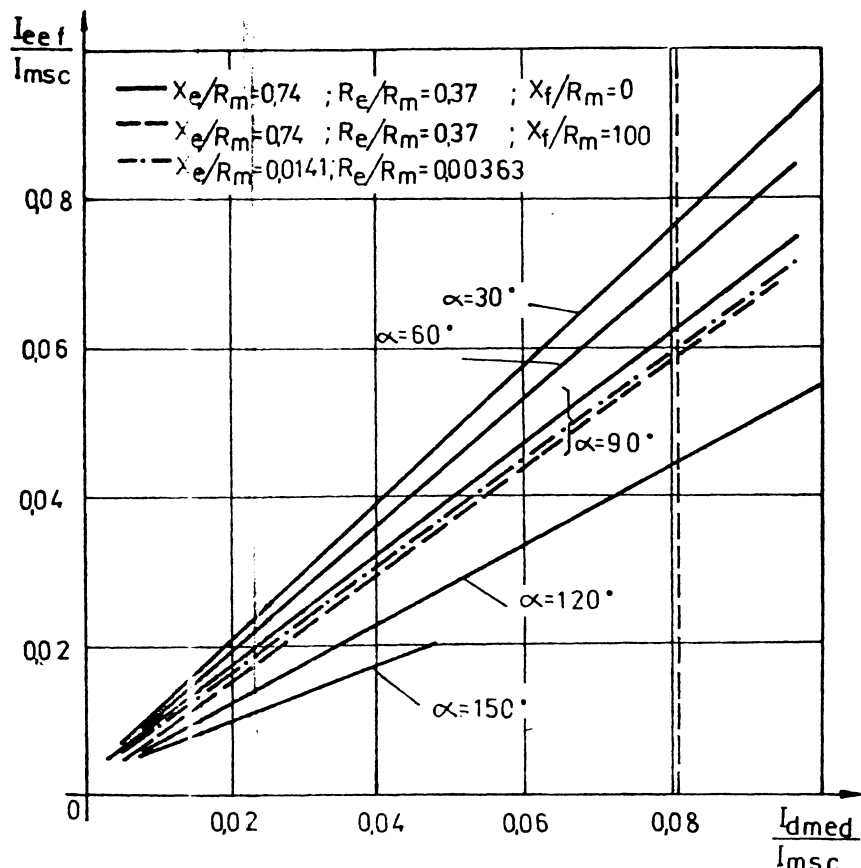


Figura nr.3.17. Dependența  $I_{eef}/I_{msc}$  funcție de  $I_{dmed}/I_{msc}$

doar cu (3-4)% peste valoarea medie; o ameliorare spectaculoasă nu se obține nici cu utilizarea unor inductivități de filtrare suplimentare.

Factorul de vîrf al curentului continuu "f<sub>VId</sub>" (figura nr.3.19) crește mult, cu (50-80)%, la sarcini reduse și unghiuri de comandă mari, la sarcină nominală însă valoarea lui este sub 1,2. Se obține o scădere substanțială a acestuia la utilizarea unei inductivități de filtrare.

Analiza armonică a curentului continuu " $i_d$ " confirmă variațiile mărimeilor prezentate anterior. În regim de curent întrerupt, (figura nr.3.20.a.), în jurul valorii unghiu lui de comandă de  $90^\circ$ , armonica a doua a curentului depășește valoarea medie a acestuia. Spectrul armonicilor se

schimbă complet, spre bine, în regimul de curent neîntrerupt (figura nr.3.20.b.), inductivitatea de filtrare contribuind în plus la scăderea armonicilor curentului continuu "i<sub>d</sub>".

Caracteristicile curentului alternativ "i<sub>e</sub>" prezintă importanță la evaluarea performanțelor energetice și la analiza influențelor sistemelor asupra rețelelor electrice înconjurătoare.

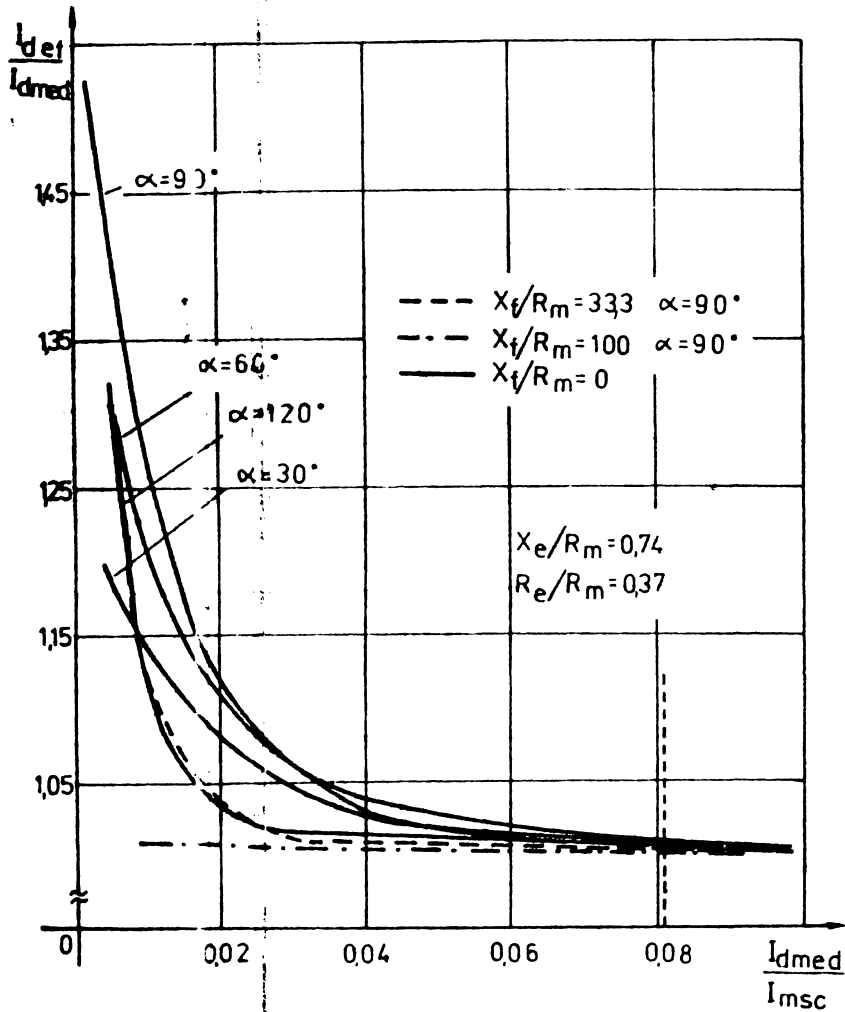
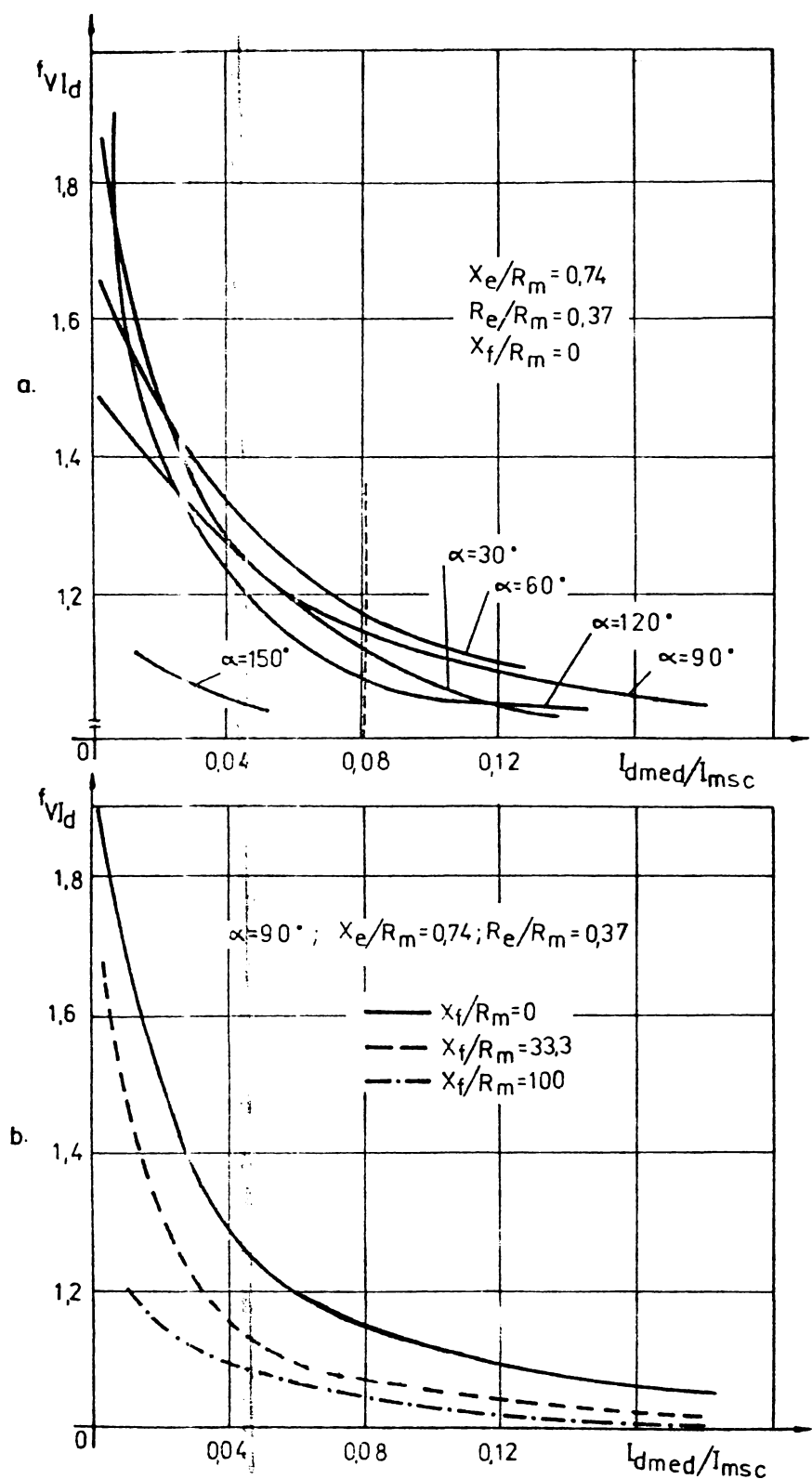
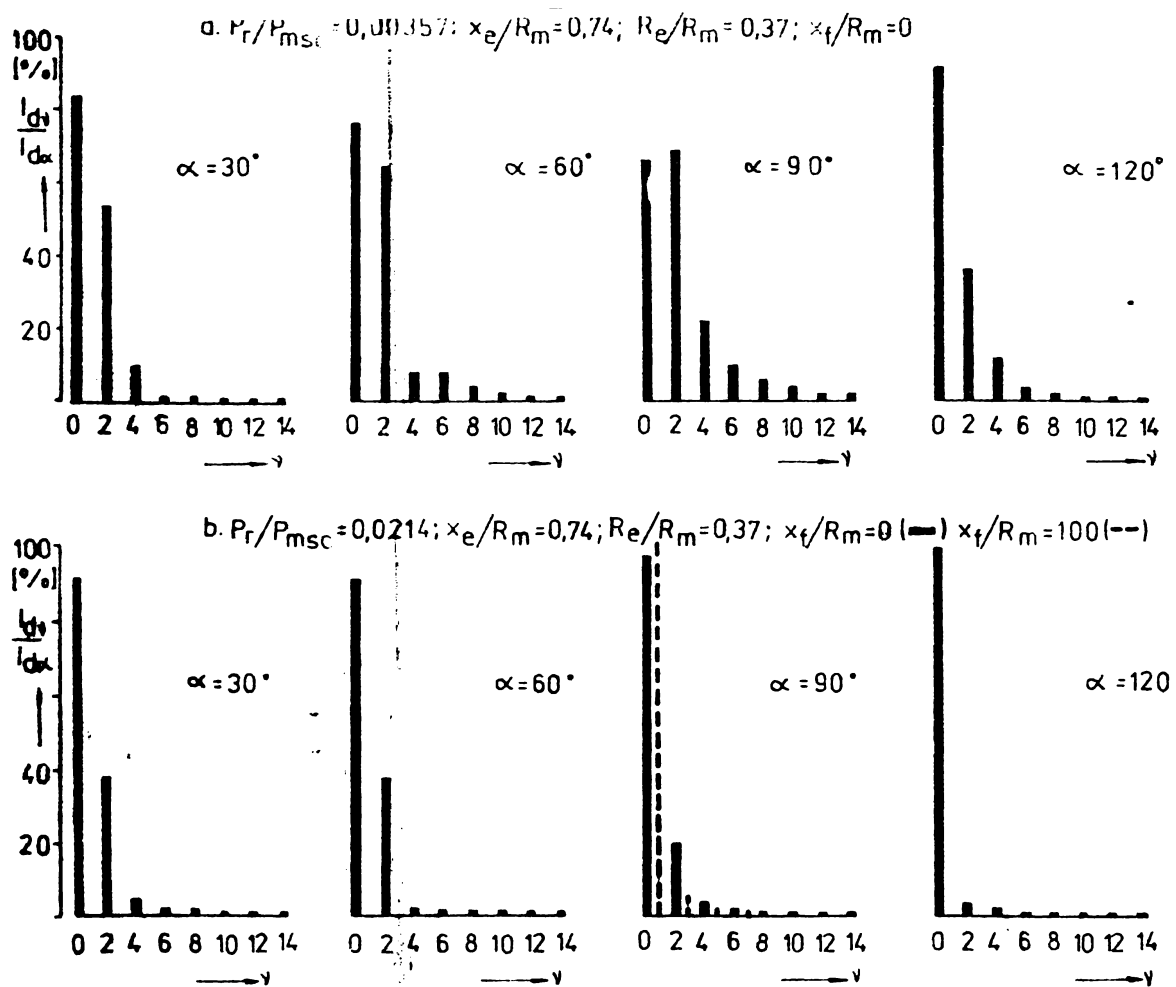


Figura nr.3.18. Dependența  $I_{def}/I_{dmed}$  funcție de  $I_{dmed}/I_{msc}$ .

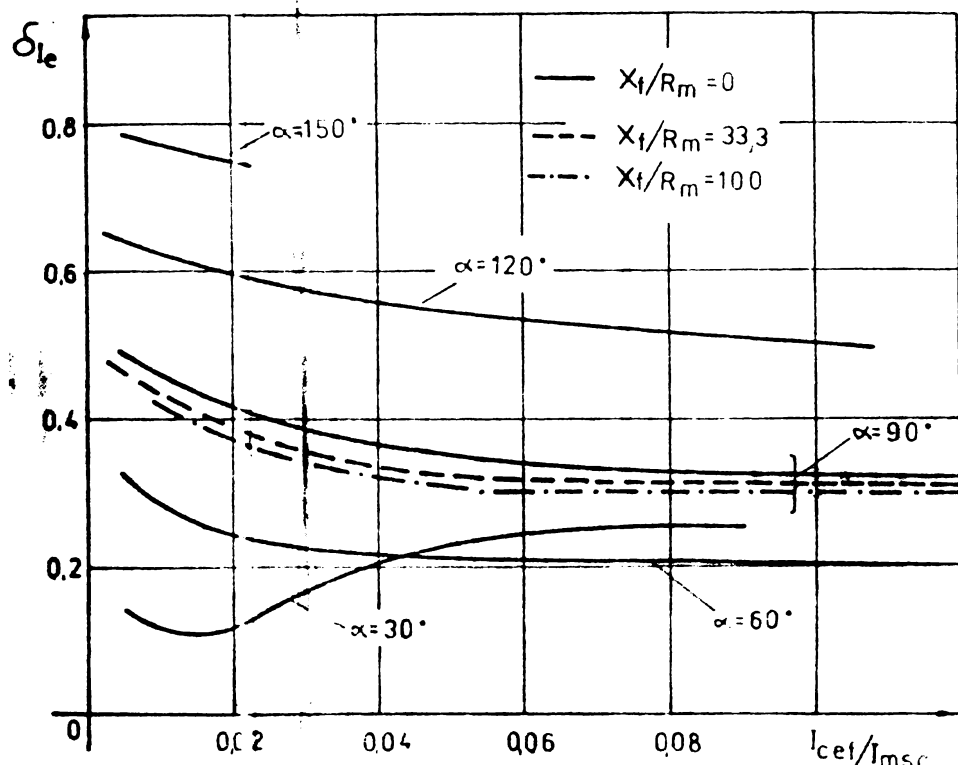
Coefficientul de distorsiune al curentului alternativ "δ<sub>Ie</sub>" (figura nr.3.21) variază puțin cu parametrii rețelei de curent alternativ, aceasta deoarece "i<sub>e</sub>" se suprapune ca variație, în cea mai mare parte a unei semiperioade peste curentul continuu "i<sub>d</sub>". Fundamentala curentului alternativ scade cu creșterea unghiului de comandă "α" (figura nr.3.22), indiferent de parametrii de curent alternativ sau continuu, ceea ce conduce la o creștere a lui δ<sub>Ie</sub>. Induc-



**Figura nr.3.19. Factorul de vîrf "f<sub>VId</sub>" funcție de  $I_{dmed}/I_{msc}$ :** a) dependență de parametrii de curent alternativ; b) dependență de inductivitatea de filtrare.



**Figura nr. 3.20.** Analiza armonica a curentului redresat  $I_d$   
a) regim de curent interupt  
b) regim de curent neîntrerupt



$x_e/R_m = 0,74$ ;  $R_e/R_m = 0,37$   
**Figura nr. 3.21.** Factorul de distorsiune al curentului alternativ "  $\delta_{Ie}$ " functie de  $I_{eer}/I_{msc}$  pentru diferite unghiuri de comanda.

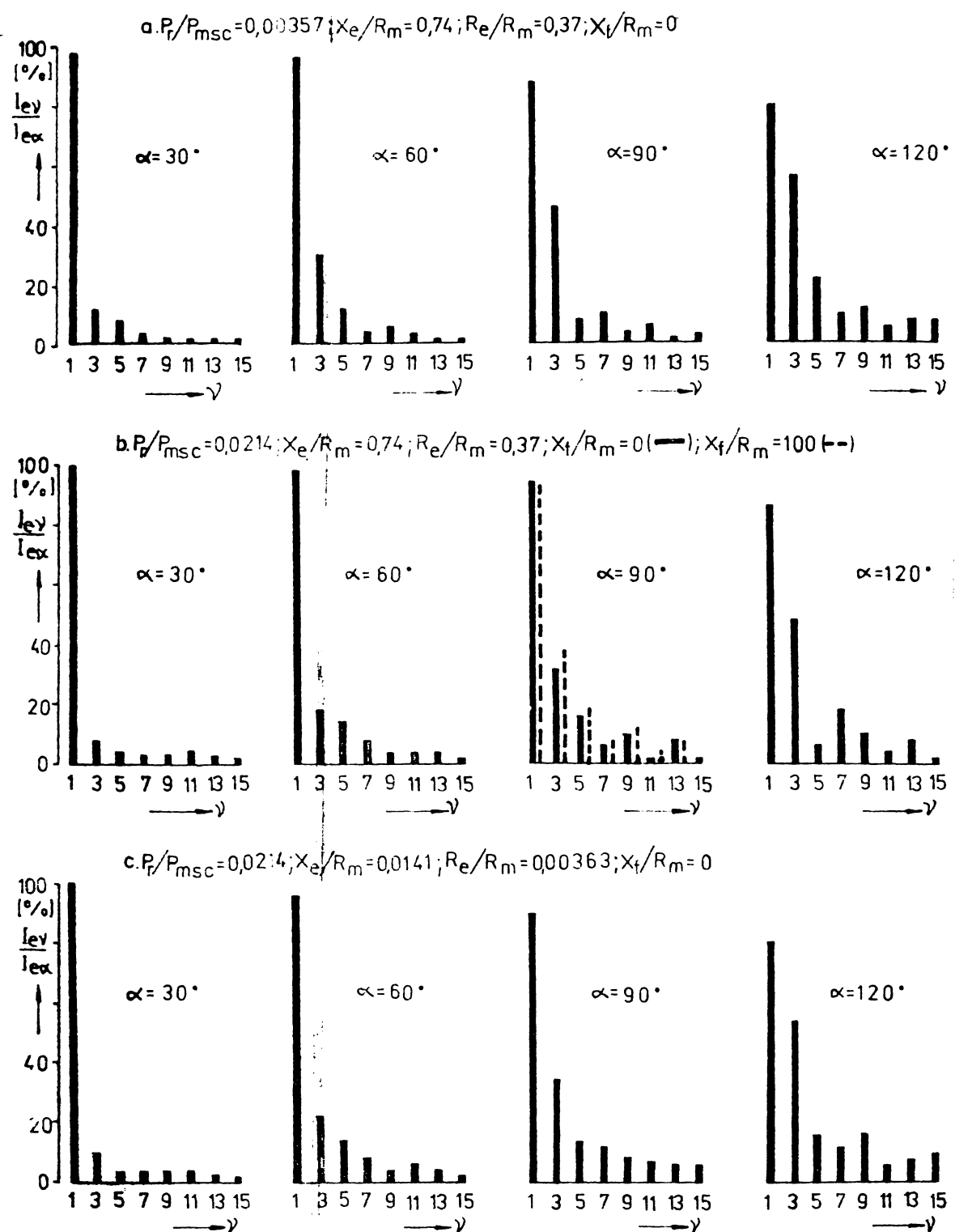


Figura nr.3.22. Analiza armonica a curentului alternativ " $I_e$ " :

- a) regim de curent intrerupt
- b) și c) regim de curent neintrerupt

Răzvaditatea de filtrare suplimentară din circuitul de curent continuu nu îmbunătățește situația ci, din contră, conduce la creșterea armonicii de ordinul 3 a curentului (figura nr. 3.22.b.).

S-a considerat utilă prezentarea spectrului de armonici și a cuplului electromagnetic al mașinii electrice (figura nr.3.23).

In regim de curent întrerupt, datorită răptutului

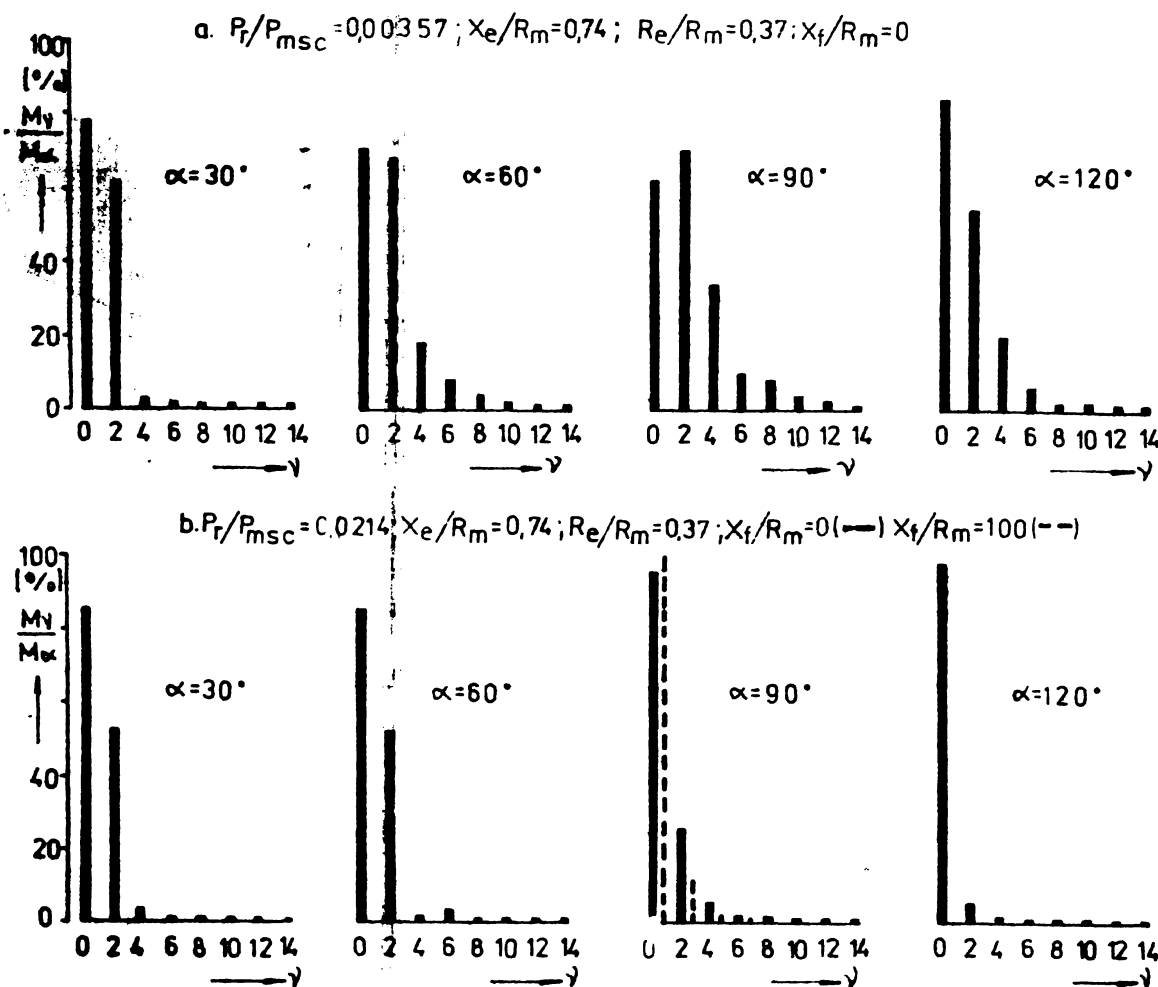
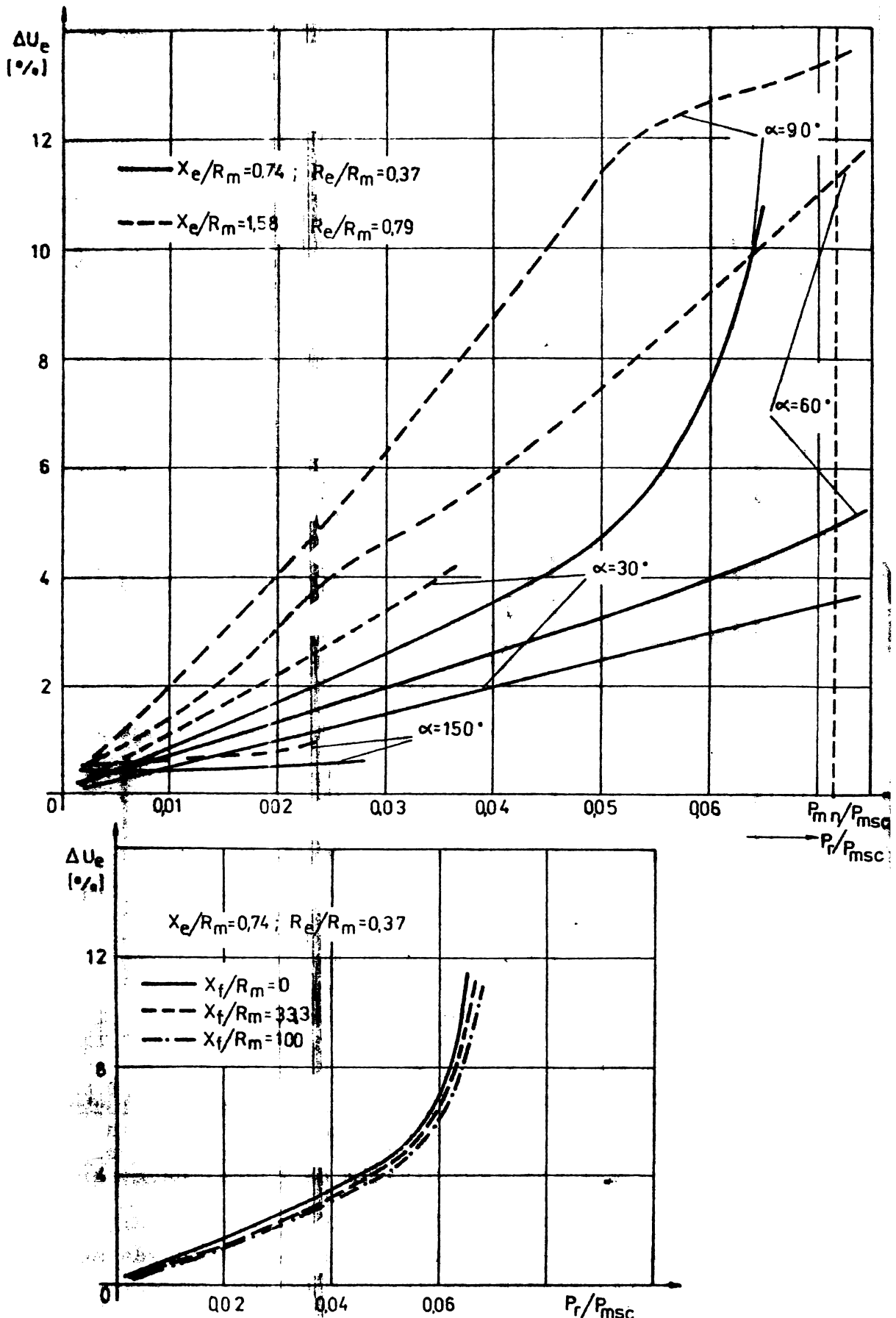


Figura nr.3.23. Analiza armonică a cuplului electromagnetic al mașinii  
a)regim de curent întrerupt  
b)regim de curent neîntrerupt

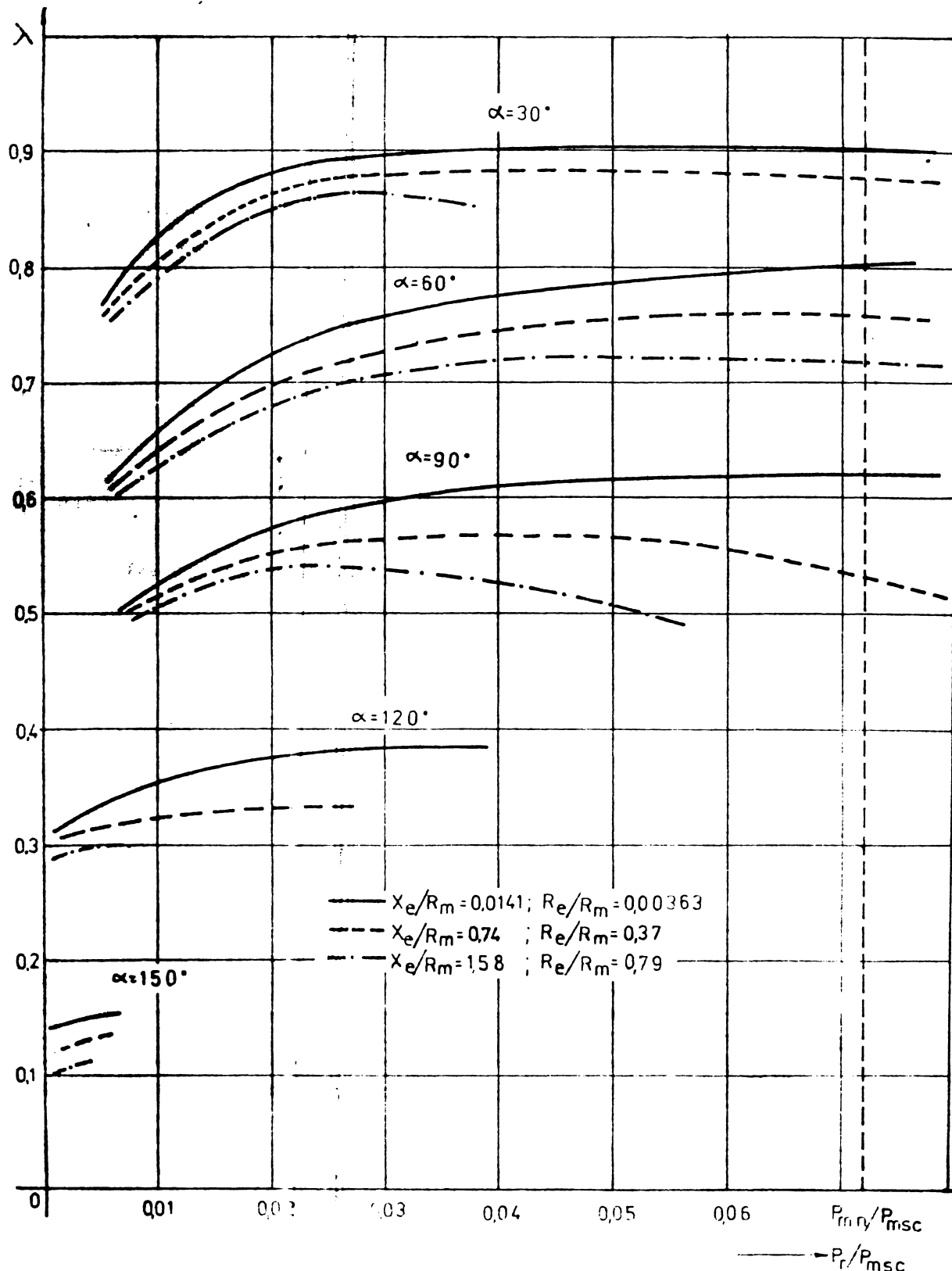
că și cuplul mașinii are intervale în care prezintă valoarea zero, armonica a 2-a este comparabilă cu valoarea medie a cuplului. Situația se ameliorează la regimul de curent neîntrerupt și cu atât mai mult la prezența inductivității de filtrare (figura nr.3.23.b.)



**Figura nr.3.24.** Variatia caderii de tensiune pe im-  
pedanta de curent alternativ functie  
de  $P_r/P_{msc}$  pentru:

a)  $X_f/R_m = 0$

b)  $X_f/R_m \neq 0$



**Figura nr. 3.25.** Variatia factorului de putere global  $\lambda$  functie de puterea la arborele masinii raportata  $P_r/P_{msc}$

O mărime de sistem importantă o reprezintă cădereea de tensiune pe impedanța din rețeaua de tensiune alternativă (figura nr.3.24). La puterea nominală a motorului de c.c. serie și impedanța de curent alternativ maximă și în jurul valorii unghiului de comandă de  $90^\circ$ , căderea de tensiune poate depăși 10%. La alte unghiuri de comandă, datorită scăderii conținutului de armonici al curentului alternativ "i<sub>e</sub>", căderea de tensiune scade. Inductivitatea de filtrare are o influență redusă în sensul scăderii ei, asupra căderii de tensiune.

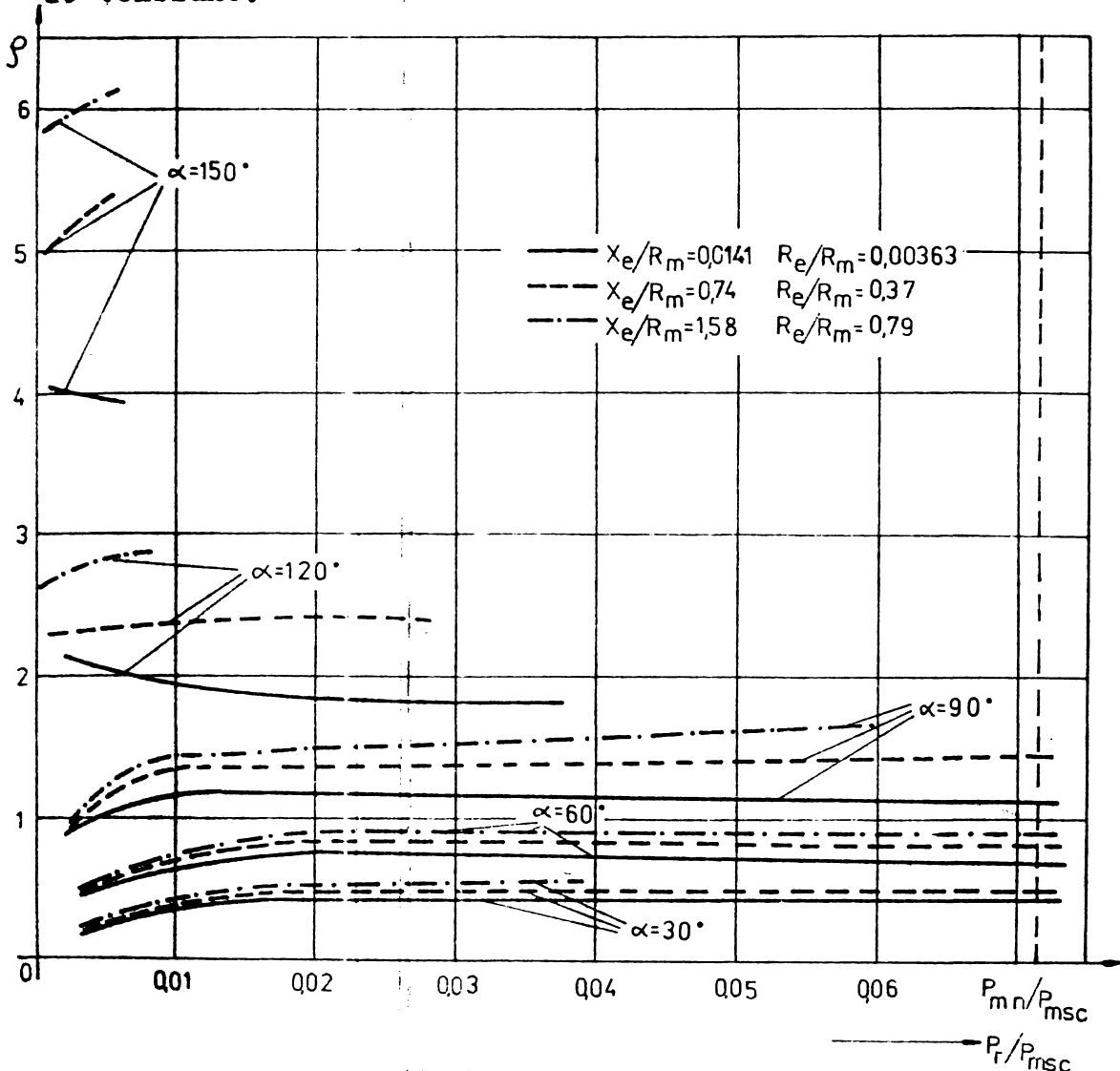


Figura nr.3.26. Variatia factorului reactiv  $\varphi$  al sistemului functie de puterea la arborele masinii raportata  $P_r/P_{msc}$ .

Variatiile factorului de putere global  $\lambda$  (figura nr.3.25), a factorului reactiv  $\varphi$  (figura nr.3.26) și ale factorului deformant  $\delta$  (figura nr.3.27) functie de puterea

la arborele mașinii electrice furnizează informații asupra consumului de energie activă, reactivă și deformantă a sistemului. La  $X_e/h_n$  și  $R_e/R_m$  constanți, necesarul de putere reactivă și deformantă crește cu creșterea unghiului de comandă  $\alpha$ , ceea ce duce la scăderea corespunzătoare a lui " $\lambda$ ". La unghiuri de comandă de  $120^\circ$ - $150^\circ$  necesarul de putere reactivă poate fi de 2-4 ori mai mare decât puterea activă. În regimul de curent întrerupt factorul deformant crește,

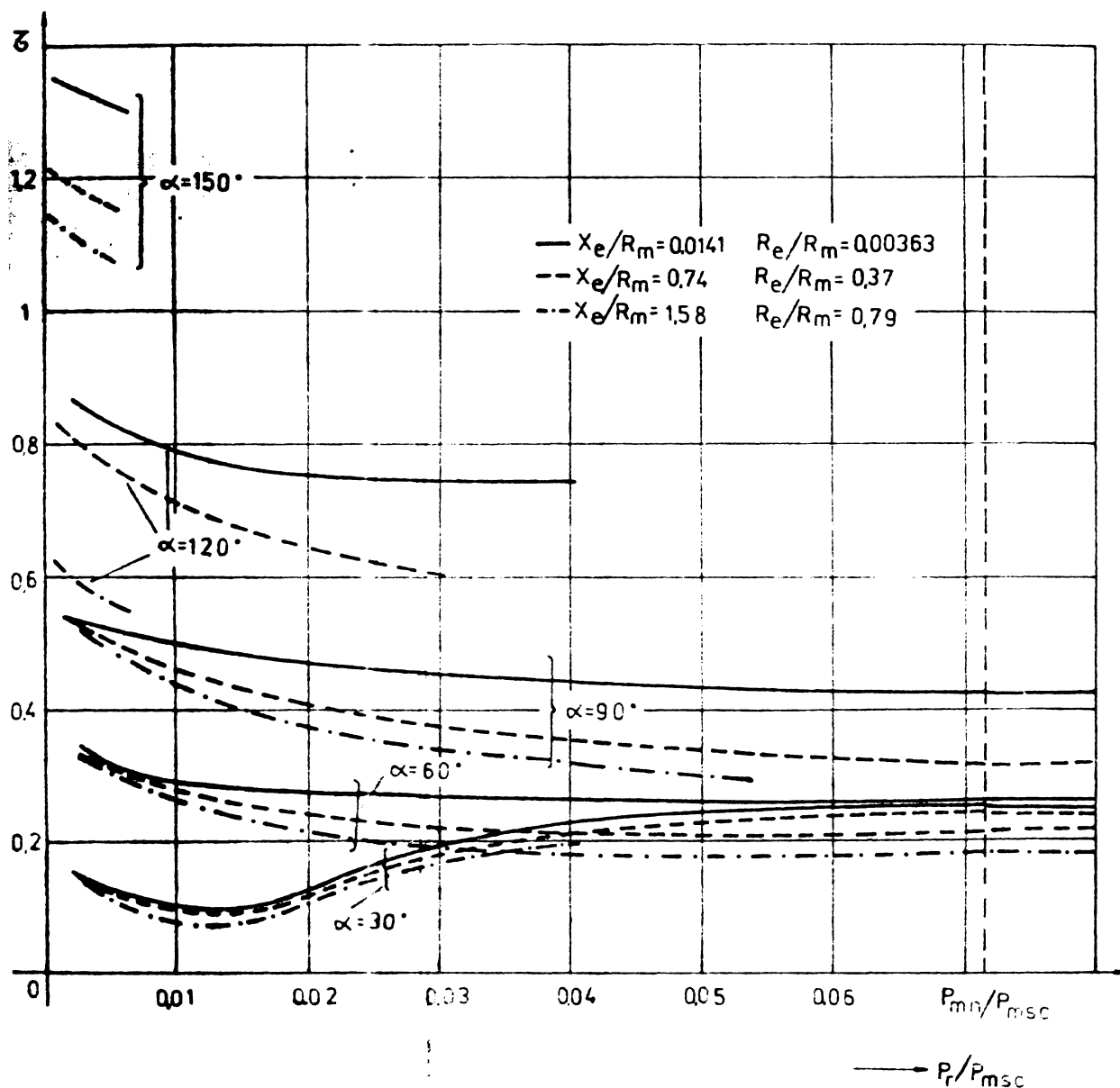


Figura nr. 3.21. Variația factorului deformant  $\lambda$  al sistemului funcție de puterea la arborele mașinii raportată  $P_r/I_{msc}$

datorită creșterii conținutului de armonici al mărimilor de curent alternativ. La creșterea impedanței din rețea se de-

tensiune alternativă, crește, iar scade, deoarece armonicele sunt ceva mai reduse, în ansamblu însă factorul de putere global scade, necesarui de putere reactivă fiind mai mare decât scăcerile puterii deformante. Inductivitatea de filtrare suplimentară în circuitul de curent continuu conduce într-o oarecare măsură la ameliorarea situației (figura nr.3.28), mai ales în regimul de curent întrerupt.

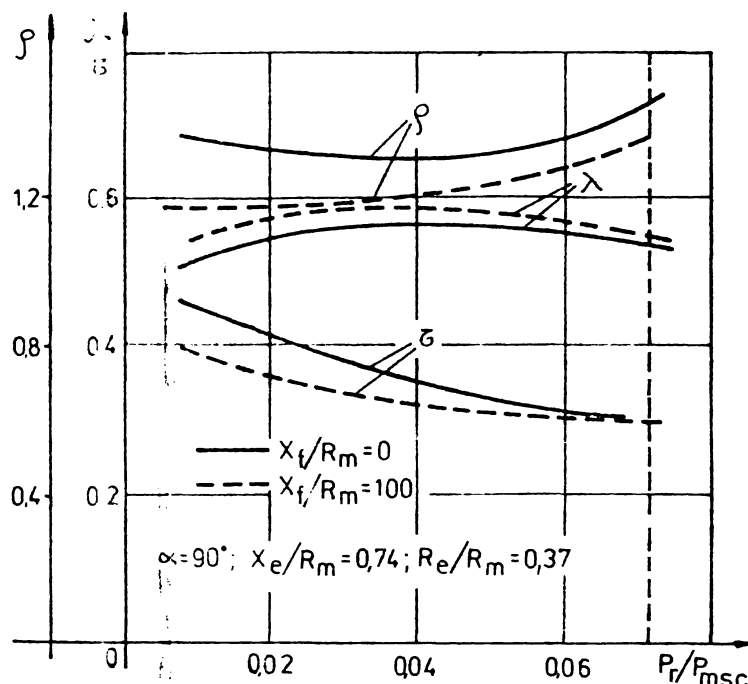


Figura nr. 3.28 . Dependența de inductivitatea de filtrare a lui  $\lambda$ , și  $\tau$ .

In fine problema randamentului este sintetic ilustrată prin figura nr.3.29. S-a reprezentat prin  $\gamma_{S1}$  curba randamentului în situația cea mai bună și anume la  $\alpha = 30^\circ$  (armonici reduse) și  $X_e/R_m$  și  $R_e/R_m$  având valorile minime. Pentru situația considerată cea mai dezavantajoasă ( $\alpha = 90^\circ$  și  $X_e/R_m$  și  $R_e/R_m$  având valorile maxime) s-au redat randamentul sistemului  $\gamma_{S2}$ , al motorului electric  $\gamma_{m2}$ , al convertorului  $\gamma_{C2}$  și al impedanței din rețea de tensiune alternativă  $\gamma_{e2}$ . La puterea nominală a motorului electric, scăderea randamentului sistemului este apreciabilă (20 %), dictată în principal de pierderea de energie în impedanță din rețea de tensiune alternativă.

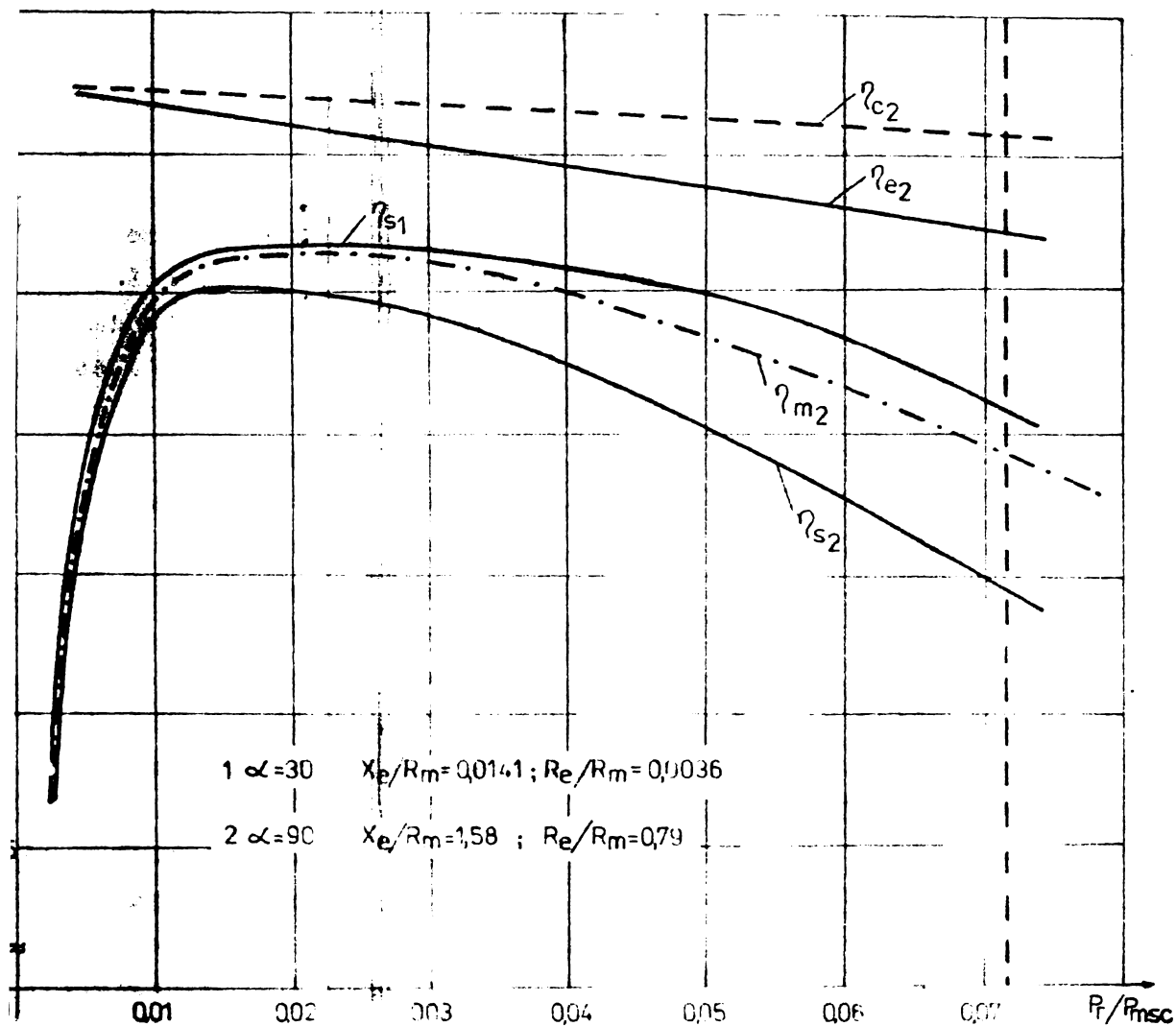


Figura nr. 3.29. Dependența randamentului sistemului  $\eta_s$  funcție de puterea la arborele mașinii raportată  $P_r/P_{msc}$

## CAPITOLUL 4

### SISTEMUL CSAC IN PUNTE MONOFAZATA DE TIP SNA - MOTOR DE CURENT CONTINUU SERIE CU COMPENSAREA PUTERII REACTIVE IN RETEAUA DE TENSIUNE ALTERNATIVA

#### 4.1. Introducere

Una din metodele de îmbunătățire a performanțelor CSAC cu comutare naturală în sensul reducerii influenței sistemului CSAC-motor de c.c. asupra rețelei de alimentare este cea de prevedere a unei capacitați la bornele de tensiune alternativă ale CSAC cu scopul compensării puterii reactive (vezi paragraful nr.2.6.1). În tracțiunea electrică în curent alternativ de mare putere metoda nu este agreeabila datorită valorilor mari ale capacitaților și tensiunilor ridicate, ce conduc la greutăți și gabarite mari în comparație cu CSAC în sine. De asemenea, pentru o funcționare optimă, apar probleme de reglaj dificile, deoarece fiecare valoare a unghiului de comandă corespunde cîte o valoare optimă a condensatorului de compensare [70].

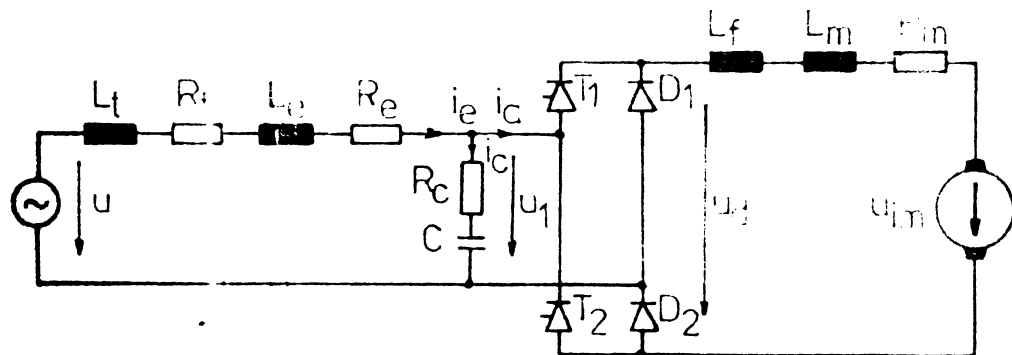
La tracțiunea de medie putere metoda poate deveni utilă datorită puterilor și tensiunilor mai mici ce fac și dificultățile de reglare a valorii condensatorului de compensație mai reduse.

Teoretic problema compensării pe această cale la CSAC monofazat în punte de tip SNA a fost incepută în [C14] fără a se aborda o metodă întru totul corespunzătoare realității și fără finalizarea studiului, iar experimental, unele concluzii privind determinarea capacitații optime pentru compensarea puterii reactive corespunzătoare fundamentaliei curentului de tensiune de alimentare sinusoidală, sunt cuprinse în [70].

În continuare, în capitolul prezent se stabilesc, se rezolvă pe cale numerică sistemele de ecuații diferențiale corespunzătoare regimurilor de funcționare ale unui CSA în punte monofazată de tip SNA ce alimentează un motor de c.c. serie cu compensare la bornele de tensiune alternativă ale CSAC și se interpretează rezultatele obținute în urma integrării.

#### 4.2. Prezentarea sistemului analizat

Prezența grupului RC la bornele de alimentare a CSAC (figura nr.4.1), cu capacitatea utilizată pentru compensarea puterii reactive și rezistența limitând curentii în



**Figura nr.4.1. Sistemul CSAC în punte monofazată de tip SNA-motor de c.c. cu compensare**

regimurile de comutație, are repercurșiuni asupra modului de funcționare al punții monofazate de tip SNA descris în paragraful nr.3.2.

Diferențele apar în esență la regimurile de comutație, atunci cînd la bornele de alimentare ale CSAC, datorită conducției simultane a unui tiristor și a unei diode apare un scurtcircuit. La amorsarea tiristorului  $T_1$ , (momentul  $\alpha = z_2'$ ), pe alternanța pozitivă a tensiunii alternative (figura nr.4.2 și 4.3.a.), indiferent dacă valoarea momentană a tensiunii alternative este mai mare sau mai mică decît valoarea t.e.m. induse a mașinii de c.c., capacitatea C, încărcată cu polaritatea din figură se descarcă peste circuitul de impedanță redusă (vezi schema echivalentă din figura nr.4.3), format din  $D_1$  și  $T_1$ . Procesul se termină atunci cînd sarcina stocată în diodei  $D_1$  a fost evacuată și ea se blochează, (momentul  $z_2'$ ), trecind puntea în regim de conducție prin tiristorul  $T_1$  și  $D_2$ . Durata acestui proces de comutație este extrem de redusă, ținând cont de valorile uzuale ale elementelor din circuit, răpt constatat de altfel și experimental (vezi capitolul 6). Pericolul apare din faptul că inducțivitățile  $L_t$  și  $L_e$  nu limitează efectele comutației, deoarece nu participă la ea decît, eventual, după descarcarea capacității C, pînă atunci valoarea curentului prin  $D_1$  și  $T_1$

Figura nr.4.2.  
Variațiile mărimii  
lor caracteristi-  
ce schemei CSAC  
cu compensare

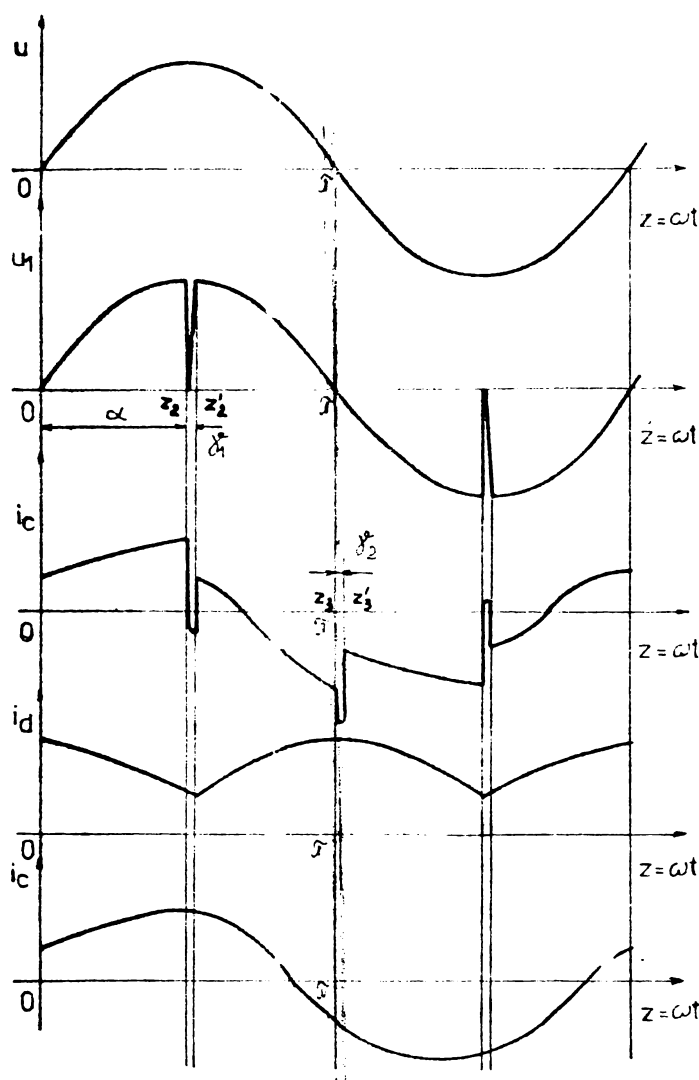
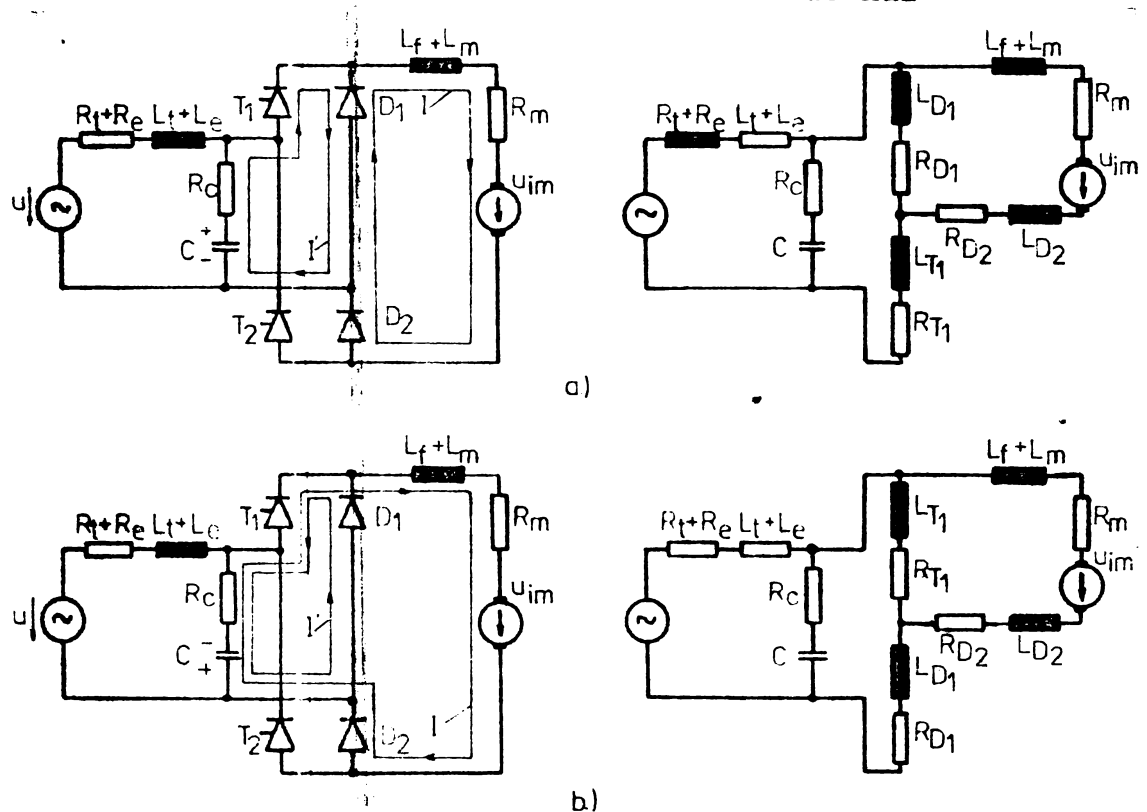


Figura nr.4.3.  
Schemele echivalen-  
te regimurilor de  
comutație a) la a-  
morsarea unui tri-  
istor b) la comu-  
tație pe diodele  
de nul



este limitată numai de  $R_c$ , (de valoare redusă dacă se urmărește compensarea puterii reactive),  $R_{T_1}$  și  $R_{D_1}$ , iar panta curentului prin  $T_1$  numai de inductivitatea  $L_{T_1}$  și  $L_{D_1}$  proprie a semiconducțoarelor, (ramura derivație a circuitului mașinii de c.c. prezintă inductivități și rezistențe mari, deci nu contează) și a conductoarelor de legătură (neindicate în figură); efectul poate fi, dacă nu se iau măsuri suplimentare, distrugerea tiristorului. De asemenea, cu cît unghiul de comandă este mai apropiat de  $90^\circ$  situația este mai periculoasă. La momentul  $z'_2$  curentul prin condensator,  $i_c$ , se stabilește la valoarea corespunzătoare diferenței  $i_e - i_d$ , ambele menținându-se practic constante în timpul comutației, după ce, la momentul  $z'_2$  valoarea curentului  $i_c$  a fost egală cu  $i_e$  (puntea a fost blocată). Procesul descris este similar proceselor de comutație forțată cu acumulator de energie capacativ și în această formă nu este semnalat în literatura de specialitate.

Între  $z'_2$  și  $z'_3$  puntea va fi în conducție iar pentru  $z \in (z'_3, z'_4)$  are loc comutația de pe tiristorul  $T_1$  pe dioda  $D_1$ , în modul descris anterior (figura nr.4.3.b), bineînțeles în condiții mult mai puțin dure datorită tensiunii reduse la care se află încărcată capacitatea.

Pentru  $z \in (z'_4, z'_5)$  vor conduce numai diodele curentul continuu  $i_d$ , iar de la sursă se va absorbi un curent  $i_e + i_c$ .

Conform celor expuse în prezentul capitol și verificărilor experimentale corespunzătoare (vezi capitolul 6), s-a considerat că pentru cazul de față stările corespunzătoare proceselor de comutație se pot neglijă în evaluarea performanțelor sistemului în ansamblu. Ca atare se vor considera la scrierea ecuațiilor sistemului numai:

- Starea I  $z \in (z'_1, z'_3)$  - punte în conducție și
- Starea II  $z \in (z'_3, z'_5)$  - punte blocată, diodele de nul în conducție

bineînțeles cu exprimarea corectă a condițiilor de frontieră pentru variabile (vezi paragraful 4.3).

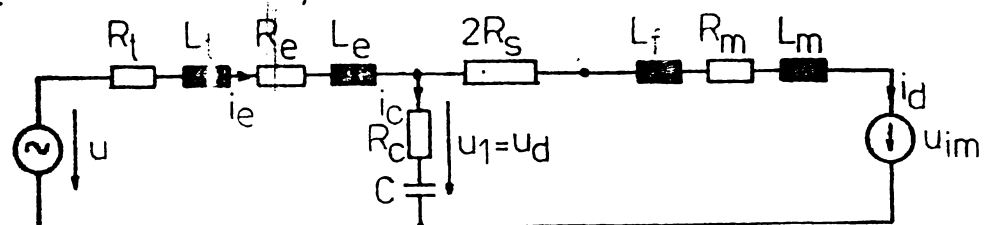
#### 4.3. Scheme echivalente. Stabilirea ecuațiilor sistemului

Stările de funcționare stabilite în paragraful

precedent li s-au asociat schemele echivalente din figura nr.4.4. La notăriile stabilite în paragraful nr.3.3, utilizate în acest capitol se adaugă următoarele:

$$X_C = \frac{1}{\omega C} ; A_C = \frac{X_C}{R_m} ; B_C = \frac{R_C}{R_m} \quad (4.1)$$

### I Punte în conductione



### II Conducția diodelor

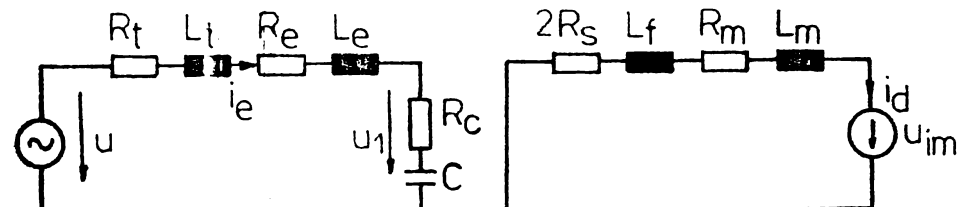


Figura nr.4.4. Schemele echivalente ale sistemului

Cu acestea se vor scrie sistemele de ecuații diferențiale pentru schemele echivalente sistemului, direct în mărimi raportate, cu precizarea condițiilor limită de trece-re de la un sistem la altul, adăugindu-se la fiecare din sisteme ecuațiile ce stabilesc variațiile mărimilor mecanice și electrice ale mașinii electrice, toate acestea numai pentru regimul de curent continuu neîntrerupt. La descrierea modului de rezolvare pe cale numerică a acestora se va preciza selectarea regimurilor de curent continuu întrerupt.

Pentru starea I, intervalul  $z \in (z_2, z_3)$  - punte în conductione - sistemul de ecuații este :

$$\begin{cases} u' = U' \sqrt{2} \sin z \\ u' - A_e \frac{di'_e}{dz} - B_e i'_e = u_{im} + (A_m + A_f) \frac{di'_d}{dz} + (1+B_s) i'_d \\ u' - A_C \frac{di'_e}{dz} - B_C i'_e = u'_c(z_2) + f'_c + B_C i'_c \end{cases}$$

$$\left\{ \begin{array}{l} i'_c = \frac{1}{A_c} - \frac{df'_c}{dz} \\ i'_e = i'_d + i'_c \\ u'_d = u'_{im} + (A_m + A_f) \frac{di'_d}{dz} + (1+B_s) i'_d \\ u'_i = u' - A_e \frac{di'_e}{dz} - B_e i'_e \\ u'_c = u'_c(z_2) + f'_c \\ m' - \frac{P_r}{\omega_m^2} - M'_c = T_m \frac{d\omega'_m}{dz} \\ m' = \frac{u'_{im} i'_d}{\omega_m^2} \\ u'_{im} = u'_{im}(i'_c, \omega'_m) \end{array} \right. \quad (4.2)$$

cu condiția de determinare a lui  $z_3$ :

$$u'_d(z_3) = 0 \quad (4.3)$$

și condiția initială pentru funcția de variație a tensiunii pe condensator  $f'_c$ :

$$f'_c(z_2) = 0 \quad (4.4)$$

Pentru starea II, intervalul  $z \in (z_3, z_2 + \tilde{h})$  - puncte blocată, conducția diodelor:

$$\left\{ \begin{array}{l} u' = U' \sqrt{2} \sin z \\ u' - A_e \frac{di'_e}{dz} - B_e i'_e = u'_c(z_2) + f'_c + B_c i'_c \\ u'_{im} + (A_m + A_f) \frac{di'_d}{dz} + (1+B_s) i'_d = 0 \\ i'_e = i'_c \\ i'_c = \frac{1}{A_c} \frac{df'_c}{dz} \\ u'_d = 0 \\ u'_i = u' - A_e \frac{di'_e}{dz} - B_e i'_e \\ u'_c = u'_c(z_2) + f'_c \\ m' - \frac{P_r}{\omega_m^2} - M'_c = T_m \frac{d\omega'_m}{dz} \\ m' = \frac{u'_{im} i'_d}{\omega_m^2} \end{array} \right. \quad (4.5)$$

$$(u'_{im} = u'_{im}(i'_d \omega'_m))$$

cu condiția pentru  $i'_c$  în punctul  $z_3$ :

$$i'_c(z_3) = i'_e(z_3) \quad (4.6)$$

și cu condițiile suplimentare obligatorii a fi infinite:

$$\begin{cases} i'_d(z_2) = i'_d(z_2 + \tilde{\tau}) \\ i'_e(z_2) = -i'_e(z_2 + \tilde{\tau}) \\ u'_c(z_2) = -u'_c(z_2 + \tilde{\tau}) \end{cases} \quad (4.7)$$

Cu sistemele de mai sus, la  $U', P'_r$  (sau  $\omega'_m$ ),  $z_2 = \alpha$  date și constantele și marimile caracteristice mașinii de curent continuu cunoscute, se pot calcula valorile necunoscutelelor  $i'_e, i'_d, i'_c, u'_d, u'_c, u'_l, m', \omega'_m$  (sau  $P'_r$ ) și  $z_3$ . Marimile care nu au fost specificate, la trecerea de la o stare la alta au o variație continuă, deci valorile se păstrează.

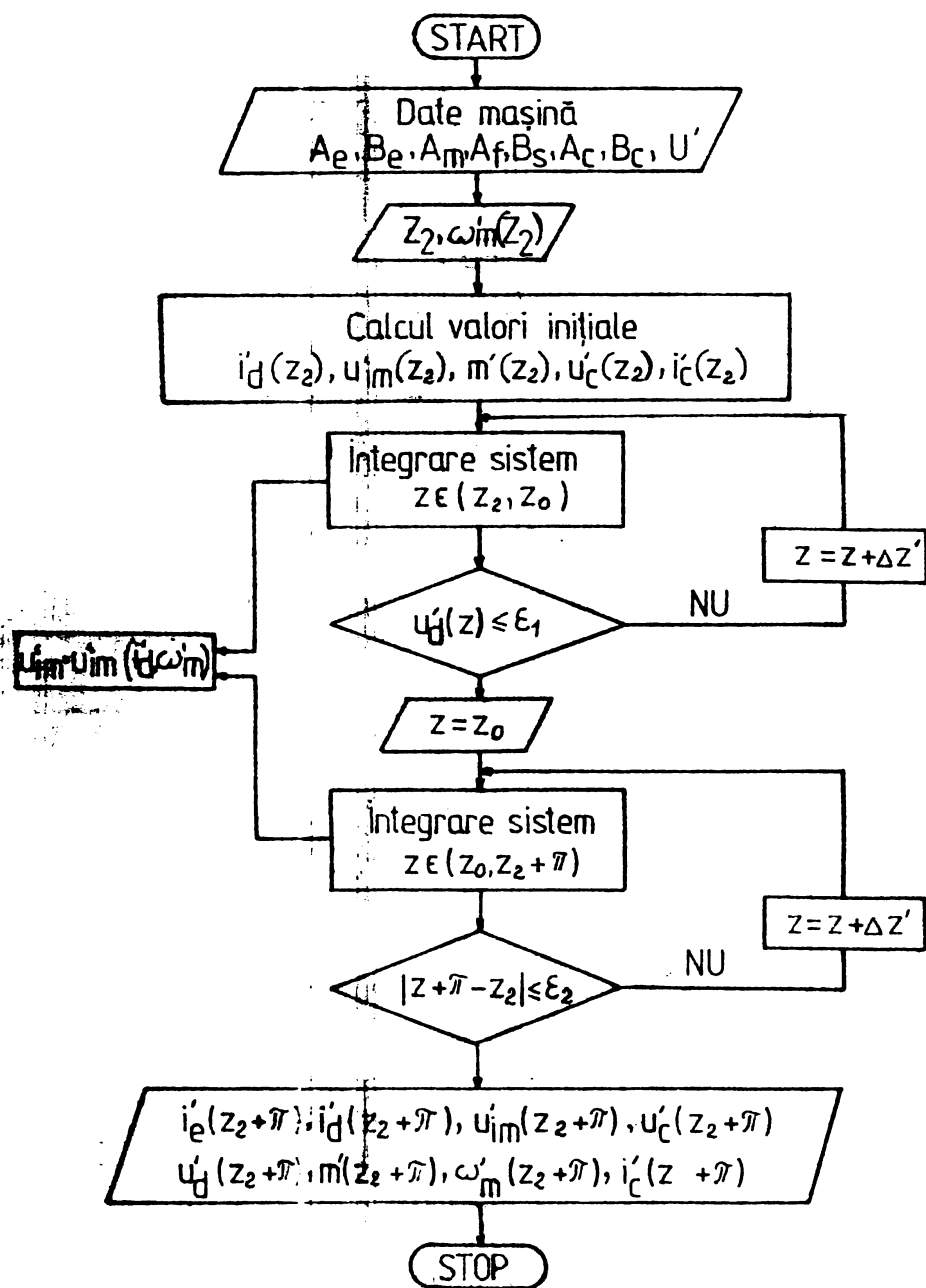
Si pentru acest caz este suficientă rezolvarea sistemelor pentru o semiperioadă a tensiunii alternative ( $z_2$ ,  $z_2 + \tilde{\tau}$ ) deoarece:

$$\begin{array}{ll} i'_d(z + \tilde{\tau}) = i'_d(z) & i'_e(z + \tilde{\tau}) = i'_e(z) \\ i'_c(z + \tilde{\tau}) = -i'_c(z) & u'_c(z + \tilde{\tau}) = -u'_c(z) \\ u'_d(z + \tilde{\tau}) = u'_d(z) & u'_l(z + \tilde{\tau}) = -u'_l(z) \\ m'(z + \tilde{\tau}) = m'(z) & u'_{im}(z + \tilde{\tau}) = u'_{im}(z) \\ \omega'_m(z + \tilde{\tau}) = \omega'_m(z). & \end{array} \quad (4.8)$$

#### 4.4. Integrarea numerică a sistemelor de ecuații

Principiul metodei utilizate pentru rezolvarea sistemelor de ecuații diferențiale stabilite anterior este identic cu cel utilizat la determinarea performanțelor sistemului CSAC în punte monofazată de tip SNA-motor de c.c. serie prezentat în capitolul 3.

Schema logică a unui ciclu de integrare numerică a sistemelor de ecuații este redată în figura nr. 4.5. Cu valori initiale pentru  $i'_d, i'_e, u'_c$  aproximative (calculate în situații idealizate), cu  $U'$ ,  $\alpha = z_2$  și  $\omega'_m$  date precum și cu valoările constanțelor sistemului și curbelor caracteristice ale mașinii electrice cunoscute, se procedează la un ciclu de integrare, la trecerea de la un sistem la altul tînindu-se

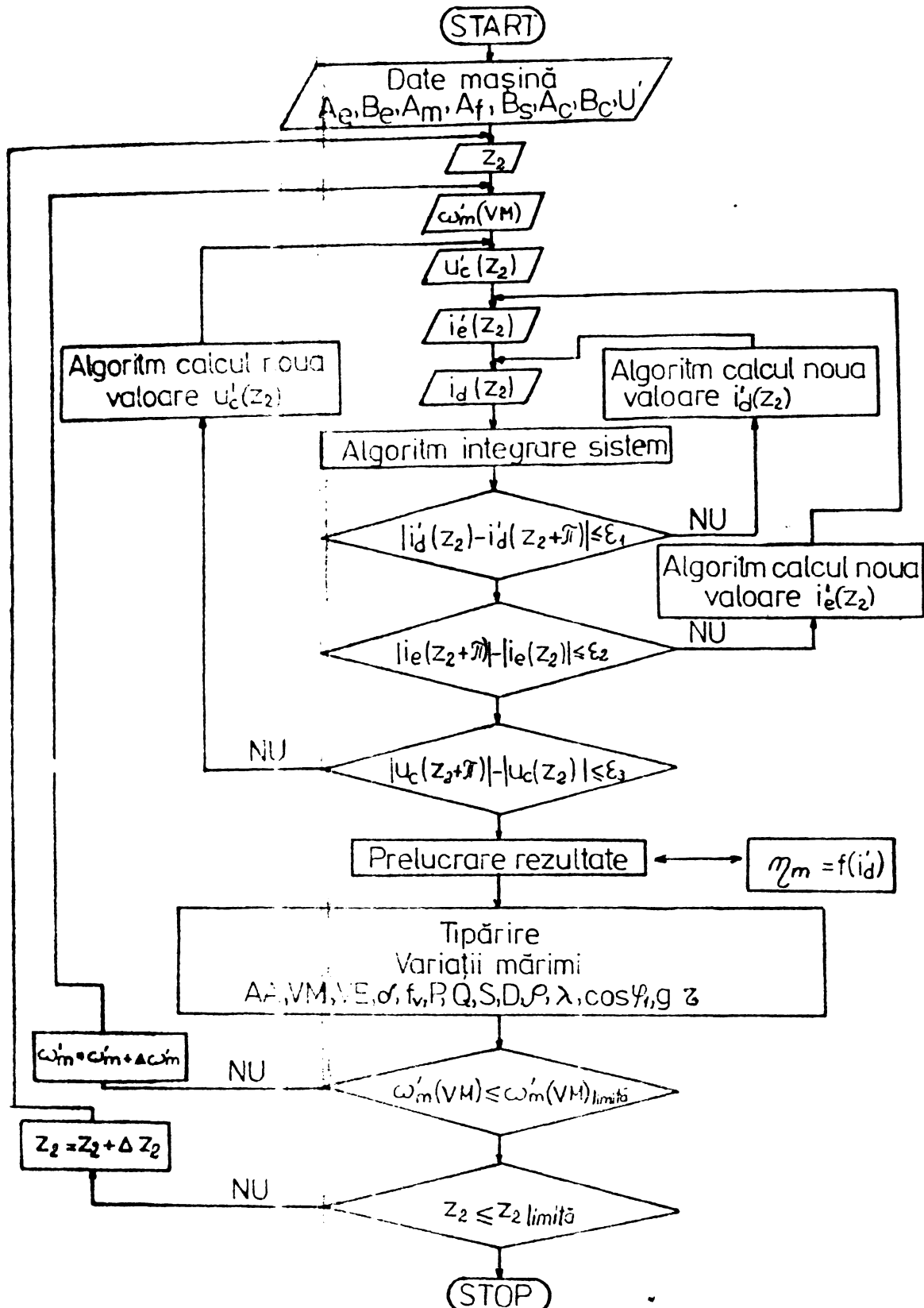


**Figura nr.4.5.** Schema logică a algoritmului de integrare a sistemelor de ecuații

să condițiile corespunzătoare regimului stationar (4.7).

Incazarea algoritmului de integrare a sistemelor în schema generală de calcul este prezentată în figura nr. 4.6. După ce, că stabilizarea necunoscutei  $i'_d$  se procedează ca în capitolul precedent (vezi paragraful 3.4) se trece la o serie nouă, suprapusă, de iterării, pentru atingerea condiției privitoare la  $i'_e$  exprimată prin relația (4.7), care urmează cea referitoare la tensiunea pe condensatorul de compensare  $u'_c$ , care se corectează prin iterării succesive printr-o buclă suprapusă celor prezentate anterior.

cont de relații-le de determinare a lui  $z_3$  (4.3) și de condiții-le de frontie-ră stabiliite în paragra-ful pre-cedent. La sfir-situl u-nui ci-clu de integra-re se ob-țin valo-rile ne-cunoscu-telor  $i'_e$ ,  $i'_d$ ,  $i'_c$ ,  $u'_{im}$ ,  $u'_d$ ,  $m'$ ,  $u'_c$ , rără să se res-pecte în-



**Figura nr.4.6.** Schema logică generală de calcul a mărimilor caracteristice sistemului

Ca deosebire față de modul de calcul al performanțelor sistemului **BSAC** în punte monofazată de tip SNA-motor de c.c. serie prezentat în capitolul precedent, în cazul de față se impune ca dată inițială viteza unghiulară a mașinii

$\omega_m'$  în loc de puterea la arborele mașinii  $P_r'$ . Se reduce în felul acesta timpul de calcul necesar deoarece s-ar necesita un al patrulea cișlu de iterată pentru corectarea valorii lui  $P_r'$ . Această măsură este justificată prin faptul că, după cum se va vedea lăț prezentarea rezultatelor obținute în urma integrării numerice, variațiile vitezei unghiulare  $\omega_m'$  în funcție de  $z = \omega t$  sunt neglijabile datorită constantei mecanice mari a sistemului.

Regimul de conducție întreruptă se selectează în timpul integrării conform celor precizate în paragraful nr.3.4., după cum rămân valabile și cele stabilite privitor la modul de prelucrare a rezultatelor integrării.

Modificând perechile de valori  $\omega_m', z_2 = \alpha$ , respectiv cele dependente de schemă -  $A_e, B_e, A_m, A_f, B_s, A_c, B_c$  - se pot obține toate punctele din domeniul de funcționare posibil al sistemului.

Timpul de calcul necesar pentru un punct de funcționare este, conform programului conceput în limbaj FORTRAN, între 1 și 6 minute (caz extrem 15 minute).

#### 4.5. Prezentarea și discuția rezultatelor obținute în urma integrării numerice

Pentru rezolvarea sistemelor de ecuații stabilite în paragraful nr.4.3., programul de calcul a fost rulat pe un calculator numeric în următoarele situații:

a)  $X_e/R_m = 0,74$ ;  $R_e/R_m = 0,37$  (4.9)

b)  $X_e/R_m = 1,58$ ;  $R_e/R_m = 0,79$ . (4.10)

Pentru fiecare din aceste perechi de valori ale parametrilor din rețeaua de curent alternativ s-au ales următoarele valori ale circuitului de compensare:

1<sup>o</sup>)  $X_c/R_m = 27,6$ ;  $R_c/R_m = 0,1$  (4.11)

2<sup>o</sup>)  $X_c/R_m = 13,8$ ;  $R_c/R_m = 0,1$  (4.12)

3<sup>o</sup>)  $X_c/R_m = 6,9$ ;  $R_c/R_m = 0,1$ . (4.13)

Unghiiurile de comandă pentru care au fost rulate riecarile din cazurile mai sus precizate au fost:

$\alpha = 30^\circ, 60^\circ, 90^\circ, 120^\circ, 150^\circ$ . (4.14)

In toate situațiile s-a considerat:

$$X_f/R_m = 0$$

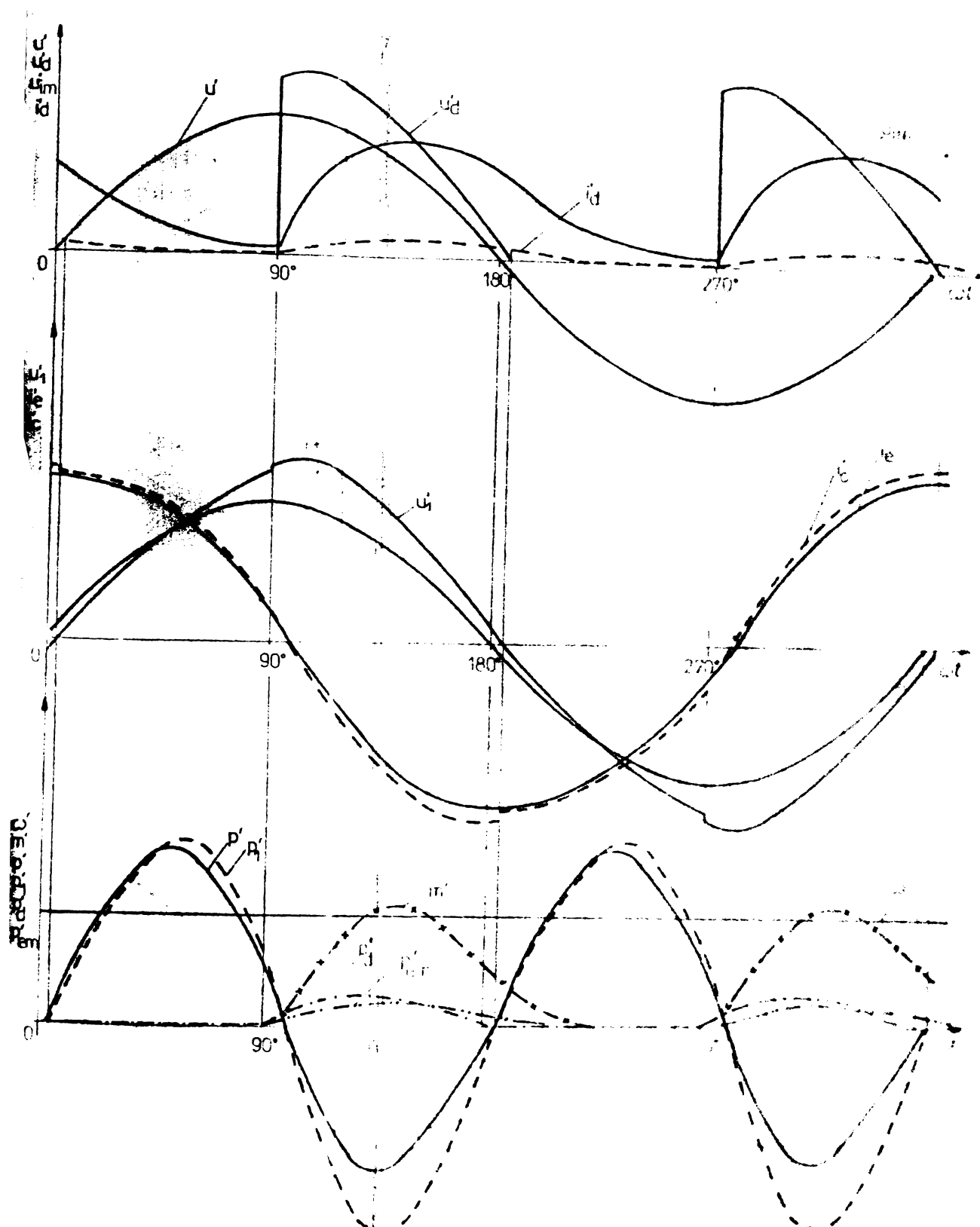
(4.15)

aceasta, deoarece fără de concluziile privind influența inductivității de filtrare asupra performanțelor sistemului stabilită în capitolul 3, nu s-ar fi putut adăuga altele semnificative noi; circuitul de curent continuu rămînind identic ca parametrii și magină de curent continuu ca și în cazul punții SNA necompensate analizate.

Pentru un set de valori  $X_e/R_m, R_e/R_m, X_c/R_m, R_c/R_m$  și s-a ales 4-6 valori impuse ale vitezei unghiulare a mașinii electrice (puncte de funcționare).

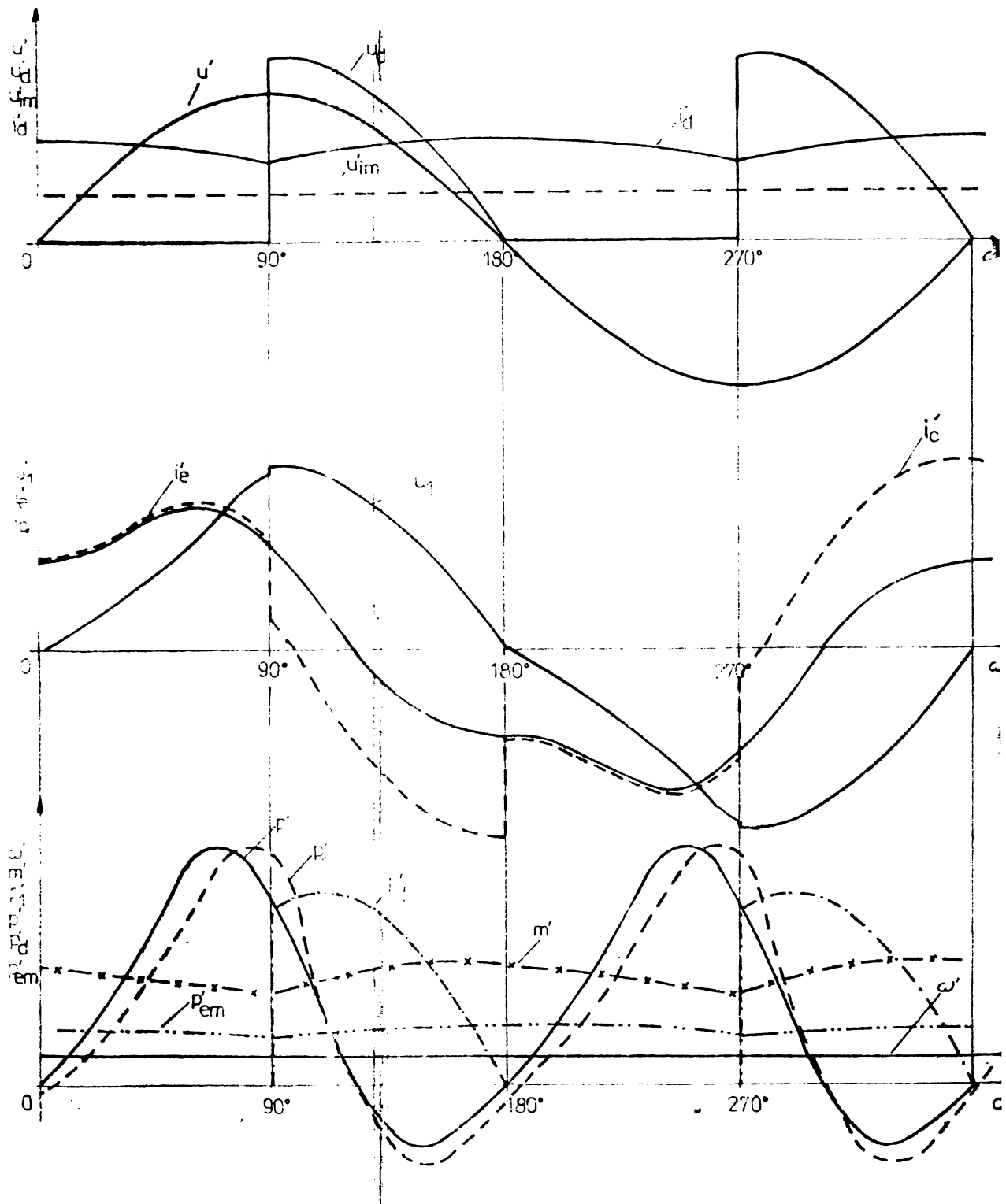
Nu s-a insistat, în acest caz asupra regimului de curent continuu întrerupt decât prin delimitarea regimului limită, mai precis a punctului de funcționare limită între cele două regimuri caracteristice de funcționare. S-a considerat justificat acest lucru pe baza observațiilor din capitolul precedent privind importanța redusă a regimului de conductie întreruptă la mașina de c.c. serie în sistemul analizat.

Variatiile în timp ale principalelor mărimi ce caracterizează funcționarea în regim de conductie întreruptă a sistemului analizat sunt redate în figura nr.4.7. Este de remarcat că, datorită compensării, valorile momentane ale tensiunii alternative  $u_1'$  de la bornele CSAC sunt mai mari decât cele ale tensiunii de alimentare  $u'$ , ceea ce are ca efect și creșterea valorii medii a tensiunii redresate  $U_d'$ . Variatia în timp a curentului alternativ  $i_e'$  absorbit de la sursa de alimentare va fi puțin diferită de cea a curentului prin ramură derivată de compensare, datorită reacției de compensare mici, pentru situația reprezentată și sarcinii reduse a motorului de c.c. Din punctul de vedere al mașinii electrice, cuplul acesteia  $m'$  va fi pulsatoriu (curentul redresat  $i_d'$  are porțiuni cu valori nule), tensiunea e.m. indușă  $u_{im}'$  având și ea variații pronunțate, cu valori ce coboară pînă la  $u_{im}'$  coresponzător remanenței mașinii. Viteza unghiulară a mașinii, la fel ca și în cazul punții SNA analizate în capitolul precedent se poate considera constantă, aceasta deoarece constanța mecanică a sistemului este mare. Puterea activă debitată de sursă  $p'$  și cea absorbită de CSAC, pînă vor avea modul de variație, aproape sinusoidal, datorită puterii reduse reclamate în circui-



**Figura nr.4.7** Variatiiile marimilor caracteristice calculate functie de zvar pentru re  
gimul de curent continuu intrerupt  
 $\alpha = 90^\circ$  pentru  $X_e/R_m = 1,58; R_e/R_m = 0,17$

tul de c.c., cu frecvență dublă față de cea a rețelei. Puterea din circuitul de curent continuu  $P_d^*$ , datorită conductiei intrerupte, va avea intervale în care ea este nulă.



**Figura nr.4.8.** Variatiile marimilor caracteristice calculate functie de  $z=\omega t$  pentru regimul de curent continuu neintrerupt la putere nominala la  $X_e/R_m=1,58; R_e/R_m=0,79$  si  $\alpha=90^\circ$

In regimul de conductie neintreruptă (figura nr. 4.8) apar diferențe sensibile între formele de unde analizate mai sus datorită puterii ridicute, corespunzătoare celei nominale, debitată la arborele mașinii de c.c. Valoările momentane ale tensiunii de la bornele CSAC,  $u_1'$  vor fi mai mici decât în regimul de curent întrerupt, modul de variație al curentului absorbit de la rețea  $i_e'$  va fi net diferit de cel al ramurii derivație de compensare  $i_c'$ . Mărimele din circuitul de curent continuu (exceptând  $u_d'$ ) precum și cele specifice mașinii de curent continuu vor avea variații continue, fără intervale cu valori nule specifice regimului de curent întrerupt. Puterea debitată de sursă și cea absorbită de CSAC  $p_1'$  vor avea variații periodice, cu frecvență dublă față de cea a rețelei, însă cu o componentă continuă apreciabilă, corespunzătoare puterii absorbite în circuitul de curent continuu.

După cum se observă din caracteristicile mecanice ale motorului de c.c. serie, (figura nr.4.9), prin modificarea unghiului de comandă  $\alpha$  al CSAC compensat se poate acoperi întreaga plajă de funcționare a lui, cu limitare la  $\alpha$  în jurul valorii de  $150^\circ$  unde nu se mai poate asigura cuplul nominal al mașinii electrice. Situația redată în figură corespunde însă cazului celui mai dezavantajos, caracterizat prin impedanță maximă în circuitul de curent alternativ serie luată în considerare în calcule. Efectul scăderii reactanței capacitive de compensare  $X_c$  este pozitiv, mai ales la viteze unghiulare scazute ale mașinii (unghiuri mari de comandă) unde pentru situațiile de compensare din figura nr.4.9 cuplul mașinii se dublează. Aceasta trebuie considerată ca efect a creșterii valorii medii a tensiunii redresate furnizate de CSAC pe măsura scăderii reactanței capacitive ilustrat sintetic prin caracteristicile externe ale CSAC redate în figura nr. 4.10. Efectul compensării manifestat prin translatarea caracteristicilor  $U_{d\alpha}/U_{cimax} = f(I_{dmed}/I_{msc})$  spre valori mai mari ale tensiuni redresate, este resimțit mai ales la unghiuri de comandă reduse ( $\alpha = 30^\circ - 60^\circ$ ) și bineînțeles la valori mai reduse ale reactanței inductive din circuitul de tensiune alternativă (figura nr.4.10.b). La  $X_c/R_m$  mare se poate obține chiar  $\alpha = 30^\circ$ , pentru curentul continuu nominal, valoarea ideală a tensiunii furnizate de un CSAC în punte monofuzată de tip DUA,  $U_{dmax}$  (vezi paragraful 3.5). Pentru aceeași situație la

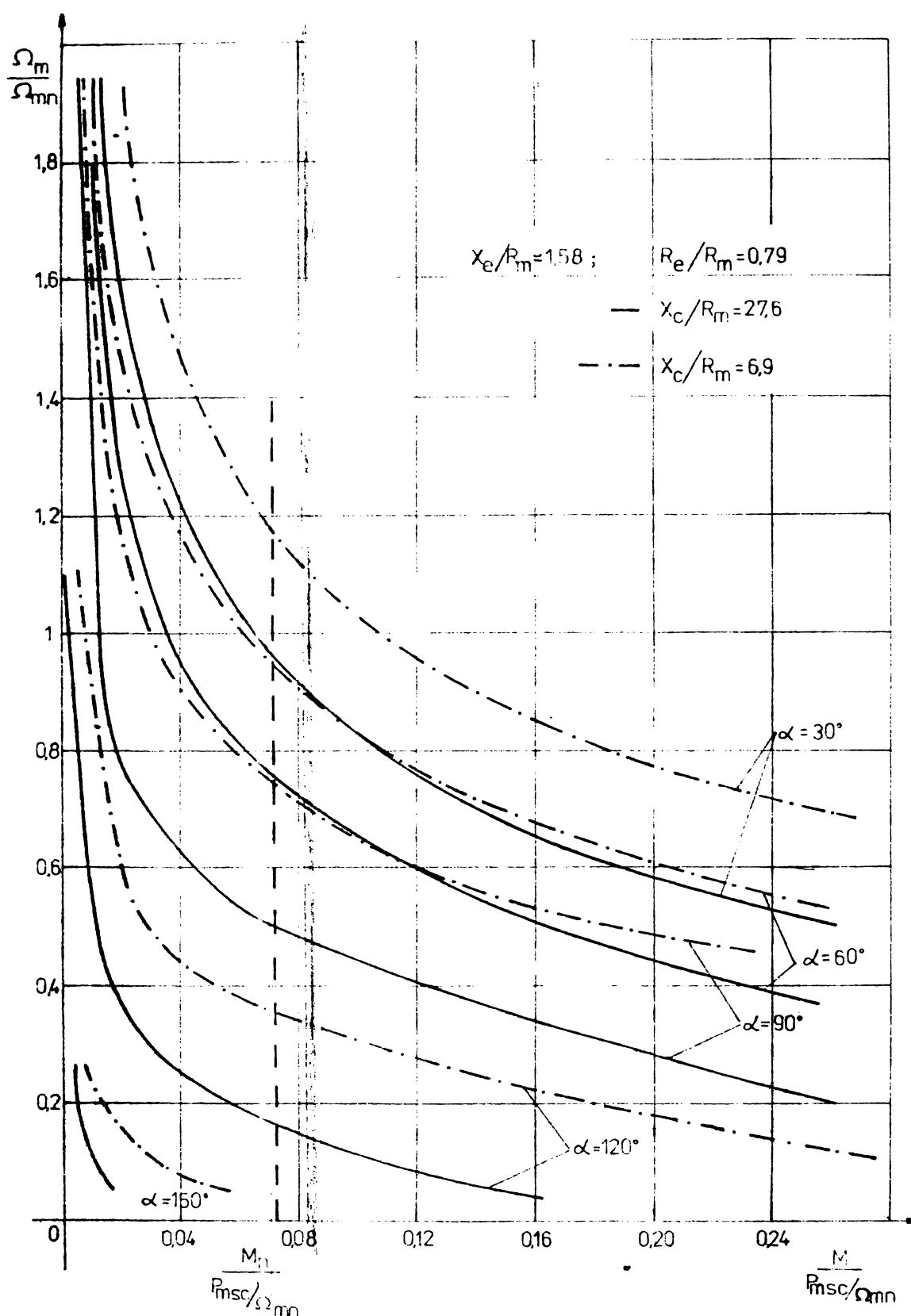


Figura nr.4.9. Caracteristicile mecanice ale motorului de curent continuu serie la alimentare de la CSAC cu compensare pentru diverse unghiuri de comandă  $\alpha$  și două valori ale reactanței capacitive.

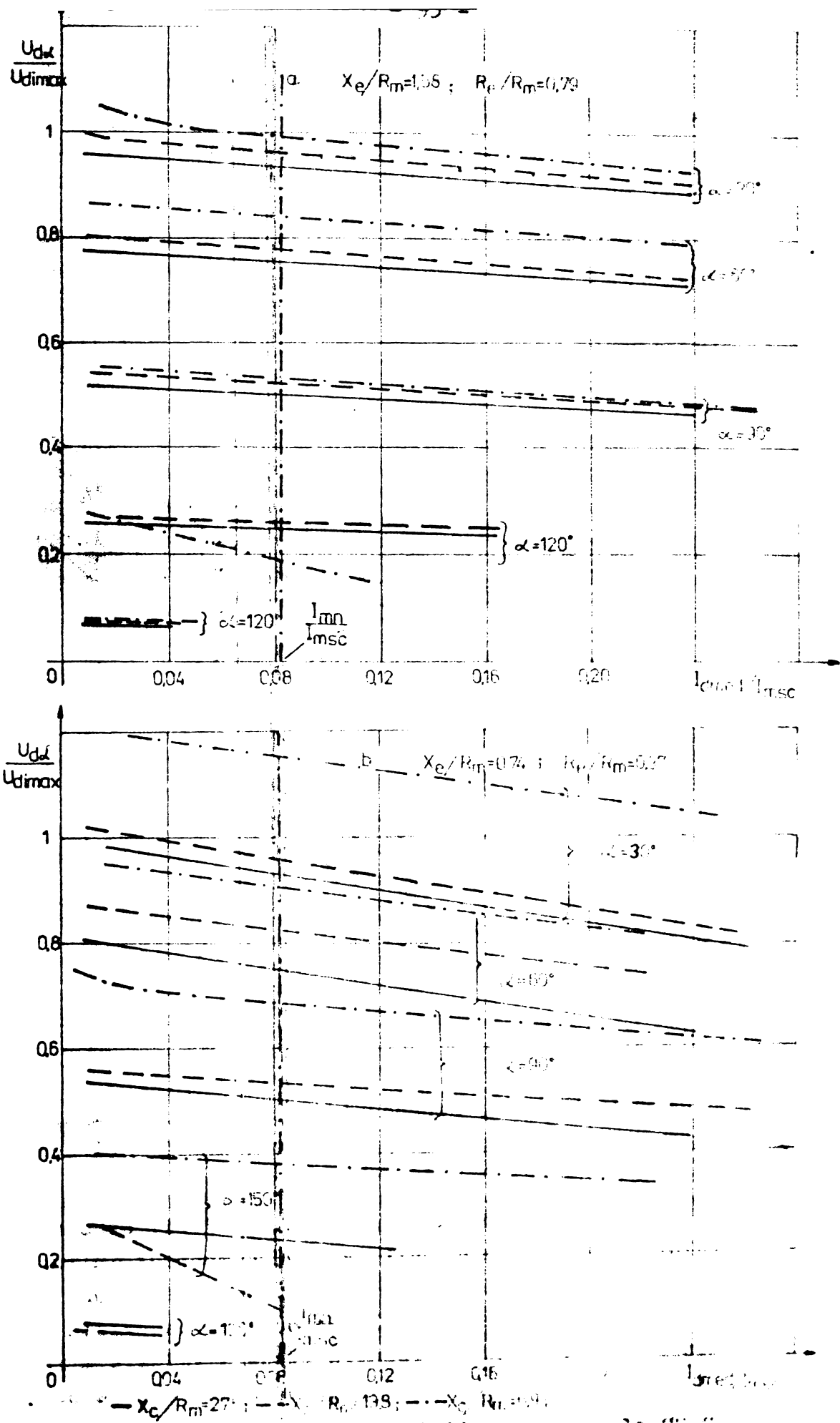


Figura nr. 4.16. Caracteristicile externe ale GICC compensat pentru diverse unghiuri de corandă

$\alpha = 90^\circ$ , valoarea medie a tensiuni redresate crește cu aproxiatativ 10% peste valoarea tensiunii furnizate de un CSAC monofazat în punte. Panta caracteristicilor externe nu se modifică sensibil pentru diverse valori ale reactanței capacitive raportate  $X_c/R_m$ .

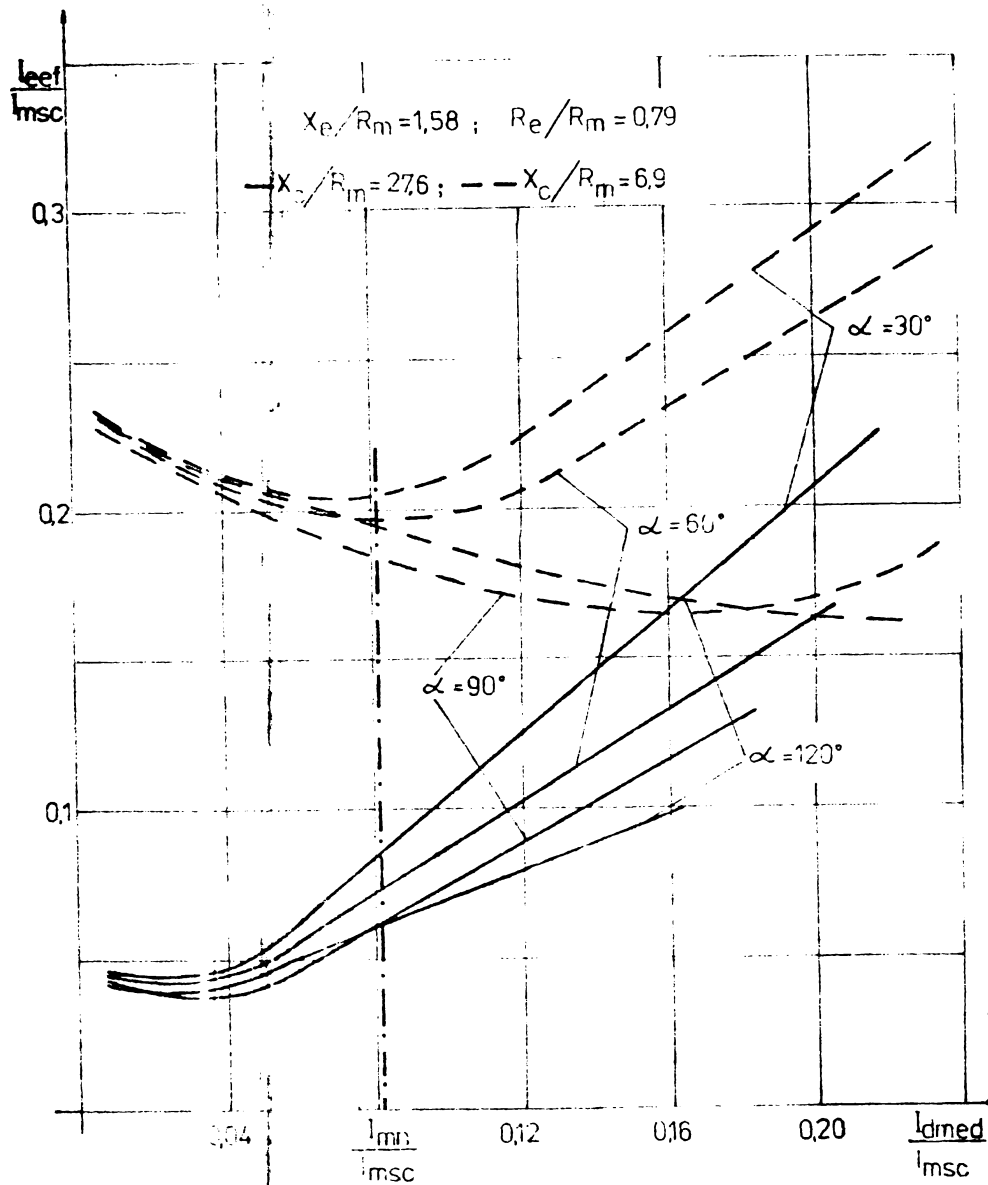


Figura nr. 4.11. Dependențele  $I_{eef}/I_{msc} = f(I_{dmed}/I_{msc})$  avind ca parametrii unghiul de comandă  $\alpha$  și reactanța capacitive raportată  $X_c/R_m$

Evaluările cantitative ale valorii efective a curului alternativ absorbit de CSAC compensat în funcție de curentul continuu debitat mașinii de curent continuu pot extrase din figura nr. 4.11. Se observă că există o valoare minimă a lui  $I_{eef}/I_{msc}$ , pentru fiecare valoare a reactanței de compensare raportate  $X_c/R_m$ , corespunzător valorii curentului absorbit de ramura derivată în care este situată aceasta, independent de curentul de sarcină. La valori reduse ale curentului de sarcină, curentul absorbit de la sursă d-

alimentare crește, datorită tensiunii mari la bornele CSAC (corespunzător curentului absorbit de ramura derivată este mai mare). După depășirea valorii minime a raportului  $I_{def}/I_{msc}$ , aceasta va crește din nou corespunzător transferului de energie mărit din circuitul de curent continuu. Se observă că, pentru  $X_c/R_m = 6,9$  (grad de compensare ridicat), valoarea curentului alternativ absorbit de la sursă, chiar pînă la valoarea nominală a curentului continuu debită de CSAC are alura căzătoare menționată mai sus.

Reducerea performanțelor mașinii de curent continuu alimentate de la CSAC sunt determinate în mare masură de caracteristicile curentului din circuitul de curent continuu. Cu scopul analizei acestora s-au reprezentat variațiile factorului de vîrf  $f_{VId}$  și valoarea efectivă  $I_{def}/I_{dmed}$  (raportată) a curentului continuu redresat funcție de  $I_{dmed}/I_{msc}$  în figurile nr. 4.12, respectiv 4.13. Referitor la

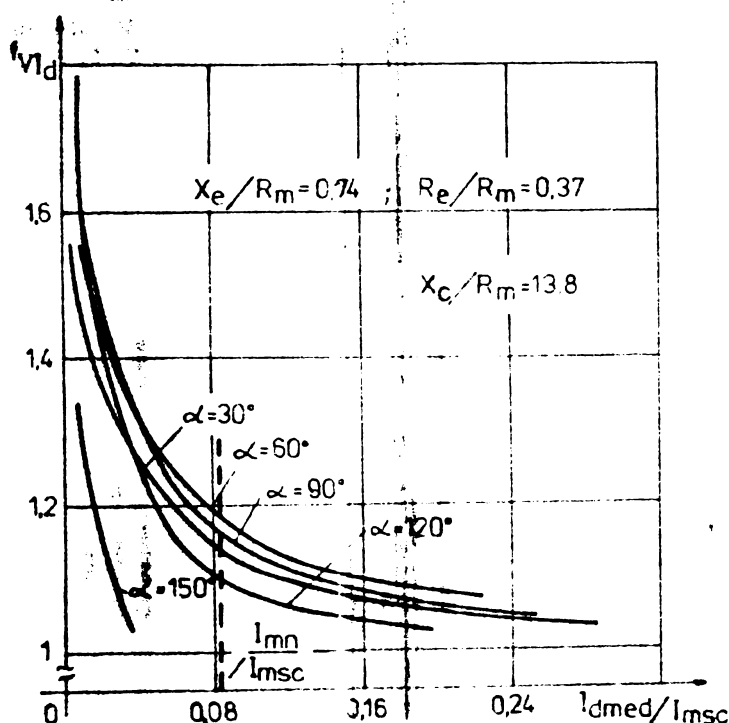


Figura nr. 4.12. Dependenta factorului de vîrf  $f_{VId}$  de  $I_{dmed}/I_{msc}$  cu unghiul de comandă  $\alpha$  ca parametru

1,8). Raportul  $I_{def}/I_{dmed}$ , (figura nr. 4.13) prezintă, în curențul continuu nominal al mașinii de c.c. valori sub 1,4, iar la aproximativ 25% din sarcina nominală, valoarea efectivă a curentului continuu este cu (5-10)% mai mare decit na-

factorul de vîrf se poate afirma că, la curent continuu nominal, are valori cuprinse între 1,1 și 1,2, valorile mai mari fiind caracteristice regimurilor de funcționare cu unghiiurile de comandă în jurul valorii de  $90^\circ$ . La valori reduse ale curentului continuu ( spre zona de funcționare corespunzătoare regimului de curent continuu întrerupt),  $f_{VId}$  însă poate lua valori apreciabile (1,5-1,8).

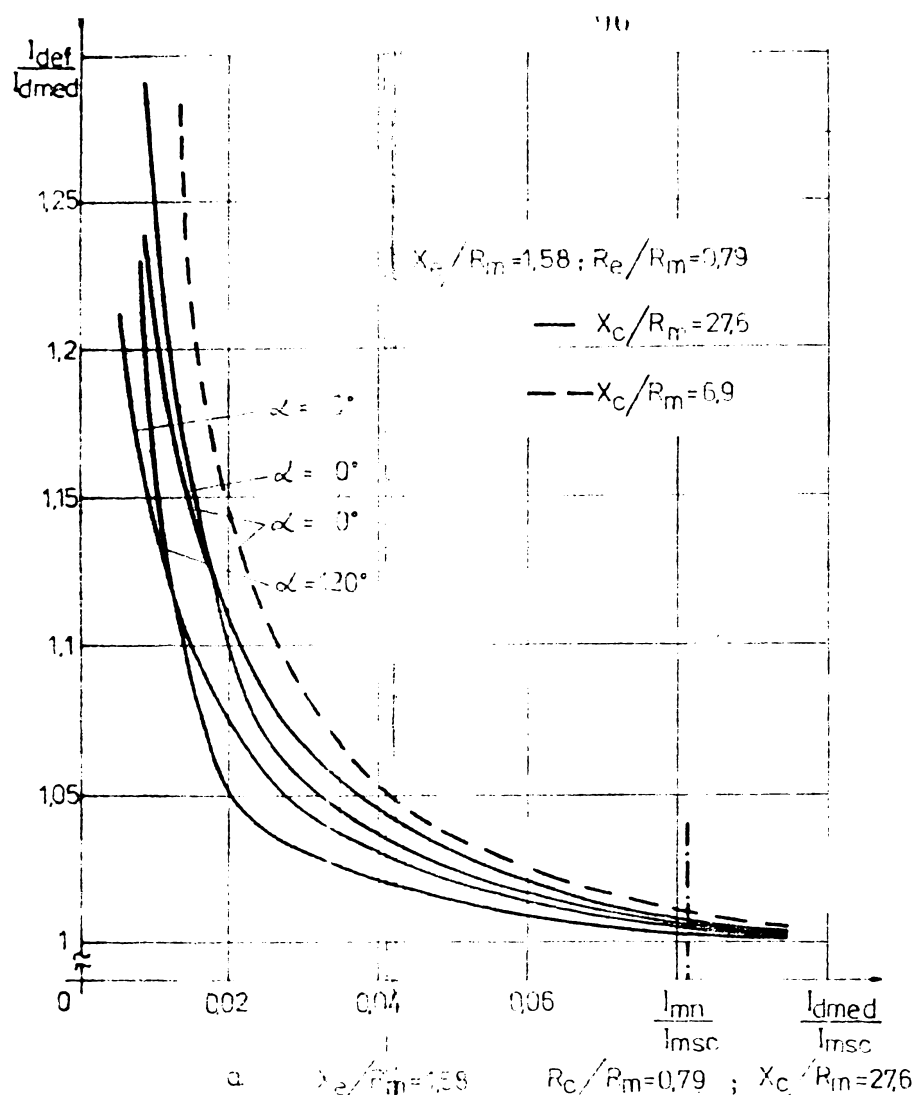
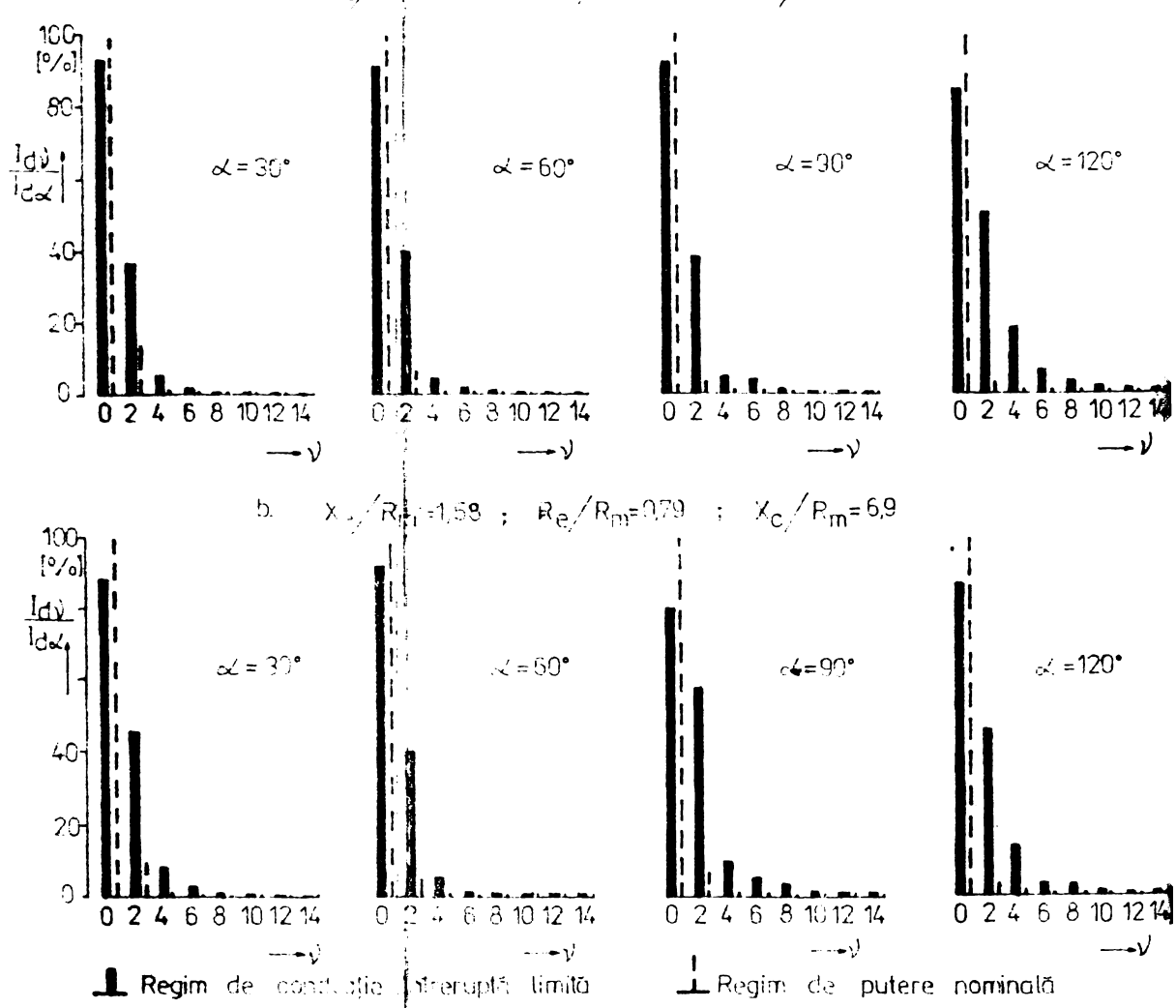


Figura nr. 4.14.  
Analiza armonnică a curentului continuu redresat în regim de conductie neîntreruptă și întreruptă cu  $X_c/R_m$  ca parametru



Valoarea medie a acestuia, scăderea reactanței capacitive raportate  $X_C/R_m$  avind, după cum era de așteptat, un efect de creștere al curentului efectiv. Analiza armonica a curentului continuu (figura nr.4.14) indică pentru cele două situații de compensare  $X_C/R_m = 27,6$  și  $X_C/R_m = 6,9$  valori procentuale diferite ale diverselor armonici, mai ales în regimul de conductie întreruptă limită. Situația cea mai dezavantajosă este pentru unghiuri de comandă în jurul valorii de  $90^\circ$  și  $X_C/R_m = 6,9$  unde, în regimul de curent întrerupt armonica a două poate depăși 60% din valoarea efectivă a curentului continuu corespunzător acestei situații. În regim de funcționare, la putere nominală, valoarea medie a curentului continuu poate fi considerată preponderentă, armonica a două nedepășind 15% în nici una din situațiile prezentate.

O variație interesantă o prezintă factorul de distorsiune al curentului alternativ  $\delta_{le}$  funcție de valoarea efectivă a acestuia raportată  $I_{eef}/I_{msc}$  (figura nr.4.15). În jurul valorii curentului efectiv corespunzător valorii curentului din ramură, variație de compensare,  $\delta_{le}$  prezintă un minim, dependent de unghiul de comandă al ONAC, în rest  $\delta_{le}$

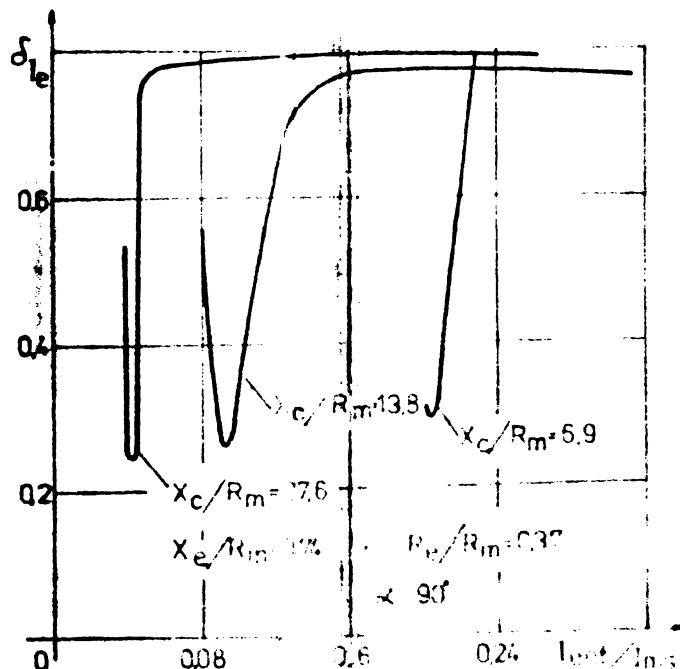
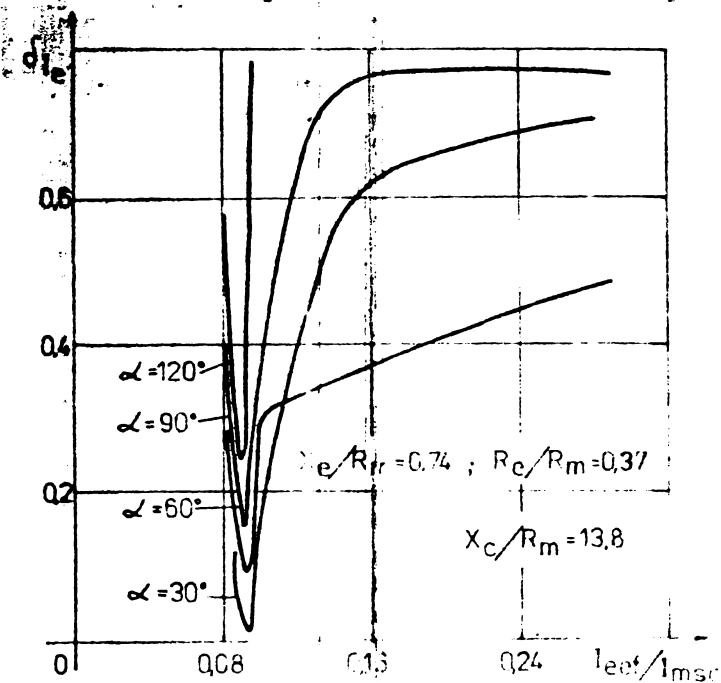


Figura nr.4.15.  
Factorul de distorsiune al curentului alternativ funcție de  $I_{eef}/I_{msc}$  la a)  $X_C/R_m = 13,8$  și  $\alpha = 90^\circ$  și  $X_C/R_m$  variabil.  
b)  $\alpha = 90^\circ$  și  $X_C/R_m$  variabil.

crește brusc pînă la valori cuprinse între 0,4-0,6. Analiza armonică a curentului alternativ  $I_e$  (figura nr.4.16) evidențiază o dependență puternică de reactanță capacitivea de com-

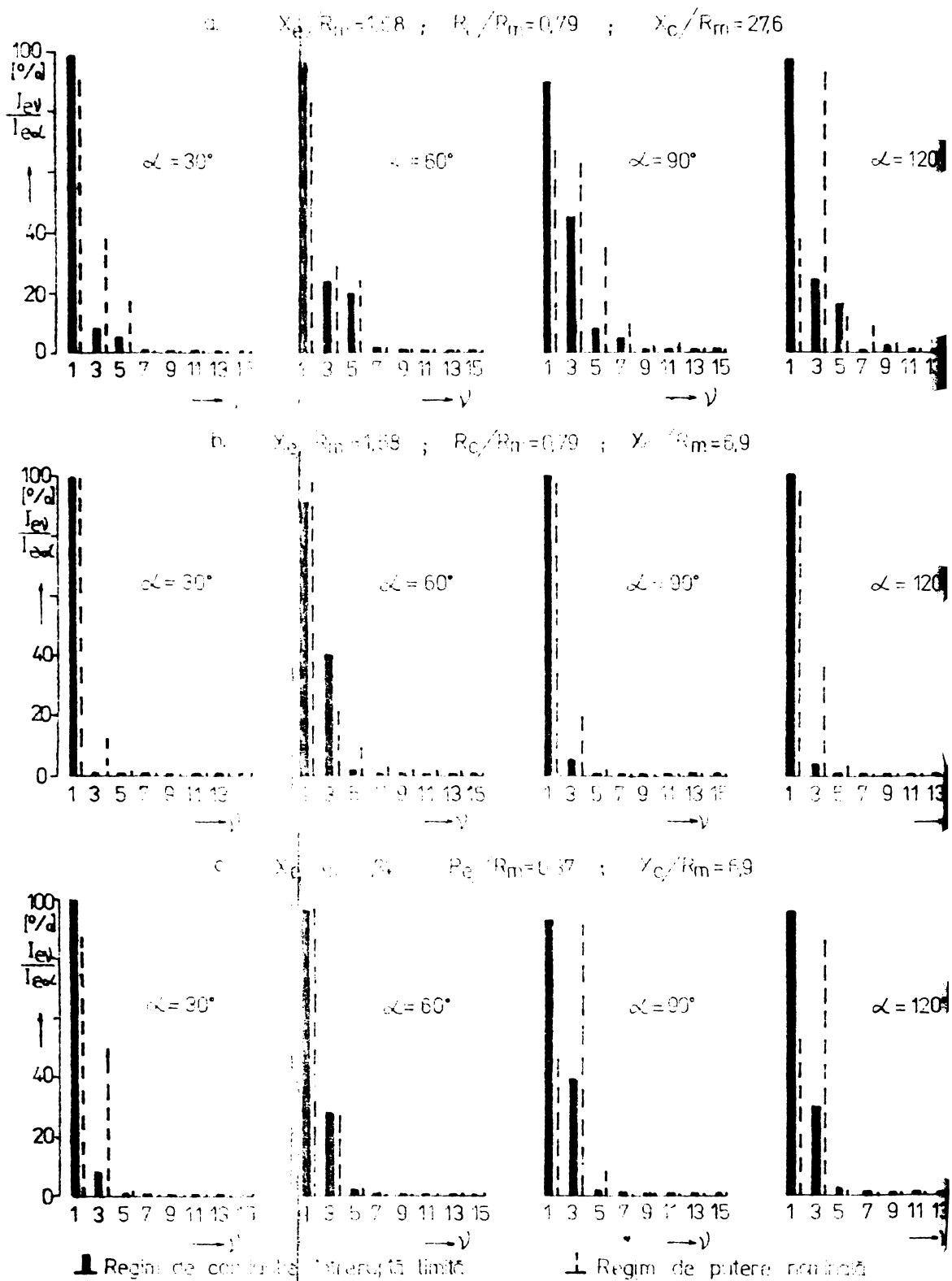


Figura nr.4.16. Analiza armonică a curentului alternativ absorbit de lîsursă de CSAC cu  $\alpha$  și  $X_C/R_m$  ca parametrii pentru regimul de putere nominală și cel de conducție întreruptă limită.

pensare raportată  $X_d/R_m$ . În regim de conducție întreruptă,

la  $X_c/R_m$  mare (figura nr.4.16.a) conținutul de fundamentală este mai ridicat, pentru toată plaja de modificare a unghiului de comandă și decât în regim de putere nominală, explicable prin faptul că, în conducție întreruptă componenta principală a curentului alternativ absorbit de la sursă  $I_e$  formează curentul ramurii derivătie de compensare. La  $X_c/R_m$  mic (figura nr.4.16.b și c), echivalent cu o compensare puternică, diferențele între spectrele de armonici corespunzătoare regimului de conducție întreruptă și cel de putere nominală, exceptând funcționarea la unghiuri de comandă  $\alpha = 90^\circ$ , nu este așa de evidentă; aceasta ca urmare a faptului că în ambele situații curentul prin  $X_c$  constituie componenta preponderentă a curentului alternativ absorbit de la sursă.

Spre completarea celor prezentate mai sus figura nr.4.17 redă analiza armonică a curentului  $I_c$  din ramura de-

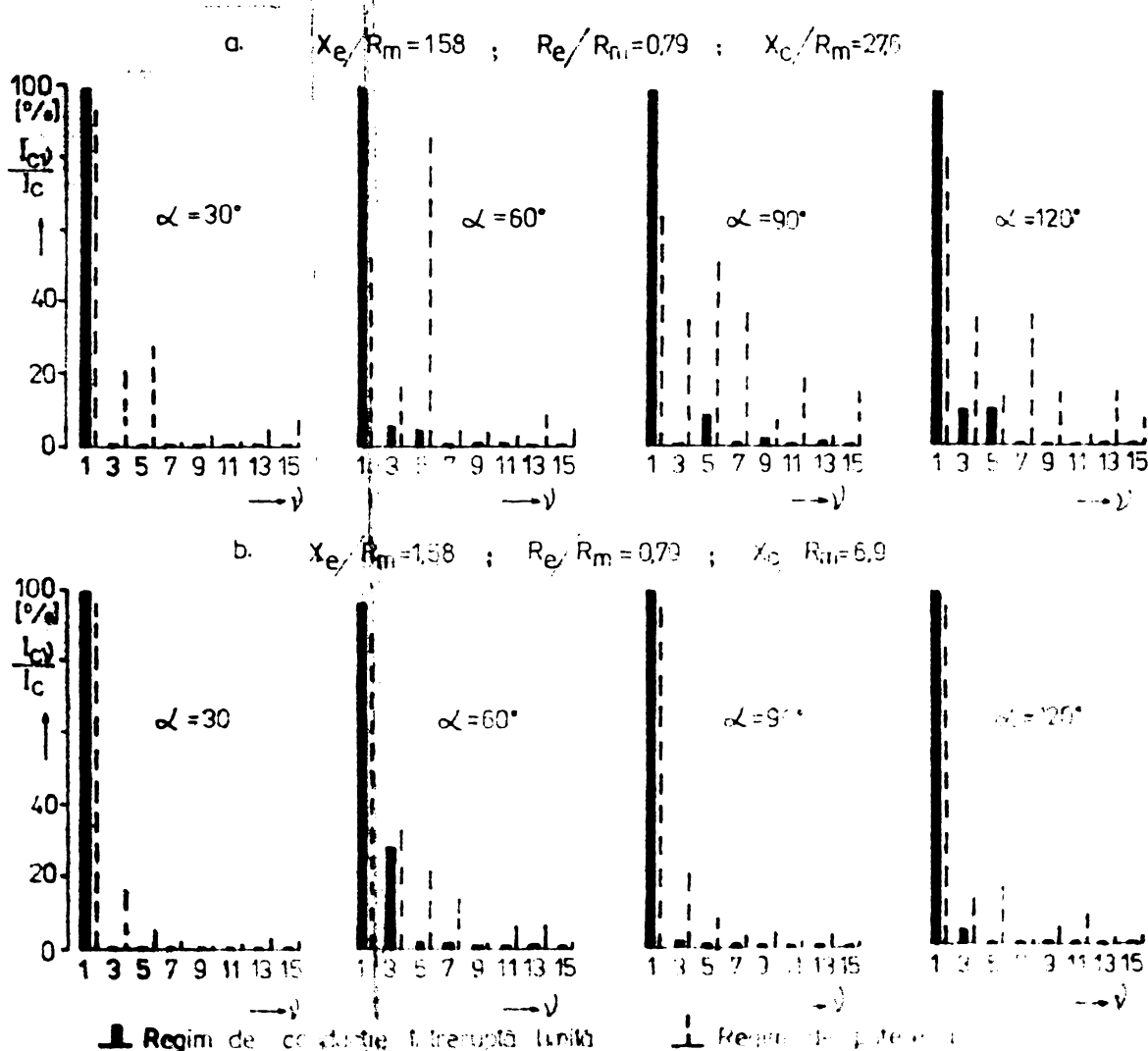
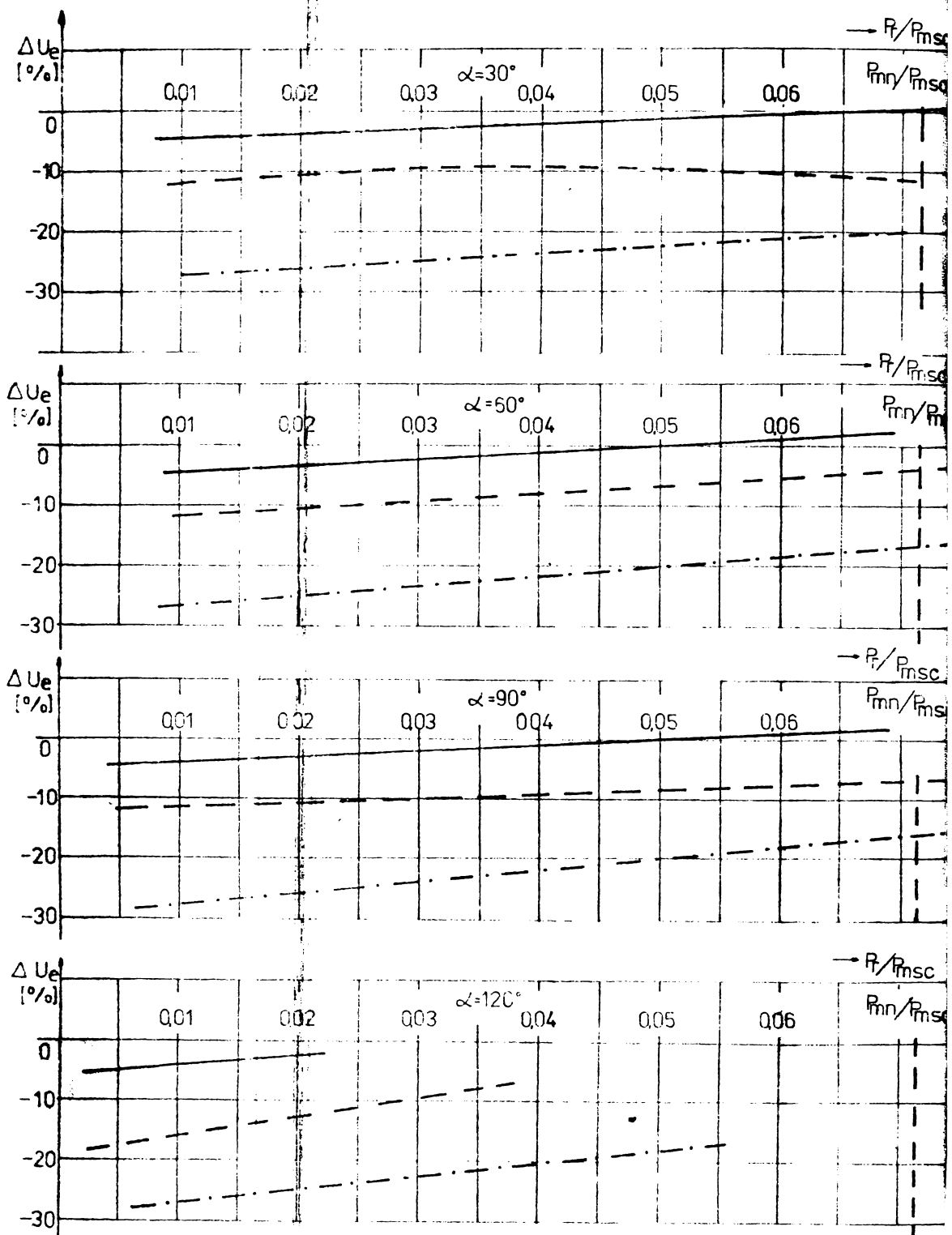


Figura nr.4.17. Analiza armonică a curentului prin ramura de compensare a circuitului cu  $\alpha$  și  $X_c/R_m$  parametrii în regimul de putere nominală și cel de conducție întreruptă limită.

rivație de compensare. Dupa cum era de așteptat, la valori ridicate ale lui  $X_c/R_m$ , în regimul de putere nominală, curentul  $I_c$  este puternic deformat (armonici de valori ridicate) față de regimul de conducție întreruptă limită. La  $X_c/R_m$  mic (capacitate de compensare mare), diferențele în spectrele de armonici ale lui  $I_c$  pentru cele două situații sunt nesemnificative.

In figura nr.4.18 se prezintă variația căderii de



$$X_2/R_m = 1.58; X_3/R_m = 27.6; X_4/R_m = 13.6;$$

$$X_5/R_m = 6.3$$

Figura nr.4.18. Variația căderii de tensiune relative  $\Delta U_e$  [%] în funcție de  $P_r/P_{msc}$  cu  $\alpha$  și  $X_c/R_m$  ca parametrii.

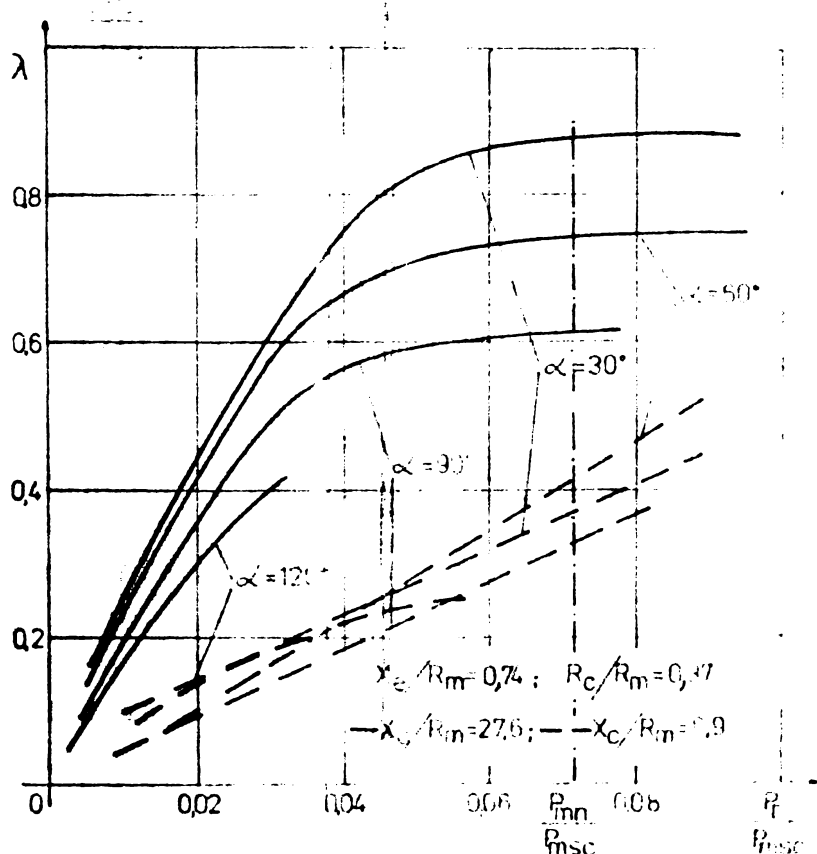
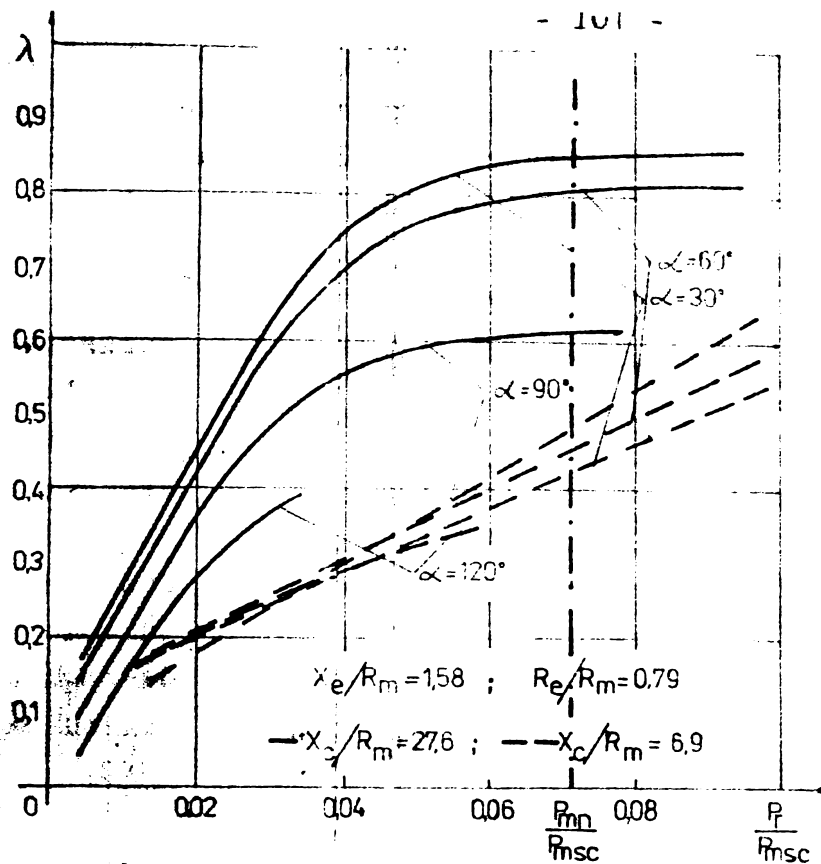


Figura nr.4.19. Variația factorului de putere global  $\lambda$  ca funcție de  $P_r/P_{msc}$  cu  $\alpha$  și  $X_c/R_m$  ca parametrii pentru a)  $X_e/R_m = 1,58$ ;  $R_e/R_m = 0,79$  și b)  $X_e/R_m = 0,74$ ;  $R_e/R_m = 0,37$ .

mandă și încărcare pînă la putere nominală a mașinii de curenț continuu cu căderi de tensiune pe cea mai mare valoare a impedantei considerată în calcule de sub 5%. Variația

tensiune relative pe impedanța serie din circuitul de tensiune alternativă funcție de  $P_r/P_{msc}$  pentru diferite valori ale lui și  $X_c/R_m$ . După cum se observă, în general valoările tensiunii de la bornele CSAC,  $U_1$ , sunt mai mari decit valoarea efectivă a tensiunii sursei de alimentare  $U$ , aceasta pe de o parte, datorită valorilor alese la calculele din capitolul de față pentru  $X_c/R_m$  și dispariția zonei de comutare  $\delta_1$ , pe de altă parte (vezi paragraful 4.2). Deja pentru valoarea  $X_c/R_m = 27,6$  se poate asigura o funcționare a sistemului, pentru totă plaja de co-

factorului de putere global  $\lambda$ , pentru două perechi de valori  $X_e/R_m, R_e/R_m$  funcție de  $P_r/P_{msc}$ , pentru două situații de compensare este ilustrată în figura nr.4.19. Scăderea reactan-

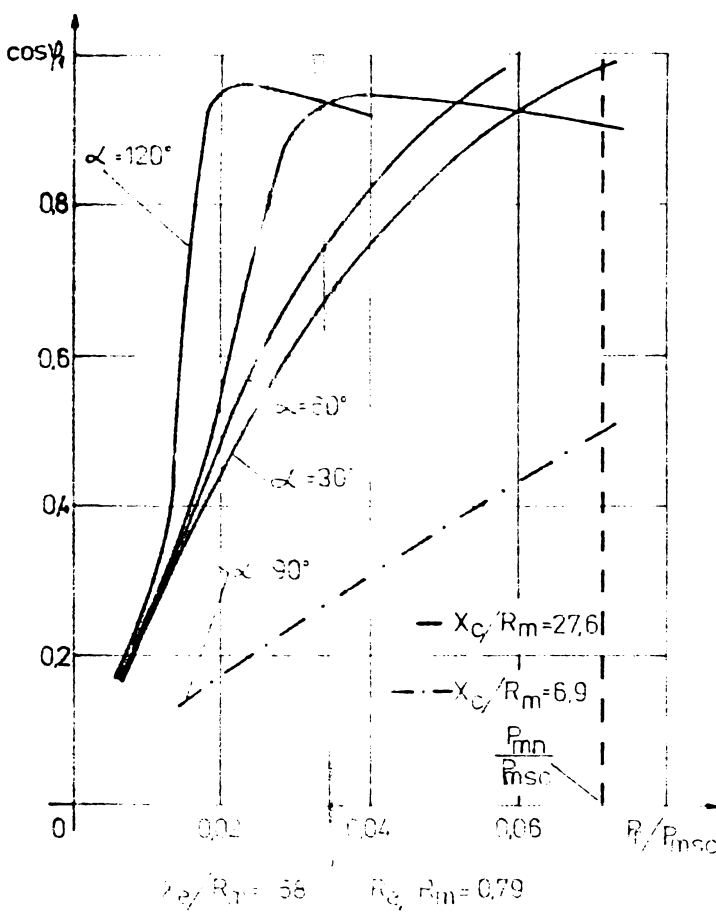
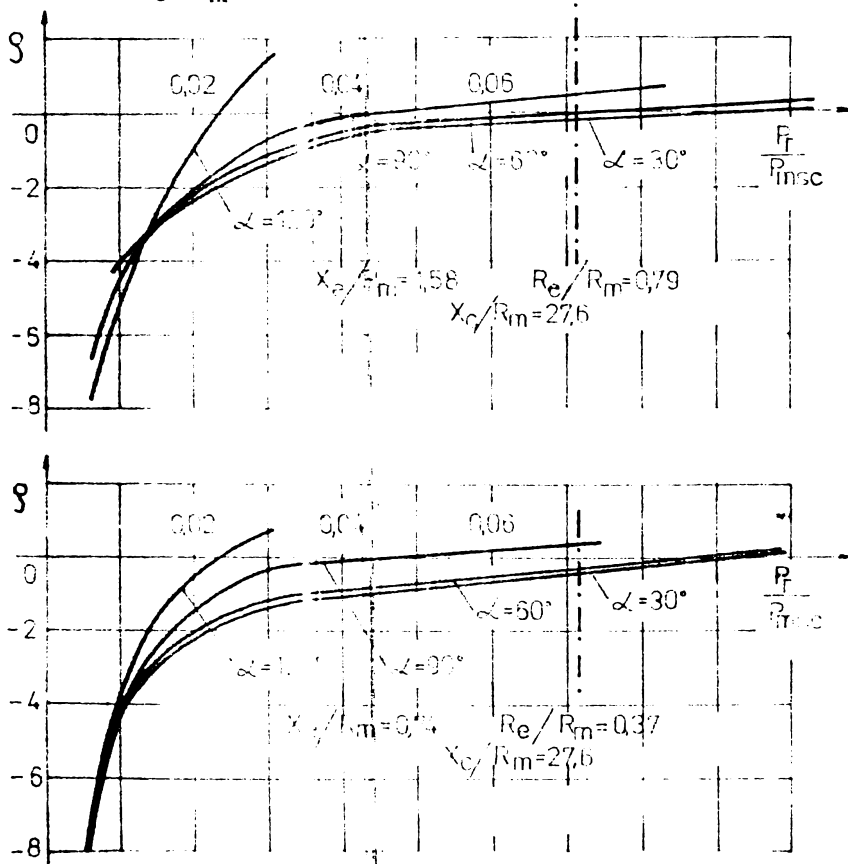


Figura nr.4.20. Variatia factorului de putere al fundamentalei  $\cos \varphi_1$  functie de  $P_r/P_{msc}$  cu  $\alpha$  și  $X_c/R_m$  ca parametrii.



tei de compensare  $X_c$  conduce la o micșorare apre- ciabilă a fac- torului de pu- tere global și la o mai re- dusă depen- ţă a acestuia de unghiul de comandă  $\alpha$  al CSAC. Factorul de putere co- respunzător fundamentaliei currentului al- ternativ  $\cos \varphi$  (figura nr. 4.20) prezintă o pu- ternică depen- dență de  $P_r/P_m$ . Pentru  $X_c/R_m = 27.6$  valorile lui  $\cos \varphi_1$ , la pu- tere nominală sînt în jurde 0,9(capacitiv), la scăderea pu- terii la arbo- rele mașinii electrice,

Figura nr.4.21. Dependența fac- torului reactiv  $\phi$  de puterea larborele mașini raportată  $P_r/P_m$ .

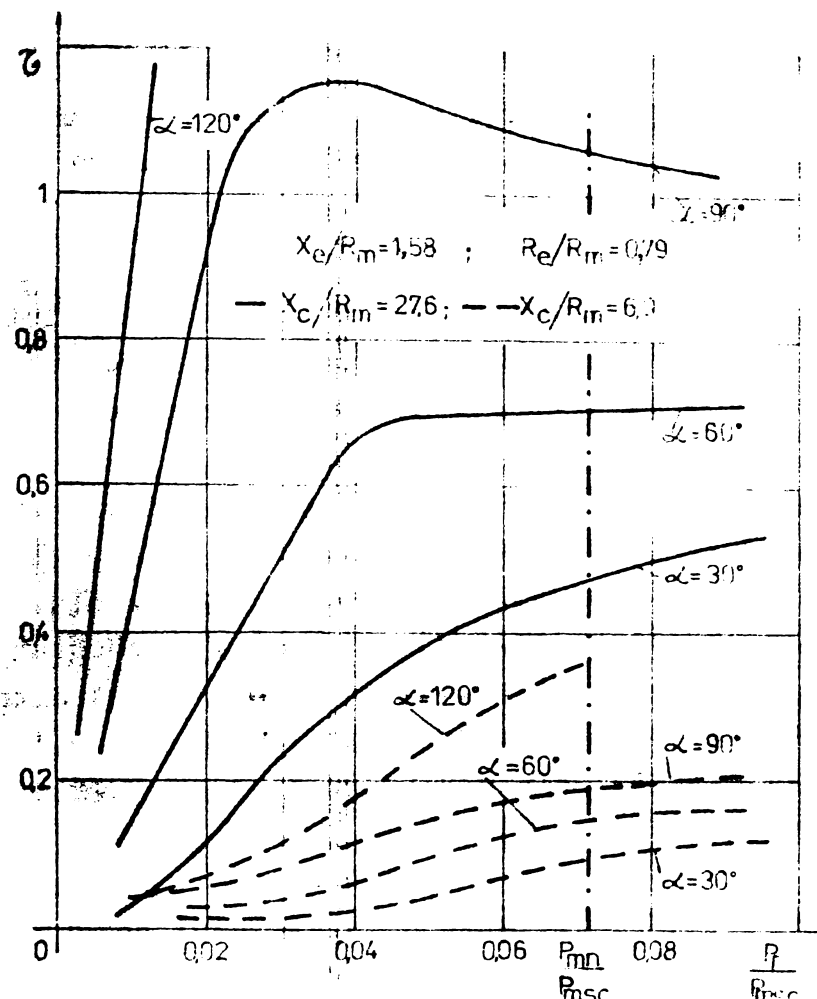
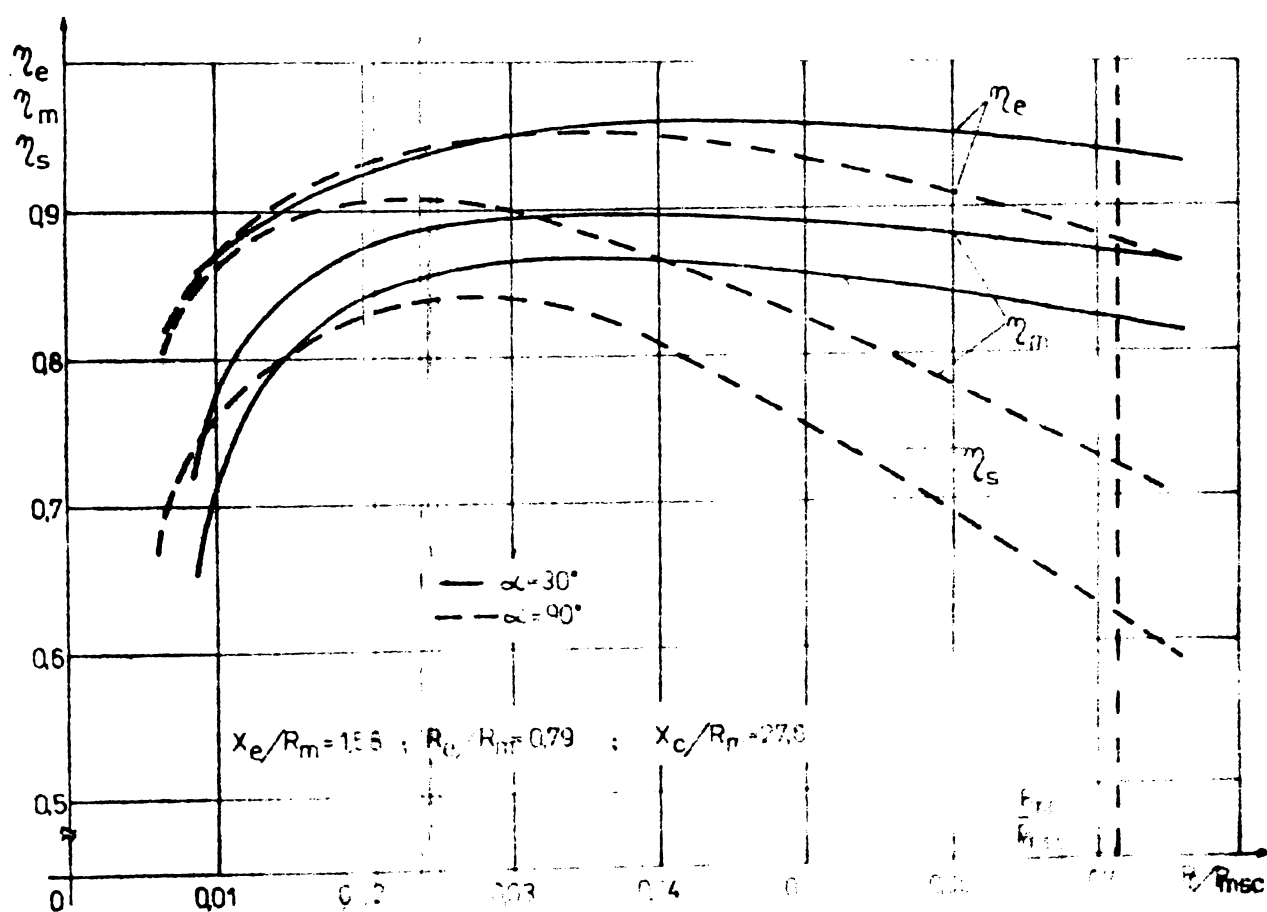


Figure nr.4.22. Variatia factorului deformant  $\eta$  in functie de  $P/P_{msc}$

Figure nr.4.23. Variatia randamentului sistemului  $\eta_s$ , a transmisiiei  $\eta_e$  si a motorului  $\eta_m$  pentru  $X_c/R_m = 27,6$   $\alpha = 30^\circ$  si  $\alpha = 90^\circ$



factorul de putere scade mult, în regimurile limită de conductie întreruptă, curentul absorbit de la sursă este practic defazat cu  $90^\circ$  înaintea tensiunii de alimentare.

Efectul de compensare al puterii reactive este evidențiat prin reprezentarea factorului reactiv  $\varphi = f(P_r/P_m)$  (figura nr.4.21). Pentru cea mai mare valoare a lui  $X_e$ , la  $X_c/R_m = 27,6$ , pentru o plajă largă de modificare a lui  $\alpha$ , la putere nominală la arborele mașinii electrice  $\varphi$  ia valori în jurul lui 0.

Factorul deformant  $\delta$  (figura nr.4.23) ia valori apreciabile, dependente de unghiul de comandă  $\alpha$  și de  $X_c/R_m$ .

Si în final, variația randamentului sistemului  $\eta_s$  este redată în figura nr.4.23 pentru  $X_c/R_m$  constant, pentru impedanță maximă din circuitul serie de curent alternativ. Valorile maxime sunt situate între (80-90)% , iar la putere nominală randamentul sistemului nu depășește în nici una din situațiile analizate 75% .

Ca o concluzie generală se poate afirma că pentru fiecare punct de funcționare al sistemului caracterizat prin valorile lui  $\alpha$ ,  $P_r$  și prechea de valori  $X_e/R_m$  și  $R_e/R_m$  există o singură valoare a reactanței capacitive ce asigură compensarea puterii reactive, în aşa fel încât pentru o funcționare optimă este absolut necesară reglarea continuă a valorii capacității de compensare.

## CAPITOLUL 5

### SISTEMUL CSAC IN PUNTE MONOFAZATA SEMICOMANDATA CU COMUTATIE FORTATA DE TIP SNFA - MOTOR DE CURENT CONTINUU SERIE

#### 5.1. Intrroducere

CSAC cu comutăție forțată constituie, în perioada actuală, obiectul a numeroase studii (vezi paragraful nr. 2.3), aceasta ca urmare a performanțelor superioare obținute față de CSAC cu comutăție naturală. S-a urmărit însă mai mult elaborarea unor noi scheme, care pun în valoare avantajele comutăției forțate în curent alternativ, studiul experimental al acestora și a problemelor de sistem (protectii, automatizări, etc.), fără a se proceda la o analiză teoretică detaliată în sensul celor prezentate în paragrafele 1.2 și 3.1.

Cu scopul extinderii și exemplificării metodologiei de analiză prin integrarea numerică a sistemelor de ecuații diferențiale adoptate în capitolele 3 și 4, și la schemele de CSAC cu comutăție forțată, în capitolul de față s-a ales o variantă de CSAC de tip SNFA ce ulimetează un motor de c.c. serie procedind la evaluarea performanțelor globale, necesare pentru compararea cu sistemele analizate anterior.

#### 5.2. Prezentarea sistemului analizat

La alegerea tipului de CSAC cu comutăție forțată studiat s-au avut în vedere următoarele:

- pentru comparația performanțelor diferitelor sisteme de CSAC analizate în capitolele precedente, schema trebuie să fie de tip semicomandat asimetric;
- simplitatea și economicitatea schemei, deoarece s-a vizat implementarea CSAC în tractiunea de medie putere cu particularitățile cunoscute și în sprijin la tractiunea minieră cu puteri instalate relativ reduse.

Studiul teoretic s-a axat pe schema de tipul

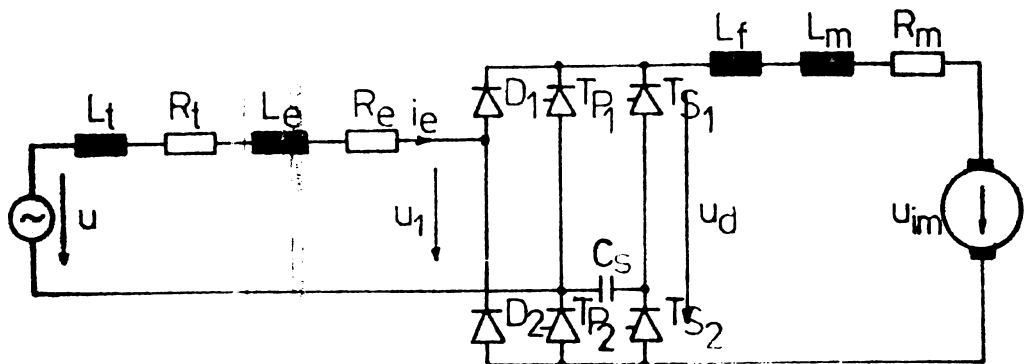


Figura nr.5. 1. Sistemul CSAC în punte monofazată cu comutație forțată de tip SNFA-motor de c.c. serie

CSAC - SNFA - schema 1C, cu funcționarea descrisă în paragraful nr.2.3., cu comanda de sector, care a fost înglobat în sistemul general adoptat și în capitolele precedente, format din sursa de tensiune alternativă sinusoidală, impedanța pe parte de tensiune alternativă variabilă și motorul de curent continuu serie, precum și inductivitatea de filtrare în circuitul de curent continuu (figura nr.5.1). Notațiile și ipotezele simplificate care utilizează în continuare rămân cele stabilite în paragraful nr.3.2. și 4.2. Formele de undă ale curenților prin ventile, prin condensatorul de stingere, al celui alternativ și continuu precum și tensiunile redresată, e.m. indușă și pe condensatorul de stingere sunt redate în figura nr.5.2. pentru regimul de curent continuu neîntrerupt. Pentru regimul de conductie întreruptă variațiile acestora și mărimi pot fi deduse în mod similar celor din capitolul 3.

Se disting următoarele stări de funcționare:

- Starea I -  $z \in (z_2, z_3)$  - la amorsarea tiristorului principal  $T_{pl}$  în momentul  $\alpha_1 = z_2$  ( $\alpha_1$  - unghi de amorsare) curentul continuu de sarcină comută de pe dioda de nul  $D_1$ , pe tiristorul principal  $T_{pl}$ , tensiunea redresată pe sarcină este practic nulă, teoretic egală cu căderea de tensiune pe două ventile în serie;
- Starea II -  $z \in (z_3, z_4)$  - puntea se află în conductie prin tiristorul principal  $T_{pl}$  și dioda  $D_2$ , pe sarcină apărind tensiunea redresată diferită de zero similar ca la orice tip de CSAC în punte;
- Starea III -  $z \in (z_4, z_5)$  - la comanda de blocare a punții la momentul  $\alpha_2 = z_4$  ( $\alpha_2$  - unghi de blocare), prin

amorsarea tiristorului de stingere  $T_{sp}$ , tensiunea inițială ce pe condensatorul de stingere C apare cu polaritate inversă pe tiristorul principal, blocindu-l, după care condensatorul se descarcă prin  $T_{sl}$ , și mașina de curent continuu, la valoarea curentului de sarcină și se reincarcă pînă la valoarea momentană a tensiunii alternative de la bornele de alimentare ale CSAC  $u_1$ . Tensiunea condensatorului de stingere va apărea, în acest interval de timp suprapusă peste valoarea momentană a tensiunii alternative de la bornele CSAC, ceea redresată avînd forma redată în figura nr.5.3. Este de menționat că în modul de funcționare descris și în tratarea în continuare s-a neglijat fenomenul de comutație al curentului de pe tiristorul principal  $T_{pl}$  pe cel de stingere  $T_{sl}$ , considerînd-o pe aceasta instantaneu, ipoteză cu efecte neglijabile asupra sistemului, adoptat în general în studiul sistemelor ce înglobează CS cu comutație forțată în curent continuu.

- Starea IV -  $z \in (z_5, z_6)$  - odată cu încărcarea condensatorului pînă la valoarea momentană a tensiunii de alimentare (momentul  $z_5$ ) începe procesul de comutație al curentului de pe tiristorul de stingere  $T_{sl}$  pe dioda  $D_1$ ; condensatorul de stingere se încarcă în continuare preluînd energia înmagazinată în inductivitățile din circuitul de tensiune alternativă, iar tensiunea redresată este practic nulă (teoretic egală și de semn contrar cu căderea de tensiune pe cele două diode serie). Procesul se încheie atunci cînd întreaga energie înmagazinată în inductivitățile din circuitul de tensiune alternativă este preluată de condensatorul de stingere, moment în care și curentul alternativ absorbit de CSAC devine nul.
- Starea V -  $z \in (z_6, z_2 + \pi)$  - curentul continuu  $i_C$  va circula peste diodele  $D_1, D_2$  fiind menținut de energia înmagazinată în inductivitățile din circuitul de curent continuu, pînă cînd, la momentul  $z_2 + \pi$ , se dă o nouă comandă de amorsare a punții, de data aceasta urmînd la conductie tiristorul  $T_{p2}$  care poate conduce la alternația negativă a tensiunii de alimentare. În această stare tensiunea redresată e-

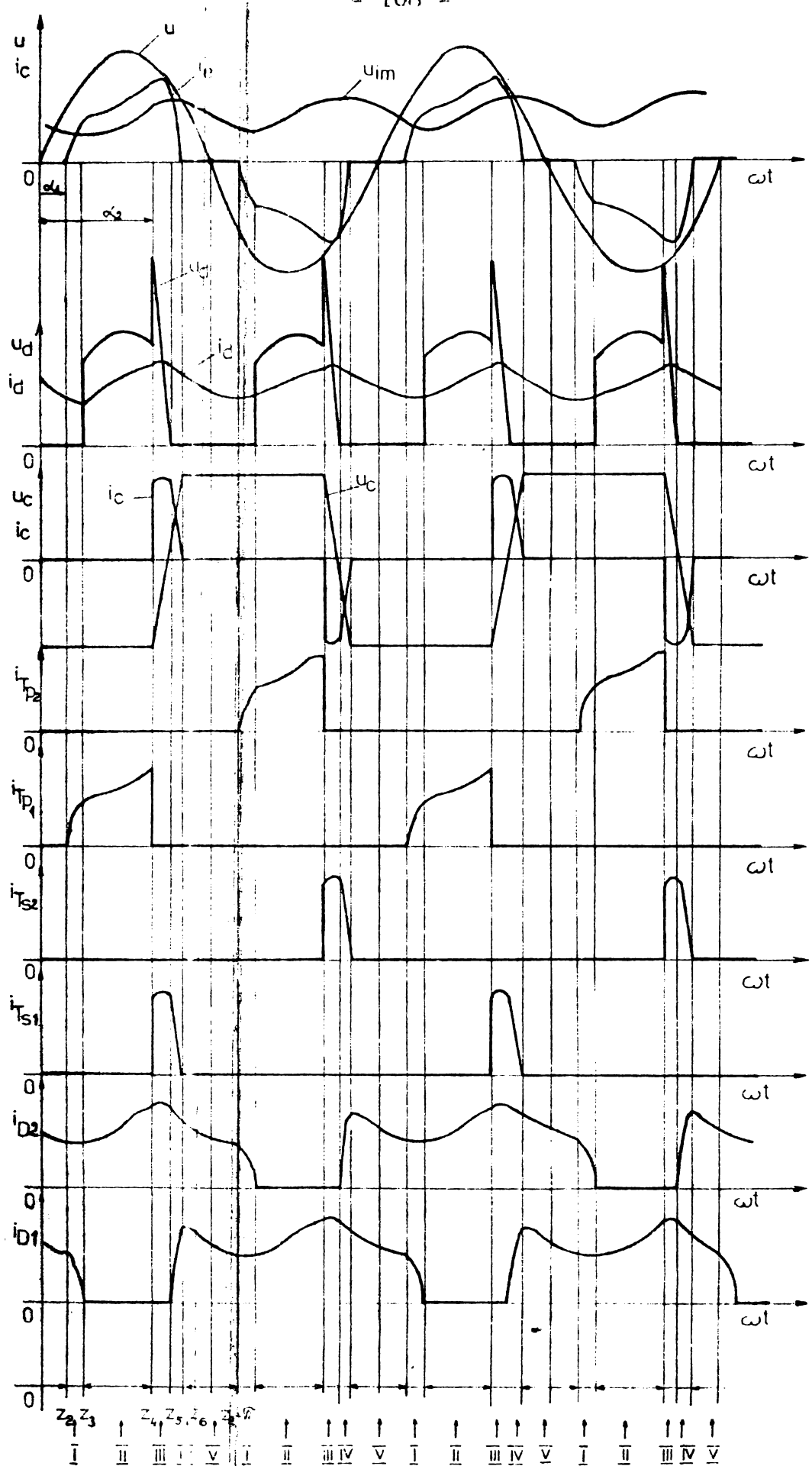


Figura nr. 5.2. Formele de undă specifice sistemului pentru regimul de curent continuu neîntrerupt

re valoarea practic nulă.

### 5.3. Determinarea valorilor optime ale capacității de stingere

Problema esențială a dimensionării unei scheme de CSAC cu comutare forțată este cea de determinare a capacitatei de stingere. Din analiza funcționării CSAC cu comutare forțată de tip SNFA schema 1C (paragrafele 2.3. și 5.2) se pot stabili următoarele condiții ce au influență directă asupra dimensionării condensatorului de stingere precum și asupra performanțelor CS:

- a.- tensiunea pe condensatorul de stingere nu trebuie să depășească valoarea de vîrf a tensiunii alternative de gol a sursei de alimentare; dacă acest deziderat nu poate fi îndeplinit semiconductoarele schemei trebuie corespunzător supradimensionate la tensiune, sau acționat restrictiv asupra domeniului de modificare al unghiului de blocare  $\alpha_2$ ;

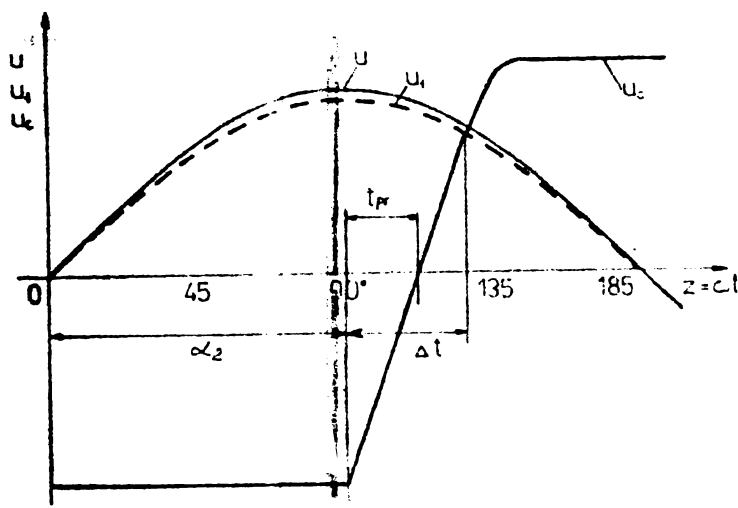


Figura nr.5.3. Explicativă la determinarea valorilor optime ale capacităților de stingere

- b. - tiristoarelor principale ale schemei trebuie să li se asigure, la stingere, un timp de protecție  $t_{pr}$

(timp de polarizare cu tensiune inversă anod-catod) mai mare decit timpul de revenire  $t_q$  ai lor; dacă nu se poate realiza aceasta, atunci în loc de tiristoare normale, lente ( $t_q$  mare, valoare tipică  $200 \mu s$ ), utilizate deobicei în scheme de CSAC trebuie utilizate tiristoare rapide, ( $t_q = 30 \mu s$  - valoare tipică), care bineînțeles au un preț de cost mai ridicat;

- c.- întreg procesul de blocare a tiristorului princip

păi, descărcarea și reîncărcarea cu polaritate inversă a capacității de stinger trebuie să fie în cheiată înainte de următoarea trecere prin zero a tensiunii alternative de la bornele CSAC (figura nr.5.3).

Se prezintă în continuare calculul simplificat din domeniul valorilor optime a capacității de stinger, cu următoarele ipoteze simplificatoare:

- tensiunea alternativă  $u_1$  este sinusoidală (Figura nr.5.1);
- filtrarea completă în circuitul de curent continuu ( $L_f + L_m \rightarrow \infty$ ), ceea ce asigură o descărcare cu curent constant a capacității de stinger;
- întreaga energie magnetică înmagazinată în inductivitățile din circuitul de curent alternativ este preluată de capacitatea de stinger (se neglijază pierderile în rezistențele circuitului în timpul transferului de energie).

Valoarea maximă a tensiunii pe capacitatea de stinger este egală cu suma valorii tensiunii de la bornele CS în momentul blocării și cea corespunzătoare preluării energiei magnetice înmagazinată în inductivitățile  $L_t$  și  $L_e$  din circuitul de tensiune alternativă:

$$u_{CS \text{ max}} = u_1 \sqrt{2} \sin(\alpha_2 + \Delta t) + I_e \sqrt{\frac{L_t + L_e}{C_s}} \quad (5.1)$$

Durata în timp "Δt" a procesului de descărcare a capacității de stinger de la valoarea ei maximă (la momentul  $\alpha_2 = z_4$ ) și reîncărcarea lui pînă la valoarea momentană a tensiunii  $u_1$  se va putea calcula, cu ipotezele de mai sus, prin :

$$\Delta t = \frac{C_s [u_{CS \text{ max}} + u_1(\alpha_2 + \Delta t)]}{I_e} \quad (5.2)$$

iar timpul de protecție  $t_{pr}$  (vezi figura nr.5.3) cu relația

$$t_{pr} = \frac{C_s u_{CS \text{ max}}}{I_e} \quad (5.3)$$

Trecind la scrierea relațiilor (5.1), (5.2) și (5.3) în mărimi raportate și făcînd uz de observațiile și

notățiile din paragrafele 3.2 și 4.3, avem :

$$k_1 \Delta t^0 I_e' = \frac{2}{A_c} (U' - I_e' B_e) \sqrt{2} \sin(\alpha_2 + \Delta t^0) + I_e' \sqrt{\frac{A_e}{A_c}} \quad (5.4)$$

$$U'_c \max = (U' - I_e' B_e) \sqrt{2} \sin(\alpha_2 + \Delta t^0) + I_e' \sqrt{A_e A_c} \quad (5.5)$$

$$t_{pr} = k_2 \left[ \frac{1}{A_c} (U' - I_e' B_e) \sqrt{2} \sin(\alpha_2 + \Delta t^0) + \sqrt{\frac{A_e}{A_c}} \right] [\mu s] \quad (5.6)$$

unde  $k_1 = 314/18 \cdot 10^3$  iar  $k_2 = 10^6/314$  cu  $t_{pr}$  din relația (5.6) având ca unitate de măsură  $[\mu s]$ . Relațiile (5.4)-(5.6), la parametrii rețelai și alimentării stabiliți, permit calculul mărimilor  $\Delta t^0, U'_c \max$  și  $t_{pr}$ . Pentru ușurarea interpretării rezultatelor calculelor se mai fac raportările:

$$k_o = \frac{U'_c \ max}{U' \sqrt{2}} ; t_{pr30} = \frac{t_{pr} [\mu s]}{30 [\mu s]} ; t_{pr 200} = \frac{t_{pr} [\mu s]}{200 [\mu s]} \quad (5.7)$$

astfel încât pentru îndeplinirea deziderațelor stabilitate la începutul paragrafului trebuie să avem:

$$a. \quad k_o \leq 1 \quad (5.8)$$

$$b. \quad t_{pr 200} \geq 1 \quad \text{pentru utilizarea tiris-} \quad (5.9)$$

$$\text{toarelor lente}$$

$$t_{pr 200} < 1 \quad \text{pentru utilizarea tiris-} \quad (5.10)$$

$$\text{toarelor rapide}$$

$$t_{pr 30} \geq 1$$

$$c. \quad \pi - \alpha_2 + \Delta t^0 \geq 0 \quad (5.11)$$

Pentru calculul operativ al domeniului valorilor optime ale capacității de stingeră, conform celor precizate mai sus, s-a întocmit un program de calcul în limbaj FORTRAN cu schema logică redată în figura nr.5.4.

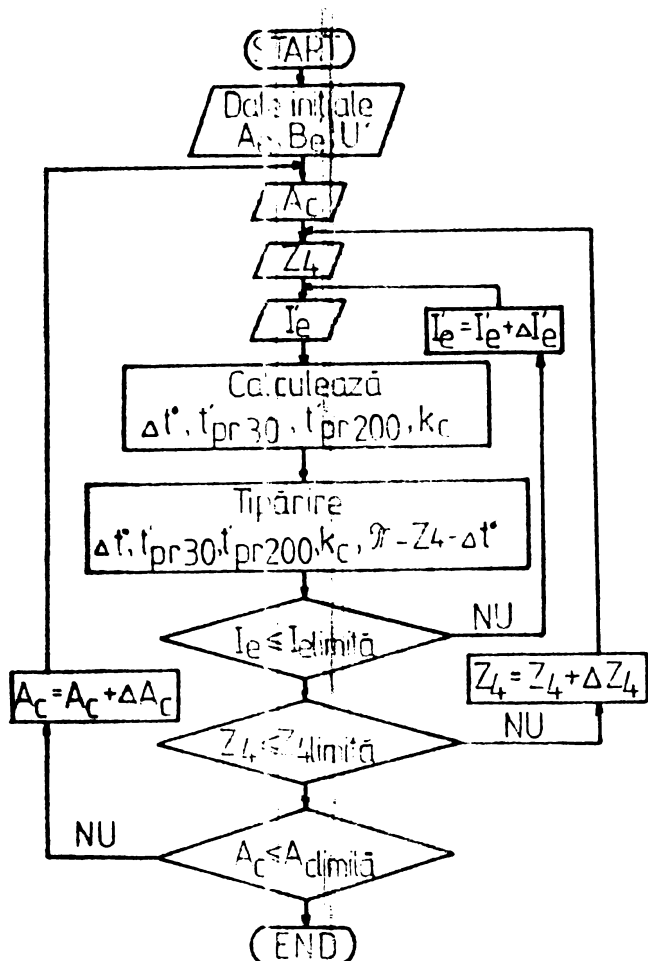
Rulind programul pentru următoarele valori:

$$\begin{cases} A_e = 1,58 \\ B_e = 0,79 \end{cases} \quad \begin{cases} A_e = 0,74 \\ B_e = 0,37 \end{cases} \quad \begin{cases} A_e = 0,0141 \\ B_e = 0,00363 \end{cases} \quad (5.12)$$

$$I_{e1}' = 0,02 ; I_e' = 0,02 ; I_e' \text{ limită} = 0,2$$

$$\alpha_2 = z_4 = (45^\circ - 150^\circ) ; U' = 1,27 ; k_c = (10,5 - 12,7)$$

rezultatele au fost sintetizate în figura nr.5.4. Principalele observații ce se pot face pornind de la acestea sunt:



**Figura nr.5.4.** Schema logică de calcul pentru determinarea domeniului optim de valori ale capacitatei de stingere

de variație a lui  $\alpha_2$ , fără solicitare suplimentară în tensiune, se poate determina, în funcție de parametrii rețelei studiate și de valorile lui  $A_c$  din figura nr.5.5 (de exemplu pentru  $A_c = 15,8$ ;  $A_e = 1,58$ ;  $B_e = 0,79$ ; rezultă  $\alpha_2 > 110^\circ$ )

- sub aspectul asigurării timpului de protecție ai tiristoarelor, situația cea mai dezavantajoasă se obține la inducțivitate mică în circuitul de curent alternativ, valoare ridicată a curentului de sarcină, și capacitate de stingere mare (dependentele canticative pct fi deduse din figura nr.5.5.b); pentru tiristoare lente pot interveni situații cînd nu se asigură acest timp de protecție, la utilizarea tiristoarelor rapide se poate funcționa pentru cazurile tratate cu orice  $\alpha_2 > 90^\circ$ .

Este de remarcat că dacă nu se dorește utilizarea tiristoarelor rapide se poate prevedea o inducțivitate suplimentară astfel dimensionată încît să asigure funcționarea în situațiile limită din figura nr.5.5.b.

- situația cea mai dezavantajoasă sub aspectul solicitării în tensiune a semiconductoarelor apare pentru  $\alpha_2 = 90^\circ$ ;
- oricît de redusă ar fi valoarea inductivității din circuitul de curent alternativ sau sarcina, funcționarea cu  $\alpha_2$  în jurul valorii de  $90^\circ$  nu se va putea realiza decit cu o supradimensionare corespunzătoare în tensiune a semiconductoarelor;

- domeniul optim

Referitor la condiția c.) precizată la începutul paragrafului se menționează că pentru toate cazurile rulate, condiția dată prin relația (5.12) a fost îndeplinită.

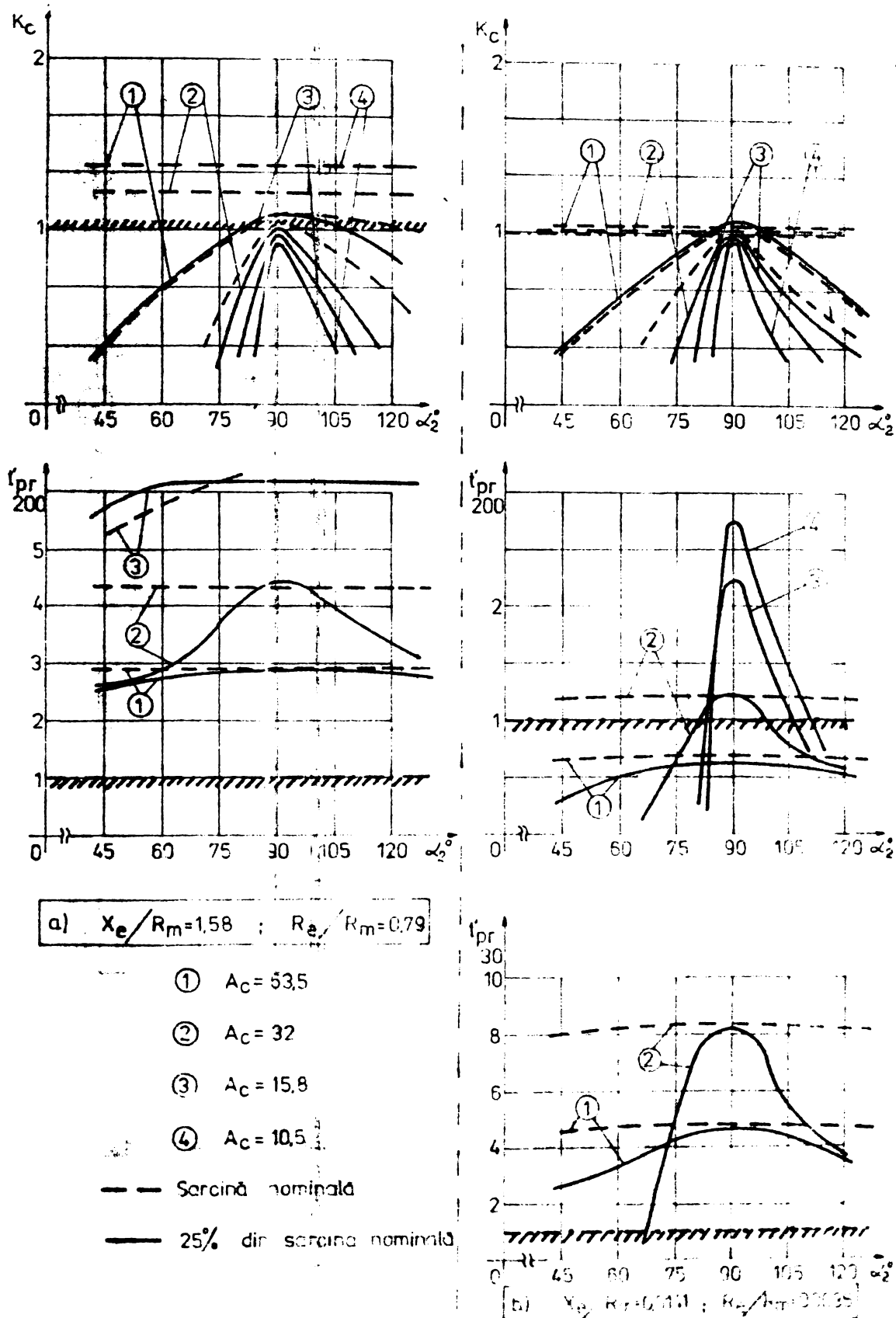
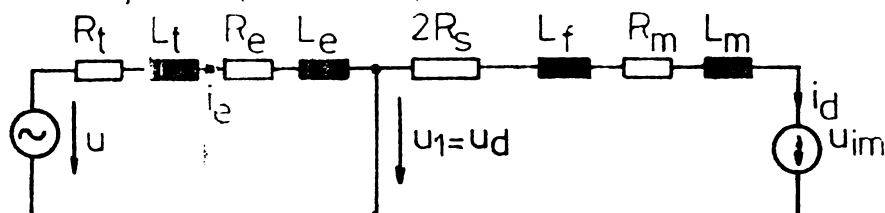


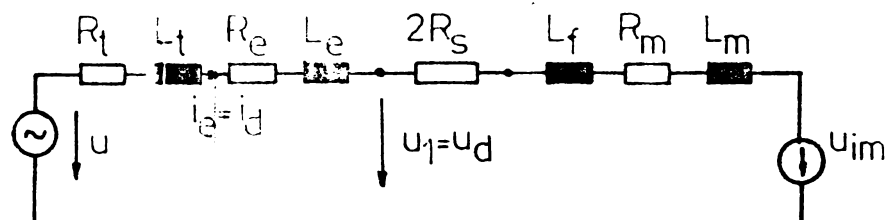
Figura nr.5.5. Variatiiile mărimilor  $K_c$ ,  $t'_{pr}$  200 și  $t'_{pr}$  funcție de  $\alpha_2$

**5.4. Scheme echivalente. Stabilirea sistemelor de ecuații**

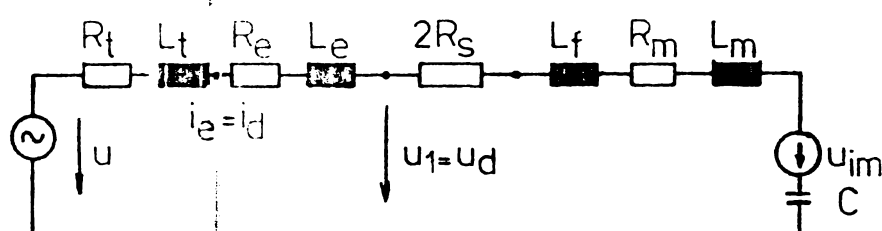
**I Comutație de pe diode pe tiristoare**



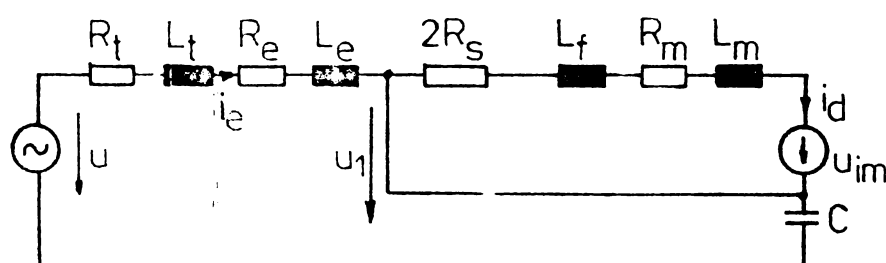
**II Punte în conducție**



**III Descărcarea condensatorului de stingere și încărcarea lui, pînă la valoarea lui  $u_1$**



**IV Încărcarea condensatorului pînă la valoarea maximă a tensiunii, comutația pe diodă**



**V Conducția diodelor**

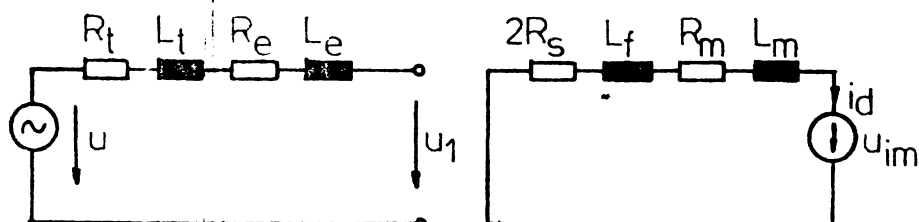


Figura nr.5.6. Schemele electrice echivalente ale sistemului

Stările de funcționare ale sistemului CSAC în pur

te monofazată de tip SNFA prezentate în paragraful 5.2. li s-au asociat schemele echivalente din figura nr.5.5. Cu no-tațiile și observațiile prezentate în paragraful nr.3.2 și 4.3 se vor scrie sistemele de ecuații diferențiale în mărimi raportate pentru fiecare din circuitele echivalente, cu precizarea condițiilor limită de trecere de la un sistem la altul. Sistemele se vor completa cu ecuațiile ce definesc variațiile mărimilor mecanice și electrice ale mașinii elec-trice și se stabilesc pentru regimul de curent continuu nein-trupt; în paragraful nr.5.5. urmează a se indica modul în care se obțin regimurile de curent continuu întreupt.

Pentru starea I, intervalul  $z \in (z_2, z_3)$  - comutare de pe diode pe perechea tiristor-diodă ce urmează la conductie:

$$\left\{ \begin{array}{l} u' = U' \sqrt{2} \sin z \\ u'' = A_e \frac{di'_e}{dz} - B_e i'_e = 0 \\ u'_{im} + (A_m + A_f) \frac{di'_d}{dz} + (1+B_s) i'_d = 0 \\ u'_d = 0 \\ u'_l = u' - A_e \frac{di'_e}{dz} - B_e i'_e \\ i'_c = 0 \\ u'_c = u'_c(z_2) \\ m' = \frac{P'}{\omega'_m} - M'_s = T_m \frac{d\omega'_m}{dz} \\ m' = \frac{u' i_{im} i'_d}{\omega'_m} \\ u'_{im} = u'_{im}(i'_l, \omega'_m) \end{array} \right. \quad (5.13)$$

cu condiția inițială

$$i'_e(z_2) = 0 ; f'_{ic}(z_2) = 0 \quad (5.14)$$

și condiția de determinare a lui  $z_3$ :

$$i'_e(z_3) = i'_d(z_3) \quad (5.15)$$

Pentru starea II, intervalul  $z \in (z_3, z_4)$  - puncă în conductie :

$$\left\{ \begin{array}{l} u' = U' \sqrt{2} \sin z \\ u' = A_e \frac{di'_e}{dz} + B_e i'_e = u'_{im} + (A_m + A_f) \frac{di'_d}{dz} + (1+B_s)i'_d \\ i'_d = i'_e \\ u'_d = u'_{im} + (A_m + A_f) \frac{di'_d}{dz} + (1+B_s)i'_d \\ u'_l = u' - A_e \frac{di'_e}{dz} - B_e i'_e \\ i'_c = 0 \\ u'_c = u'_c(z_2) \\ m' = \frac{P'_r}{\omega'_m} = M'_o + T_m \frac{d\omega'_m}{dz} \\ m' = \frac{u'_{im} i'_d}{\omega'_m} \\ u'_{im} = u'_{im}(i'_d, \omega'_m). \end{array} \right. \quad (5.16)$$

Prin faptul că unghiul de blocare  $\alpha_2$  este dat și  $z_4$  este cunoscut.

Pentru starea III, intervalul  $z \in (z_4, z_5)$  – descărcarea condensatorului de stingere și încărcarea lui pînă la valoarea momentană a tensiunii alternative  $u'_l$  :

$$\left\{ \begin{array}{l} u' = U' \sqrt{2} \sin z \\ u' = u'_{im} + (A_e + A_m + A_f) \frac{di'_e}{dz} + (1+B_s + B_e)i'_e - u'_c(z_2) - f'_c = 0 \\ i'_d = i'_e \\ u'_d = u'_{im} + (A_m + A_f) \frac{di'_d}{dz} + (1+B_s)i'_d - u_c(z_2) - f_c \\ u'_l = u' - A_e \frac{di'_e}{dz} - B_e i'_e \\ i'_c = \frac{1}{A_c} \frac{df'_c}{dz} \\ i'_c = i'_d \\ u'_c = u'_c(z_2) + f'_c \\ m' = \frac{P'_r}{\omega'_m} = M'_o + T_m \frac{d\omega'_m}{dz} \\ m' = \frac{u'_{im} i'_d}{\omega'_m} \end{array} \right. \quad (5.17)$$

$$u_{im}' = u_{im}'(i_d', \omega_m')$$

cu condiția de determinare a lui  $z_5$  :

$$u_c'(z_2) + f_c'(z_5) = u_1'(z_5). \quad (5.18)$$

Pentru starea IV, intervalul  $z \in (z_5, z_6)$  – încărcarea condensatorului pînă la valoarea maximă a tensiunii și comutația curentului continuu de pe tiristorul de stingere pe diodă :

$$\left\{ \begin{array}{l} u^* = U^* \sqrt{2} \sin z \\ u^* - A_e \frac{di_e'}{dz} - B_e i_e' - u_c'(z_2) - r_c' = 0 \\ u_{im}' + (A_m + A_f) \frac{di_d'}{dz} + (1+B_s)i_d' = 0 \\ u_d' = 0 \\ u_1' = u^* - A_e \frac{di_e'}{dz} - B_e i_e' \\ i_c' = \frac{1}{A_c} \frac{df_c'}{dt} \\ i_c' = i_e' \\ u_c' = u_c'(z_2) + f_c' \\ m' \frac{P_r}{\omega_m'} - M_0' = T_m \frac{d\omega_m'}{dz} \\ m' = \frac{u_{im}' i_d'}{\omega_m'} \\ u_{im}' = u_{im}'(i_d', \omega_m') \end{array} \right. \quad (5.19)$$

cu condiția de determinare a lui  $z_6$  :

$$i_e'(z_6) = 0. \quad (5.20)$$

Pentru starea V, intervalul  $z \in (z_6, z_2 + \tilde{n})$ :

$$\left\{ \begin{array}{l} u^* = U^* \sqrt{2} \sin z \\ i_e' = 0 \\ u_{im}' + (A_m + A_f) \frac{di_d'}{dz} + (1+B_s)i_d' = 0 \\ u_d' = 0 \\ u_1' = u^* - A_e \frac{di_e'}{dz} - B_e i_e' \end{array} \right.$$

$$\left\{ \begin{array}{l} i'_c = 0 \\ u'_c = u'_c(z_2) + f'_c \\ m' = \frac{P'_r}{\omega'_m} - I'_0 \Rightarrow r_m \frac{d\omega'_m}{dz} \\ m' = \frac{u'_{im} i'_d}{\omega'_m} \\ u'_{im} = u'_{im}(i'_d \omega'_m) \end{array} \right. \quad (5.21)$$

și :

$$i'_d(z_2) = i'_e(z_2 + \bar{\pi}) \quad (5.22)$$

$$u'_c(z_2) = - u'_c(z_2 + \bar{\pi}). \quad (5.23)$$

Sistemele prezentate permit, la  $U'$ ,  $P'_r$  (sau  $\omega'_m$ ),  $z_2 = \alpha_1$ ,  $z_4 = \alpha_2$  date și cu cunoașterea constanțelor și mărimilor caracteristice mașinii de curent continuu calculul necunoscutelor  $i'_e$ ,  $i'_d$ ,  $i'_c$ ,  $u'_{im}$ ,  $u'_d$ ,  $u'_c$ ,  $u'_l$ ,  $m'$ ,  $\omega'_m$  (sau  $P'_r$ ),  $z_3$ ,  $z_5$  și  $z_6$ . La trecerea de la un sistem la altul mărimile pentru care nu au fost stabilite condiții explicite sunt continue.

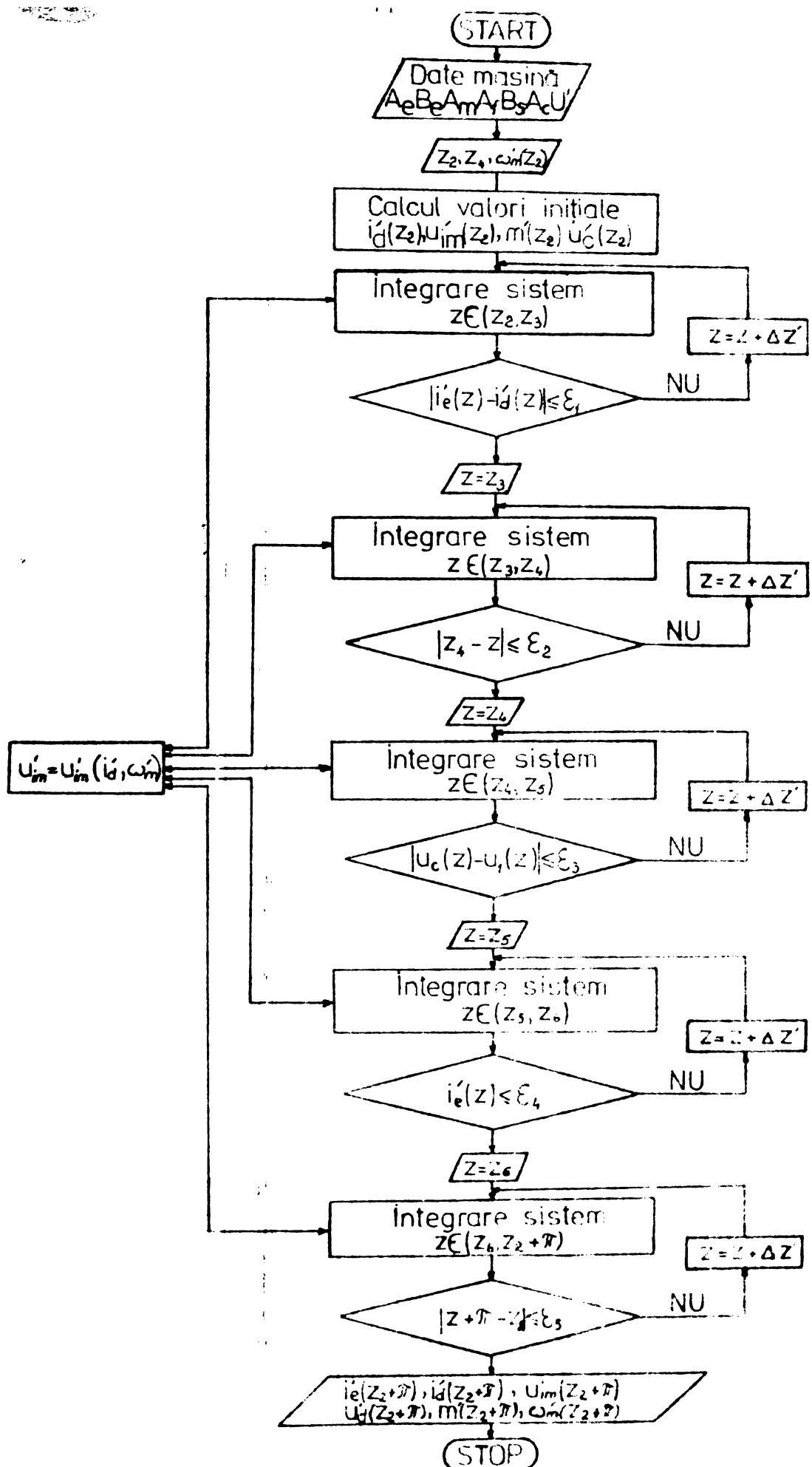
Si pentru acest caz este suficientă rezolvarea sistemelor pentru o semiperioadă a tensiunii alternative ( $z_2$ ,  $z_2 + \bar{\pi}$ ) deoarece :

$$\begin{aligned} i'_d(z + \bar{\pi}) &= i'_d(z) ; \quad i'_e(z + \bar{\pi}) = - i'_e(z) ; \\ i'_c(z + \bar{\pi}) &= - i'_c(z) ; \quad u'_c(z + \bar{\pi}) = - u'_c(z) ; \\ u'_d(z + \bar{\pi}) &= u'_d(z) ; \quad u'_l(z + \bar{\pi}) = - u'_l(z) ; \\ m'(z + \bar{\pi}) &= m'(z) ; \quad u'_{im}(z + \bar{\pi}) = u'_{im}(z) ; \\ \omega'_m(z + \bar{\pi}) &= \omega'_m(z). \end{aligned} \quad (5.24)$$

### 5.5. Integrarea numerică a sistemelor de ecuații diferențiale

Principiul metodei utilizate pentru rezolvarea sistemelor de ecuații diferențiale stabilite anterior este identic cu cel utilizat la determinarea performanțelor sistemului CSAC în punte monofazată de tip SNA-motor de c.c. serie prezentat în capitolul 3.

Schema logică a unui ciclu de integrare numerică a sistemelor de ecuații este reușita în figura nr. 5.7. Ca valori inițiale, necesare pentru demararea integrării prin metoda Runge-Kutta-Gill utilizată, s-au adoptat valori a-

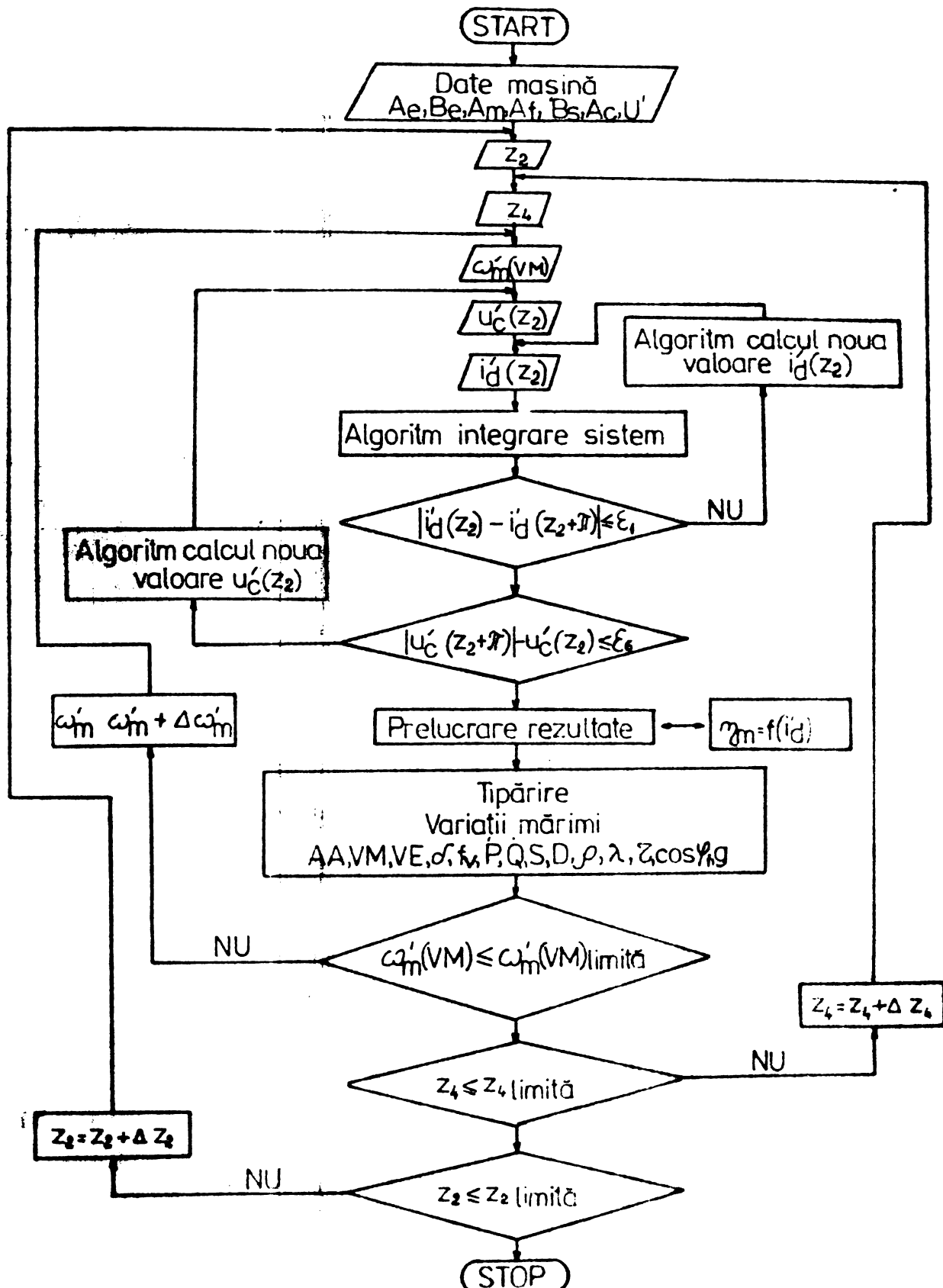


**Figura nr.5.7.** Schema logică a algoritmului de integrare a sistemelor de ecuații

proximative, stabilitate în condiții ideale (variații sinusoidale ale mărimilor de curent alternativ și mărimile de curent continuu constante în timp). Cu valorile constantelor mașinii și sistemului cunoscute, la  $U'$ ,  $z_2 = \alpha_1$ ,  $z_4 = \alpha_2$  și  $\omega_m'(z_2)$  date se procedează la un ciclu de integrare, la trecerea de la un sistem de ecuații la altul ținându-se cont de relațiile de determinare a lui  $z_3 = (5.15)$ ;  $z_5 = (5.18)$ ;  $z_6 = (5.20)$  și de condițiile de frontieră specificate în paragraful precedent. În fiecare din punctele de integrare, în mod identic ca și în capitolele precedente se calculează, funcție de  $i_d'$  și  $\omega_m'$  valoarea tensiunii e.m. induse  $u_{im}'$ . La capătul unui ciclu de integrare se obțin valorile necunoscutelelor  $i_e'$ ,  $i_d'$ ,  $u_{im}'$ ,  $u_d'$ ,  $m'$ ,  $u_c'$ ,  $i_c'$ , fără să se respecte însă condițiile specifice regimului staționar (5.22), (5.23).

Încadrarea algoritmului de integrare a sistemelor în schema generală de calcul este prezentată în figura nr. 5.8. În funcție de diferența  $i_d'(z_2) - i_d'(z_2 + \tilde{t})$  se calculează noua valoare a lui  $i_d'(z_2)$  cu care se procedează la un nou ciclu de integrare pînă la atingerea regimului staționar d.p.d.v. al lui  $i_d'$ . Se trece la o nouă serie de iterării, suprapusă peste cea prezentată anterior necesară pentru respectarea condiției din relația (5.23) adică asigurarea regimului staționar și d.p.d.v. al tensiunii pe condensatorul de stingere. În fel ca și în capitolul 4, cu scopul micșorării timpului de calcul, nu s-a impus ca dată inițială puterea la arboarele mașinii de c.c.  $-P_r'$  - deoarece în acest caz ar fi fost necesară o a treia serie de iterării pentru atingerea acestei valori, ci s-a impus viteza unghiulară  $\omega_m'$  a mașinii electrice. Această alegere este cu atît mai mult justificată cu cît, după cum se va vedea la discuția rezultatelor obținute în urma integrării numerice, variațiile în timp ale vitezei unghiulare în funcție de  $z = \omega t$  sunt neglijabile, ca urmare a constantei mecanice mari a sistemului.

Regimul de conducție întreruptă (curent continuu întrerupt) se selectează din cazurile propuse pentru integrare prin aceea că dacă noua valoare a lui  $i_d'(z_2)$  este nulă și s-a atins regimul staționar d.p.d.v. al tensiunii pe condensatorul de stingere se pornește ultimul ciclu de integrare al sistemelor de ecuații (cel de tipărire) cu această valoare, sistemul funcționînd în regim de conducție întreruptă.



**Figura nr. 5.8.** Schemă logică generală de calcul a mărimilor caracteristice sistemului

Privitor la prelucrarea rezultatelor, pentru fiecare punct de funcționare, rămân valabile cele stabilite în paragraful 3.4 (vezi și figura nr.5.8).

Modificând perechile de valori  $\omega_m^1, z_2 = \alpha_1, z_4 = \alpha_2$ , respectiv cele dependente de schemă -  $A_e, B_e, A_f, B_s, A_c$  - se pot obține toate punctele din domeniul de funcționare posibil al sistemului.

Timpul de calcul necesar pentru un punct de funcționare, conform programului de calcul în limbaj FORTRAN conceput, variază între 2 și 5 minute (caz extrem 10 minute), în funcție de numărul de iterații necesare.

### 5.5. Prezentarea și discuția rezultatelor obținute în urma integrării numerice

Programul de calcul întocmit pentru rezolvarea sistemelor de ecuații din paragraful nr.5.4., a fost rulat pe un calculator de tip FERRIX pentru următoarele cazuri:

$$a) X_e/R_m = 1,58 ; R_e/R_m = 0,79 \quad (5.25)$$

$$b) X_e/R_m = 0,74 ; R_e/R_m = 0,37 \quad (5.26)$$

$$c) X_e/R_m = 0,0141 ; R_e/R_m = 0,00363 \quad (5.27)$$

Pentru cazul a) s-au ales următoarele perechi de valori pentru unghiurile de amorsare și blocare ale punții:

$$1^\circ \alpha_1 = 30^\circ \quad \alpha_2 = 60^\circ; 90^\circ; 120^\circ; 150^\circ \quad (5.28)$$

$$2^\circ \alpha_1 = 60^\circ \quad \alpha_2 = 90^\circ; 120^\circ; 150^\circ \quad (5.29)$$

$$3^\circ \alpha_1 = 90^\circ \quad \alpha_2 = 120^\circ; 150^\circ \quad (5.30)$$

$$4^\circ \alpha_1 = 120^\circ \quad \alpha_2 = 150^\circ \quad (5.31)$$

iar la cazurile b) și c) :

$$5^\circ \alpha_1 = 60^\circ \quad \alpha_2 = 90^\circ; 120^\circ; 150^\circ \quad (5.32)$$

Conform celor stabilite în paragraful nr.5.2. referitor la valorile capacitaților de stingere, s-au stabilit pentru fiecare din situațiile mai sus precizate următoarele valori ale reactanței capacitive raportate:

$$X_c/R_m = 10; 15,8; 32; 63,5 \quad (5.33)$$

Nu s-a analizat pentru cazul CSAC în puncte cu comutație fortată influența inductivității de filtrare asupra performanțelor sistemului (vezi motivația în paragraful nr.4.5.).

Pentru un set de valori  $X_e/R_m, R_e/R_m, X_c/R_m, \alpha_1$  și

$\alpha_2$  s-au ales în medie 5 valori impuse ale vitezei unghiulare raportate a mașinii electrice  $\omega_m'$ , deci tot atitea puncte de funcționare ale acesteia.

Variatiile în timp ale principalelor mărimi caracteristice sistemului pentru un regim de curent continuu întrerupt la  $\alpha_1=60^\circ$  și  $\alpha_2=90^\circ$ , sunt redate în figura nr.5.9.

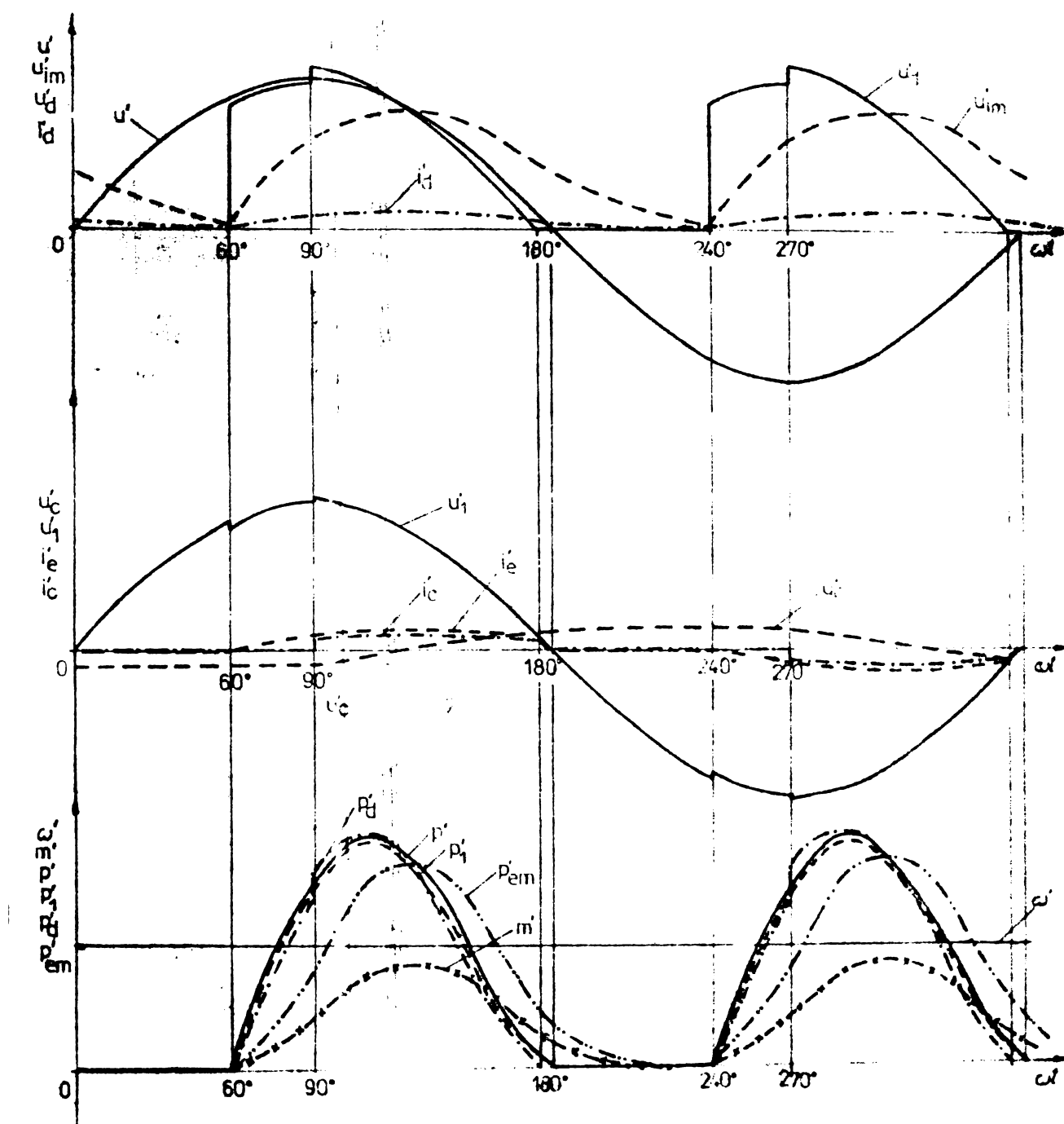
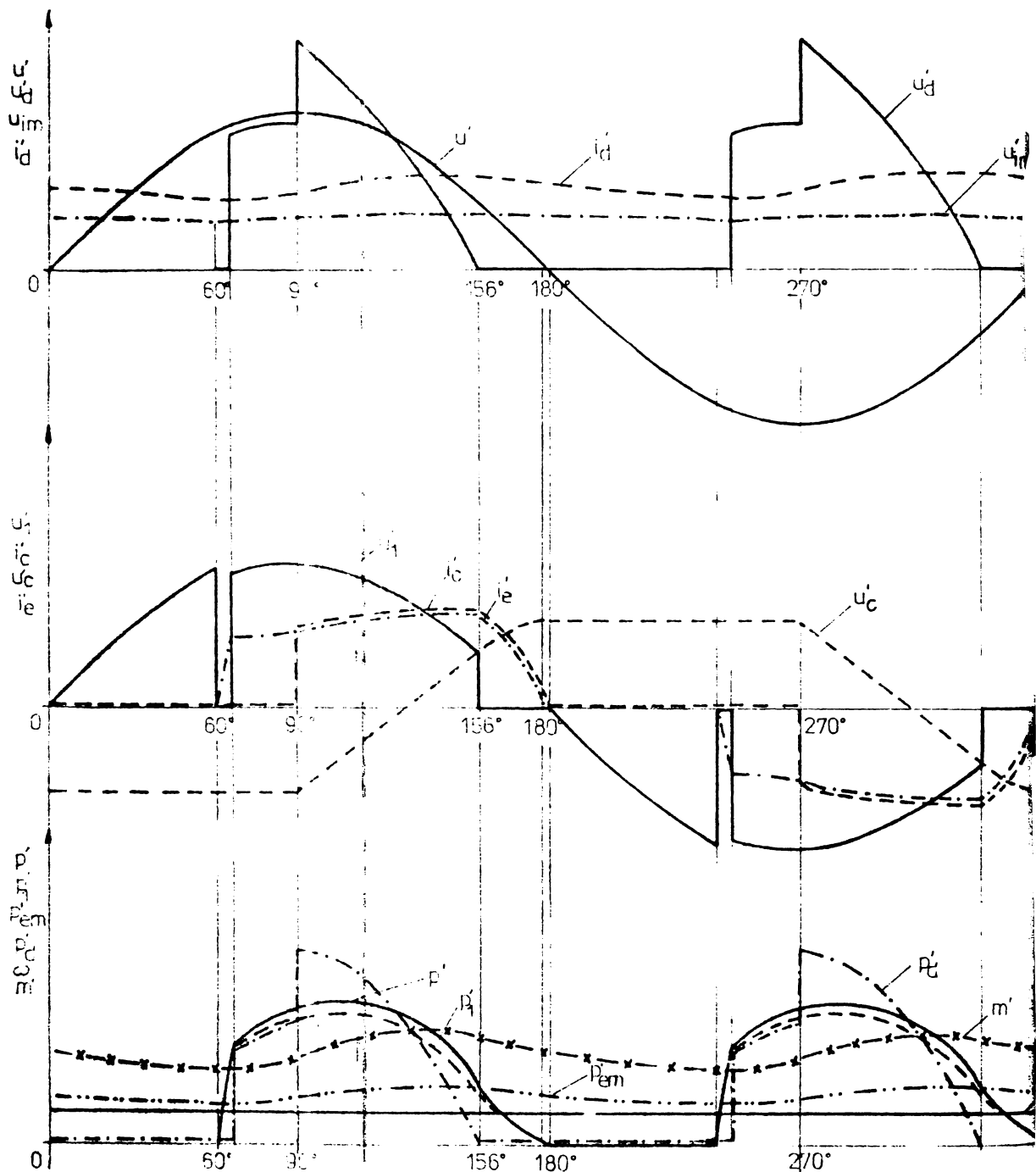


Figura nr.5.9. Formele de undă ale mărimilor calculate funcție de  $z=\omega t$  pentru un regim de conducție întreruptă la  $\alpha_1=60^\circ$ ;  $\alpha_2=90^\circ$

Referitor la viteza unghiulară  $\omega_m'$ , cuplul electromagnetic  $m'$ , t.e.m. induș  $u_{im}'$  a mașinii electrice, curentul continuu

174

$i_d'$  și la variația puterilor  $p_1'$ ,  $p'$  și  $p_{em}'$  rămân valabile cele precizate în paragrafele 3.5 și 4.5. Forma tensiunii continue redresate  $u_d'$  se va modifica față de situațiile precedente analizate prin apariția virfului de tensiune corespunzător comutării iortătoare, pentru cazul reprezentat, la  $\alpha_2 = 90^\circ$ .



**Figura nr. 5.10.** Formele de undă ale mărimilor calculated în funcție de  $z=wt$  pentru un regim de conducție neîntreruptă la  $\alpha_1 = 60^\circ$ ;  $\alpha_2 = 90^\circ$ .

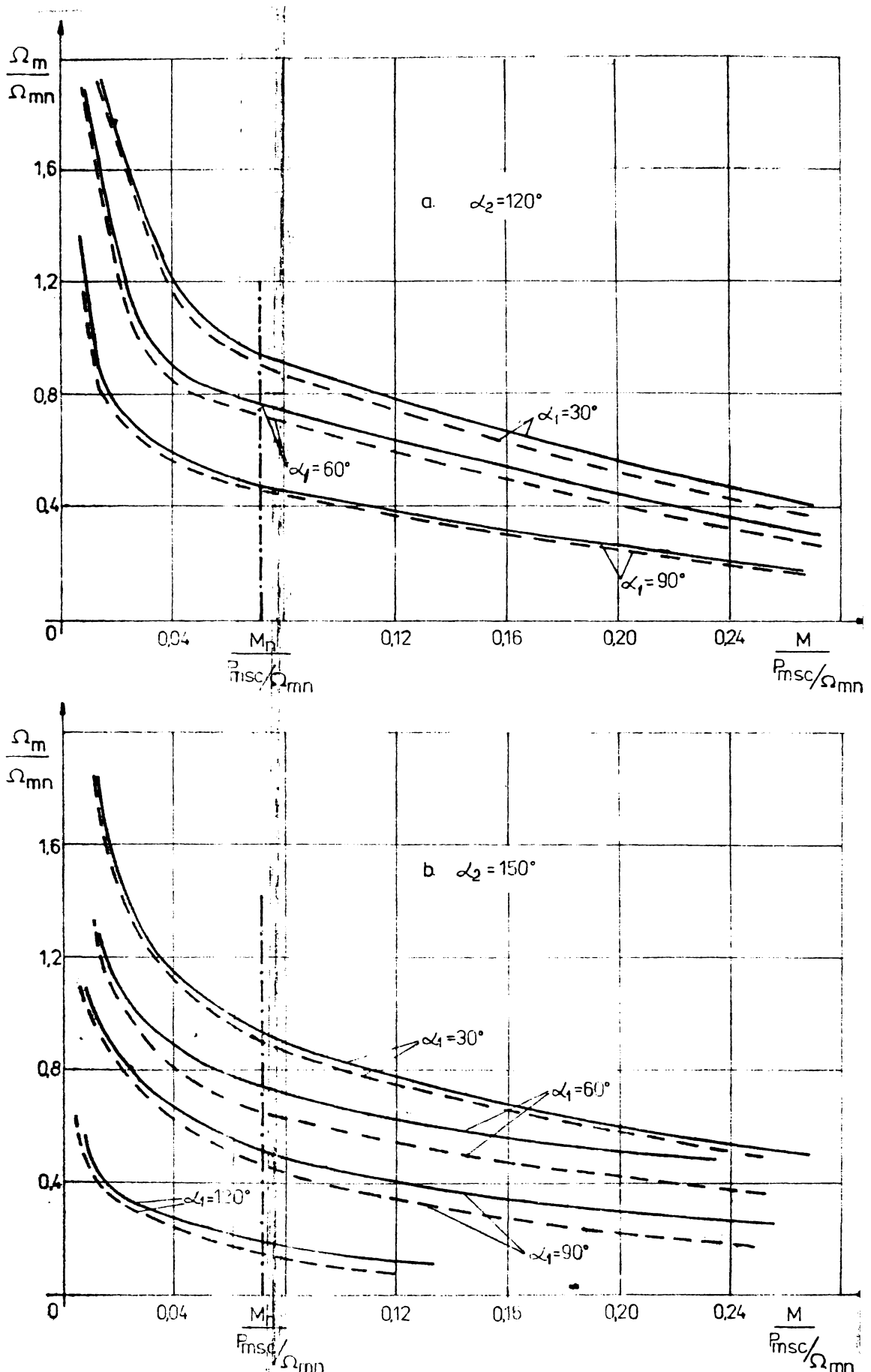
Datorită valorii reduse a curentului  $i_d'$ , tensiunea a

maximă la care se încarcă capacitatea de stingeră va fi mă că și durata procesului de descărcare și reîncărcare a capacitatii de stingeră mare. Lipsă domeniul de comutare al curentului de pe diode pe perechea tiristor-diodă (starea 1). Trecerea la regimul de conductie neîntreruptă (figura nr.5.10), are în general aceleasi efecte ca și cele discutate în paragrafele 3.5 și 4.5. Datorită valorii mari a curentului continuu, tensiunea nominală de pe capacitatea de stingeră va crește, corespunzător virful de tensiune prezent în forma de variație a tensiunii redresate  $u_d$  se va mări.

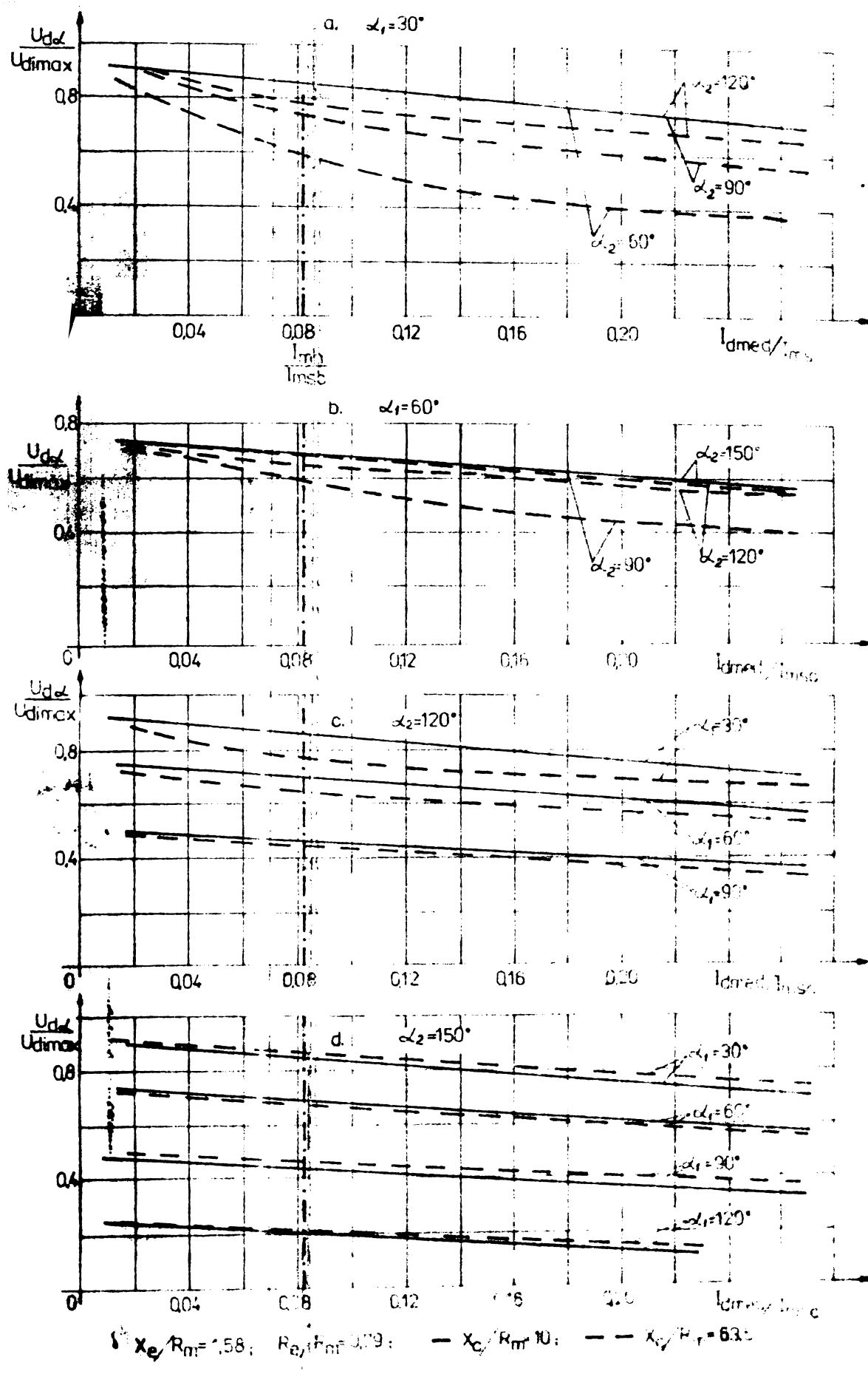
Sunt prezente toate stările de funcționare descrise în paragraful nr.5.3. Comparind situațiile corespunzătoare regimurilor de curent întrerupt și de conductie neîntreruptă se observă că durata procesului de descărcare și reîncărcare a capacitatii de stingeră nu diferă mult de la o situație la alta, cu toate că acest proces se desfășoară dependent de curentul de sarcină, care în ultimul caz este evident mai mare. Explicația constă în faptul că în regim de conductie neîntreruptă crește valoarea maximă a tensiunii pe capacitatea de stingeră, ea fiind dependentă de valoarea curentului din circuitul de sarcină.

Caracteristicile mecanice ale motorului de c.c. serie alimentat de la CSAC cu comutare forțată (figura nr.5.11) au fost redate pentru două situații ale unghiului de blocare  $\alpha_2$  considerate constante și unghiul de amorsare  $\alpha_1$  variabil. La  $\alpha_2 = 120^\circ$  (figura nr.5.11.a) plaja caracteristicilor mecanice este mai restrinsă (vezi și caracteristicile externe ale CSAC - figura nr.5.12; 5.13); la cuplul nominal domeniul de modificare al turăției este cuprins între (0,4-1) din viteza unghiulară raportată  $\omega_m'$ . Această situație este explicată prin faptul că începând cu momentul blocării CSAC ( $\alpha_2$ ), în timpul stărilor de funcționare III și IV (vezi paragraful nr.5.2), pe motor avem tot timpul și aproape pînă la trecerea prin zero a tensiunii, tensiunea de pe capacitatea de stingeră ceea ce nu permite scăderea tensiunii medii redresate. Situația se ameliorează în cazul  $\alpha_2 = 150^\circ$  (figura nr.5.11.b), caz în care plaja de modificare a turăției crește corespunzător. Situația se apropie mai mult de cazul CSAC monofazat în puncte de tip SNa necompensat.

Din analiza caracteristicilor externe ale CSAC, (figura nr.5.12) rezultă clar că modalitatea de modificare a valorii medii a tensiunii redresate în acest tip de con-



**Figura nr. 5.11.** Caracteristicile mecanice ale motorului de c.c. serie alimentat de la CSAC cu comutare forțată pentru  $\alpha_1$  variabil și  $\alpha_2 = 120^\circ$  (a) respectiv  $\alpha_2 = 150^\circ$  (b)



**Figura nr. 5.12. Caracteristicile externe ale CSAC de tip SNFA la  $X_c/R_m$  variabil :a)  $\alpha_1=30^\circ$ ;  $\alpha_2$  variabil;b)  $\alpha_1=60^\circ$ ;  $\alpha_2$  variabil;c)  $\alpha_1$  variabil; $\alpha_2=120^\circ$ ;d)  $\alpha_1$  variabil; $\alpha_2=150^\circ$**

vertor cu descarcarea capacitatei de stingerie dependentă de curentul din circuitul de sarcină este cea de variere a unghiului de amorsare  $\alpha_1$  la unghiul de blocare  $\alpha_2=ct$  (figura nr.5.12.c. și d.). La acest mod de comandă plaja de modificare a tensiunii continue redresate este largă, spre deosebire de situația cînd se menține unghiul de amorsare

$\alpha_1=ct$  și se variază  $\alpha_2$  (figura nr.5.12.a. și b.), în care, pentru o capacitate de stingerie de valoare mare  $-X_c/R_m=10$ , practic caracteristicile externe pentru  $\alpha_2$  variabil se suprapun. Pornind de la aceasta, analiza rezultatelor obținute în urma rezolvării sistemelor de ecuații se vor face, în special pentru modul de comandă cu  $\alpha_1$  variabil și  $\alpha_2=ct$ . Capacitatea de stingerie mai mare conduce la creșterea valorii medii a tensiunii redresate cu represensiuni și asupra caracteristicilor mecanice ale mașinii electrice (vezi figura nr.5.11). Creșterea impedanței din circuitul de curent alternativ are drept urmare creșterea inclinației caracteristicilor externe, deci valori ale tensiunii continue redresate medii mai reduse la valori mari ale curentilor de sarcină (figura nr.5.13).

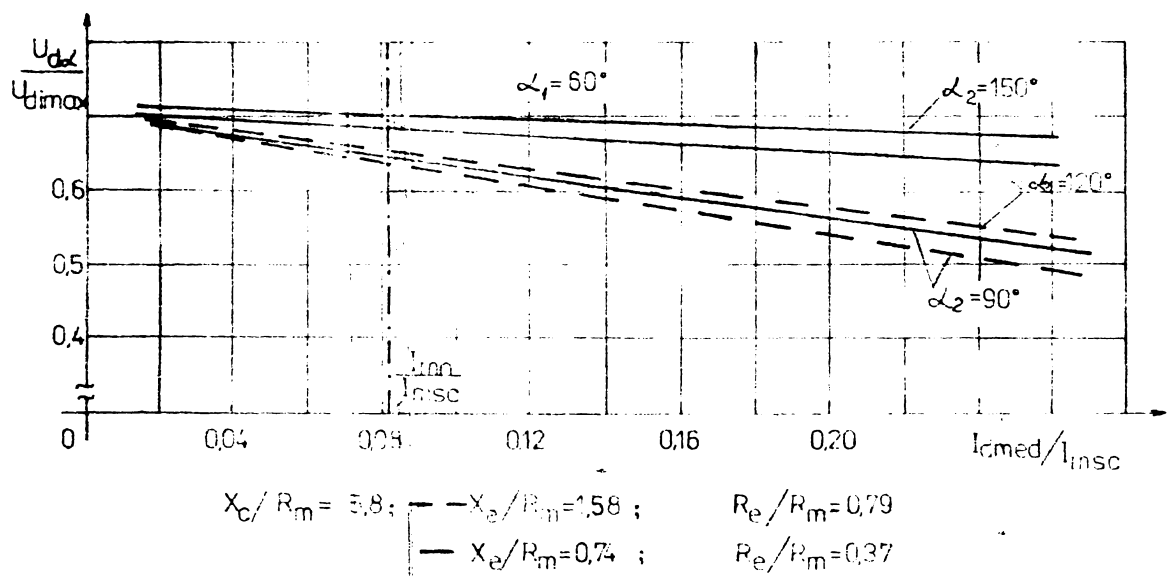


Figura nr.5.13. Caracteristicile externe ale CSAC de tip SINFA la  $X_e/R_m$  și  $R_e/R_m$  variabili

Pentru analiza mărimeilor din circuitul de curent continuu s-a considerat utilă reprezentarea mărimeilor caracteristice ale curentului și tensiunii redresate.

Valoarea efectivă a curentului continuu, la valoarea nominală a curentului continuu, pentru toate cazurile a-

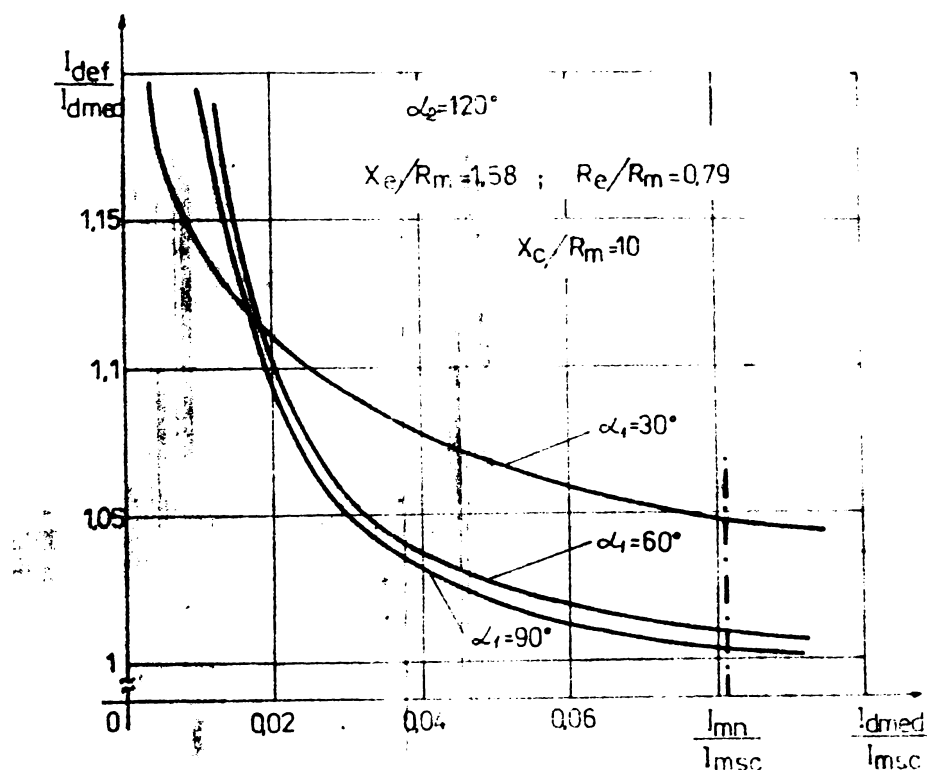


Figura nr.5.14.  $I_{def}/I_{dmed}$  funcție de  $I_{dmed}/I_{msc}$  la  $\alpha_2=cu$  și  $\alpha_1$  variabil.

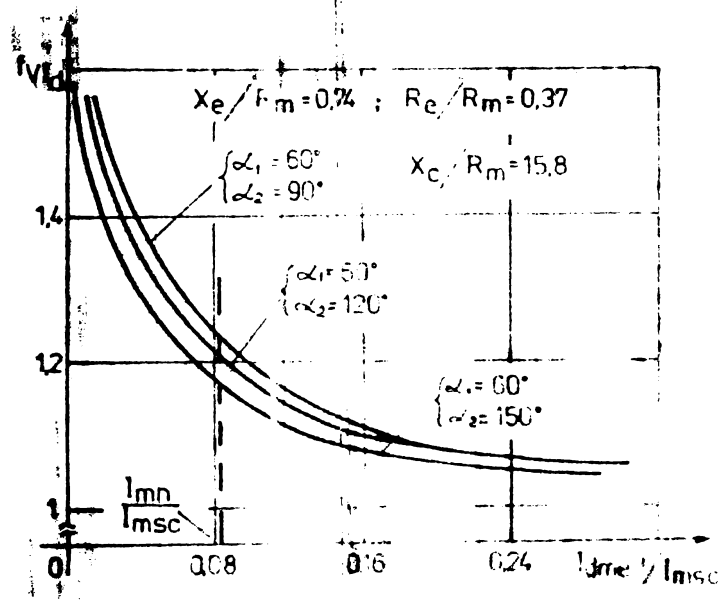


Figura nr.5.15. Dependența factorului de vîrf al curentului continuu  $f_{VId}$  de  $I_{dmed}/I_{msc}$  la  $\alpha_1=60^\circ$  și  $\alpha_2$  variabil

zentate în paragraful nr.3.5.

Analiza armonica a curentului recrescat pentru re-gimul de conductie întreruptă limită și regimul de putere

nalizate este cu maxim 5% mai mare decit cea medie (figura nr.5.14). In regimurile limită de con-ducție întreruptă valoarea efectivă a curentului continuu este în medie cu 20% mai mare decit valoarea medie.

Factorul de vîrf al curentului con-tinuu  $f_{VId}$  (figura nr.5.15), prezintă, la va-loarea curentu-lui nominal al masinii e-lectrice, la un-ghiul de blo-care  $\alpha_2$  variabil, valori cu-prinse între 1,1 și 1,3, mai scăzute centru valoři  $\alpha_2$  mai mari. Înfluența unghiului de-a-morsare  $\alpha_1$  asupra acestei marimi este cu-noscută din re-zultatele pre-

nominală (figura nr.5.16) a fost redată pentru combinațiile semnificative dintre valorile lui  $\alpha_1$  și  $\alpha_2$  la două valori ale reactanței capacitive  $X_c/R_m$ . În general se poate afirma

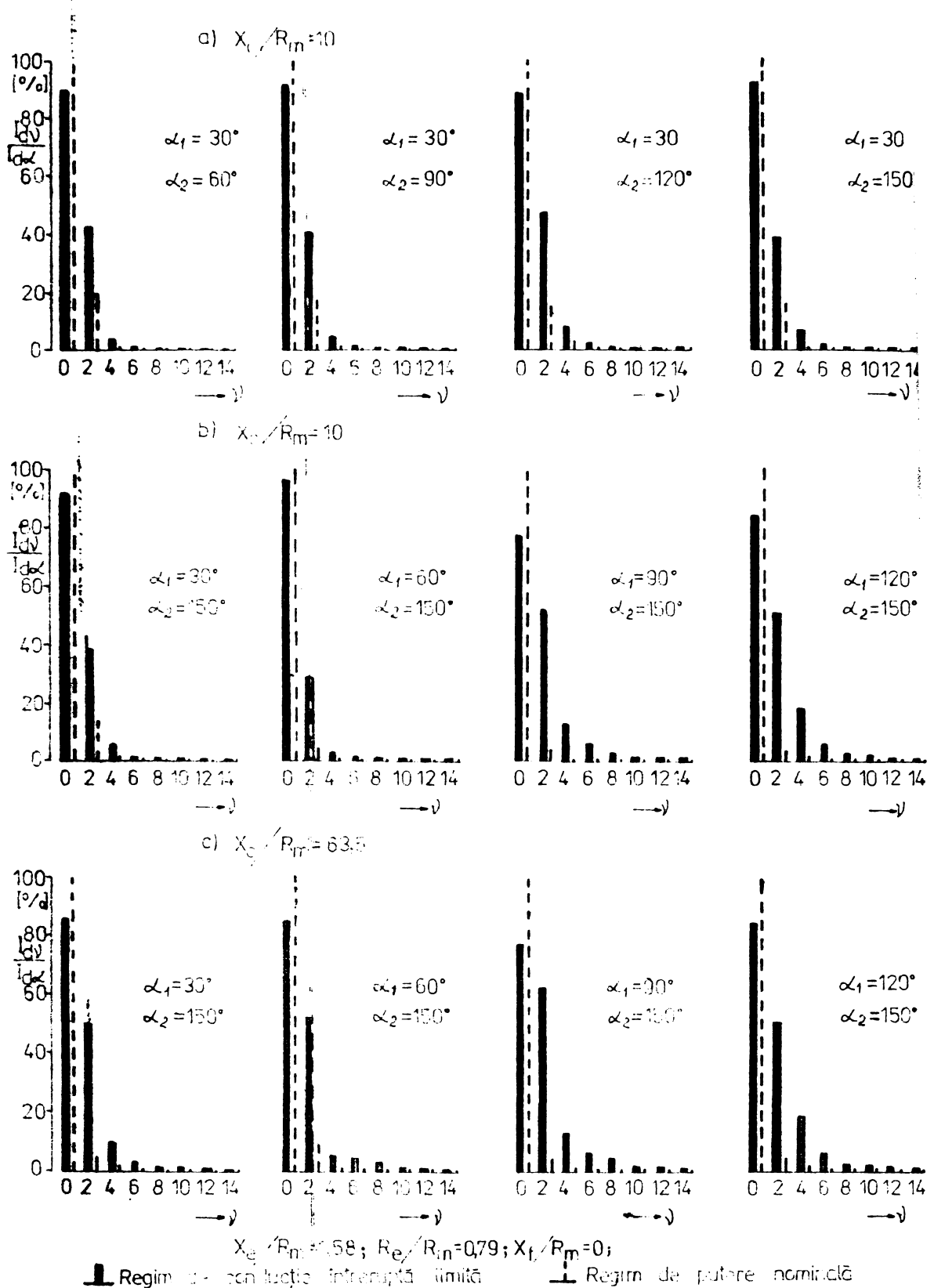
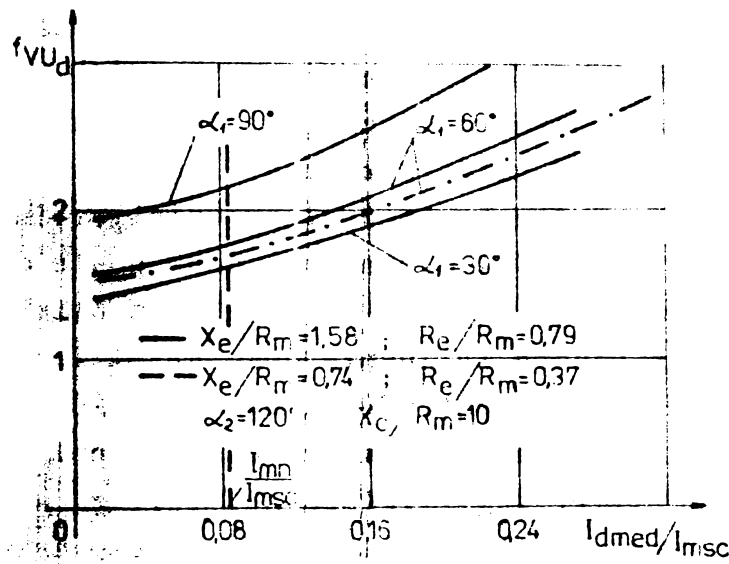
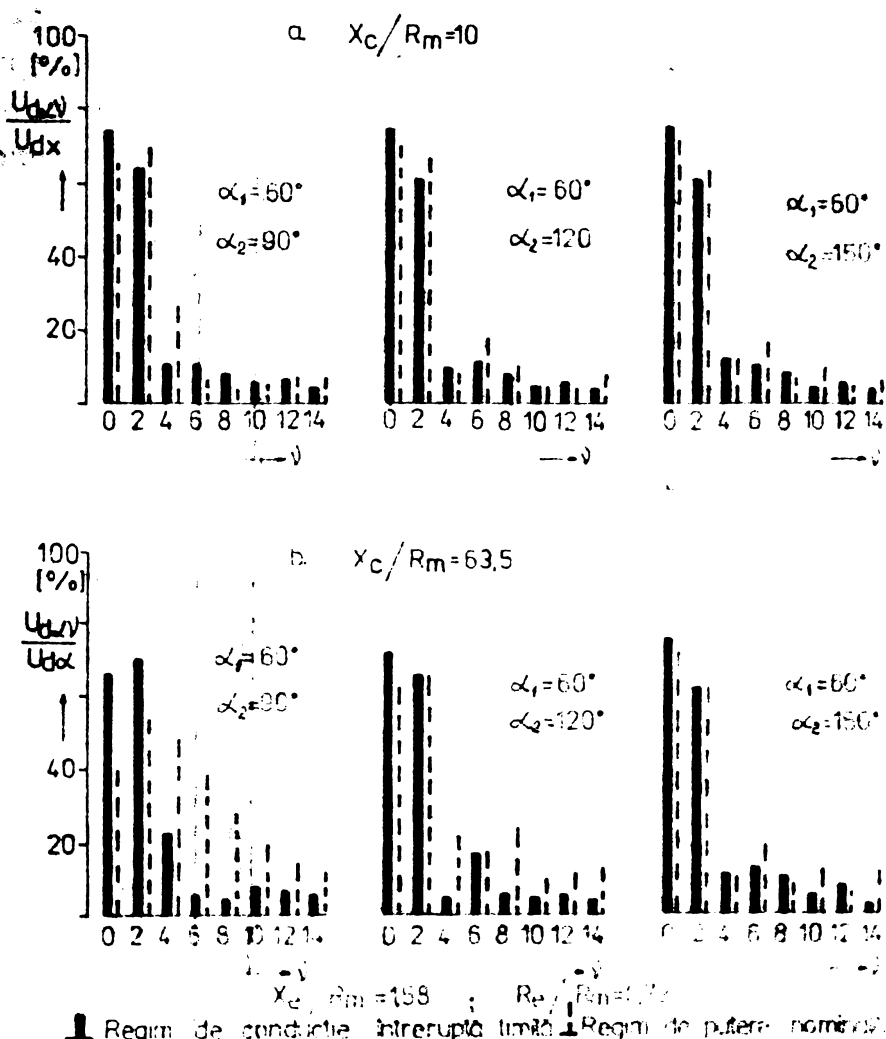


Figura nr.5.16. Analiza armonică a curentului continuu redresat  $I_d$  în regim de putere nominală și la regimul de conducție întreruptă limită pentru  $\alpha_1$  și  $\alpha_2$  și  $X_c/R_m$  variabili



**Figura nr.5.17.** Variația factorului de vîrf a tensiunii continue redresate funcție de  $I_{dmed}/I_{msc}$ . La  $\alpha_2=120^\circ$ ;  $X_c/R_m=10$  și  $\alpha_1, X_e/R_m, X_e/R_m$  variabili.



■ Regim de conductie întreruptă limită ■ Regim de putere nominală

**Figura nr.5.18.** Analiza armonică a tensiunii continue redresate  $U_d$  în regim de putere nominală și la regimul de conductie întreruptă limită pentru  $\alpha_1, \alpha_2$  și  $X_c/R_m$  variabili.

că în regim de funcționare la puterea nominală la arborele mașinii electrice, armonica a doua nu depășește în nici una din situații 20%. În regim de conductie întreruptă, o influență mai mare asupra armonicilor, în sensul creșterii acestora o are unghiul de amorsare  $\alpha_1$ , decât cel de blocare  $\alpha_2$ . O capacitate de stingere de valoare redusă (figura nr.5.16.c) modifică în mai mare măsură spectrul armonicilor, în aceste situații, ( $\alpha_1 = 0^\circ$ ;  $\alpha_2 = 150^\circ$ ) armonica a doua poate deveni aproape egală cu valoarea medie a curentului continuu.

Având în vedere influența comutației forțate asupra formei tensiunii redresate furnizate de CSAC, s-a considerat utilă analiza mai amănunțită a acesteia prin intermediul factorului de virf  $f_{VUD}$  (figura nr.5.17) și a spectrului lui de armonici pentru situațiile cele mai dezavantajoase (figura nr.5.18). În momentul blocării unui tiristor principal al CSAC, tensiunea capacității de stingere se suprapune peste valoarea momentană a tensiunii redresate; se obțin astfel valori ridicate pentru  $f_{VUD}$ , dependente de unghiul de blocare  $\alpha_2$ , de impedanța din circuitul de tensiune alternativă și de capacitatea de stingere. Tensiunea continuă redresată are un spectru larg de frecvență, predominant, valoarea armonică a doua este apropiată de valoarea medie a tensiunii redresate. Cum deformarea variației tensiunii redresate este mai pronunțată la valori mari ale curentului redresat, în regim de putere nominală, valorile armonicilor sunt mai ridicate în acest caz.

Factorul de distorsiune al curentului alternativ absorbit de sursa,  $\delta_{Ie}$  (figura nr.5.19) are valorile cuprinse între 0,2 și 0,6, crescînd cu sarcina și cu creșterea un-

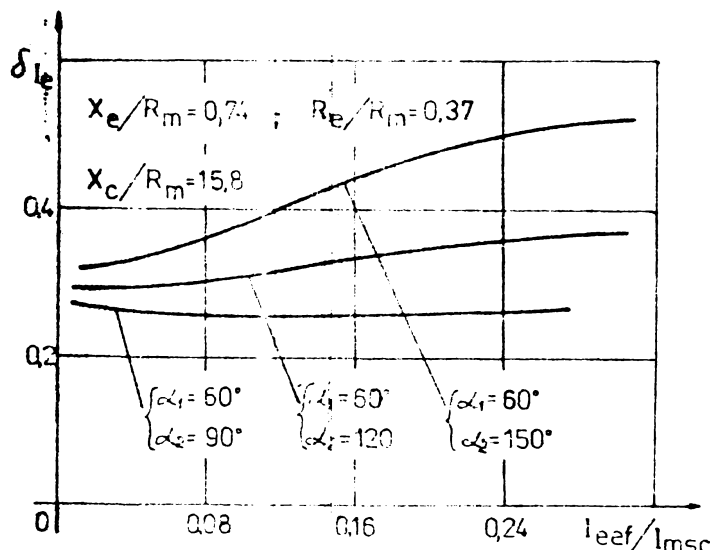


Figura nr.5.19.  
Variația coeficientului de distorsiune al curentului alternativ  $\delta_{Ie}$  funcție de  $I_{eef}/I_{msc}$  la  $\alpha_1 = 60^\circ$ ,  $X_c/R_m = 15,8$  și  $\alpha_2$  variabil

ghiului de blocare  $\alpha_2$ . Spectrul armonicilor curentului alternativ absorbit de la sursă (figura nr.5.20) evidențiază

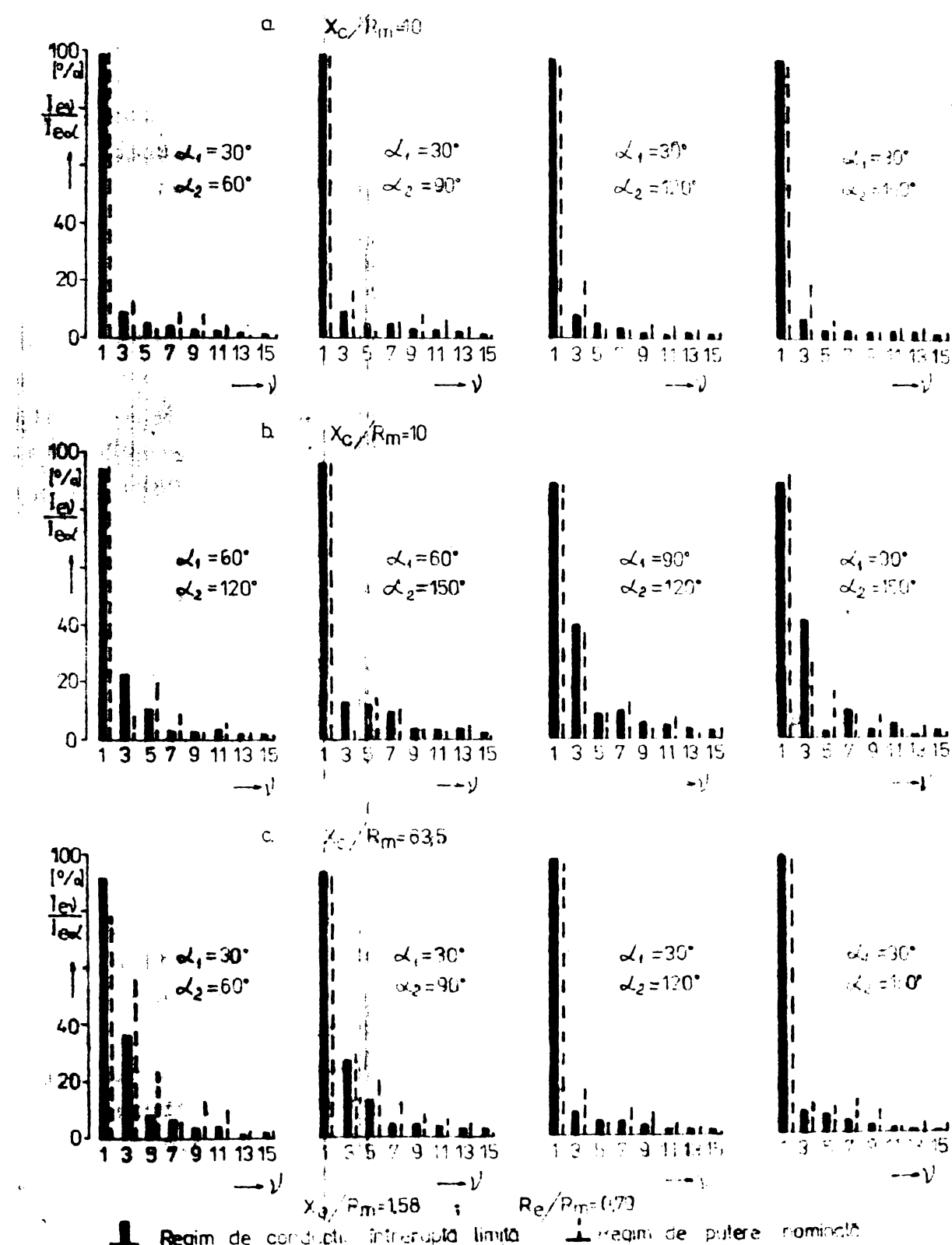


Figura nr.5.20. Analiza armonică a curentului alternativ I<sub>e</sub> absorbit de CSAC pentru regimul de putere nominală și cel de conductie intreruptă limitată la  $\alpha_1$ ,  $\alpha_2$  și  $X_c/R_m$  variabili

un conținut ridicat al fundamentaliei în aproape toate cauz-

rile analizate, atit în regimul de conductie intreruptă cît și în cel corespunzător puterii nominale la arborele mașinii de c.c. Cu creșterea unghiului de amorsare  $\alpha_1$  se observă o scădere a conținutului de fundamentală cu o creștere corespunzătoare a armonicii de ordinul 3 (figura nr.5.20.b), situație specifică și pentru CSAC fără comutație forțată. Dacă unghiul de blocare  $\alpha_2$  crește la  $\alpha_1 = \text{ct}$ , în special la  $X_c/R_m$  mare (figura nr.5.20.c) conținutul de fundamentală cîte.

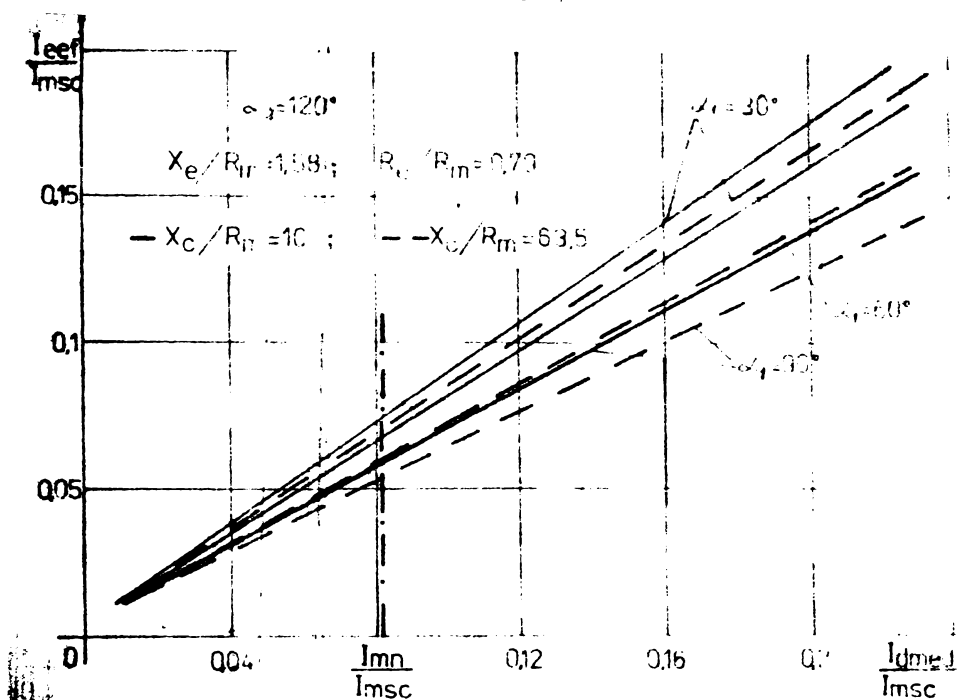
Dependențele cantitative dintre valoarea efectivă a curentului alternativ și valoarea medie a curentului continuu, pentru  $\alpha_2 = 120^\circ$  și impedanța maximă din circuitul de curent alternativ considerată în calcule se pot extrage din figura nr.5.21. O valoare mai ridicată a capacitatei de stindere din circuit conduce la creșterea valorii curentului alternativ la o aceeași valoare medie a curentului continuu.

Poate prezenta interes și variația tensiunii maxime pe condensatorul de stindere în funcție de puterea cerută la arborele mașinii, de valoarea reactanței capacitive și a unghiului de blocare  $\alpha_2$ , reprezentată în figura nr. 5.22. Valorile exacte ale acestei mărimi coincid în bună măsură cu cele aproximative calculate în paragraful nr.5.2.

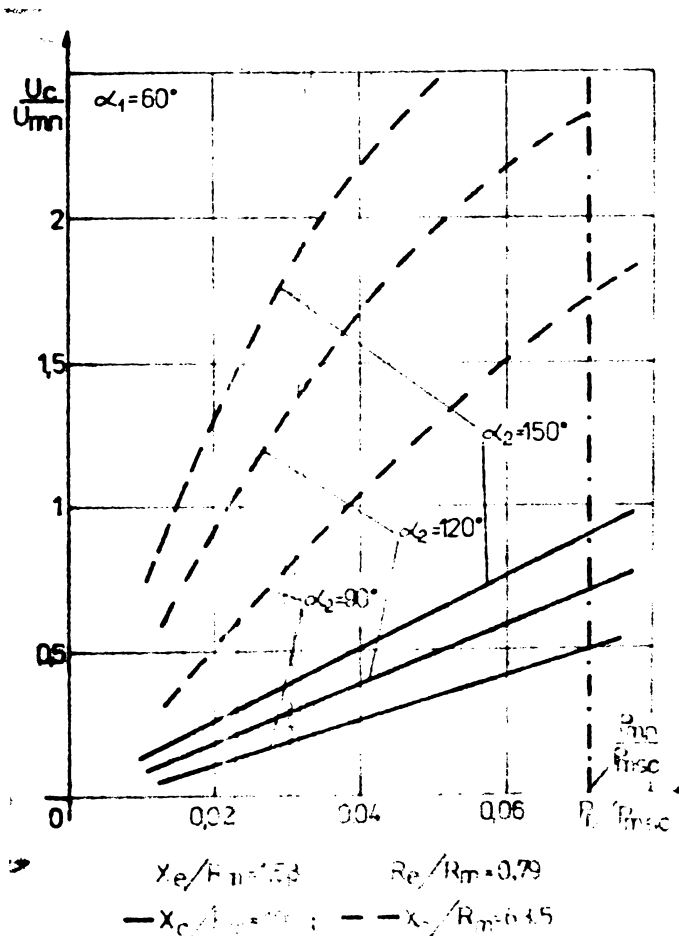
Valorile căderii de tensiune relative pe impedanță din circuitul de curent alternativ crește  $\Delta U_e$ , în toate cazurile analizate, liniar cu puterea la arborele mașinii electrice (figura nr.5.23). La  $\alpha_2 = \text{ct}$  și modificarea valorii medii a tensiunii redresate prin varierea lui  $\alpha_1$  (figura nr.5.23.a. și b), pentru puterea nominală a mașinii electrice căderile de tensiune maxime sunt sub 15%. Ele sunt mai mari, cum este și normal la unghiuri  $\alpha_1$  mai mari și cresc cu creșterea reactanței capacitive considerate în calcule. Situația pentru două valori ale impedanței din circuitul de curent alternativ este redată în figura nr.5.23.c.

Si în fine, se prezintă în continuare principalele performanțe energetice ale sistemului CSAC cu comutație forțată analizat-motor de c.c. serie.

Factorul de putere global al sistemului (figura nr.5.24), este reprezentat pentru impedanța maximă din circuitul de curent alternativ la două valori ale unghiului de blocare  $\alpha_2$ . El este aproximativ constant pe o plajă largă de modificare a puterii la arborele mașinii de c.c., scade

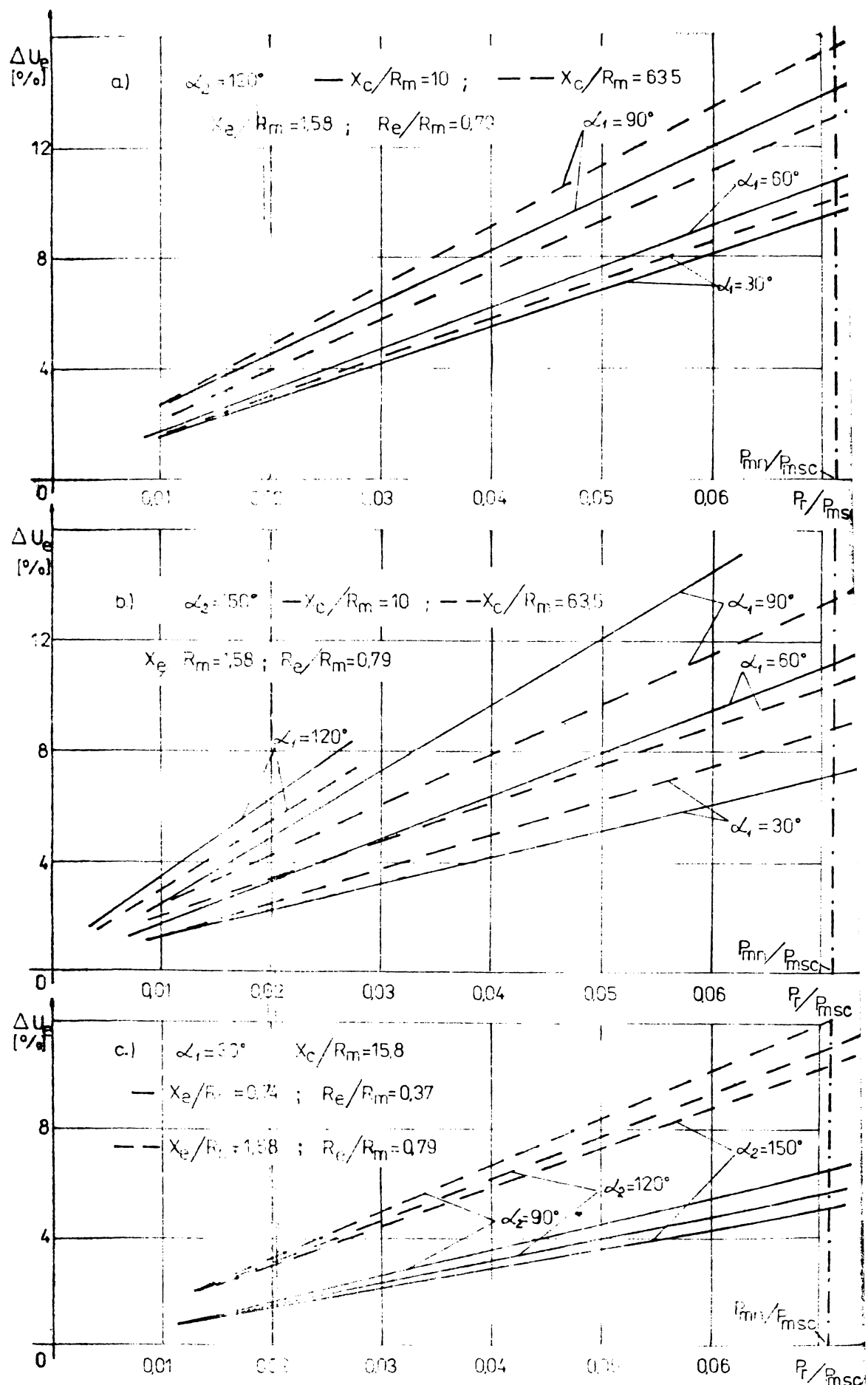


**Figura nr.5.21.** Variația lui  $I_{\text{eff}}/I_{\text{msc}}$  funcție de  $I_{\text{dmed}}/I_{\text{msc}}$   
la  $\alpha_2=120^\circ$ ,  $\alpha_1$  și  $X_c/R_m$  variabili



**Figura nr.5.22**  
Variația tensiunii  
maxime pe condensatorul de stingere  
raportată la tensiunea nominală a moto-  
rului  $U_c/U_{mn}$  funcție  
de  $P_r/P_{\text{msc}}$  la  $\alpha_1=60^\circ$   
și  $\alpha_2$  și  $X_c/R_m$  va-  
riabili

cu creșterea unghiului de amorsare al panții și crește cu  
scădere capacitatea de stingere. Factorul de putere al  
fundamentalei  $\cos\gamma_1$  (figura nr.5.24), are valori ridiclate,



**Figura nr.5.2<sup>o</sup>.** Variația căderii de tensiune relative pe impedanță de curent alternativ  $\Delta U_e [\%]$  funcție de  $P_r/P_{msc}$  pentru  $\alpha_1, \alpha_2, X_c/R_m, X_e/R_m$  și  $R_e/R_m$  variabili

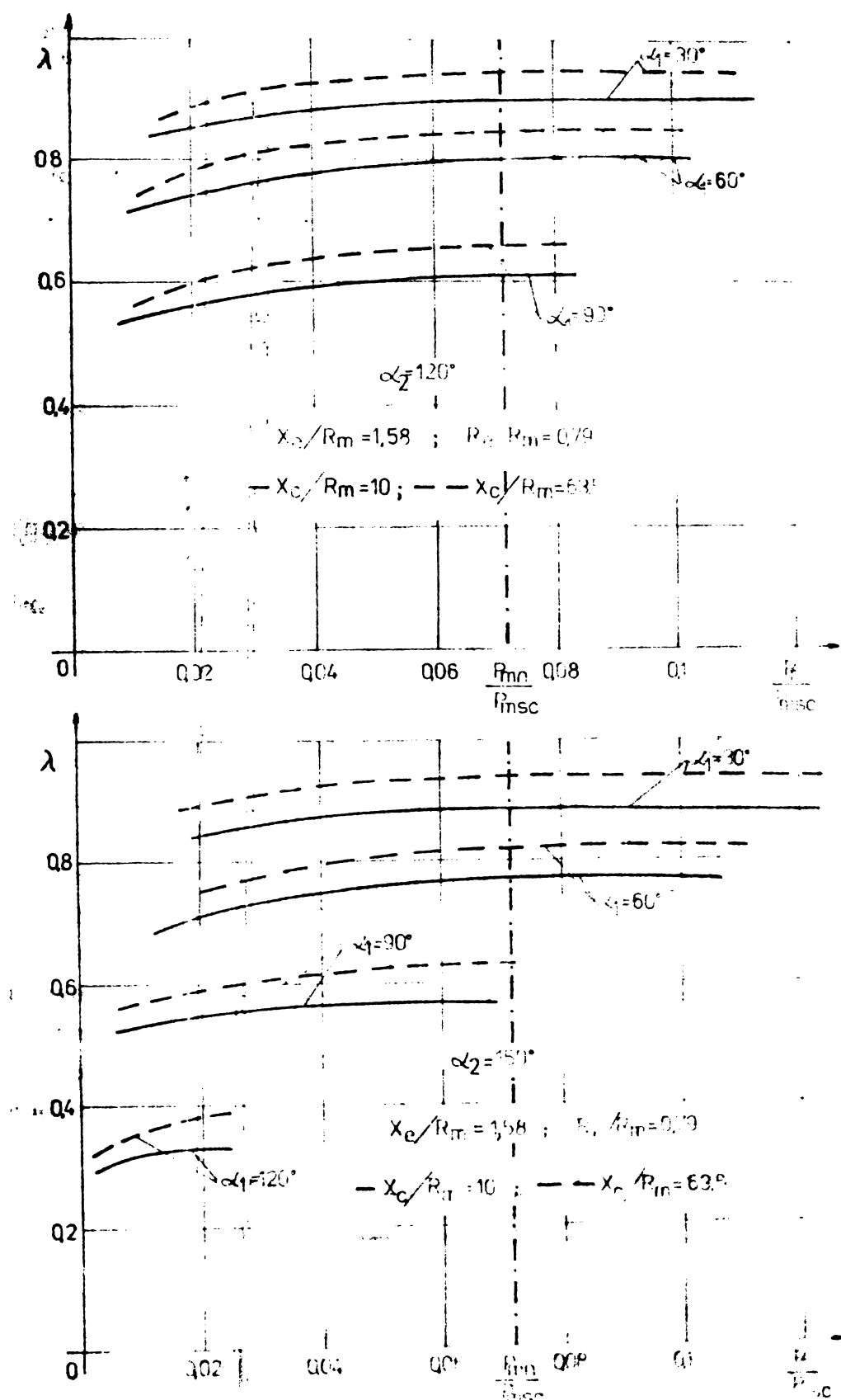


Figura nr.5.24. Dependența factorului de putere globală de raportul  $P_r/P_{msc}$  pentru  $\alpha_1$  și  $X_c/R_m$  variabili la a)  $\alpha_2=120^\circ$  b)  $\alpha_2=150^\circ$ .

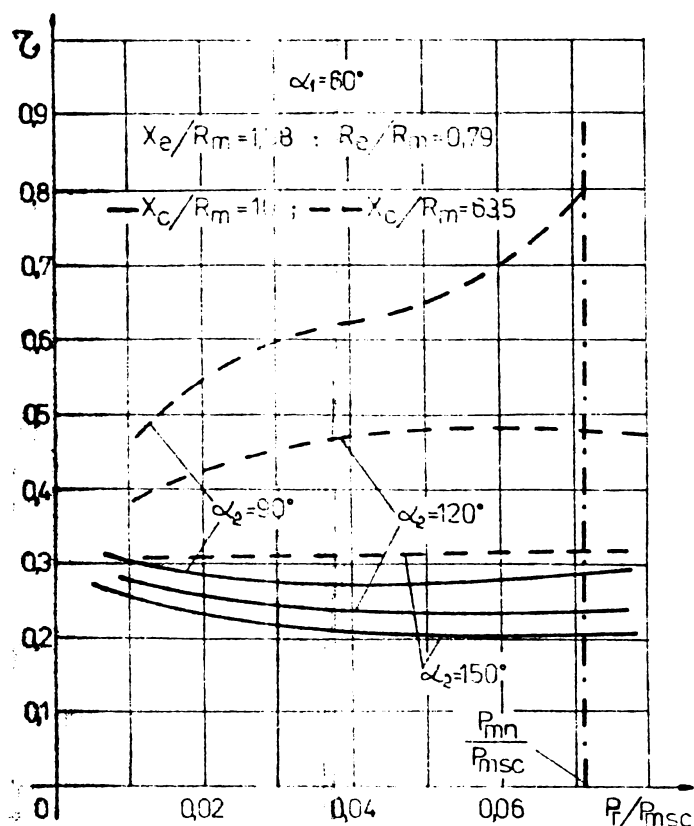
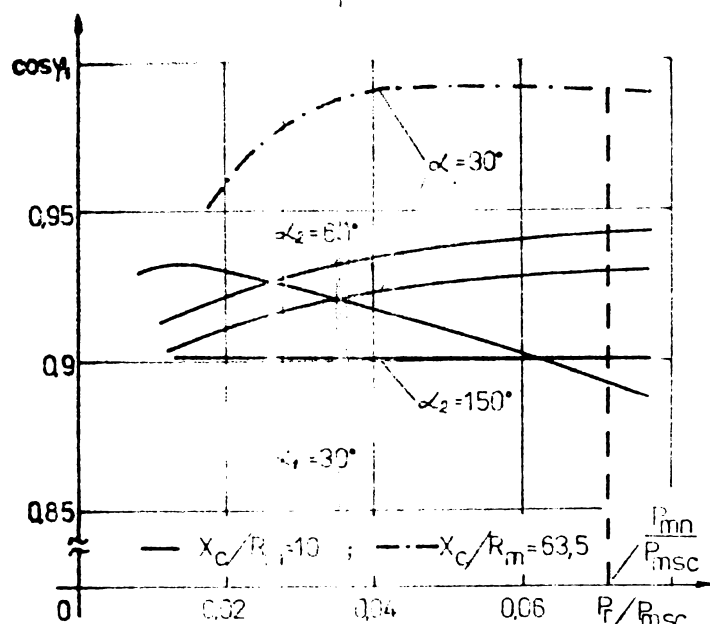
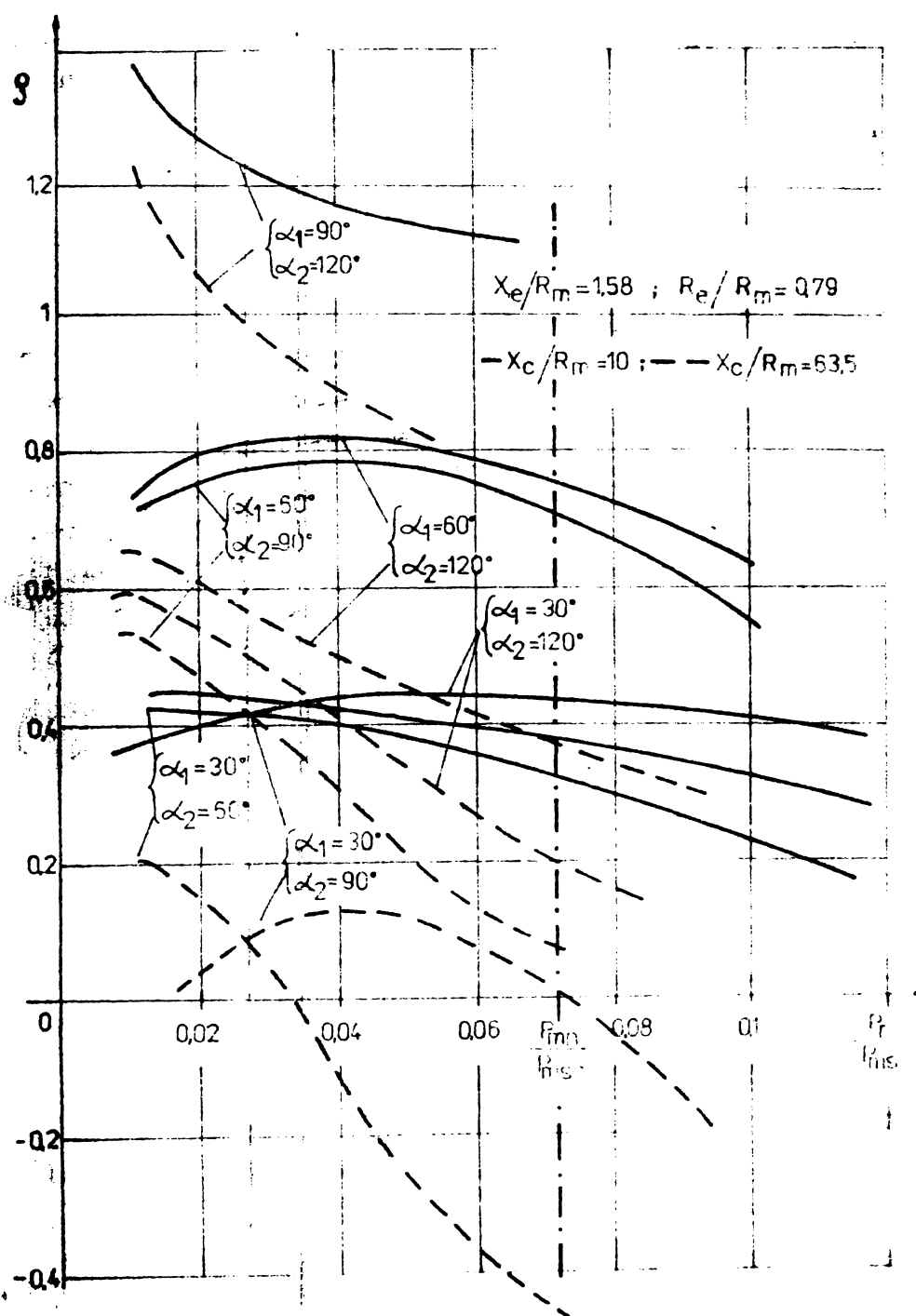


Figura nr.5.25. Variatia factorului de putere al fundamentei  $\cos \varphi_1$  functie de  $P_r/P_{msc}$  la  $\alpha_1 = 30^\circ$  si  $\alpha_2$  si  $X_e/R_m$  variabili

peste 0,9 (inducti si creste cu scade capacitatii de stigere deoarece, la valori mici ale acesteia durata procesului de descarcare si reincarcare a acestia este mai scurta).

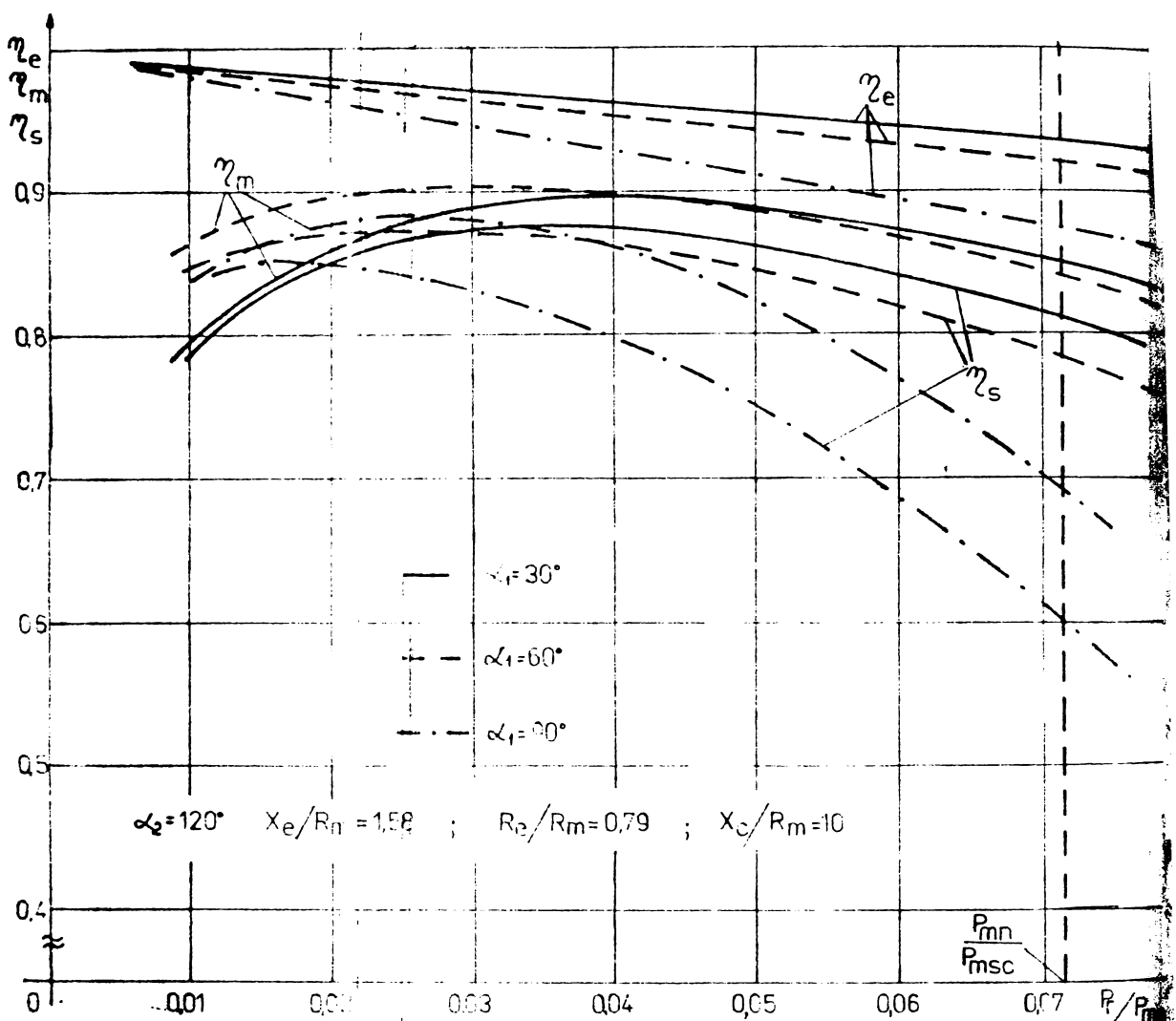
Factorul deformant (figura nr.5.26) este apreciabil la valori mari ale raportului  $X_c/R_m$  si unghiuri de blocare mici. El scade si se menține aproximativ constant cu creșterea capacitatii de stigere si a unghiului de blocare  $\alpha_2$ .



**Figura nr.5.27.** Factorul reactiv  $\gamma$  funcție de  $P_r/P_{\max}$  cu  $\alpha_1$ ,  $\alpha_2$  și  $X_c/R_m$  variabili

Factorul reactiv  $\gamma$  (figura nr.5.27) ne furnizează informații asupra posibilităților de compensare a puterii reactive necesare sistemului printr-o modalitate adecvată de comandă a CSAC cu comutație forțată. Din figură se observă că la  $\alpha_2=120^\circ$  și  $\alpha_1$  variabil, cu creșterea acestuia din urmă necesarul de putere reactivă crește (situație similară cu CSAC fără comutație forțată), de unde obține reducere apreciabilă a lui  $\gamma$  prin devansarea ughialui și blo-

care  $\alpha_2$  (vezi situațiile  $\alpha_1=30^\circ$ ;  $\alpha_2=60^\circ$  și  $\alpha_1=30^\circ$ ;  $\alpha_2=90^\circ$ ) cu nejumul principal că tensiunea maximă pe capacitatea de stinere crește, fiind necesară o supradimensiune la tensiunea a semiconductoarelor de putere ale schemei.



**Figura nr.5.28.** Randamentul sistemului  $\eta_s$ , al motorului  $\eta_m$  și al transmisiei  $\eta_e$  funcție de  $P_r/P_{msc}$  la  $\alpha_2=120^\circ$  și  $\alpha_1$  variabil

De asemenea din punctul de vedere al reducerii necesarului de putere reactivă este mai avantajos a se lucra cu capacitați de stinere reduse (durate ale proceselor de comutare reduse), situație vizibilă clar prin curbele trasate pentru  $X_c/R_m=63,5$ .

Randamentul sistemului în diversele cazuri reprezentate în figura nr.5.28 pentru  $\alpha_2=120^\circ$  prezintă alura cunoscută cu valori maxime cuprinse între (80-90)% și valori nominale în (60-80)% funcție de unghiul de amorsare  $\alpha_1$ .

## CAPITOLUL 6

### COMPARAREA PERFORMANTELOR SISTEMELOR CSAC MONOFAZATE IN PUNTE - MOTOR DE C.C. SERIE. VERIFICARI EXPERIMENTALE

In urma analizei din capitolele 4,5 și 6 a CSAC monofazate în punte de tip SNA, SNA cu compensare în rețea-ua de tensiune alternativă și SNFA ce alimentează o mașină de curent continuu cu excitare serie, se prezintă în con-tinuare o comparație a performanțelor acestora cu scopul evaluării posibilităților de utilizare concretă a lor. Se vor prezenta, de asemenea, rezultatele obținute în urma stu-diului experimental, pe stand, a sistemelor CSAC-motor de c.c. serie mai sus menționate și compararea acestora cu rezulta-te teoretice în vederea validării acestora.

#### 6.1. Performanțele sistemelor CSAC monofazate în punte - motor de c.c. serie

a) Caracteristicile mecanice ale motorului de c.c. serie alimentat de la CSAC de tip SNA (figura nr.3.13), SNA compensat (figura nr.4.9) și SNFA de tip 1C (figura nr.5.11). Compensarea prin capacitate la bornele CSAC are un efect net pozitiv asupra acestora în întreg domeniul de modificare a unghiului de comandă  $\alpha$ . De exemplu, la impedanță maximă din rețea-ua de alimentare considerată, la viteza unghiulară no-minală și la  $\alpha = 90^\circ$  cu  $X_C/R_m = 6,9$  cuplul disponibil al mașinii se triplează. Si la viteză unghiulară redusă ale mașinii de c.c. situația se păstrează, devenind avantajoasă în regim de pornire. Efectul comutației forțate (scăderea unghiului de blocare  $\alpha_2$ ) nu are o influență favorabilă la fel de accentuată ca și compensarea prin capacitate, decât în zona vitezelor unghiulare reduse și a cuplurilor mari.

b) Caracteristicile externe ale CSAC de tip SNA (figura nr.3.15), SNA compensat (figura nr.4.10) și SNFA de tip 1C (figura nr.5.12). Efectul pozitiv al compensării pu-terii reactive cu capacitate la bornele CSAC, în special și, mai puțin, al comutației forțate asupra caracteristicilor me-canice exemplificată anterior este explicabil dacă se urmă-reșc caracteristicile externe ale diferitelor tipuri de CSAC studiate. Printr-o compensare adecvată ( $X_C/R_m = 6,9$ ), la valo-a-

rea maximă a impedanței din circuitul de tensiune alternativă și la unghiul de comandă al CSAC de  $\alpha = 90^\circ$  (figura nr. 4.10.a) se obține o creștere cu aproximativ 10% a tensiunii medii redresate. Efectul în acest caz este cu mult mai accentuat, cum era de așteptat la unghiiurile de comandă și impedețe în circuitul serie de tensiune alternativă reduse (figura nr.4.10.b) unde se pot obține creșteri ale valorii medii a tensiunii redresate de pînă la 30%. Comutația forțata (figura nr.5.12) are un efect redus asupra valorii medii a tensiunii redresate avînd în vedere faptul că pe durata apreciabilă a procesului de comutație care, la schema aleasă, se realizează peste sarcină, există tensiune pe mașina de c.c. Dupa cum s-a precizat și în paragraful nr.5.5, metoda de modificare a valorii medii a tensiunii redresate și la CSAC de tip SNFA schema 1C este cea de variere a unghiului de amortisare  $\alpha_1$ . Astfel, în figura nr.5.12.a și b se observă că în situația în care  $\alpha_1$  este la  $\alpha_2$  variabil, plaja de modificare a caracteristicilor este restrînsă, micșorarea unghiului de blocare  $\alpha_2$  avînd efect asupra acestora numai la valori ridicate ale capacitatei de stingere.

c) Dependența valorii efective a curentului alternativ  $I_{def}$  de valoarea medie a curentului continuu  $I_{dmed}$  la CSAC de tip SNA (figura nr.3.17), SNA compensat (figura nr. 4.11) și SNFA de tip 1C (figura nr.5.21). La aceeași valoare medie a curentului continuu redresat  $I_d$ , puntea de tip SNA necompensată absoarbe cel mai mic curent alternativ de la sursă. Pentru acest caz, și pentru CSAC de tip SNFA dependențele între mărimele de mai sus sunt liniare, puntea SNFA prezintă o creștere ușoară a valorii efective a curentului alternativ cu mărirea capacitatei de stingere. La CSAC de tip SNA compensat, în schimb, componenta principală a curentului absorbit de la sursă o constituie curentul ramurii derivatie de compensație, ceea ce conduce, pentru valurile lui  $X_C/f_m$  considerate în calcul la valori practic duble ale curentului efectiv în comparație cu celelalte tipuri de CSAC.

d) Curentul continuu redresat  $I_d$ . Sub aspectul factorului de vîrf al curentului continuu pentru cele trei cazuri analizate (figurile nr.3.19;4.12 și 5.15) și a dependenței valorii efective a curentului redresat  $I_{def}$  funcție de valoarea medie a acestuia  $I_{dmed}$  (figura nr.3.18;4.13 și 5.14) nu există deosebiri esențiale la cele trei tipuri de

CSAC studiate. Se observă o creștere cu aproximativ 10% la curentul nominal al mașinii de c.c. la puntea cu comutare forțată, explicată prin descărcarea condensatorului de stin-gere peste circuitul de curent continuu. Analiza armonică a curentului redresat  $I_d$  pentru cele trei tipuri de CSAC (figurile nr.3.20;4.14 și 5.16) evidențiază spectre de armonici cu o structură și valori ale armonicilor asemănătoare. Înțuirea cea mai mare asupra acestora o are unghiul de amorsare al punții, o influență mai redusă o are unghiul de blocare la puntea de tip SNA.

e) Tensiunea continuă redresată  $U_d$  nu a fost special analizată decât la CSAC de tip SNA. Ne putem pronunța în acest fel numai asupra factorului de vîrf al ei care ne indică solicitarea maximă la tensiunea izolației mașinii electrice. Dacă la puntea de tip SNA valoarea maximă a tensiunii pe mașină corespunde valorii de vîrf a tensiunii alternative în gol a sursei, la puntea SNA compensată ea este corespunzător mai mare, deoarece tensiunea la bornele CSAC crește (vezi figura nr.4.18). La anumite compensări și la sarcini reduse poate depăși cu 20% valoarea din cazul precedent, bineînțeles dacă și în aceste cazuri se menține reactanța de compensare conectată. La CSAC de tip SNA schema 1C (figura nr.5.17) se observă că factorul de vîrf poate depăși de două ori valoarea efectivă a ei, aceasta datorită procesului de comutare forțată.

f) Curentul alternativ absorbit de la sursa de alimentare  $I_a$ . Sub aspectul factorului de distorsiune al curentului alternativ  $\delta_{I_a}$  (figurile nr.3.21 ;4.15 și 5.19) CSAC de tip SNA necompensat și de tip SNA compensată prezintă valori asemănătoare, scăderea unghiului de blocare  $\alpha_2$  la ultimul tip de schemă având un efect redus de scădere a lui  $\delta_{I_a}$ . Valori sensibil mai ridicate se obțin la puntea de tip SNA compensată (practic duble), cu excepția particularității descrise în paragraful nr.4.5 de scădere bruscă a lui  $\delta_{I_a}$  în jurul valoii efective a curentului alternativ absorbit de la sursă egală cu cea a curentului ramurii derivărie de compensare. Referitor la spectrul armonicilor curentului alternativ  $I_a$ , la CSAC de tip SNA necompensat (figura nr.3.21), conținutul de fundamentală crește cu sarcina, fiind mai mic în regimul de conțigie întreruptă. În schimb, la puntea SNA compensată (figura nr.4.16), situația este inversă, care este să la reactanțe de compensare reduse, deoarece, în regim de sarcină redusă, componenta principală a curentului absorbit

o constituie cel sinusoidal al ramurii derivație de compensare. La CSAC de tip SNFA schema 1C (figura nr.5.20), la modificarea lui  $\alpha_1$ , d.p.d.v. al armonicilor se păstrează proprietățile bunăii SNA în general, fără ca modificarea unghiului de blocare  $\alpha_2$  să aibă influențe apreciabile.

g) Ciderea de tensiune relativă  $\Delta U_e$  pe impedanța serie a circuitului de tensiune alternativă.  $\Delta U_e$  este esențială în cazul utilizării sistemelor de convertire studiate în tracțiunea de medie putere, deoarece prin intermediul ei se poate stabili lungimea tronsoanelor alimentate de la aceeași substație de transformare. La CSAC de tip SNA necompensat (figura nr.3.24) și de tip SNFA schema 1C (figura nr.5.23), d.p.d.v. al lui  $\Delta U_e$  nu sunt diferențe sensibile. Un efect net pozitiv, se constată la compensarea prin conectarea reactantei capacitive la bornele CSAC (figura nr.4.18), caz în care cu mijloace relativ simple se poate asigura funcționarea în întreg domeniul de încărcare al mașinii electrice cu valori ale lui  $\Delta U_e$  negative. Există pericolul însă, ca la sarcini sau unghiuri de comandă, la fel ca și la impedanțe reduse în circuitul serie de tensiune alternativă, la menținerea lui  $X_c$  constant să fie necesară o supradimensionare la tensiunea a semiconductoarelor CSAC.

h) Factorul de putere global  $\lambda$ . La CSAC de tip SNA necompensat (figura nr.3.25)  $\lambda$  este aproximativ constant în plaja de variație a încărcării mașinii electrice de la 25% la puterea ei nominală, scăzind apreciabil cu creșterea unghiului de comandă  $\alpha$ . La punctul de tip SNA compensată (figura nr.4.19) la valori mari ale lui  $X_c$  efectul compensării se resimte prin restrângerea domeniului precizat anterior și scăderea neaccentuată a valorilor maxime pentru  $\lambda$ . La valori reduse ale lui  $X_c$  însă, se obține o variație practic liniară a factorului de putere global cu valori reduse ale lui (<sub>sub 0,4</sub> la puterea nominală la arbore  $P_{mn}$ ) și o influență mai redusă a lui  $\alpha$ . CSAC de tip SNFA prezintă d.p.d.v. analizat situația cea mai favorabilă (figura nr. 5.24) cu valori posibile mai mari ale lui  $\lambda$  cu (10-15)% și cu valori constante într-un domeniu larg de funcționare.

i) Factorul de putere reactiv  $\varphi$ . La CSAC de tip SNA necompensat (figura nr.3.26) variația lui  $\varphi$  indică un necesar apreciabil de putere reactivă a sistemului; la  $\alpha = 90^\circ$  și impedanță maximă din circuitul serie puterea reactivă consumată este de două ori mai mare decât cea activă.

**Compensarea puterii reactive** (figura nr.4.21), are, evident, un efect pozitiv asupra lui  $\delta$ , pentru situația exemplificată mai sus puterea reactivă consumată se poate reduce la o treime. În acest caz la sarcini reduse, este de asemenea ușor de înțeles că sistemul furnizează putere reactivă sursei. La puntea de tip SNFA schema 1C (figura nr.5.27), la o capacitate de stingere de valoare ridicată și pentru anumite combinații ale lui  $\alpha_1$  și  $\alpha_2$  (de exemplu  $\alpha_1=90^\circ$  și  $\alpha_2=120^\circ$ ) se pot obține reduceri ale factorului reactiv la jumătate, față de primul caz analizat.

j) Factorul deformant  $\xi$ . Față de situația de la CSAC de tip SNA necompensat (figura nr.3.27) la compensare cu  $X_c$  mic (figura nr.4.22),  $\xi$  poate scădea la jumătate și chiar mai mult la sarcini reduse. La puntea de tip SNFA schema 1C (figura nr.5.26) micșorarea unghiului  $\alpha_2$  conduce la creșterea factorului deformant  $\xi$ .

Randamentul sistemului  $\eta_s$ . Calculele efectuate indică o scădere a randamentului sistemelor cu CSAC de tip SNA compensat (figura nr.4.23) și de tip SNFA schema 1C (figura nr.5.28), (maxim 5%) față de cazul punții de tip SNA necompensat (figura nr.3.29), explicabilă prin creșterea pierderilor în impedanță serie.

Observațiile făcute în prezentul paragraf pot servi la abordarea proiectării concrete a unui sistem de convertire a energiei pentru tractiunea de medie putere. Evident că, dependent de criteriile impuse (simplitatea echipamentului, factor de putere global maxim, cădere de tensiune pe impedanță din circuitul de tensiune alternativa minimă, etc.) se poate alege sau alta din structurile studiate. Din analiza efectuată rezultă că sistemele CSAC de tip SNA cu compensare și de tip SNFA schema 1C prezintă performanțe sensibil egale, superioare însă punții de tip SNA fără compensare. Nu trebuie însă pierdut din vedere că schemele de tip SNA cu comutăție forțată independentă de curentul de sarcină pot înlătura multe din deficiențele semnalate în capitolul 5, conducând la performanțe lobale net superioare tuturor schemelor anterioare analizate.

## 6.2. Verificări experimentale ale rezultatelor teoretice obținute

Cu scopul determinării experimentale a performanțelor sistemelor CSAC monofazate în punte-motor de c.c. se-a analizat în capitolele 3,4 și 5 și a conceput și realizat un stand cu schema electrică redată în figura nr.6.1. Standul de probă are în componență sa :

- mașina de c.c. serie M.c.c. de tip SSTN 20 kW/550 V cuplată cu un generator de c.c. G.c.c. cu excitație separată ce debitează peste rezistențele de sarcină  $R_s$ , cu posibilitatea încărcării mașinii de lucru M.c. prin modificarea curentului de excitație al G.c.c.;
- circuitul de forță ale convertoarelor statice analizate (CS) și anume CSAC monofazat în punte de tip SNA și SINFA cu schemele electrice desfășurate din figura nr.6.2.;
- dispozitivele de comandă electronice de mică putere (DC) aferente convertoarelor statice analizate, cu schemele bloc redată în figura nr.6.3 și schemele electrice detaliate cuprinse în anexa nr.2;
- impedanță variabilă ( $R_e, X_e$ ) în trepte, în circuitul de alimentare ai convertoarelor statice studiate;
- inductivitate de filtrare ( $L_f$ ), variabilă în trepte, în circuitul de alimentare al mașinii de c.c. serie;
- grupul de compensare ( $R_c, C_c$ ), în derivăție, la bornele de alimentare ale CS cu variația în trepte a lui  $R_c$  și  $C_c$ ;
- aparatura de măsură clasică necesară determinării principalelor mărimi electrice și mecanice (turația grupului) necesare evaluării performanțelor sistemelor, conform schemei electrice din figura nr.6.1.

Din mai multe motive (posibilitate simplă de măsură a puterii reactive corespunzătoare fundamentalei, economie de energie, protecția muncii în timpul probelor) încercările au fost efectuate la tensiunea redusă de 220 V. Bineînțeles că standul descris permite efectuarea măsurărilor în întreaga piajă de comandă a CS, cu modificarea independentă a impedanței  $R_e, X_e$ , a inductivității de filtrare  $L_f$  a capacitatii de compensare  $C_c$  și a încărcării mașinii de c.c. serie, ceea ce a deținut să realizeze cu scopul studiului echipamentelor tiristorizate destinate tractiunii mici.

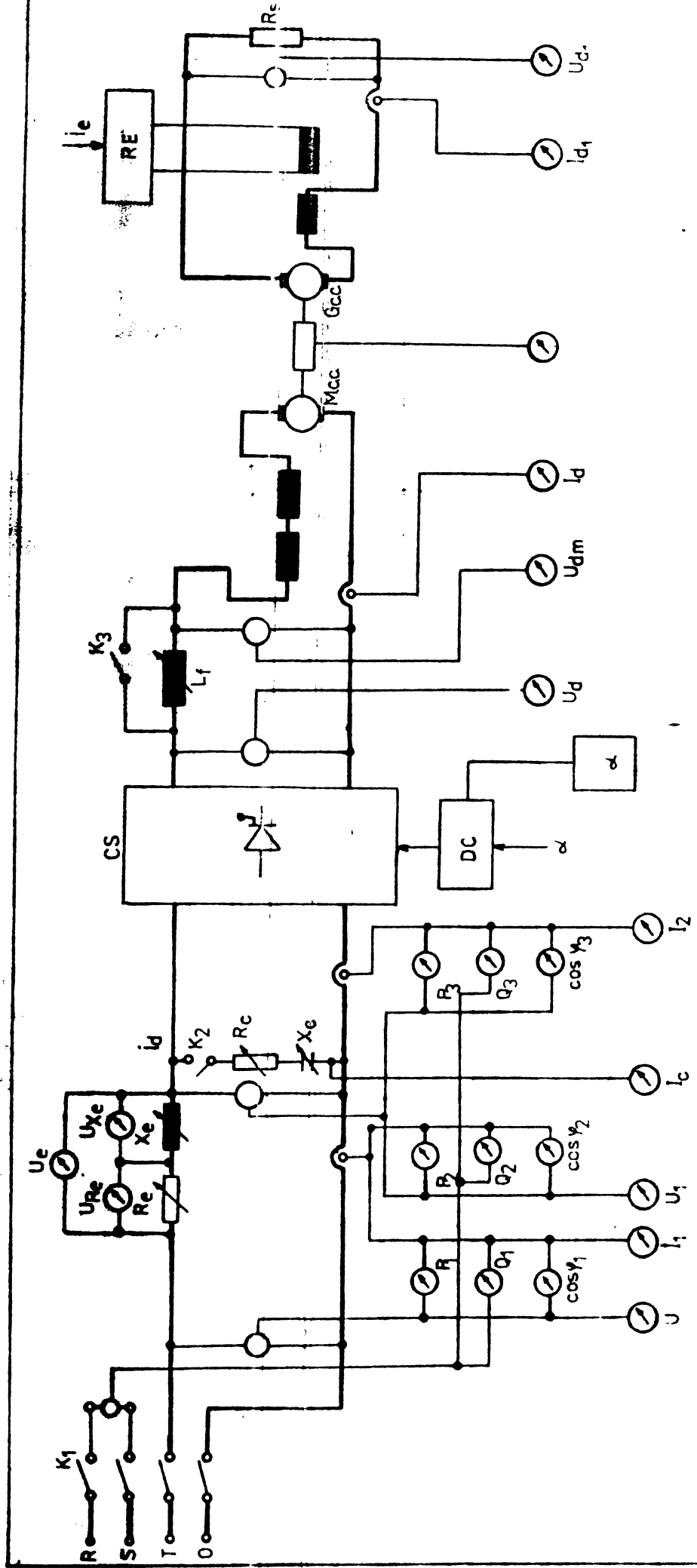
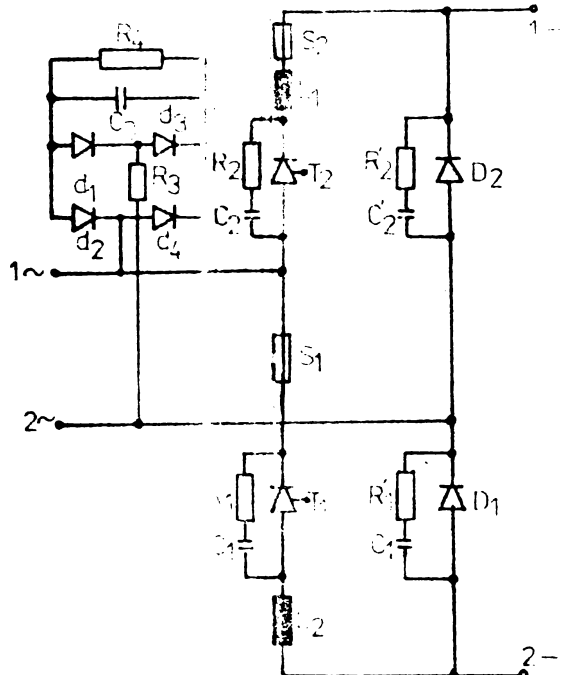
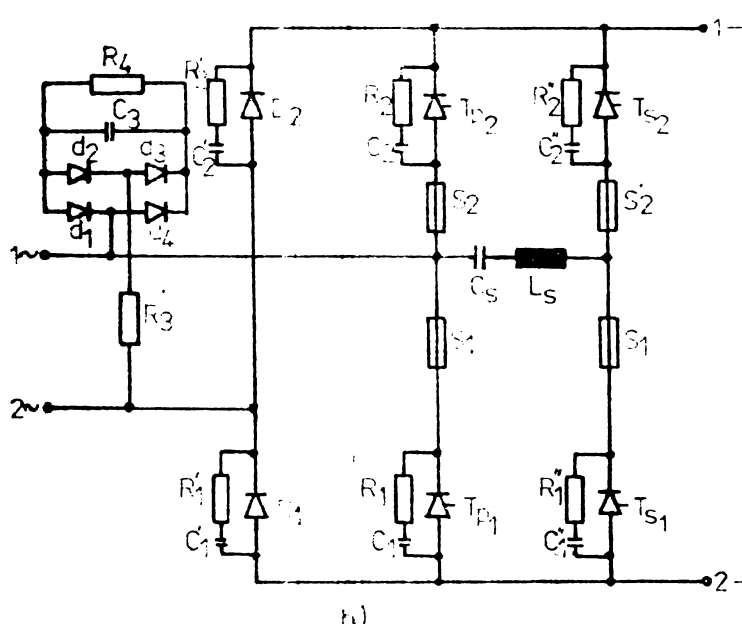


FIGURA NR.6.1  
SCHEMA ELECTRICĂ A STANDULUI DE PROBĂ  
PENTRU SISTEMUL  
CSAC MONOFAZATE – MOTOR DE CC SERIE



a)



b)

a) pentru CSAC de tip SNA necompensat:

$$\begin{cases} \alpha = 90^\circ \\ X_f/R_m = 0 \end{cases} \quad \begin{cases} \alpha = 90^\circ \\ X_f/R_m = 66 \end{cases} \quad (6.3)$$

b) pentru CSAC de tip SNA compensat:

$$\begin{cases} \alpha = 90^\circ \\ X_f/R_m = 0 \\ R_c/R_m = 0.1, \text{ iar} \end{cases} \quad (6.4)$$

Figura nr.6.2.  
Circuitele de forță  
ale CSAC monofazate  
de tip a)SNA b)SNFA

Pentru compararea rezultatelor teoretice cu cele experimentale a fost necesară reluarea rulărilor pe calculator a programelor de calcul stabilite în capitolele 3,4 și 5 la tensiunea de alimentare de :

$$U' = \frac{U}{U_{mn}} = 0,4 \quad (6.1)$$

înital calculele efectuindu-se la  $U' = 1$ . Pentru toate situațiile analizate:

$$\begin{cases} X_e/R_m = 0,74 \\ R_e/R_m = 0,37 \end{cases} \quad (6.2)$$

Particularizând, pentru fiecare din tipurile de CSAC analizate, s-au impus următoarele date :

$$\left\{ \begin{array}{l} X_c/R_m = 27,6 \\ X_c/R_m = 13,8 \\ X_c/R_m = 6,9 \end{array} \right. \quad (6.5)$$

c) pentru CDAc monofazat în punte de tip SRFA, în **toate** cazurile  $X_t/R_m = 0$ , unghiurile de comandă ale CS fiind:

$$\left\{ \begin{array}{l} \alpha_1 = 30^\circ \\ \alpha_2 = 90^\circ \end{array} \right. \quad \left\{ \begin{array}{l} \alpha_1 = 30^\circ \\ \alpha_2 = 120^\circ \end{array} \right. \quad \left\{ \begin{array}{l} \alpha_1 = 60^\circ \\ \alpha_2 = 90^\circ \end{array} \right. \quad \left\{ \begin{array}{l} \alpha_1 = 60^\circ \\ \alpha_2 = 120^\circ \end{array} \right. \quad (6.6)$$

pentru fiecare din perechile de valori ale lui  $\alpha_1$  și  $\alpha_2$  s-au ales valorile :

$$\left\{ \begin{array}{l} X_c/R_m = 10; 15,8; 32; 63,5 \\ R_c/R_m = 0,1 \end{array} \right. \quad (6.7)$$

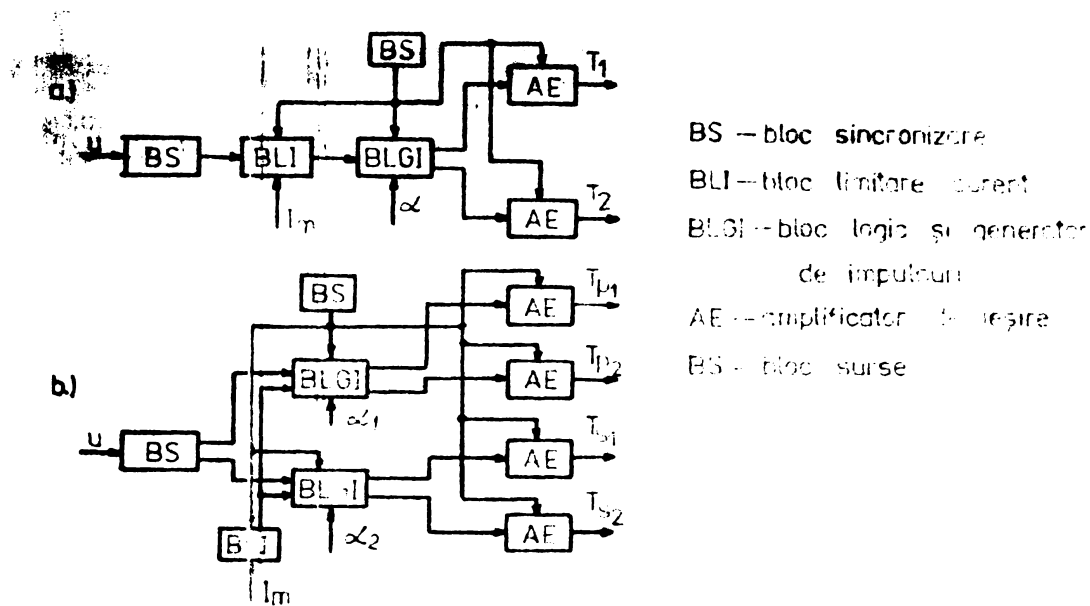
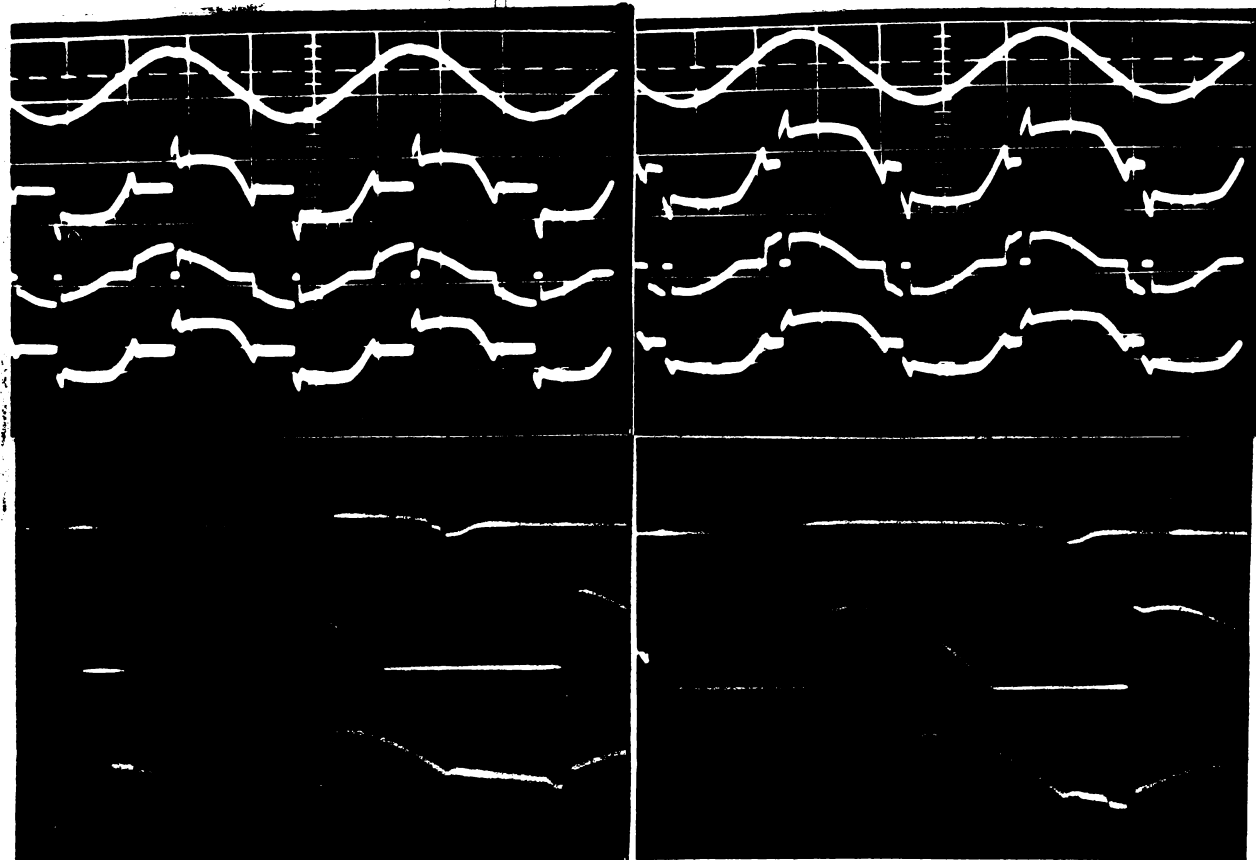
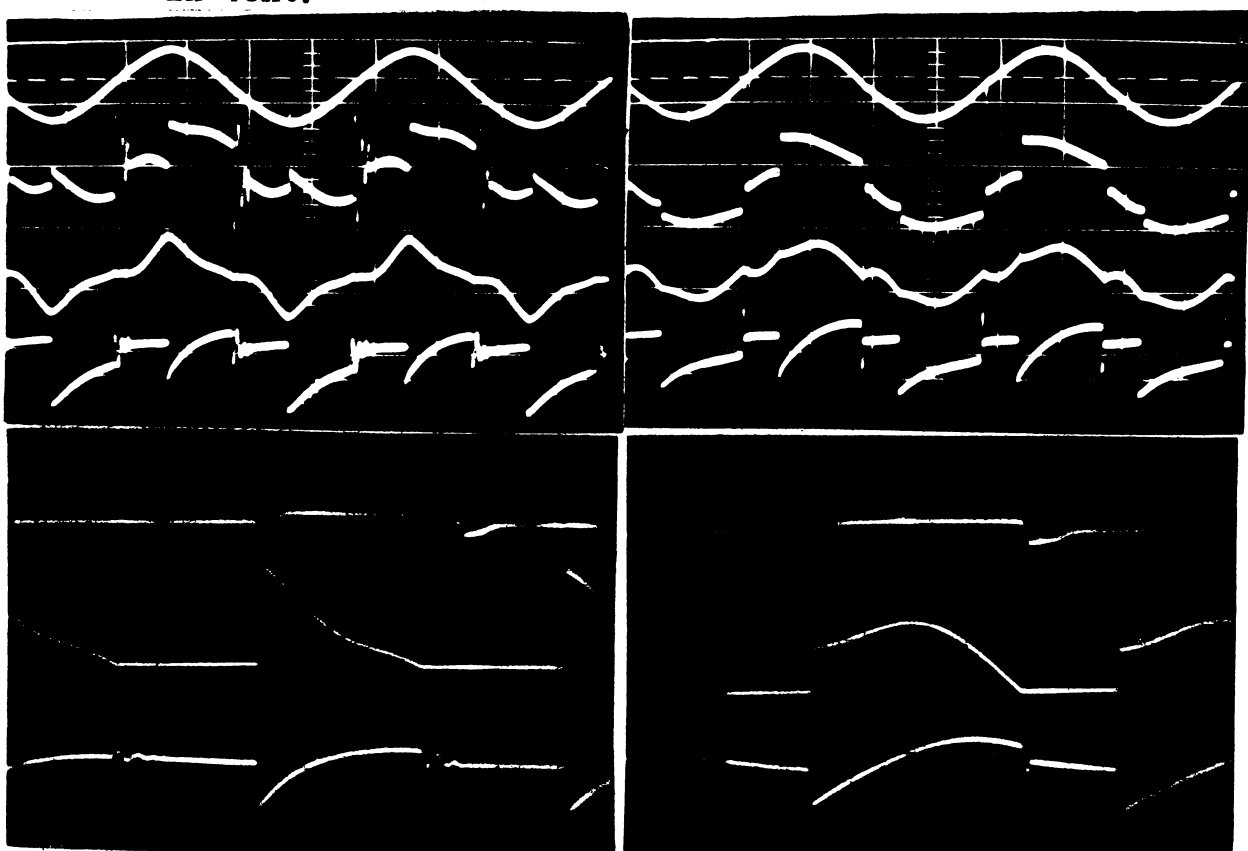


Figura nr.6.3. Schemele bloc de comandă ale monofazate în punte de tip a) a.v, b) SRFA

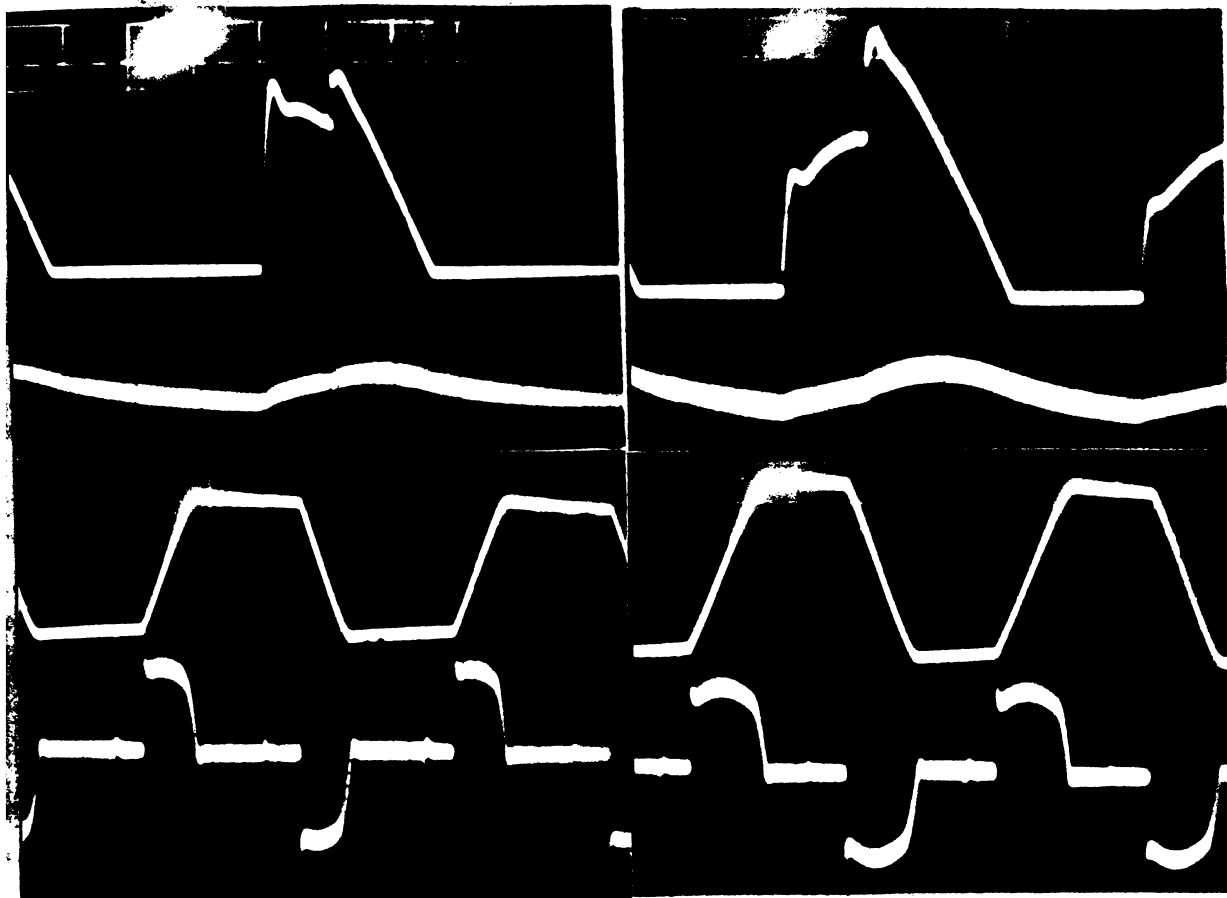
Pentru fiecare s-a redat, prin oscilogramă, forme de undă ale primei părților mărimii electrice ale sistemului, la utilizarea CDAc necompensat (figură nr. 6.4), SNA compensat (figură nr.6.5) și SRFA (figură nr.6.6) pentru cazurile menționate în textul figurilor. Pentru primele două tipuri de CDAc mărimile conținute în oscilograme sunt (în ordine de sus în jos): tensiunea de alimentare a



**Figura nr.6.4.** Forme de undă pentru CSAC monofazat în punct de tip SNA la  $I_d=I_{mn}$  pentru a)  $\alpha=90^\circ$ ; b)  $\alpha=60^\circ$ . Explicații în text.



**Figura nr.6.5.** Forme de undă pentru CSAC monofazat în puncte de tip SNA cu compensare la  $I_d=I_{mn}$  și  $X_c/R_m=10$  pentru a)  $\alpha=90^\circ$ ; b)  $\alpha=60^\circ$ . Explicații în text.



**Figura nr.6.6.** Forme de undă pentru CSAC monofazat în punte de tip SNFA pentru  $I_d=1$  la a)  $\alpha_1=90^\circ$ ;  $\alpha_2=120^\circ$  și b)  $\alpha_1=30^\circ$ ;  $\alpha_2=90^\circ$ . Explicații în text.

**sistemului**, curentul alternativ absorbit de la sursă, tensiunea alternativă la bornele CSAC, curentul alternativ absorbit de CSAC (la cel de tip SNA necompensat identic cu curentul absorbit de la sursă), impulsurile de comandă ale tiristoarelor, tensiunea și curentul redresat, iar pentru CSAC de tip SNFA : tensiunea și curentul redresat și tensiunea și curentul capacității de stingere.

La CSAC de tip SNA necompensat (figura nr.t.4) se pot identifica clar zonele de comutăție în formă de variație a tensiunii la bornele acestuia. Prezența capacității de compensare la bornele CSAC (figura nr.6.5) aduce după unele regimurile de comutăție forțată autonomă, de durată foarte scurtă, ceea ce justifică neglijarea lor. Se observă în aceste cazuri că imediat după apariția impulsului de comandă pe tiristor apare tensiunea redresată pe sarcină fără pauza corespunzătoare comutăției la CSAC de tip SNA necompensat.

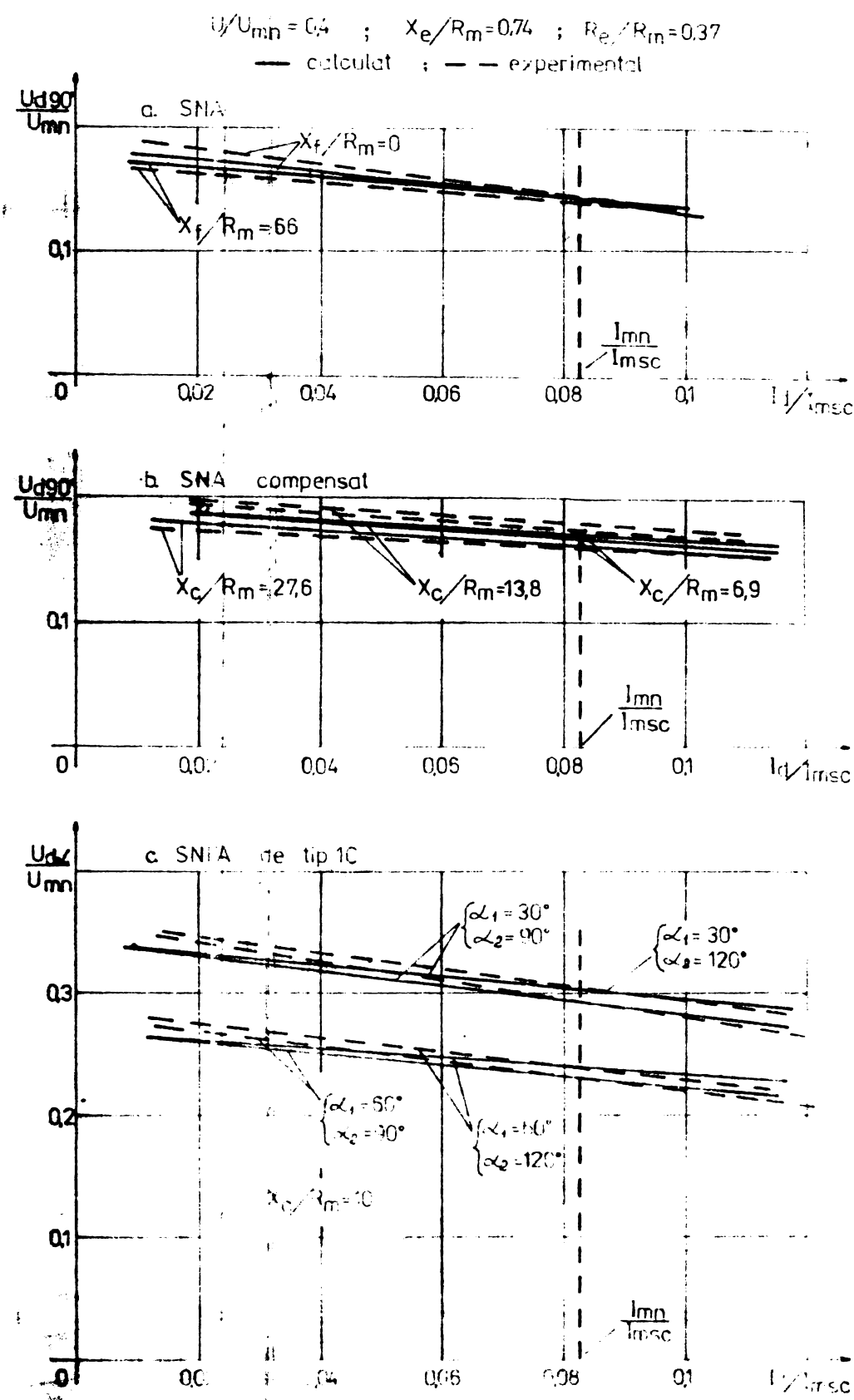
Comutăția forțată în curent alternativ este evidențiată în figura nr.6.6. Devansarea momentului blocării (figura nr.6.6.b) conduce la creșterea tensiunii pe capacitatea

de stingere și implicit la al tensiunii redresate.

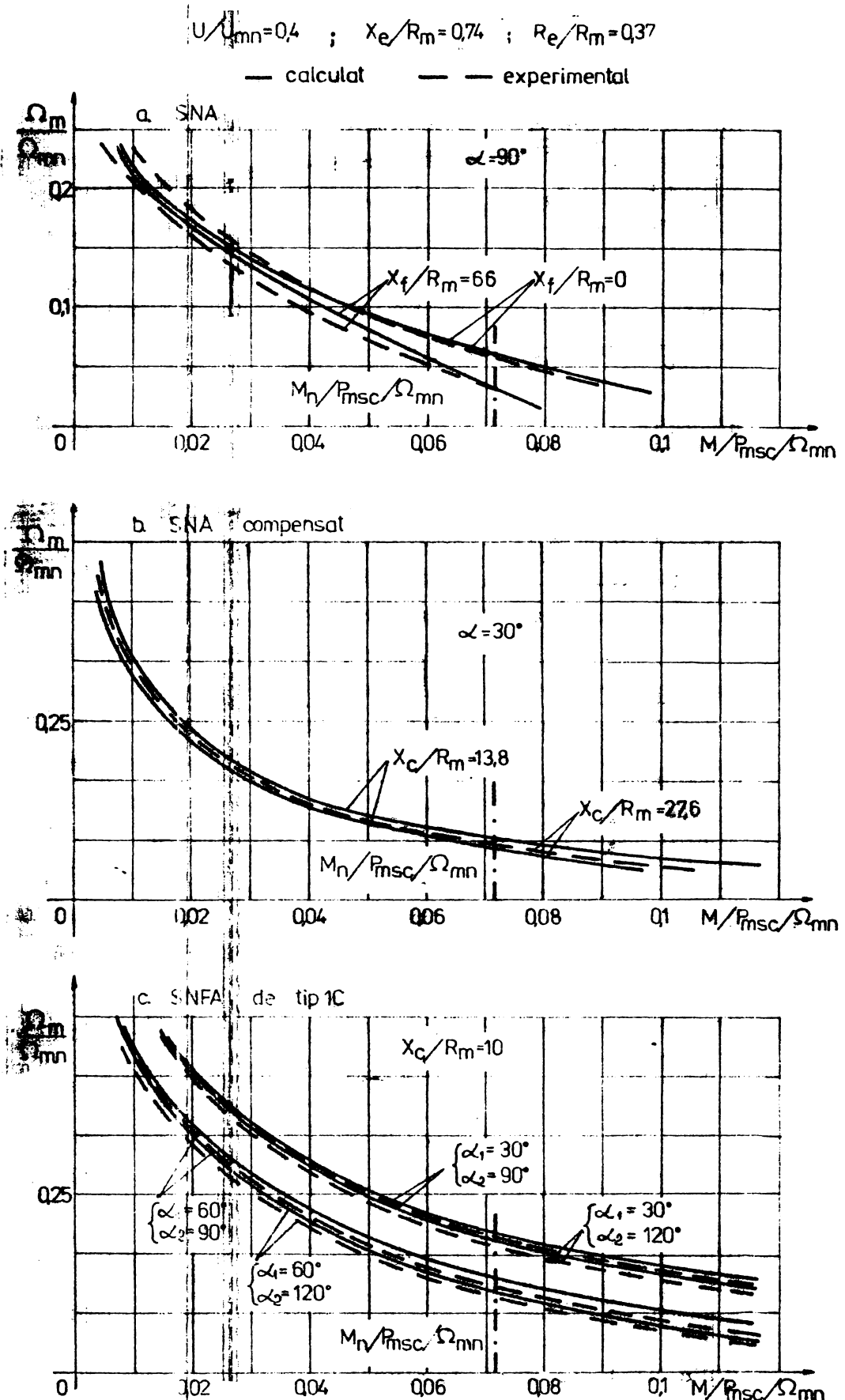
Măsurările experimentale efectuate pentru cazurile menționate mai sus evidențiază o bună concordanță cu rezultatele calculate obținute. În figurile nr. 6.7-6.12 s-au sintetizat, selectiv, curbele de variație ale unor mări caracteristice sistemelor studiate calculate și experimentale și anume: caracteristicile externe ale CSAC, cele mecanice ale mașinii electrice, factorul de putere global, cel reactiv, randamentul și căderea de tensiune pe impedanța din circuitul de alimentare. În general se poate afirma că:

- eroarea în curenti și tensiuni sunt în medie de 3% și nu mai mari de 5%;
- erorile în puteri, cupluri și turații sunt în medie de 5% și nu mai mari de 10%;
- erori mai mari s-au obținut în mărimile de curent alternativ datorită problemelor de măsură ce apar;
- randamentele măsurate au fost sistematic mai reduse decit cele calculate, acesta deoarece în calcule au fost neglijate protecțiile CSAC;
- valorile măsurate pentru factorul reactiv s-au obținut de asemenea sistematic mai mici având în vedere că prin modul de măsură adoptat s-a obținut numai puterea reactivă corespunzătoare fundamentaliei.

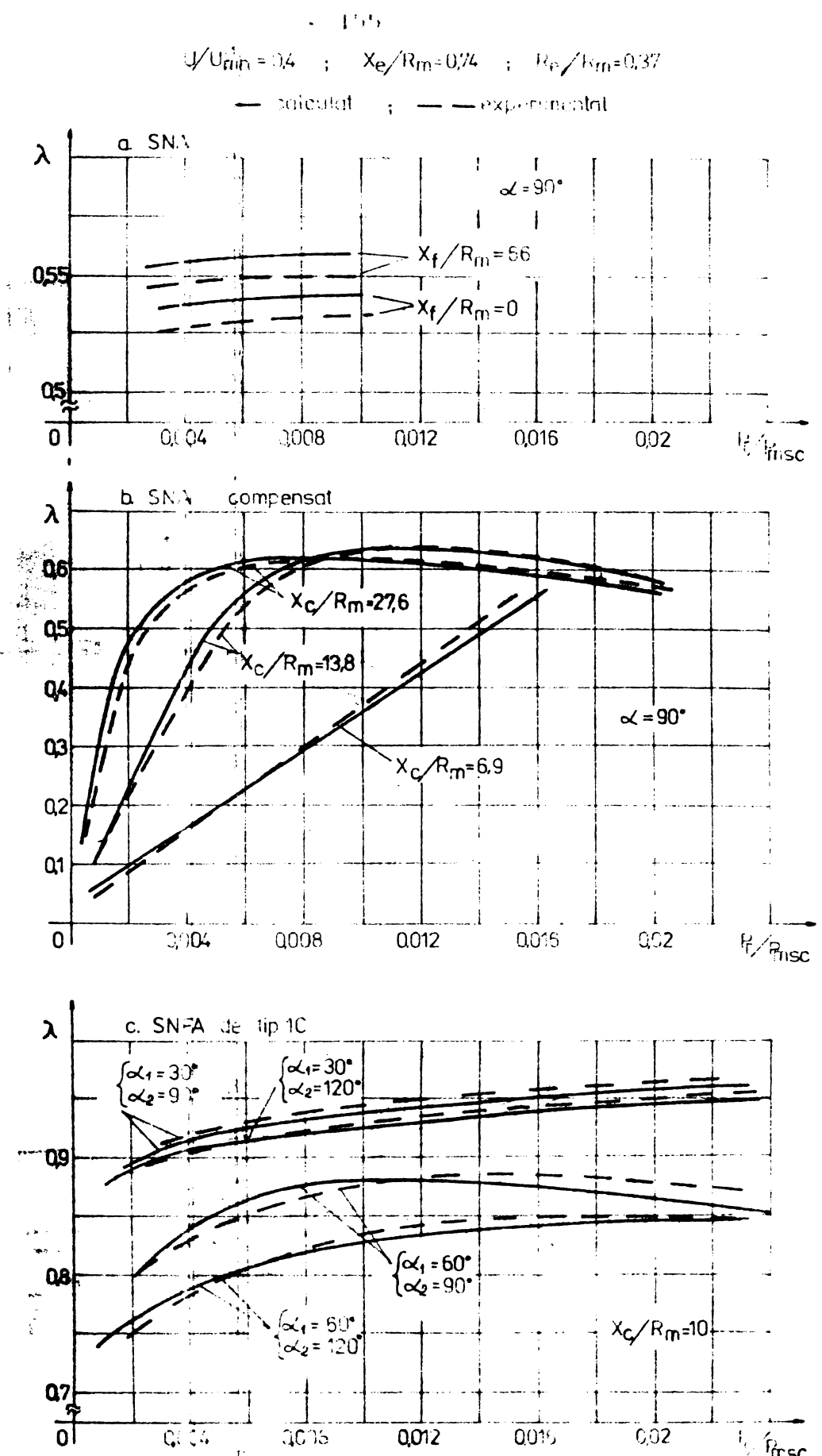
S-au efectuat și măsurători privind spectrele de armonici ale mărimilor de curent continuu ( $I_d$ ) și curent alternativ ( $I_e$ ) cu un analizor de tip RFT 01012 cu aparatul de afișaj SG1, obținându-se o bună concordanță cu calculele cu excepția armonicilor ce nu au putut fi măsurate datorită frecvențelor caracteristice de intrare ale analizorului (la  $I_e$  armonica a 3-a și a 7-a; iar la  $I_d$  armonica 2,12 și 14).



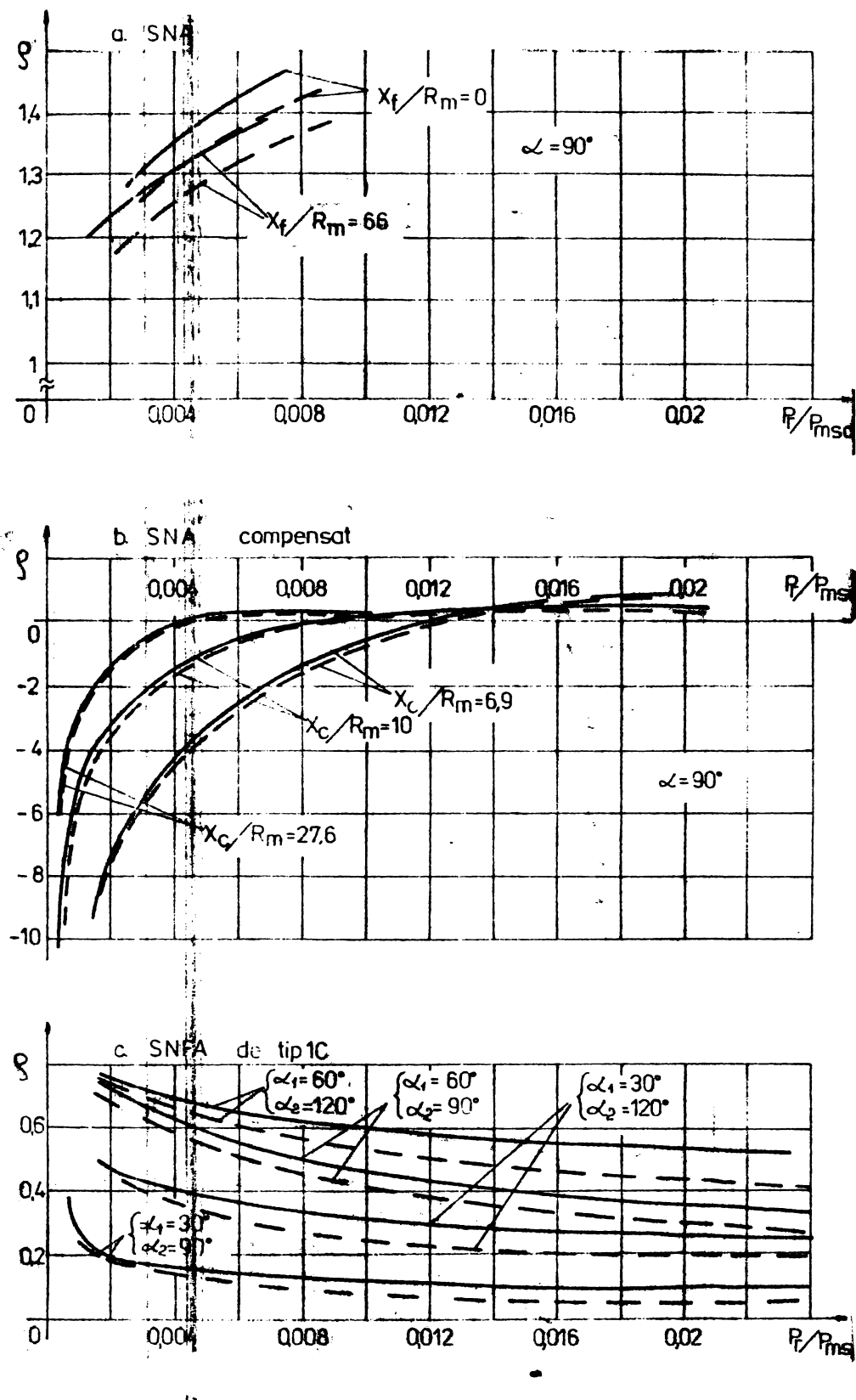
**Figura nr.6.7.** Caracteristicile externe pentru  $U/U_{mn} = 0.4$  calculate și experimentate pentru CNA monofazate de tip a) . NA ; b) SNA compensat ; c) SNA de tip 1C



**Figura nr.6.8.** Caracteristicile mecanice calculate si experimentale ale motorului de c.c. serie la  $U/U_{mn}=0,4$  alimentat de la CSAC de tip a.) SNA; b.)SNA compensat; c.)SNFA de tip 1C



**Figura nr.6.9.** Factorul de putere global  $\lambda$  funcție de  $r/R_{msc}$  la  $U/U_{mn} = 0,4$ , calculat și măsurat pentru sistemele motor de c.c. serie-SINAC monofazat de tip a)SNA; b)SNA compensat; c)SNFA de tip 1C



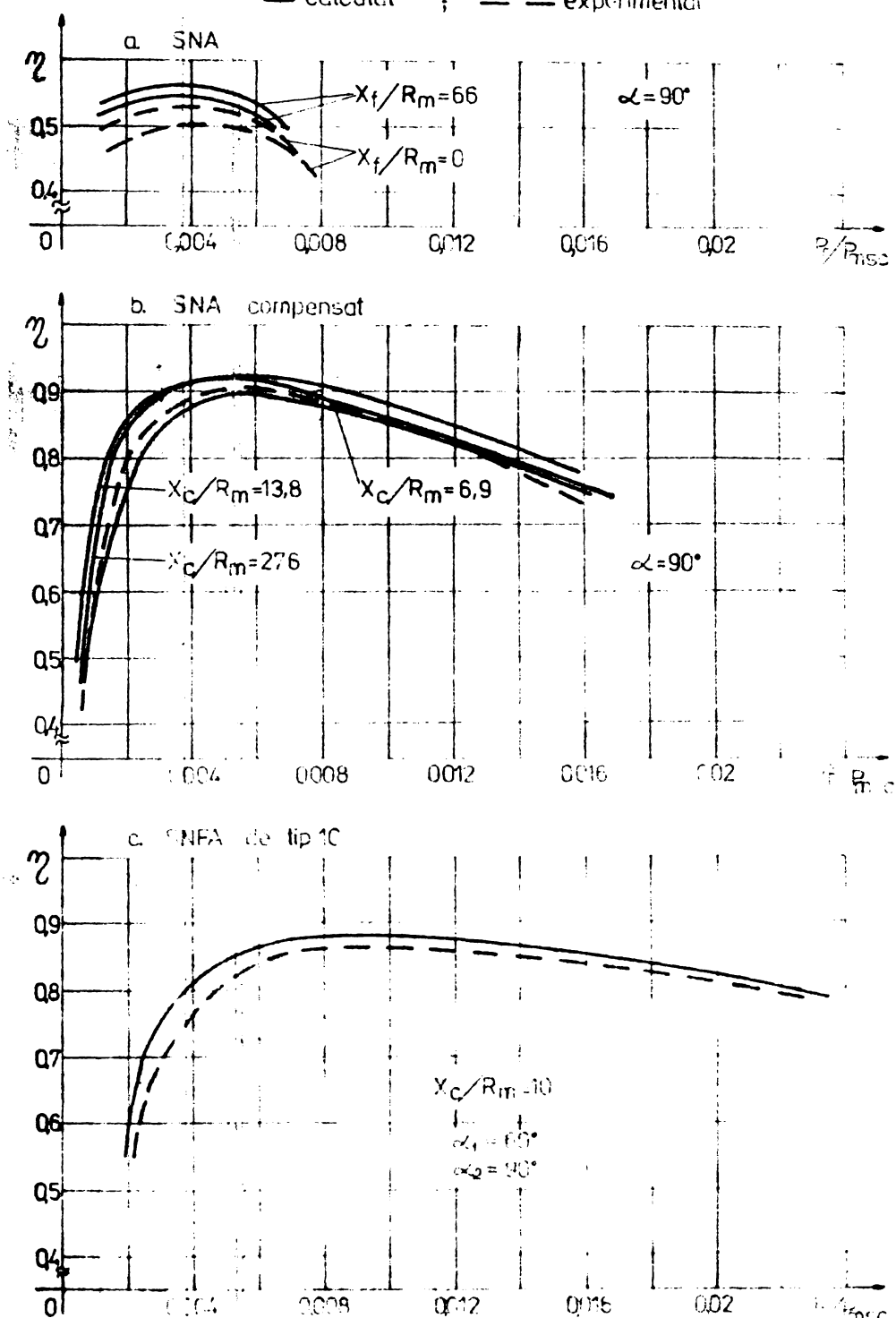
$$U/U_{mp} = 0.4 ; X_e/R_m = 0.74 ; R_e/R_m = 0.37$$

— calculat ; — — experimental

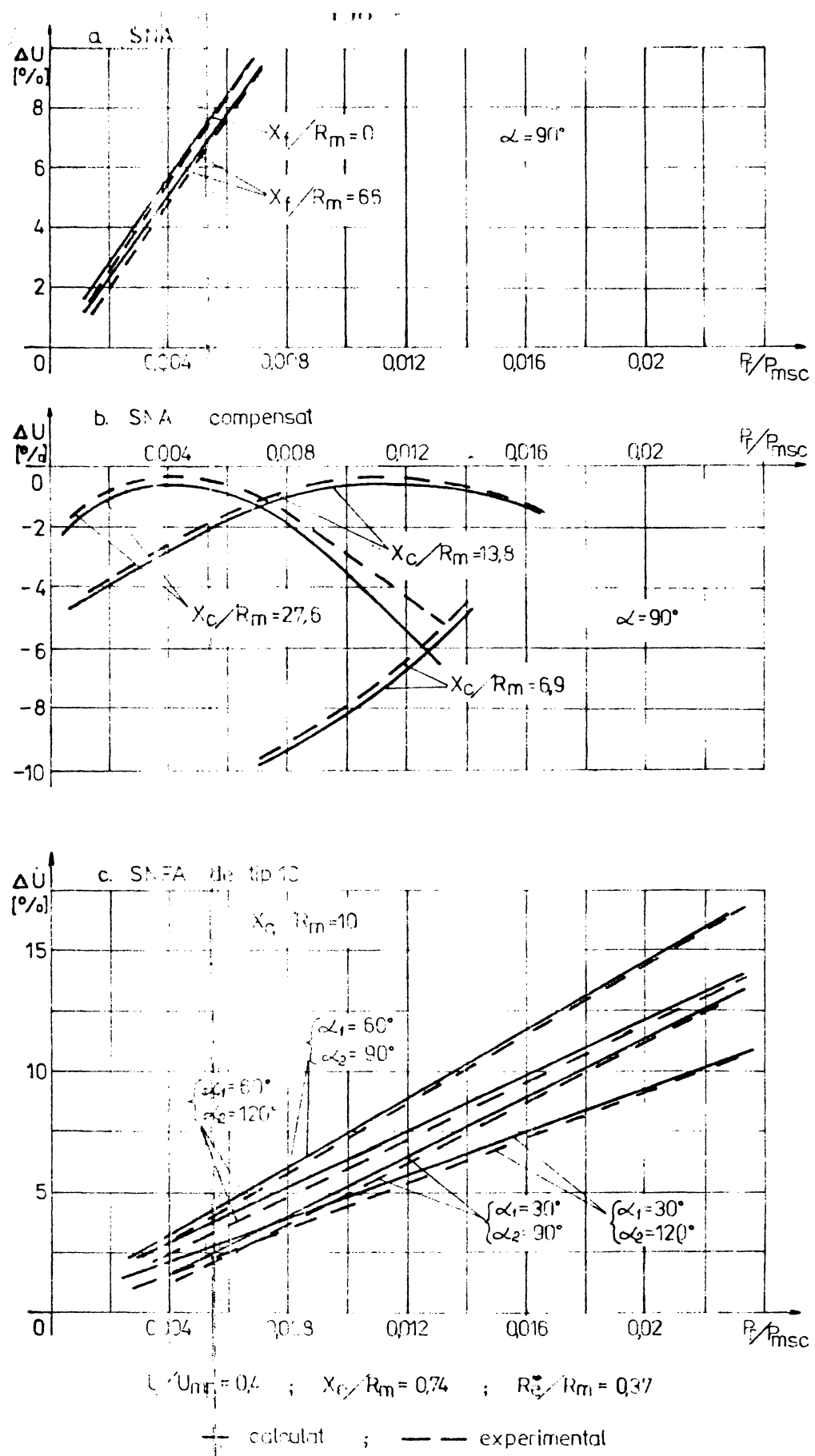
**Figura nr.6.10.** Factorul reactiv  $\psi$  în funcție de  $P_r/P_{msc}$ , la  $U/U_{mp} = 0.4$ , calculat și măsurat, pentru sistemele motor de c.c. serie-CSAC monofazat de tip a)SNA, b)SNA compensat,c)SNFA de tip 1C

$$U/U_{mn} = 0,4 ; \quad X_e/R_m = 0,74 ; \quad R_e/R_m = 0,37$$

— calculat ; — — experimental



**Figura nr.6.11.** Randamentul  $\eta$  funcție de  $P_r/P_{msc}$  la  $U/U_{mn} = 0,4$ , calculat și măsurat, pentru sistemele motor de c.c. serie-CSAC monofazat de tip a)SNA, b)SNA compensat, c)SNFA de tip 1C.



**Figura nr.6.12.** Cadrarea dc tensiune relativă pe impedanță din circuitul de curent alternativ  $\Delta U \%$  funcție de  $P_r/P_{msc}$ , la  $U'/U_{mn} = 0.4$ , calculat și măsurat pentru sistemele motor de c.c. serie-CSAC monofazat de tip a)SNA,b)SNA compensat,c)SNFA de tip 1C.

## CAPITOLUL 7

### REALIZĂRI INDUSTRIALE PRIVIND SISTEMELE DE TRACȚIUNE DE MEDIE PUTERE ÎN CURENT ALTERNATIV

#### 7.1. Introducere

Cu scopul experimentării sistemului de convertire propus pentru tracțiunea de medie putere, domeniul vizat a fost cel al tracțiunii miniere care oferă multiple avantaje și anume :

- puteri instalate în locomotivele miniere relativ reduse (20 - 100 kW);
- ritmul de punere în funcție a unor noi linii de tracțiune este mai ridicat decât în cea urbană sau uzinală, deci nu se pune problema înlocuirii echipamentelor specifice tracțiunii în curenț continuu;
- problemele legate de influențele sistemelor a supra rețelelor înconjurătoare sunt mult simplificate față de tracțiunea urbană.

#### 7.2. Descrierea soluțiilor tehnice adoptate

Ca unitate standard s-a considerat locomotiva de serie cu alimentare de la fir de contact cu tensiune continuă LMT-7, cu două motoare de tracțiune de curenț continuu serie, pentru care s-a conceput, realizat și experimentat un echipament tiristorizat corespunzător.

La alegerea tipului de CSAC al echipamentului s-au avut în vedere următoarele:

- nu se necesită decât funcționarea în primul cândrul al sistemului de referință ( $u, i$ );
- frânerea recuperativă este practic imposibilă la tipul de locomotivă preconizat datorită vitezelor mici de deplasare și condițiilor foarte proaste de captare a curențului;
- reversarea turăției se realizează electromecanic;
- nu se impun condiții de gabarit și greutate speciale;

- răcirea semiconductoarelor de putere să fie naturală,iar echipamentul în ansamblu etanș.

Tipul de convertor static ales pentru prima etapă de experimentare este un CSAC în punte,de tip SNA cu posibilitatea de compensare a puterii rective la bornele CSAC,cu avantaje multiple de simplitate,autoprotejare la supratensiuni de la sarcină,siguranță în funcționare și preț de cost redus.

Figura nr.7.2. prezintă schema bloc a echipamentului de tractiune a locomotivei cu alimentare în curent alternativ LTA-7. Puntea semicomandată RSC este alimentată de la firul de contact FC,având conectată pe partea de alternativ protecția la supratensiuni din rețea,filtrul pentru armonici 2 și instalația de compensare a căderii de tensiune pe linie 3. Ea furnizează puterea necesară motoarelor de tractiune de curent continuu  $M_1, M_2$  cu excitațile serie  $E_1, E_2$ . Mărimea impusă a curentului continuu, stabilită de blocul de prescriere 5 este coparată cu valoarea măsurată a acestuia prin şuntul S,adaptată de blocul de amplificare 10 și reglată de regulatorul de curent cu limitare 9 care stabilește mărimea de comandă a redresorului. Prin intermediul blocului 6 se pot asigura diverse acelerări ale locomotivei iar blocul 7 intervine la defectiuni ale potențiometrului general de comandă. Impulsurile de amorsare ale tiristoarelor,furnizate de generatoarele 12,13 sunt condiționate de blocul logic 11 care analizează starea convertorului,existența tensiunilor furnizate de transformatorul auxiliar 4, a celora furnizate de sursele stabilizate prin intermediul blocului de tensiune minimă 16. Reversarea turăției se comandă mecanic,prin blocul 19,inversorul fiind protejat prin blocarea electronică a convertorului prin blocul de protecție inversor 18,permittindu-se,după reversare,numai comanda de la zero a curentului impus. Locomotiva este echipată cu frână electrică rezisitivă 20, cu rezistență de frânare  $R_f$ ,blocul de protecție 21 nu permite simultan regimul de mers și de frânare. Bateria de acumulațoare auxiliară 14 este echipată cu un redresor tampon de încărcare 8,cu controlul curentului,conectare și deconectare automată funcție de nivelele de tensiune ale acesteia,iar blocul de semnalizări 16 afișează diver-

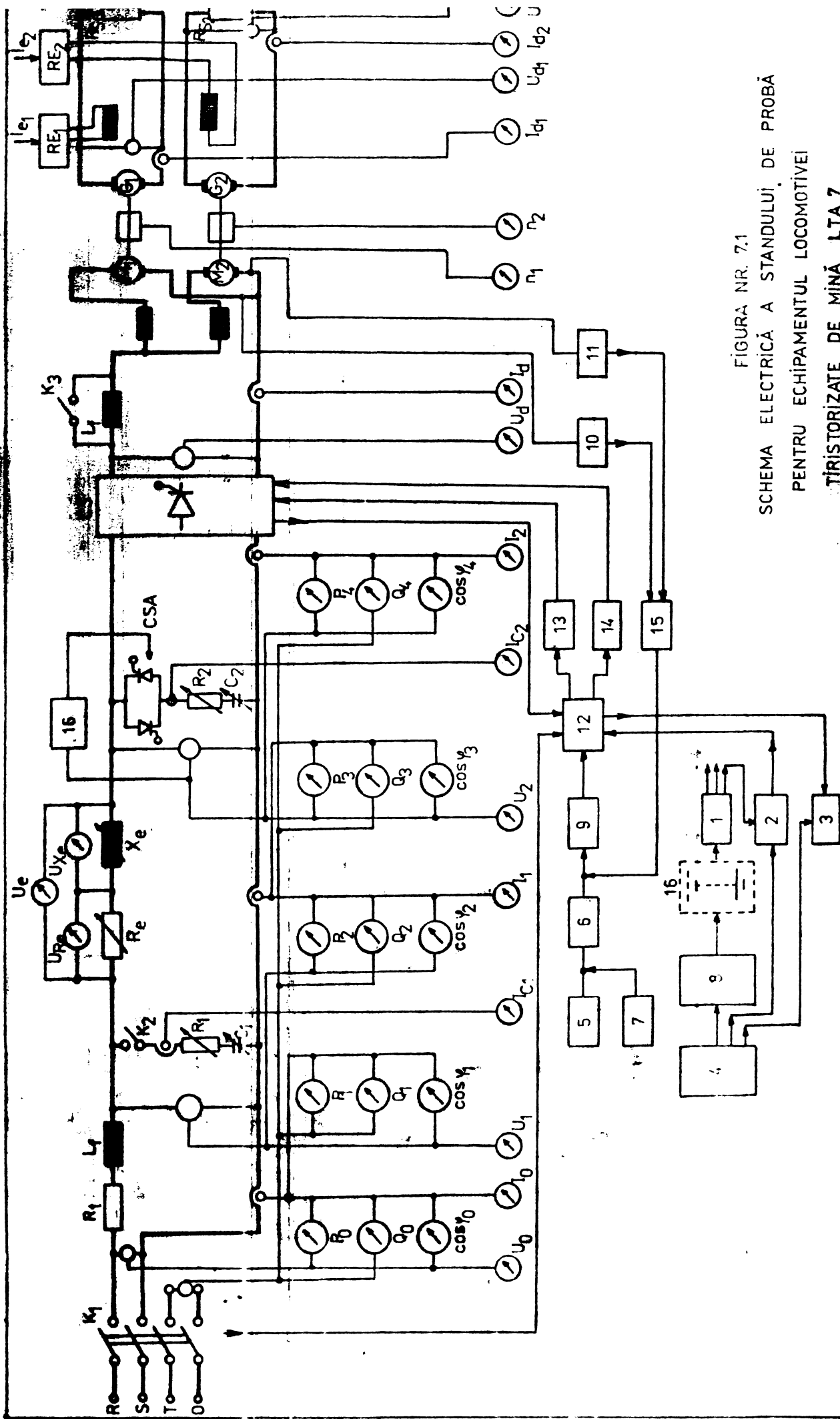
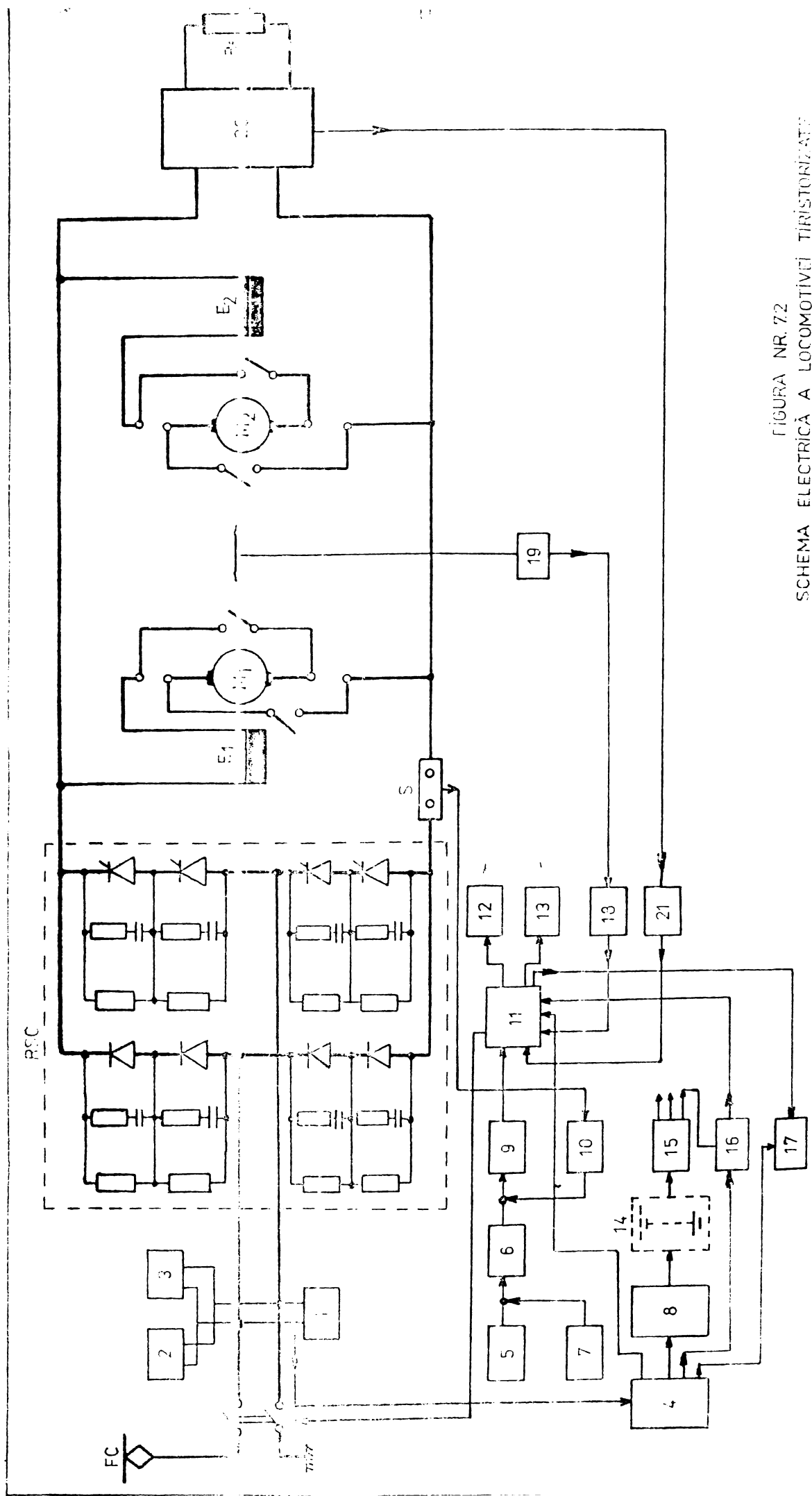


FIGURA NR. 7.1  
SCHEMA ELECTRICĂ A STANDULUI DE PROBĂ  
PENTRU ECHIPAMENTUL LOCOMOTIVEI  
TRIESTORIZATE DE MINĂ LTA 7

FIGURA NR. 7.2  
SCHEMA ELECTRICĂ A LOCOMOTIVII TRIESTORITATE  
DE MINA LTA 7 CU CHIAMPONI DE CURENT



~~sele~~ regimuri de funcționare ale echipamentului de tractiune.

Standul de probă al echipamentelor tiristorizate destinate locomotivelor de mină cu alimentare în curent alternativ cu schema electrică redată în figura nr.7.1 (vedere generală în figura nr.7.3) servește următoarelor scopuri:

- verificarea dimensionării corecte a circuitelor de forță și ale protecțiilor aferente,
- fiabilizarea subansamblurilor electronice de mică putere,
- studiul soluțiilor tehnice pentru realizarea compensării controlate a puterii reactive,
- experimentarea diverselor blocuri de automatizare și protecții electronice,
- probe de durată pentru diverse tipuri de convețoare statice propuse spre aplicare,
- studiul metodelor de eliminare a efectelor patigării roților locomotivei,
- efectuarea de măsurători complete de sistem sau referitoare la subansambluri.

In circuitul de forță, pe stand, se asigură parametrii variabili ai transformatorului din substația de alimentare ( $R_t, L_t$ ), a liniei ( $R_1, L_1$ ), a inductivității de filtrare ( $I_f$ ). Compensarea în substație se simulează prin grupul  $R_1$ ,

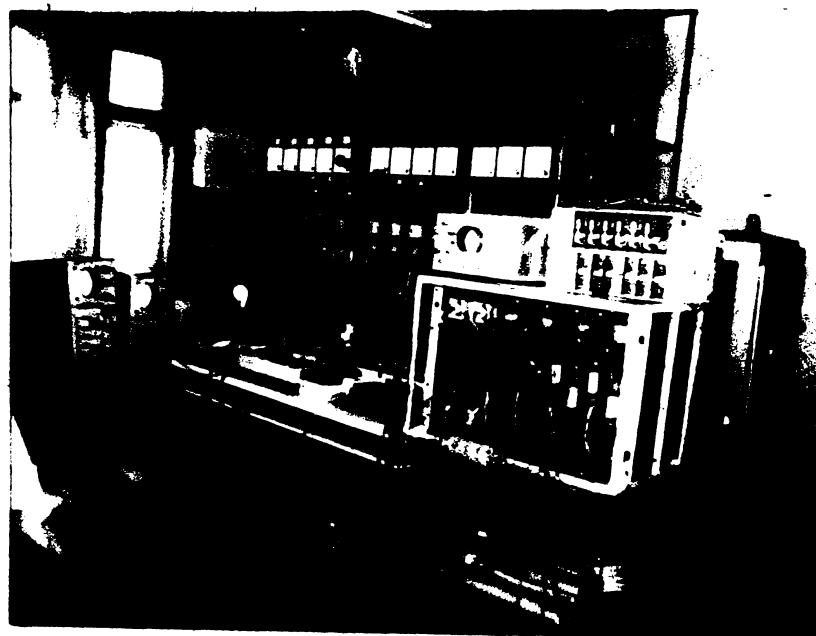


Figura nr.7.3. Stand de probă pentru echipamente tiristorizate destinate locomotivei de mină cu alimentare în curent alternativ LTA 7

$C_1$ , pe locomotivă prin  $R_2, C_2$  variabili în trepte sau comandabile prin contactorul static CSA funcționând cu comandă bipozițională. Încărcarea motoarelor de c.c. serie de tracțiune  $M_1, M_2$  se realizează prin generatoarele de c.c. cu exitateie separată  $G_1, G_2$  ce debitează peste rezistențe de sarcină fixe, transferul de energie modificindu-se prin comanda curentilor de exitateie  $I_{el}, I_{e2}$  a generatoarelor.

Semnificația blocurilor de comandă sunt următoarele (vezi și descrierea echipamentului locomotivei) (fig.nr.7).

- 1-bloc surse stabilizate
- 2-bloc de protecție la tensiune minimă
- 3-bloc de supraveghere a tensiunii transformatorului auxiliar
- 4 -transformator auxiliar
- 5-bloc de prescriere
- 6-bloc de prestabilire a accelerării locomotivei
- 7-bloc de protecție la superefirului potențiometrului de comandă
- 8-reiresor tampon pentru bateria de acumulatoare
- 9-regulator de curent cu limitare
- 10,11-blocuri amplificatoare de curent
- 12-bloc logic de condiționări
- 13,14-blocuri generatoare de impulsuri pentru semiconductoare
- 15-bloc de selectare a valorii celei mai mari curentelor motoarelor
- 16-baterie de acumulatori
- 17-sistem de control bipozițional al tensiunii la bornele CSA

Schemele electrice detaliate ale principalelor subansambluri ie mai sus sunt redate în anexa nr.2.

Probaele pe stand au condus, pe lîngă acumularea experienței necesare aplicării sistemului preconizat, la elaborarea și materializarea a 3 idei originale, brevetate de autor și un colectiv, două referindu-se la metodele de protecție și fiabilizare a CS utilizate [81], [83], iar una rezolvînd simultan problema protecției motoarelor de tracțiune și a patinării prin comanda convertorului static avînd ca valoare de referință cea mai mare valoare a curentilor individuali prin cele două motoare. Este de menționat că însăși ideea fiabilizării sistemului de convertire a energiei

în tracțiunea minieră, urbană, etc., prin înlocuirea alimentării în curenț continuu cu cea în curenț alternativ este brevetată de autor împreună cu un colectiv [72].

### 7.3. Date tehnice și constructive ale echipamentului și locomotivei

Caracteristicile tehnice principale ale locomotivei de mină cu alimentare de la fir de contact cu tensiune alternativă LTA-7 (figura nr.7.4) sunt :



Figura nr.7.4. Locomotiva de mină tiristorizată cu alimentare în curenț alternativ LTA-7

- putere instalată în motoare	2x20,5 kW
- tipul motoarelor de tracțiune	c.c. serie
- tensiune alternativă nominală	600 V $\pm$ 15%
- putere instalată în CSAC	100 kVA
- curenț continuu maxim	200 A
- răcirea circuitului de forță al CSAC	naturală
- sisteme de frânare	electrică, resistivă, mecanică
- tensiune de alimentare pentru electronica de comandă și auxiliare	12 V

La realizarea constructivă a echipamentului tiritizat destinat locomotivei LTA-7 s-au avut în vedere cerințele de gabarit, condițiile de răcire și criteriile impuse de testarea și întreținerea ușoară în subteran. Echipamentul electronic de putere, circuitele de comandă, automatizare și protecții de electronică de mică putere aferente ecit și inversorul sensului de mers sunt păstrate în cabină.

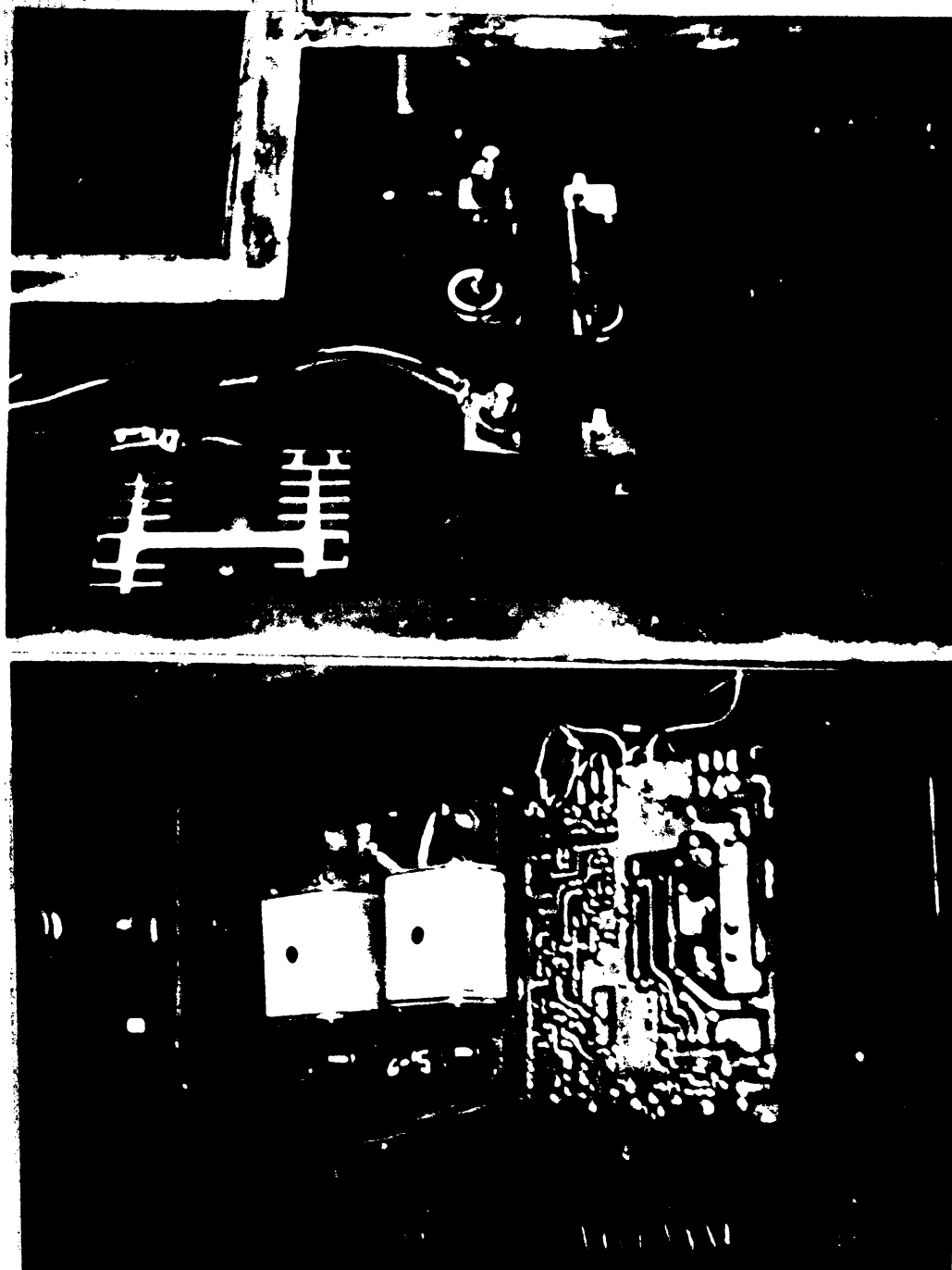


Figura nr.7.5. Echipamentul tiristerizat al locomotivei de mină cu alimentare în curent alternativ LTA-7

mecanicului conduceror în locul controlerului clasic de la

locomotiva alimentată în currenț continuu și sub scaunul acestuia, într-o construcție metalică etanșă. Electronica de mică putere este realizată modular, în vederea unei depanări convenabile. Elementele de comandă sunt integrate și cele de supraveghere a funcționării corecte a locomotivei precum și sistemul de încărcare automat al bateriei de acumulatoare sunt plasate într-o cutie etanșă pe peretele interior al cabinii în poziție convenabilă pentru manevrare. Contactoarele și rezistențele sistemului de frânare sunt dispuse în partea din față a carcasei locomotivei; punerea lor în funcție efectuindu-se de la un controler de comandă acționat de o pedală la picior, asigurându-se în felul acesta condiții de securitate mariță la această manevră.

\*\*

**7.4. Concluzii generale ale testării în condiții de exploatare a sistemului CSAC, monofazat în punte de tip SNA - motor de c.c. serie**

În timpul experimentărilor pe stand și în condiții de exploatare în subteran s-au urmărit în special problemele de sistem în ansamblu, cu evaluarea performanțelor globale energetice și individuale (convertor, elemente de filtrare în currenț continuu, motoare de tracțiune), cele de fiabilitate, cele legate de căderea de tensiune pe firul de cale, mai mare decât la alimentarea în currenț continuu și metodele cele mai eficiente pentru ameliorarea acestora, stabilirea sistemului, rezonanțele de tensiune accidentale, fenomenul de patinare, etc.

Pe lângă avantajele generale ale tiristorizării cunoscute, în urma experimentărilor s-au constatat următoarele :

- creșterea gradului de utilizare al motoarelor de tracțiune prin mărirea forței de tracțiune utilizabile cu aproximativ 50% datorită posibilității modificării continue a forței de tracțiune și utilizării la limită a aderenței;
- economii substanțiale de energie datorită eliminării rezistențelor de la locomotiva clasică necesare modificării vitezei acesteia; evaluarea exactă a acestora depinde de regimul de lucru al locomotivei și răndamentul energetic al sistemului este evident mai bun la viteze reduse ale locomotivei;

- comanda electronică a locomotivei a permis, pe baza unei idei originale, automatizarea unor manevre ale ei în ideea de a nu se permite comenzi false și de a simplifica manevrele necesare conducerii locomotivei, contribuindu-se în acest fel la ridicarea securității circulației în subteran;
- echipamentul tiristorizat asigură protejarea electronică a motoarelor de tractiune, a echipamentului electric de forță în general, prelungind durata de funcționare a acestora;
- prin modificarea continuă, fără șocuri a forței de tractiune, se protejează de ușemenea transmisia mecanică de la motorul de tractiune la șină;
- efectul compensării pe vehicul a puterii reactive poate conduce la o lungire a tronsonului alimentat în medie cu 50%.

## CAPITOLUL 8

### CONCLUSII

Lucrarea abordăză o problema deosebit de actuală privind analiza sistemelor de convertire a energiei în tractiunea electrică, denumita de autor de "medie putere", ce se referă la tractiunea de tip urban, minier, uzinal, cu alimentarea firului de către cu tensiune alternativă în loc de modul uzual de alimentare cu tensiune continuă și cu menținerea motoarelor de tractiune de curent continuu cu excitație serie.

In comparație cu tractiunea electrică în curent alternativ de mare putere, cea de medie putere prezintă o serie de particularități. Se justifică astfel, în primă fază, sinteza conținută în Capitolul 2 a tipurilor de convertoare statice utilizabile și a problematicii ce însotesc utilizarea acestora și anume : metodele de comandă ale acestora, probleme specifice comutației forțate în curent alternativ și influențele asupra rețelelor de alimentare și a mașinii electrice. Se constată că rezolvarea teoretică a problemelor de sistem este mult în urma realizărilor experimentale și rezultatelor practice. De aceea, pentru ameliorarea mărimilor caracteristice în rețeaua de tensiune alternativă a sistemului se constată că este necesară fie compensarea puterii reactive prin filtre RC, fie utilizarea convertoarelor statice cu curent alternativ-curent continuu cu comutație forțată.

Analiza teoretică a sistemului convertor static c.a.-c.c. monofazat în punte semicomandat asimetric-motor de curent continuu serie conținută în Capitolul 3, considerată ca soluție etalon pentru tractiunea de medie putere, evidențiază avantajele metodei de integrare numerică a sistemelor de ecuații diferențiale pe un calculator numeric, utilizată în întreaga lucrare. Se pot delimita, în acest fel, toate regimurile de funcționare ale sistemului (regimul cu conductie neîntreruptă, cu conductie întreruptă cu o comutație și fără nici o comutație pe semiperioada tensiunii alternative de alimentare), cu considerarea importanței variației în circuitul de tensiune alternativă, a parametrilor vețelor semiconductoare, a inductivității finite și variației din circuitul de curent continuu, a t.e.m. inducării vitezei an-

ghiulare a mașinii variabile în timp și mașina electrică saturabilă.

Prin evaluarea sistematică a performanțelor energetice globale ale sistemului precizat se pot constata principalele deficiențe și limitari ale acesteia și anume dependența puternică a parametrilor de unghiul de comandă al convertorului, necesarul de putere reactivă și deformantă al sistemului, ceea ce conduce la caderi de tensiune apreciabile pe impedanță din rețeaua de tensiune alternativă, mai ales la unghiuri de comandă mari ale convertorului (regim de pornire al mașinii de c.c. serie).

Ca primă metodă de ameliorare a performanțelor sistemului de mai sus precizat s-a luat în considerare compensarea puterii reactive în rețeaua de tensiune alternativă prin disponerea unor filtre RC la bornele de alimentare ale convertorului static. Analiza completă a sistemului în acest caz, conținută în capitolul 4 al lucrării evidențiază regimurile speciale de funcționare ale convertorului static, specifice deja comutației forțate, care, pe de o parte, permit neglijarea zonelor de comutație cunoscute din literatură, deci ușurarea studiului teoretic, dar, care pe de altă parte, poate crea dificultăți datorită regimurilor foarte dure de solicitare ale semiconductoarelor de putere. Pe ansamblul parametriilor energetici, sistemul compensat este superior celui necompensat, exceptându-se de la aceasta randamentul, care este mai scăzut. Se obține o scădere convenabilă a căderii de tensiune pe impedanță serie de curent alternativ, mărime importantă în evaluarea utilității practice a sistemelor de convertire a energiei în tracțiunea de medie putere.

Principala deficiență a utilizării compensării în rețeaua de tensiune alternativă o constituie faptul că pentru fiecare valoare a unghiului de comandă al convertorului precum și a impedanței din rețeaua de tensiune alternativă există o singură valoare optimă a capacitatii de compensare, ceea ce conduce la necesitatea modificării permanente a acesteia, cu dificultăți tehnice inerente.

Analiza teoretică efectuată în capitolul 5 al lucrării în ipoteza utilizării unui convertor static c.a.-c.c. în puncte semicomandă asimetrică cu comutație forțată cu

**un condensator de stinjere** (schema 1C), cu comutația dependentă de curentul de sarcină, confirmă așteptările, parametrii energetici calculați fiind comparabili cu cei obținuți la compensarea puterii reactive prin filtre RC. Principala deficiență semnalată este aceea că, la utilizarea comutațicii forțată în curent alternativ este necesară o supradimensionare în tensiune a semiconductoarelor de putere ale convertorului.

Din comparația performanțelor globale ale cazurilor analizate, în Capitolul 6 al lucrării rezultă că C<sub>1</sub>-C în puncte semicomandată asimetrică cu compensare și cu comutație forțată, schema 1C, prezintă performanțe sensibil egale, superioare însă punții fără compensare. Verificările experimentale efectuate pe standul conceput în acest scop confirmă **justitatea analizelor teoretice din capituloarele 3, 4 și 5 ale lucrării.**

Viabilitatea sistemului de convertire propus pentru tractiunea de medie putere este dovedită prin cele relate în Capitolul 7 al lucrării referitor la concepția, realizarea și experimentarea în condiții concrete de exploatare a mai multor locomotive tiristorizate de mină cu alimentarea firului de contact cu tensiune alternativă.

Este de menționat că metoda de analiză a sistemelor CSAC-motor de c.c. serie prin integrarea numerică a sistemelor de ecuații diferențiale aferente poate fi ușor extinsă la alte tipuri de CSAC cu comutație forțată utilizate în tehnica curentă. De asemenea ea se poate extinde, cu modificări minime, la studiul regimului dinamic, al sistemelor de tipul precizat, al acelerării de pornire, precum și la studiul în regim staționar și transitoriu a sistemelor de convertire utilizând punți multiple cu comutație naturală sau forțată.

Pentru elaborarea lucrării a fost utilizată o bibliografie ce cuprinde un număr de 219 titluri, incluzând și 24 de lucrări, în domeniul autorului, elaborate singur și în colaborare. De asemenea, s-au adăugat și două titluri ce cumulează protocoile contractelor elaborate de Institutul Politehnic "Traian Vuia" Timișoara, care înglobează și aportul autorului la soluționarea problemelor ce s-au pus.

ANEXA NR.1

RELATII UTILIZATE LA PRELUCRAREA REZULTATELOR  
IN URMA INTEGRARII NUMERICE

1. Analize armonică (AA) :

$$y = Y_0 + \sum_{k=1}^n (a_k \cos kz + b_k \sin kz) = Y_0 + \sum_{k=1}^n Y_k \sin(kz - \phi_k) \quad (A.2-1)$$

$$Y_0 = \frac{1}{2\pi} \int_0^{2\pi} y \cos dz \quad (A.2-2)$$

$$a_k = \frac{1}{\pi} \int_0^{2\pi} y \cos kz dz \quad (A.2-3)$$

$$b_k = \frac{1}{\pi} \int_0^{2\pi} y \sin kz dz \quad (A.2-4)$$

$$Y_k = \sqrt{(a_k^2 + b_k^2)/2} \quad (A.2-5)$$

$$\phi_k = -\arctg(a_k/b_k) \quad (A.2-6)$$

2. Valoare efectivă (VE)

$$Y = \sqrt{Y_0^2 + Y_1^2 + Y_2^2 + \dots} \quad (A.2-7)$$

3. Coeficient de distorsiune ( $\delta$ )

$$\delta = \frac{\sqrt{Y^2 - Y_0^2}}{Y} = \frac{\sqrt{Y_1^2 + Y_2^2 + Y_3^2 + \dots}}{Y} \quad (A.2-8)$$

4. Factor de vîrf ( $f_v$ ):

$$f_v = \frac{\max(y)}{Y} \quad (A.2-9)$$

5. Putere activă (P):

$$P = U_0 I_0 + \sum_{k=1}^n U_k I_k \cos \varphi_k \quad (A.2-10)$$

6. Putere reactivă (Q):

$$Q = \sum_{k=0}^n U_k I_k \sin \varphi_k \quad (A.2-11)$$

$$\varphi_k = \phi_{ki} - \phi_{kj} \quad (\text{A.2-12})$$

7. Putere deformantă (D):

$$D = \sqrt{S^2 + P^2 - Q^2} \quad (\text{A.2-13})$$

8. Factor de putere global (λ):

$$\lambda = P/S \quad (\text{A.2-14})$$

9. Factor rectiv (ρ):

$$\rho = Q/P \quad (\text{A.2-15})$$

10. Factor deformant (τ):

$$\tau = D / \sqrt{(P^2 + Q^2)} \quad (\text{A.2-16})$$

ANEXA NR. 8

SCHEMELE ELECTRICE ALE PRINCIPALELOR  
SUBANSAMBLURI ELECTRONICE DE COMANDA UTILIZATE  
LA REALIZAREA STANDULUI DE PROBA SI A ECHIPAMENTU-  
TULUI TIRISTORIZAT PENTRU LOCOMOTIVA DE MINA

LTA 7

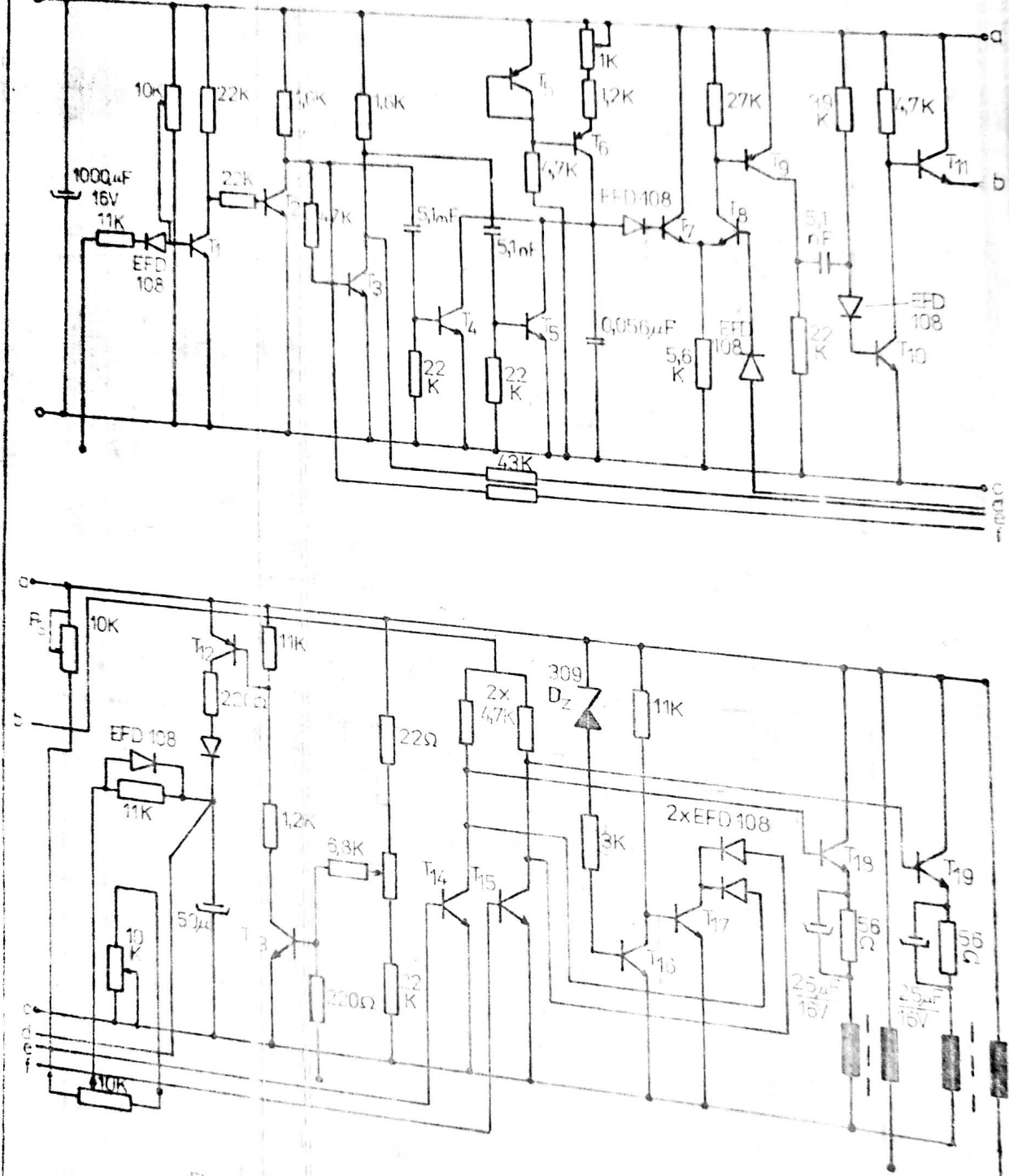


Figura nr. A.84. Bloc logic și generator de impulsuri pentru CSA monofazat în punte de tip SNA

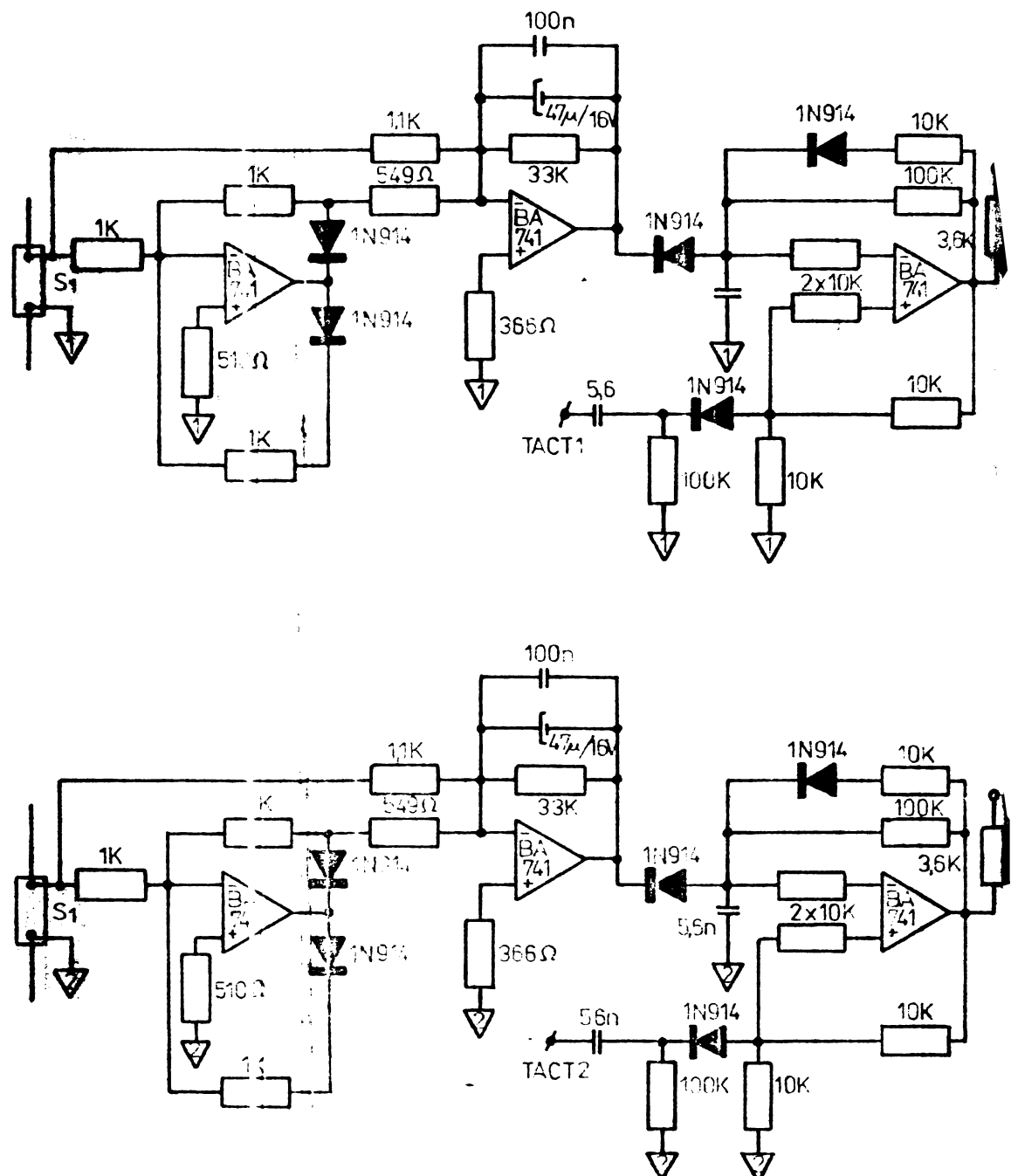


Figura nr A.8.2. Protectie și control selectiv al curentilor motoarelor de tractiune – amplificator de sunturi

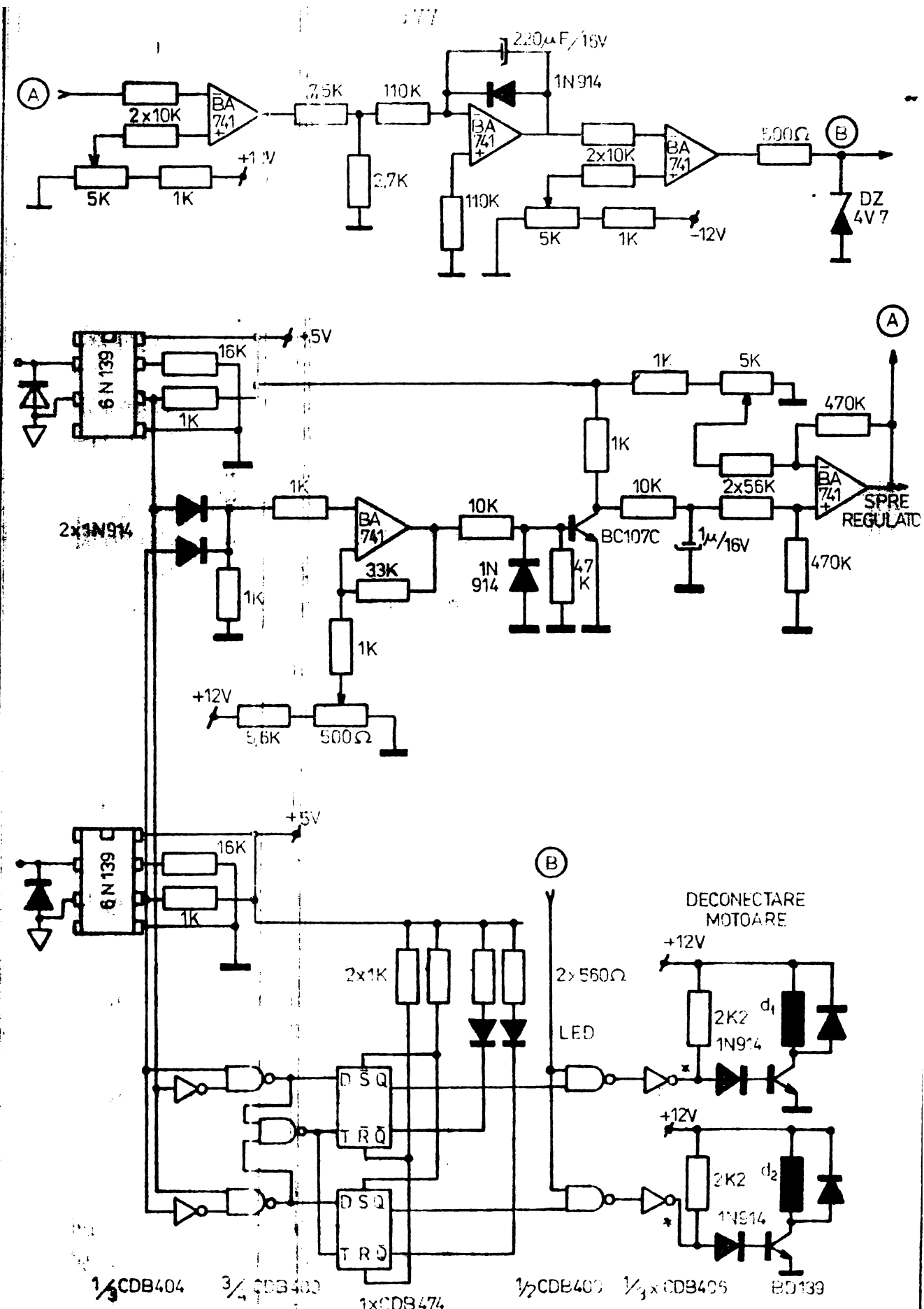


Figura 10.15. Protecție și control seletiv al curentilor motorilor  
de tracțiune - desflecție, deconectare motorului, remobilizare

BIBLIOGRAFIE

Cărți

- C 1.. ANTONIU,I.S.: "Bazele electrotehnicii" vol.II,  
Editura Didactică și Pedagogică, București 1974
- C 2 . ANTONIU,I.S. s.a.: "Lecții de Bazale Electrotehnicii", Editura Didactică și Pedagogică, București 1970
- C 3 . ANTONIU,I.S.: "Chestiuni speciale de electrotehnică", Editura Academiei, București 1956
- C 4 . BEIFORD,B.D.,HOFT,R.G.: "Principles of Inverter Circuits", John Wiley and Sons, New York 1964
- C 5 . DORDEA,T.: "Mașini electrice", Editura Didactică și Pedagogică, București 1970
- C 6 . GYUGYI,L.,PELLY,B.R.: "Static power frequency changers. - Theory, performance and application", John Wiley and Sons, New York 1976
- C 7 . HEUMANN,K.,STUMPE,C.: "Thyristoren. Eigenschaften und Anwendungen", B.G.Teubner, Stuttgart 1969
- C 8 . HEUMANN,K.: "Grundlagen der Leistungselektronik", Teubner Studienbücher, Stuttgart 1976
- C 9 . HOFFMANN,STOCKER: "Thyristor Handbuch", Siemens Aktiengesellschaft, 3.Auflage 1965
- C10 . JOTTEN,R.: "Stromrichtertechnik", Vorlesungen TU, Darmstadt 1972
- C11 . JOTTEN,R.: "Regelung in der Antriebstechnik", Vorlesungen TU, Darmstadt 1972
- C12 . KELEMEN,A.: "Acționări electrice", Editura Didactică și Pedagogică, București, 1976
- C13 . KELEMEN,A.: "Mutatoare", Editura Didactică și Pedagogică, București, 1978

- C14 . RITTEN, F.: "Berechnung von Strömen und Spannungen thyristor-gesteuerter Eisenbahn-Triebfahrzeuge", Dissertation, Universität Karlsruhe, 1971
- C15 . ÜMEL, F.: "Elektrische Antriebstechnik", Springer Verlag, Wien, 1971
- C16 . MEYER, M.: "Mutatoare cu comutăție forțată", Editura Tehnică, București 1970
- C17 . MÖLTCEN, G.: "Netzgeführte Stromrichter mit Thyristoren", Siemens Aktiengesellschaft, 2. Auflage 1967
- C18 . NICUIRESCU, S.: "FORTRAN-initiere în programare structurată", Editura Tehnică, București 1979
- C19 . PONNER, I.: "Electronică industrială", Editura Didactică și Pedagogică, București 1972
- C20 . PUȘCASU, S.; MARCOVICI, J.: "Mărimi și regimuri electrice nesinusoidale", Editura Scrisul Românesc, Craiova 1974
- C21 . RADULET, R.: "Bazele electrotehnicii. Probleme II", Editura Didactică și Pedagogică, București
- C22 . ALVADORI, M.G.; BARON, M.L.: "Metode numerice în tehnica", Editura Tehnică, București 1972
- C23 . SEN, P.C.: "Thyristor DC Drives", John Wiley and Sons, New York, Chichester, Brisbane, Toronto 1981
- C24 . TEPOTIN, A.Ş.a.: "Lecții de bazele Electrotehnicii" Editura Didactică și Pedagogică, București 1970
- C25 . TOMOV, V.; OGĂDESCU, I.: "Metode numerice subroutines", Editura Tehnică, București 1980
- C26 . "Memoratorul inginerului electrician", Editura Tehnică, București 1971
- C27 . SCR Manual General Electric 1967
- C28 . VEM Handbuch "Die Technik der elektrischen Antriebe", VEB Verlag Technik, Berlin 1974

Article

- 1 . ABJUS, A.: "Fortschritte auf dem Gebiet der Steuerung und Regelung bei Wechselstrom-Triebfahrzeugen", ETZ-A 16/1967
- 2 . ABJAHAK, L.; KOPPEIMANN, F.: "Die Zwangskommutierung ein neuer Zweig der Stromrichtertechnik" ETZ-A nr.18/1966 (87), pag.649-658.
- 3 . APPE, J.: "Influence des chemins de fer electriques en courant alternatif monophasé de 50 Hz sur le system electroenergetique", Electrotechnique et energetique ,nr.4/1968 (13), pag.579-595.
- 4 . AKRILLAGK, J.: "Fault-developement control in a.c.-d.c. converters", P.I.E.E. nr.7/1969
- 5 . BAUZ, J.: "Fahrzeugelektronik der Zweifrequenz-Schienen-lokomotive, Baureihe 181,2,der DB", Elektrische Bahnen 47 (1976), H 10, s.230-233
- 6 . BECKER, E.; GAMMERT, R.: "Drehstromversuchsfahrzeug - DE 2500 mit Steuerwagen. Systemerprobung eines Drehstrom antriebes an 15 kV/16 2/Hz", EB, H 1/1976 (47), s.18-23
- 7 . BULLIET, A.; FIGALLI, G.: "Simplified Analysis and Design of an AC/DC Power Conversion System for Traction Drives", IEEE Transaction Industry Applications, vol.1A-17, nr.2 March/April, 1981, pag.167-173
- 8 . BÜLER, R.: "Einfluss der Glättungsinduktivität auf Kommutierung und Leistung thyristorgesteuerter Gleichstrom-Nebenschlussmotoren", Siemens Zeitschrift, nr.10/1968 (42), pag.843-854
- 9 . BÜRGER, Th.: "Das dynamische Verhalten des Gleichstrom-Reihenschlussmotors", Elektric, nr.9/1966, pag.359-362
- 10 . BÜZOLD, K.-H.: "Löscharbare, einphasige Stromrichtersit Sektorsteuerung für die Speisung von Mischstommotoren", Elektrische Bahnen, nr.12/1974 (45), pag.281-287
- 11 . BÜCKEL, K.: "Der Thyristor in der Eisenbahntechnik ein Beispiel internationaler Zusammenarbeit", EuM, nr.5/1973 (90), pag.225-227

- 12 . BEIOLI, L.-P., FÜGGER, J., HÄHNLE, H.: "Thyristor converters for traction DC Motor Drives", Conference Lecture IECR, International Semiconductor Power Converter Conference, Baltimore Maryland, USA, 1972
- 13 . BEIOLI, L.-H., KARAMOUZAI, N.: "Schwere Industrielo-  
komotive mit Thyristorstromrichtern", Elektrische Bahnen, nr. 10/1967, pag. 230-  
237
- 14 . BJURKLUND, B.: "Thyristorlokomotiven Reihe Rc 2 und  
Rc 3 der Schwedischen Staatsbahnen", Elektrische Bahnen, nr. 6/1971 (42),  
pag. 122-130
- 15 . BLUMSCHIN, E.: "Vergrösserbarkeit und Aussagekraft  
des Totalen Leistungsfaktors", Elektric, nr. 4/1976 (30), pag. 190-194
- 16 . BREMER, W.: "Besonderheiten der Thyristorlokomoti-  
ve Reihe 1043 der ÖBB", Verkehrsannalen,  
nr. 3/1975
- 17 . BROTH, HORTNE, : "Application of Silicon Rectifiers  
on Locomotives", IEEE Transactions on  
Apparatus and Industry, May/1963
- 18 . BEUZINGER, H.: "Beimflussung von Rundsteueranlagen  
durch Netzober schwigungen", ETZ-A,  
nr. 4/1978 (99), pag. 196-199
- 19 . BUCKEL, R.: "Elektromagnetische Verträglichkeit  
(EMV) zwischen thyristorgesteuerten  
Triebfahrzeugen und ortfesten elektri-  
schen Anlagen", Fahrzeuge und ihre Un-  
terhaltung pag. 419-450
- 20 . BUCKEL, R.: "Elektromagnetische Umweltbeeinflussung  
durch Triebfahrzeuge mit Anschnitt-  
steuerung", Elektrische Bahnen, nr. 1/1974,  
(45), pag. 19-21
- 21 . BUCKEL, R.: "Schutz von Rohrleitungen und Lebeln  
in Wechselstrombahnen", ETZ -A nr. 2/1964  
(85), pag. 48-52
- 22 . BUCKEL, R.: "Berührungsspannungen kurzer über in  
Ferumeide - und Starkstromanlagen", ATZ -B nr. 10/1970 (77), pag. 227-231

- 23 . BU<sup>CH</sup>E<sup>L</sup>, R.: "Elektrifizierung in Südkorea", Elektrische Bahnen, nr. 7/1974 (45), pag. 110-155
- 24 . BU<sup>CH</sup>E<sup>L</sup>, R.: "Elektromagnetische Umweltbeeinflussung durch Triebfahrzeuge mit Anschnittsteuerung", Elektrische Bahnen, nr. 1/1974 (45), pag. 19-21, nr. 2, pag. 39-45
- 25 . BU<sup>CH</sup>E<sup>L</sup>, R.: "Oberschwingungen im Fahrleitungsnetz von Wechselstrombahnen", ETZ-A nr. 17/1967 (88), pag. 429-436
- 26 . BU<sup>CH</sup>E<sup>L</sup>, R.: "Dämpfung von Oberschwingungen in einer 50 Hz Fahrleitung mit Hilfe eines RC Glie- des", Elektrische Bahnen, nr. 8/1959 (30), pag. 173-178
- 27 . BU<sup>CH</sup>E<sup>L</sup>, R.-K.: "Das Betriebsverhalten von Mischstrom gespeisten Gleichstrommaschinen", Elektric, nr. 5/1970 (24), pag. 167-172
- 28 . CACHET, R.; PODLESNIK, B.: "Bemessung der Glättung drossel für nichtlückenden Betrieb in stromrichtergespeisten Gleichstromantrieben", Messern, Steuern und Regeln, nr. 5/1975 pag. 180-184
- 29 . CALVI, G.; KUHLOW, J.: "Der Bahnmotor bei Gleichstromspeisung", Elektrische Bahnen, nr. 10/1963, pag. 218-229
- 30 . CETIN, I.; CETIN, O.: "Flussdurchflutungsverhältnisse und Hauptinduktivitäten der Feldwicklung bei Gleichrichterreihenschlussmaschinen", Elektrische Bahnen, nr. 4/1968 (39), pag. 88-99
- 31 . CHELLAMUTHU, C.; SASTRY, V.V.: "Simulation of a 1-phase Static converter - DC motor system", In: Electric Machines and Electromechanics, 1981, pag. 263-279
- 32 . CHEUNG, W.H.: "Frequency response of a.c.-d.c. converter with constant-current control", I.P.I.E.E., nr. 9/1971
- 33 . CIO TAN, P.: "Alimentarea cu energie a căilor ferate electrificate", CDPT, 1967, Bucureşti, pag. 210
- 34 . CSAI, E.; MARPATI, A.: "Fehler der Leistungsmessung in Stromkreisen mit Gleichrichtern", Periodica Polytechnica, J.P.Ungară, nr. 4/1967 (11) pag. 317-325

- 35 . DAUM,D.: "Unterdrückung von Oberschwingungen durch Pulsbreitensteuerung", ETZ-A nr.9/1972 (93), pag.528-530
- 36 . DEPENBROCK,M.: "Einphasenstromrichter mit sinusförmigem Netzstrom und gut geglätteten Gleichgrößen", ETZ-A nr.8/1973 (94), pag.466-471
- 37 . DEPENBROCK,M.: "Einphasenstromrichter mit optimierten Leistungsfaktor", ETZ-A nr.7/1974 (95), pag.360-363
- 38 . DEWAN,S.B.: "Optimum Input and Output Filters for a Single Phase Rectifier Power Supply", IEEE Transaction on Industry Applications, vol.1A-17, nr.3/1981, pag.282-288
- 39 . DOMAUER,E.: "Die Berechnung der Bremskennlinien eines Gleichstrom-Reihenschlussmotors", Elektrotec., nr.8/1966, pag.308-309
- 40 . DORTORT,J.K.: "Phase shifting of harmonics in a.c. circuits of rectifiers", IEEE Transaction on Industry and General Applications, nr.6/1968
- 41 . DRECHSLER,R.: "Scheinleistung und untraditioneller Leistungsfaktor beim Betrieb von Thyristorschaltungen", Elektrotec., nr.6/1975 (29), pag.324-327
- 42 . DRECHSLER,R.: "Über pulsierende und verdeckte Leistung in einer unsymmetrisch belasteten Dreiphasenanlage", ETZ-A, nr.17/1969 (90), pag.421-424
- 43 . DRECHSLER,R.: "Neue untraditionelle Methoden der Bestimmung des Leistungsfaktors", Elektrotechnicky obzor, nr.11/1972 (61), pag.586-591
- 44 . DREIMANN,K.; GLESSOW,R.: "Netzteile für Wechselstrom-Triebfahrzeuge mit Stromgeführten Drehstromantrieb", Elektrische Bahnen, nr.11/1977 (48), pag.297-300
- 45 . DREIMANN,K.; FALK,P.: "Stand der Betriebsprobung der 18sch. baren unsymmetrischen Brückenschaltung (LUB)", Elektrische Bahnen, nr.1/1976 (47), pag.132-136
- 46 . EISENACK,M.; CORDES,D.: "Digitale Nachbildung der Vorzüge in Stromrichterschaltungen", ETZ-A, nr.7/1971

- 47 . ERIKSSON, L.G.: "Thyristor Control of Multiple Unit Car Equipment by ASEA", IEEE Transactions on Industry Applications , vol. IA-8, nr.3 May/Juni 1972, pag.329-337
- 48 . ERICKI, M.: "Power measurements errors in controlled rectifier circuits", IEEE Transactions on Industry and General Applications nr.4/1966
- 49 . ERICKI, M.; EMANUEL EIGELAS, A.: "New Aspects of Power Factor Improvement", IEEE Transactions on Industry and General Applications nr.4/1968 (4), pag.441-455
- 50 . FICK, H.: s.a.: "Bahnstromrichter mit guten Leistungsfaktor", ETZ-A 1975 (96), pag.239-241
- 51 . FIESER, K.: "Zum dynamischen Verhalten thyristor gespeister Gleichstromregelantriebe", ETZ-A, nr.13/1969 (90)
- 52 . FLOWER, J.E.; HAZELL, P.A.: "Nonlinear analysis of a 1-st order thyristor-bridge control system", P.I.E.E., nr.10/1971
- 53 . FORSTER, J.: "Löscharbare Fahrzeugstromrichter zur Netzentlastung und Stützung", Elektrische Bahnen ,nr.1/1972 (43), pag.13-19
- 54 . FORSTER, J.: "Thyristor-Stromrichter grosser Leistung in elektrischen Triebfahrzeugen", ETZ-A, nr.16/1967 (88), pag.392-397
- 55 . FORSTER, J.: "Sektorsteuerung mit löscharbenen Stromrichterbrücken", Technische Rundschau, Bd. 65(1973), pag.25-29
- 56 . FORSTER, J.; PUTZ, U.: "Moderne Stromrichter auf elektrischen Triebfahrzeugen", Elektrotechnik, nr.3/1970 (24), pag.98-101
- 57 . FORSTER, J.: "Zur Stromrichter-Netzbelastung", ETZ-A, nr.1/1975 (96), pag.52-57
- 58 . FRANK, H.; LANDSTROM, B.: "Compensarea factorului putere cu condensatoare cuplate prin thyristoare", L'Electricier, nr.2140/1972, pag.121 (Rezumat in BIT Electrotehnica nr.3/1974, pag.39-45)
- 59 . FRÖHR, F.: "Drehzahlregelung von Gleichstrom Antrieben", Automatik, nr.4/1968 (13), pag.126-133 și nr.5/1968, pag.136-172
- 60 . FUJIAO, S.a.: "AC-DC Convertor with Improved Power Factor and Current Waveform on the Side", BUPT

- 61 . GÄRTNER,H.: "Umrichtertechnik in Bahntechnik", ETZ-A, nr.17/1967
- 62 . GE STADT."Leistungsfaktorverbesserung durch Kondensatoren und Baugkreise in Betriebswerken mit Umrichteranlagen", EG Mitteilungen, nr.11/12/1958 (48), pag.659-675
- 63 . GEYER,F.: "Regelungstechnische Probleme bei der Drehzahlregelung eines Gleichstrommotors bei gleichzeitigen Eingriff im Inker und Feldstromkreis"
- 64 . GIERTH,E.: "Der internationale technische Stand der elektrischen Triebfahrzeuge und die Lokomotiven der DB", ETR nr.6/1972 (21), pag.205-216
- 65 . GLÄDIGAU,A.: "Betriebsverhalten und Betriebsbewährung neuzeitlicher elektrischer Lokomotiven" Elektrische Bahnen, nr.10/1972 (43), pag.230-238
- 66 . GLÄDIGAU,A.; KUHLOW,J.: "Erläuterungen zu den VDE Bestimmungen 0535/1,69-Regehn für elektrische Maschinen und Transfomatoren auf Bahn-und anderen Fahrzeugen", Elektrische Bahnen, Nr.7/1971 (42), pag.157-163
- 67 . GÜTHLIN,H.: "Die elektrische Lokomotive 7 151", Elektrische Bahnen ,nr.3/1973 (44),pag. 60-61
- 68 . GÖLZ,G.; GRUNBRECHT,P.; HARM, D.; KLUZOWSKI,B.: "Wirkungsweise neuartiger Pulsstromrichter", ETZ-A, nr.5/1977 (98), pag.346-349
- 69 . GHAF,R.: "Problems Associated with the Phase-Angle Control of Locomotive in Contact Wire Networks", Brown Boveri Review, nr.12/1977, pag.761-766
- 70 . GSCHWIND,N.V.: "Modellversuche über die Optimierung von Oberwellen-Beämpfungsschaltungen für Thyristortriebfahrzeuge", Elektrische Bahnen, nr.6/1971 (42), pag.130-135

71. GSCHWIND, F. X.: "Verbesserung des Leistungsfaktor bei Auschnittsteuerung", Elektrische Bahnen, nr. 9/1979 (40), pag. 196-202
72. HAULER, E., s.a.: "Metodă pentru ridicarea fiabilității sistemelor de convertire a energiei în tracțiunea urbană și minieră", Brevet, nr. 75059.
73. HAULER, E.: "Tendințe moderne privind utilizarea convertoarelor statice pentru acționări reglabile", In lucrările Sesiunii Stiințifice: "Electronica industrială", Timișoara, septembrie 1979, vol. 1, pag. 107-112.
74. HAULER, E.: "Convertoare statice c.a.-c.c. destinate alimentării motoarelor de curent continuu pentru tracțiunea de medie putere", In lucrările Sesiunii Stiințifice: "Electronica Industrială", Timișoara, septembrie 1979, pag. 141-146.
75. HAULER, E., GURBE, ST., BOKOR, L., STACESCU, I.: "Sisteme de convertire a energiei în tracțiunea minieră", Revista Transporturilor și Telecomunicațiilor, nr. 1/1984.
76. HAULER, E., BOKOR, L., GURBE, ST., STACESCU, I.: "Thyristorsteuerung für fahreistungsgespeiste Wechselstromgrubenlokomotiven", Buletinul Stiințific tehnic al I.P."Traian Vuia", Timișoara, 27 (41), Fascicula 1, pag. 47-52, 1982.
77. HAULER, E., BOKOR, L., GURBE, ST., STACESCU, I.: "Locomotiva tiristorizată cu alimentare în curent alternativ LTA-7", Construcția de Mașini, nr. 10/1983.
78. HAULER, E., GURBE, ST., BOKOR, L., STACESCU, I.: "Thyristorsteuerung für akkumulatorgespeiste Grubenlokomotiven", Buletinul Stiințific tehnic al I.P."Traian Vuia" Timișoara, 27 (41), Fascicula 1, pag. 53-58, 1982.
79. HAULER, E., GURBE, ST., BOKOR, L., STACESCU, I.: "Locomotiva tiristorizată de mină cu acumulatori LTA-4", Construcția de Mașini, 34 (1982), nr. 10, pag. 569-575.

80. HAULER, E., JENEI, ST., BUNIS, D., CSIRAK, E.: "Converter c.a.-c.a. de frecvență și tensiune pentru modificarea vitezei vehiculului experimental cu motoare liniare ML 02", sesiunea de comunicări științifice, Craiova, 1981, pag. G1-G11.
81. HAULER, E., s.a. : "Metodă pentru îmbunătățirea protecției circuitelor comandate cu convertoare statice", Brevet, nr. 72315/02.07.1979
82. HAULER, E., s.a.: "Metodă și schema pentru ridicarea fiabilității motoarelor electrice folosite în tractiune", Brevet, nr. 84610/24.01.1976.
83. HAULER, E., s.a.: "Metodă pentru mărirea fiabilității sistemelor de convertire statice", Brevet, nr. 87950/08.10.1976.
84. HAULER, E., JUNCU, M.: "Soluții de comandă, reglare și protecție pentru vehicule de tip urban sau suburban cu motoare asincrone liniare", Sesiunea de Comunicări Științifice, Craiova, 1981, pag. G111-G126.
85. HAULER, E., JENEI, ST., JUNCU, M., HAULER, C., BUNIS, D., : "Metodă și schema pentru frânarea rezervată a vehiculelor echipate cu motoare asincrone și alimentată prin convertoare statice de frecvență și tensiune cu tensiune continuuă imprimată", Dosar OSIM, nr. 106.933, 17.03.1982.
86. HAULER, E. : "Sistemul converter static curent alternativ-curent continuu-motor de curent continuu serie destinat tractiunii electrice a mașinie putere", Electrotehnica, Electrica, Automatica, nr. 12/1983.
87. HAULER, E., VAI, SM-PUMPRAVANT, I.: "Sistemul converter static c.a.-c.c. în ambele monofazuri și tip semiconducțor asincronic-motor de c.c. serie. Partea I. Stabilirea sistemelor de securitate și integrarea numerică a aranjamentelor", Electrotehnica, Electrica, Automatica, nr. 12/1984.

- 
88. HAULER,E.: "Sistemul convertor static c.a.-c.c. în punte monofazată de tip semicomandat asymmetric-motor de c.c. serie. Partea a II-a. Prezentarea și discuția rezultatelor obținute în urma integrării numerice", *Electrotehnica, Electronica, Automatica*, nr. 3/1984.
89. HAULER,E., JRNEI, ST., JUNCU, M., BUNIS, D.: "Echipamente tiristorizate ale vehiculului experimental cu motoare liniare ML 02", *Electrotehnica, Electronica, Automatica*, nr. 1/1984.
90. HAULER, E.: "Convertoare statice destinate vehiculelor urbane și suburbane cu motoare liniare asincrone", *Revista Transporturilor și telecomunicațiilor*, nr. 2/1984.
91. HAULER, E.: "Convertoare statice c.a.-c.a. cu circuit intermediar pentru alimentarea motoarelor liniare asincrone", *Sesiunea de Comunicări Științifice: "Electronica aplicată"*, Timișoara, 1979, vol. I, pag. 112-117.
92. HARTMANN, O., TIETZE, CH.: "Anwendung von Halbleiterstromrichter auf elektrischen Triebfahrzeugen", *ETZ-A*, nr. 7/1964.
93. HAZELL, P.A., FLOWER, J.O.: "Stability properties of certain thyristor-bridge control systems", *P.I.E.E.*, nr. 7/1970, pag. 1405-1412, Part 1. "The thyristor bridge as a discrete control system". Part 2. "The interrelationships of discrete-and continuos design methods", *P.I.E.E.* nr. 7/1970, pag. 1413-1420
94. HELMICH, REICHELT.: "Einsatz von Halbleiterelementen für die Fahrmotorspeisung aus dem Wechselstromnetz", *BBC-Nachrichtere*, 1965, Juli, pag. 364-374.
95. HENGSSBERGER, J., PUTZ, U., VETTERS, L.: "Thyristorstromrichter für Bahnmotoren", *AEG Mitteilung*, nr. 5/6/1964 (54), pag. 435-442.
96. HENGSSBERGER, J., WIEGAND, A.: "Schutz von Thyristor-Stromrichtern Grösseren Leistung", *ETZ-A*, nr. 8/1965 (86), pag. 263-268.
97. HERMANSON, B.: "Thyristor convertors for the advanced passenger train", *Electrical Times*, 26.10.1972.

- A98 . HÜLIG, J.; HILDEBRANDT, W.: "Drehstromumformungen mit  
Stromrichter- und Gleichstromtechniken - Grund-  
lagen", Elektrotechnik, nr. 10/1974, pag. 18-197
- 99 . HÜLIG, J.: "Elektrotechnische Grundlagen der  
Umrichter mit eingebetteten Möglichkeiten  
der Stromrichtertechnik", Elektrotech-  
nik und Maschinenbau, nr. 84/1967, pag. 99-  
112
- 100 . HOLZMAYR, W.: "Über den Entwurf und die Rechnung  
von Glättungsdruckselsspulen für Gleich-  
richterlokomotiven", Elektric, nr. 6/1960,  
pag. 206-210
- 101 . HOLZMAYR, W.: "Ein neues Blindsteuerverfahren für  
Stromrichter am schwachen Netz", ETZ-A,  
nr. 91/1970, pag. 345-348
- 102 . HOLZMANN, F.; PAUER, G.: "Wirkungsgradbestimmung  
bei Stromrichter-Gleichstromantrieb"(1),  
Indusrie-Elektronik-Elektronik, nr. 17/1979  
(24), pag. 455-457
- 103 . HOLZFERT, W.; WENDT, : "Spannungsverhältnisse von Zweiphasen-Gleichrichterschal-  
tungen bei endlicher Glättung bei Be-  
achtung der Anwendung für Gleichrichter-  
lokomotiven", Elektric, nr. 6/1960, pag. 195-  
205
- 104 . HUMPHREY, A.: "Inverter Commutation Circuits",  
IEEE Transactions on Industry and Gene-  
ral Application, nr. 1/1968
- 105 . HÜLIMANN-MÜLLER, A.; SCHWADERER, H.C.: "Beitrag zur  
Systematik der Einphasen-Brückenschal-  
tungen", ETZ-A, nr. 12/1977 (98), pag. 803-  
807
- 106 . JÖTTEN, H.: "Die Primärströme von Stromrichter-  
lokomotiven", Elektrische Bahnen, nr. 8/1959  
(30), pag. 170-173
- 107 . JÖTTEN, H.; LEBRECHT, L.: "Die Primärströme der  
Stromrichterlokomotiven im Fahrdrahtungs-  
netz und Drehstromnetz", ETZ-A, 1956 (77),  
pag. 205-216
- 108 . KÜHLER, R.: "Rectifying Single-Phase and Three  
Phase AC with Forced-Commutated Conver-  
tors", Control in Power Electronics and  
Electrical Drives 2nd IFAC Symposium 1977,  
Preprints, pag. 303-310

- 109 . KAMLEN, H.; MÜLLER-HELMANN, A.; WOELKER, W.: "Halbgesteuerte Brückenschaltung mit unterteilter Löschung", Elektrische Bahnen, 1975 (46), pag. 279-285
- 110 . FEHRMANN, H.; LIENAU, W.; NILL, R.: "Vierquadrantensteller-eine netzfreundliche Einspeisung für Triebfahrzeuge mit Drehstromantrieb", Elektrische Bahnen, nr. 6/1974 (45), pag. 135-141
- 111 . KLEINRATH, H.: "Berechnungsverfahren für Mischspannungsmotoren", E.u.M., nr. 3/1973 (90), pag. 105-113
- 112 . KLIMOV, V.P.: "Elektromechanische Charakteristiken des Systems Thyristorstromrichter Gleichstromreichenenschlussmotor", Elektric, nr. 11/1970 (24), pag. 243
- 113 . LINCK, M.: "Modell für einen fremderregten Gleichstrom-Nebenschlussmotor mit Freilaufdiode", ETZ-A, nr. 2, 1972 (93), pag. 78-81
- 114 . KOENIG, F.: "Eine Methode zur Messung des Leistungsfaktors in Bahnnetzen", Technische Mitt. AEG-Telefunken, nr. 7/1974 (64), pag. 257-259
- 115 . KROMBERG, u.a.: "Elektronischer Überstromschutz für Stromrichter großer Leistung", Elektric, nr. 6/1976 (30), pag. 331-332
- 116 . KUHLOW, J.: "Bahnmotoren für den Nahverkehr", Elektrische Bahnen, nr. 1/1968 (39), pag. 1-17
- 117 . KUHLOW, J.: "Fahrmotoren für Stromrichterfahrzeuge", Elektrische Bahnen, nr. 10/1967, pag. 224-226
- 118 . KUHLMANN, H.: "Elektrische Grubenbahn mit Lokomotiven für 50 Hz-Einphasenwechselstrom sowie mit Mehrsystem-Lokomotiven für Verbundbetrieb", Elektrische Bahnen, 1967 (2), pag. 30-37
- 119 . LEYVRAZ, P.: "Gleichrichtergespeiste Bahnmotoren ohne Glättungsdrosselpulsen", Elektrische Bahnen, nr. 9/1962, pag. 206-210
- 120 . LUNDEN, H.: "Physikalisch bestimmte Grenzwerte der Fahrleitungsnetzgrößen bei Triebfahrzeugen mit Thyristorsteuerung", -

Elektrische Bahnen, nr. 12/1973 (44), pag. 71-  
-278.

121. MÄRZ, G.: "Die ZB-Schaltung, ihre Eigenschaften und ihre Anwendung in der Leistungselektronik", ETZ-A, nr. 10, 1972 (93), pag. 571-576.
122. MAURER, F.: "Vergleich verschiedener Sündsteuerverfahren für netzgeführte Stromrichter", ETZ-A, nr. 1, 1974 (95), pag. 50-55.
123. MAUERSBERGER, Chr.: "Ein pulsgesteuerter Stromrichter in Einphasen-Brückenschaltung", Elektric, nr. 2/1967, pag. 392-394.
124. MANZ, G., GIERTH, E.: "Eigenschaften von Wechselstrom-Grenzleistungslokomotiven bei konventioneller Technik und bei Anwendung der Leistungselektronik", Elektrische Bahnen nr. 3/1972, (43), pag. 50-58, nr. 4/1972, pag. 88-93.
125. MEYER, F.: "Netzverhalten eines Stromrichters in zweipulsiger unsymmetrischer halbgesteuerte Brückenschaltung", Siemens Z., nr. 12/1970 (44), pag. 740-749.
126. MEYER, E.: "Leistungthyristoren auf elektrischen Triebfahrzeugen", Elektrische Bahnen, nr. 4/1971 (42), pag. 86-91.
127. MEISSEN, W., RINKE, .: "Anforderungen der Elektronik in der Energietechnik an die Netzzwischenspannung", ETZ-A, nr. 14/1969 (90), pag. 343-347.
128. MEHRING?P., JÄNSCH, .; JOHN, G., KETTERER, H.: "HEPASIM - ein digitales Simulationssystem für die Leistungselektronik", ETZ-A, nr. 4/1972 (99), pag. 187-191.
129. MICU, E.: "Caracteristicile statice ale redresorului monofazat cu tiristori în regim invertor", științifică în institutul cehoslovac de cercetare, București, 1969, vol. II.
130. MICU, E.: "Caracteristicile mecanice ale motorului care al menține la un redresor monofazat un debit", Electrotehnica, nr. 9/1970.
131. MÖLTGEN, G.: "Eigenschaften des Stromrichters im zweipulsigen halbgesteuerten Brückenschaltung", Elektrische Bahnen, nr. 11/1968 (38), pag. 256-264.
132. MÖLTGEN, G.: "Periodische Oberschwingungen im Netz von zweipulsigen Stromrichter", Elektrische Bahnen, nr. 12/1971 (42), pag. 175-179.
133. MÖLTGEN, G.: "Periodische Erscheinungen des Stromrichters in zweipulsiger Brückenschaltung", Siemens Zeit-

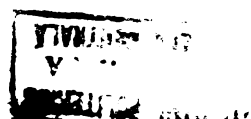
- schrift, nr. 2/1967, pag. 127-133.
134. MÖLTGEN, G.: "Die Blindleistung bei Stromrichtern mit Nullanoden", Arch. für Elektrotechnik, 1968, (43), pag. 276-288.
135. MUTSCHLER, P.: "Verfahren zur digitalen Simulation beliebiger Stromrichterschaltungen", ETZ-A, nr. 11/1974, (95), pag. 610-614.
136. MÜLLER-LÜBECK, K.: "Gleichrichter in halbgesteuerter Brückenschaltung und Wechselstromsteller", HBC Nachrichten, 1968, pag. 136-143.
137. NILL, R.: "Berechnung der Stromrichtererwärmung bei Gleichrichter-Triebfahrzeugen", Elektrische Bahnen, nr. 12/1972 (43), pag. 270-272.
138. NORDIN, T.I., MAGNUSSON, L.B.A.: "Advantages of Thyristor Locomotives and Experience in Sweden", I.E.E.E. Transactions on Industry Applications, vol. IA-8, nr. 3/1972, pag. 316-323.
139. OHHISMI, T., OKITSU, H.: "Power-Factor Improvement of Single-Phase Converter by Means of Bias Voltage Control", IEEE Transactions on Industry Applications, vol. IA-17, nr. 2, March/April 1981.
140. PALIT, B.B.: "Signalflussdiagramm und nichtstationäre Vorgänge in einer fremderregten Gleichstrommaschine", E u. M, nr. 3/1973 (90), pag. 119-123.
141. PFEIFFER, E.: "Netzrückwirkungsfreie Leistungssteuerung", ETZ-B, 1976 (28), pag. 297-300.
142. PHILIPPS, W.: "Berechnung des Oberschwingung gehaltes von Ankersströmen stromrichtergespeister Gleichstrommotoren", ETZ-A, nr. 6/1968.
143. PHILIPPS, W.: "Kommutierungsprobleme bei stromrichtergespeisten Gleichstrommaschinen mit massiven Ständerjoch", ETZ-A, nr. 5/1969 (90), pag. 103.
144. POPESCU, I.: "Noul standard pentru motoare electrice de curent continuu pentru tractiunea urbană", Standardizarea, nr. 20/1968.
145. PUTZ, U., MAEDA, A.: "Die elektrischen Größen der blindstromsparenden Stromrichter auf Wechselstromtriebfahrzeugen", Elektrische Bahnen, nr. 9/1971 (42), pag. 200-209.
146. REICHE, W.: "Steuerung von Stromrichtern", ETZ-A, nr. 9/1974 (95), pag. 446-449.

147. RIEDEL,H.: "Auswirkung des einer Wechselrichteranlage mit Formulatoren auf den Betrieb", Elektrische Bahnen, nr. 11/1972, pag. 280-282.
148. ROBINSON,CH. "Evaluation of d.c. commutator applications with three-phase power supplies", in: "Applications in Industry and General Applications", nr. 5/1964.
149. ROLLER,A.: "Einflussung von Nachrichtenkabeln durch eine 25-kV-/60-Hz-Bahnanlage mit Gleichstrommotoren", ETZ-A, nr. 4/1978 (92), pag. 192-195.
150. RONA,W.: "Untersuchungen an Zwangskommutierten Wechselstromsteller", ETZ-A, nr. 10/1972 (93), pag. 560-564.
151. SATTLER,K.: "Aus einem Einphasenwechselstromnetz über 1 Siliziumgleichrichter gespeiste Bahnmotoren", Elektrische Bahnen, nr. 5/1962 (33), pag. 118-124.
152. SAUER,H.-G.: "Zur Strom-, Spannungs- und Leistungsmessung beim Stromrichter", Messen und Prüfen, nr. 8/1972, pag. 369-373.
153. SCHAEFER,H.H.: "Verbesserung des Leistungsfaktors in der Bahnstromversorgung beim Einsatz von Triebfahrzeugen mit Anschwingssteuerung", Elektrische Bahnen, nr. 8/1970 (41), pag. 172-176.
154. SCHWARTZ,J.: "Das System "Netzgelöschter Stromrichter - Glättungsdrossel-Gleichstrommaschine" im nichtlückenden Betrieb", Elektric, nr. 6/1976 (30), pag. 325-330.
155. SCHULZE-BUXLOH,W.: "Glättungseinrichtungen für zweipulsige Stromrichter", Messen, Steuern und Regeln, nr. 7/1973, pag. 174-176.
156. SCHRÖDER,D.: "Die dynamischen Eigenschaften von Stromrichter-Teilstückgliedern mit entführlichen Kommutierung", ETZ-A, nr. 4/1970.
157. SCHULZE,K.: "Die ersten elektrischen Vollbahnlokomotiven der Korean National Railroad (KNR), Südkorea"
158. SCHWARZENAU,R.: "Störstrombelastung in Fahrmnetzen", Elektrische Bahnen, nr. 6/1978 (49), pag. 150-158.
159. SCHAEFER,H.-H.: "Blind- und Scheinleistungsverhalten eines schrittgesteuerter elektrischer Triebfahrzeuge in Streckenverbindungen", Elektric, nr. 6/1971 (42), pag. 170-175.
160. SEEPRIED,E.: "Stromregelung in Rückwärtseile von Stromrichtertrieben", Elektric, nr. 4/1976 (36), pag. 174-178.

161. SAUER,H.-G.: "Einfluß der Überlappung auf die Leistungsmessung beim dreipulsigen Stromrichter", ETZ-A, nr.8/1973 (94), pag.472-478.
162. SHEPHERD,W., ZAKIKHANI,P.: "Power factor compensation of thyristor-controlled single-phase load", Proc. IEE, nr.2/1973, (120), pag.245-246.
163. SHARON,D.: "Reactive Power Definitions and Power Factor Improvement in Nonlinear Systems", Proceedings IEEE, nr.6/1973 (120), pag.704-706.
164. SHEPHERD,W., CALLAGHER,P.: "Power Factor of Thyristor Controlled Single Phase Resistive Load", Proceedings IEEE, nr.12/1973 (120), pag.1538-1539.
165. SHEPHERD,W., ZAKIKHANI,P.: "Suggested definition of reactive power for nonsinusoidal systems", PIEEE, nr.9/1972 (119), pag.1361-1362.
166. SKUDELNY,H.-Ch.: "Analyse der halbgesteuerten Einphasenbrückenschaltung", Archiv für Elektrotechnik, nr.1/1972 (55), pag.44-56.
167. SKUDELNY,H.-Ch.: "Stromrichterschaltungen für Wechselstrom-Triebfahrzeuge", MTZ-A, nr.8/1965, pag. 249-259.
168. STARK,P.: "Die Kommutierung von Mischstrommotoren (gleichrichtergespeiste Bahnmotoren)", Elektrische Bahnen, nr.9/1962 (33), pag.210.
169. STÖTLER,K.S.: "Leistungselektronik in Wechselstromtriebfahrzeugen", AEG Mitteilungen, nr.4/1970.
170. STEIMEL,K.: "Die elektrische Energietechnik der Schienen und Straßenfahrzeuge", ETZ-A, nr.24/1968.
171. STEWART,J.: "Beeinflussung von Fernmelde- und Signalanlagen durch Wechselstrombahnen", Elektrische Bahnen, nr.6/1967, pag.137-139.
172. STIEBLER,M.: "Die Nachbildung stationärer und nichtstationärer Vorgänge beim Mischstrombahnmotor mit Hilfe des Analogrechners", Elektrische Bahnen, nr.10/1967, pag.226-228.
173. STANTON,N.: "Instrumentation for Thyristor control", IEEE Transactions on Industry and General Application, nr.4/1968.
174. STIOP,Ja., JARCV,Vi.: "Ameliorarea factorului de putere la redresoare trifazate în punte" (lb.rusă), Electrotehnica, nr.9/1973 (44), pag.20-22.
175. SCHLOTHEIM,G.: "Untersuchungen an einem neuen Zwangskommutierten Direktumrichter zur Speisung ein- oder mehrphasiger Verbraucher", Dissertat.

tion, Darmstadt, 1972.

176. SAUER, H.: "Ladegarst mit Halbleiterbauelementen für die Hilfsbatterie von Nahverkehrsfahrzeugen", Siemens-Zeit, nr. 1/1968, pag. 36-39.
177. SCHUBERT, G.: "Comportement des thyristors de puissance aux fréquences élevées", Revue IEC, nr. 9/1974, pag. 446-477.
178. STECK, B., WIPPERT, G.: "Flickerscheinungen in folge periodischer Spannungsschwankungen", ETZ-B, nr. 1/1973, pag. 8-10.
179. STENZEL, O.: "Wechselstromspeisung von Strom erzeugnissen an Stelle der bisherigen Gleichstromversorgung", Elektrische Bahnen, nr. 5/1973.
180. STUART, P.J.: "Multiple pulse modulation in static inverters reduces selected output harmonics and provides smooth adjustment of fundamentals", IEEE, IED, nr. 6/1970, pag. 357-360.
181. STAHL, B.: "Interaction between SCR Drives", nr. 6/1968.
182. STEFANOVIC, V.R.: "Power Factor Improvement with a Modified Phase-Controlled Converter", IEEE Transactions on Industry Applications, vol. IA-15, nr. 2, April 1979, pag. 193-200.
183. SUCENA-PAIVA, L., ... , HDEZ, R., PEREIRA, L.: "A tabular study of controlled rectification using a discrete model", IEEE, nr. 9/1972 (ED), pag. 1283-1293.
184. SVOBODA, J.: "Filtern von Netz-Geräusch-Erregungen", Elektrotechnik 32. Jg., nr. 6/1975, pag. 48-50.
185. TERVO KATAOKA, KATTA, T., MIZUMACHI, SHOTA, SHYAIRI: "Pulsewidth Controlled AC-to-DC Converters to Improve Power Factor and Waveform of AC Line Current", IEEE Transactions on Industry Applications, vol. IA-15, nr. 6, Nov./Dec. 1979, pag. 670-675.
186. TIETZE, C.: "Die elektrische Ausrüstung der Mehrsystem-Lokomotiven 3 410 und 310 mit Thyristorleistungswandlern, Bauart 8G", Elektrische Bahnen, nr. 11/1966 (37), pag. 259-265.
187. TIETZE, C., REINHOLD, J., PAEZ, J.: "Elektrische zweistufige Leistungsfelder 181103/104 für Lutzmannstein", Elektrotechnik 32. Jg., nr. 8/1975 (47), pag. 179-184.



188. TRÖGER, R.: "Energetische Darstellung von Blindstromvorgängen", ETZ-A, 1953 (74), pag. 533.
189. TRÖGER, R.: "Blindstromtarif auf energetischer Grundlage", ETZ-A, 1956 (77), pag. 706-709.
190. UHLENHUT, G.: "Halbgesteuerte Brückenschaltungen mit Thyristoren", Elektric, nr. 11/1966.
191. VAN LEUVEN Julien, CUYPERS Christian: "Gleich- und Mischstrommotoren", Elektrische Bahnen, nr. 7/1974 (45), pag. 159-165.
192. VAN LEUVEN, Julien.: "Optimale Welligkeit von Mischstrommotoren", Elektrotechnische Zeitschrift-A, 1972, (93), pag. 86.
193. VOSS, V.: "Schatzung und Steuerung des Triebzuges Baureihe 420 der Deutschen Bundesbahn", Elektrische Bahnen, nr. 11/1969, pag. 255-257 și nr. 12/1969.
194. VÖLKL, H.: "Techniken zur Beherrschung der Netzwirkungen", ZEV-GLÄSER ANNALEN, nr. 2/3 -1979, (103), pag. 107-113.
195. WASSERRAB, Th.: "Über den energetischen Wirkungsgrad von elektrischen Antrieben", E.u.M., nr. 7/1972, (89), pag. 275-283.
196. WASSERRAB, Th., BÖCKER, J.: "Betriebsdiagramme netzgeführter, symmetrisch gesteuerter Stromrichter", ETZ-A, 1969 (90), pag. 323-327.
197. WEBER, J.: "Strombelastbarkeit von Stromrichtern in halbgesteuerte Brückenschaltung mit Freilaufventil", ETZ-A, nr. 8/1965 (86), pag. 242-249.
198. WINKLER, K.: "Unvorordentliche Betriebszustände in gesteuerte Einphasen- Gleichrichterschaltungen und Maßnahmen zu deren Vermeidung", Brown Boveri Mitteilungen, nr. 12/1969, pag. 589-596.
199. WILLIAMS, S., NIMTH, I.A.: "Fast digital computation of 3-phase thyristor bridge circuits", Proceedings IEEE, nr. 7/1973 (120), pag. 791-795.
200. WINTER, P.: "Netzverhalten von Wechselstrom-Triebfahrzeugen mit Mehrfachfolgesteuерungen in Stromrichtersparschaltung", Elektrische Bahnen, nr. 12/1973 (44), pag. 279-284 și nr. 1/1974 (45), pag. 15-18.

201. ZACH,F.: "Optimierung des Oberwellenleistungsfaktors von Stromrichterwandlern durch Intersitatemperatur", ETZ-A, 1973 (94), pag. 38-43.
202. ZANDER,H.: "Self compensated rectifier to improve line conditions", IEEE, nr. 9/1973 (120), pag. 277-281.
203. ZEYHER,H.: "Harmonische Instabilität bei Wechselrichterbetrieb", ETZ-A, 1972 (93), pag. 134-138.
204. ZUBE,B.: "Erläuterungen zu DIN 40 50006 VDE 0838/P. 16", ETZ-A, nr. 5/1978 (99), pag. 277-282.
205. ZWICKY,R.: "Theoretische Grundlagen der Beeinflussung von Schwachstromkreisen durch thyristorverspeiste Triebfahrzeuge", Buletin SEV ,nr. 3/1971 (62), pag. 55-65.
206. \* \* \* "Culegere de materiale pentru calculul protectiei liniilor de telecomunicatii interurbane in cablu sau aeriene impotriva influentei din partea retelei de contact a cailor ferate electrificate in c.a.", Traducere din limba rusă, Bucureşti, CIRT, 1967, 143 pag.
207. \* \* \* "Instructiuni de exploatare centru linii electrizante in curent alternativ", Traducere din limba engleză, Bucureşti, CIRT, 1967, 140 pag.
208. \* \* \* "Thyristorgesteuerte Wechselstrom-Nahverkehrstriebzuge" Baureihe 6110 der "AdGB".
209. \* \* \* ST-S 686-71 : "Fir de contact pentru linii aeriene de tractiune electrică".
210. \* \* \* "Über die Betriebserprobung der Löschzweig, um magnetischen Brückenschaltung (LUB)", AdGB 6110.
211. \* \* \* "Thyristor-Stromrichter für einen Wechselstromlokomotiv-Netz", AdGB Projekt-Nr. 1000.
212. \* \* \* "Der Kurzzeitbereich (kurzzeitliche) 180 °", AdGB 6110.
213. \* \* \* "Bemerkungen über die 180 °", AdGB 6110.

214. \*\*\* I.P.T.V. Timișoara-CCSITUM Satu Mare, Locomotiva tiristorizată de mină, protocoale 1976, 1977.
215. \*\*\* I.P.T.V. Timișoara -CCSITUM Electroputere Craiova, Sisteme electrice de transport acționate cu motoare liniare, protocoale 1976, 1977,...1982.
216. Hauler, E., Makszem-Dumbrăveanu, I.: "Calculul capacitații de stingere la un redresor monofazat în punte cu comandă forțată", în Bul. St. tehn. al I.P.T.V. Timișoara, Fascicula nr.2, 1984.
217. Hauler, E., Makszem-Dumbrăveanu, I.: "Sistemul convertor static c.a.-c.c. monofazat în punte semicomandat-motor de c.c. serie cu compensare pe partea de alimentare", în Lucrările Simpozionului "Aplicații ale electronicii industriale", Craiova, 1983, pag. 276-289.
218. Hauler, E., Jenci, St., Juncu, M., Buniș, D., Varga, R., Stern, M.: "Echipament tiristorizat de modificare și reglare a vitezei metroului aerian cu motoare liniare ROM-U-LIM", în Lucrările Simpozionului "Aplicații ale electronicii industriale", Craiova, 1983, pag. 290-299.
219. Varga, R., Stern, M., Hauler, E.: "Metodă și schemă de control selectiv și protecție la curent maximal pentru motoare electrice de tractiune", în Lucrările Simpozionului "Aplicații ale electronicii industriale", Craiova 1983, pag. 300-305.